

**Применение методов решеточной КТП к задачам физики графена,  
к исследованию эффекта Казимира, а также к задачам квантовой  
механики многих тел.**

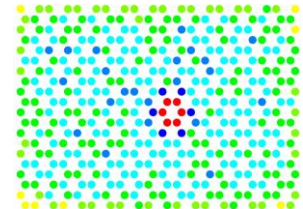
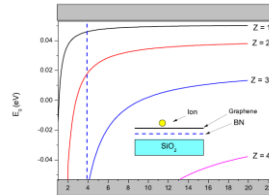
Олег Павловский  
*(Физический факультет МГУ имени М.В. Ломоносова)*

# Основные темы

## Фазовые явления в ТП моделях графена

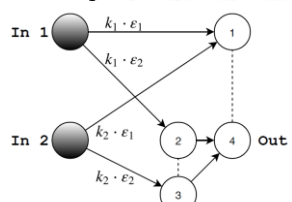
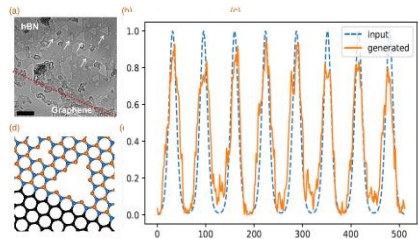


## Критический заряд в графене

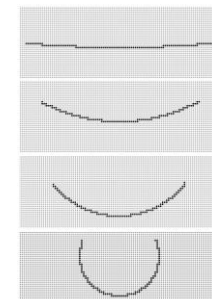


## Решеточные методы КТП и методы Монте-Карло

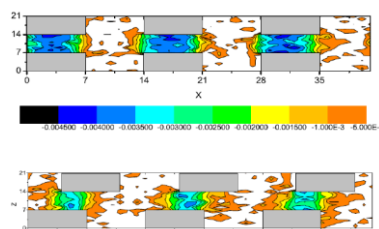
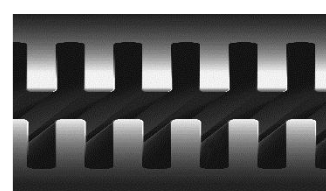
## Искусственные нейронные сети на основе двойных дефектов



## Критическое силы Казимира между дефектами



## Энергия Казимира в решеточной КТП



# «Мир» теоретико-полевые модели в физике конденсированного состояния вещества: немного истории...

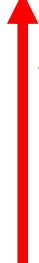
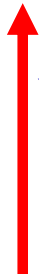
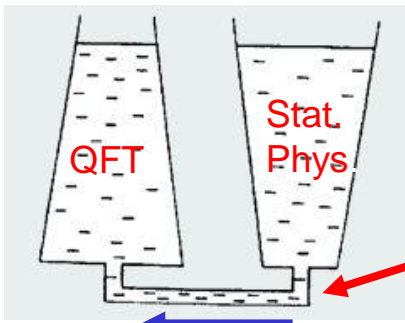
Вычисления в физической точке в физике  
адронов

Киральные фермионы

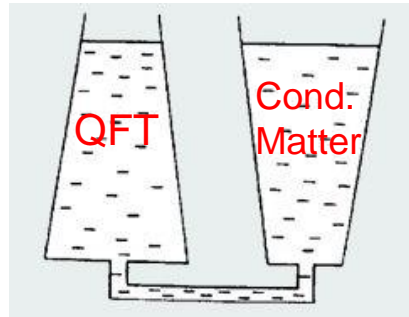
Решеточная квантовая теория (поля)

Квантовая теория в  
формализме  
континуального  
интеграла в евклидовом  
времени

Больцмановская  
статистическая модель

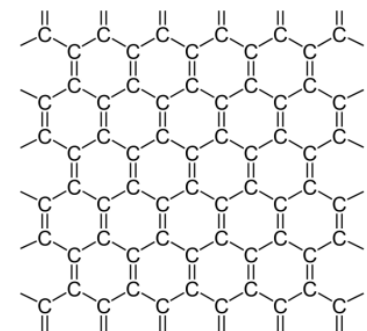
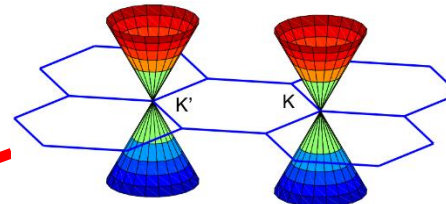


# «Мир» теоретико-полевые моделей в физике конденсированного состояния вещества: время платить долги



Киральные фермионы

Физика полуметаллов: Графен



Теоретико-полевые модели  
графена



# Основные публикации

[1] Mostovoy S.D., Pavlovsky O.V. Critical Casimir effects in 2D Ising model with curved defect lines. // Physics Letters A – 2018 – Vol. 382 – P. 276-282.

[2] Мостовой С.Д., Павловский О.В. Двумерная модель Изинга с дефектами и их казимировское взаимодействие. // Ядерная физика и инжиниринг – 2017 – Т.8(2) – С. 24-28.

[3] Новосёлов А.А., Павловский О.В. Расчёт критических явлений в графене. // Ядерная физика и инжиниринг – 2017 – Т.8(2) – С. 29-32.

[4] Novoselov A.A., Pavlovsky O.V. Critical Charge in Gapped Graphene: the role of the screening of the interaction potential by -orbitals. // International Journal of Modern Physics B – 2017 – Vol. 31 – P. 1750068 (1-9).

[5] Ivanov A.A., Novoselov A.A., Pavlovsky O.V. Relativistic path integral monte carlo: Relativistic oscillator problem. // International Journal of Modern Physics C – 2016 – Vol.27 – 1650133 (1–14).

[6] Новосёлов А.А., Павловский О.В., Улыбышев М.В. Монте-Карло моделирование металлического водорода: фазовый переход и уравнение состояния. // Вестник Московского университета. Серия 3: Физика, астрономия, – 2014 – Т.1 – С. 24-28.

[7] Valgushev S.N., Lushevskaya E.V., Pavlovsky O.V., Polikarpov M.I., Ulybyshhev M.V. The influence of defects on the conductivity of graphene within the effective theory approach. // Письма в "Журнал экспериментальной и теоретической физики" – 2013 – Т. 98(7) – С. 445–447.

## Основные публикации

[8] Брагута В.В., Валгушев С.Н., Павловский О.В., Поликарпов М.И., Ульбышев М.В. Численное моделирование графена в магнитном поле в рамках эффективной теории поля. // Письма в "Журнал экспериментальной и теоретической физики" – 2013 – Т. 97(9), С. 597–600.

**[9] Buividovich P.V., Luschevskaya E.V., Pavlovsky O.V., Polikarpov M.I., Ulybyshev M.V. Numerical study of the conductivity of graphene monolayer within the effective field theory approach.// Physical Review B – 2012 – Vol. 86 – P.045107. Cite: 43**

[10] Novoselov A.A., Pavlovsky O.V., Ulybyshev M.V. Monte-carlo calculations for some problems of quantum mechanics.// Physics of Atomic Nuclei – 2012 – Vol.75 – P.1119–1122.

**[11] Pavlovsky O.V., Ulybyshev M.V. Monte-carlo calculation of the lateral casimir forces between rectangular gratings within the formalism of lattice quantum field theory // International Journal of Modern Physics A – 2011 – Vol.26 – P. 2743–2756. Cite: 12**

[12] Pavlovsky O.V., Ulybyshev M.V. Casimir energy calculations for chern-simons surfaces and dielectric plates within the formalism of lattice quantum field theory.// Physics of Particles and Nuclei Letters – 2010 – Vol.7 – P.345–348.

[13] Pavlovsky O.V., Ulybyshev M.V. Casimir energy in noncompact lattice electrodynamics.// Theoretical and Mathematical Physics – 2010 – V.164 – P.1051–1063. Cite: 10

## Основные публикации

[14] Pavlovsky O.V., Ulybyshev M.V. Casimir energy calculations within the formalism of the noncompact lattice QED.// International Journal of Modern Physics A – 2010 – Vol.25 P. 2457–2473, 2010. Cite: 10

[15] Павловский О.В., Улыбышев М.В. Энергия Казимира в некомпактной электродинамике на решетке // Теоретическая и математическая физика – 2010 – Т.164(2) – С.262–278.

[16] Pavlovsky O.V. Vacuum polarization effect and problem of finite-energy cluster generation in QCD: Effective field theory approach. // Czechoslovak Journal of Physics – 2004 – Vol.51 – P.160-165.

[17] Pavlovsky O.V., Novoselov A.A., Ivanov A.A. Path integral Monte-Carlo method for relativistic quantum systems. // Proceedings of Science, Lattice 2014 – 2015 – P.56-60.

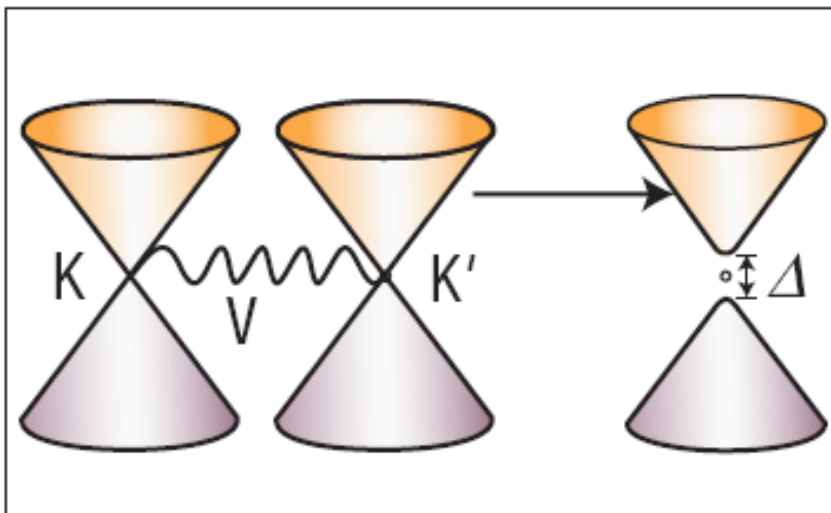
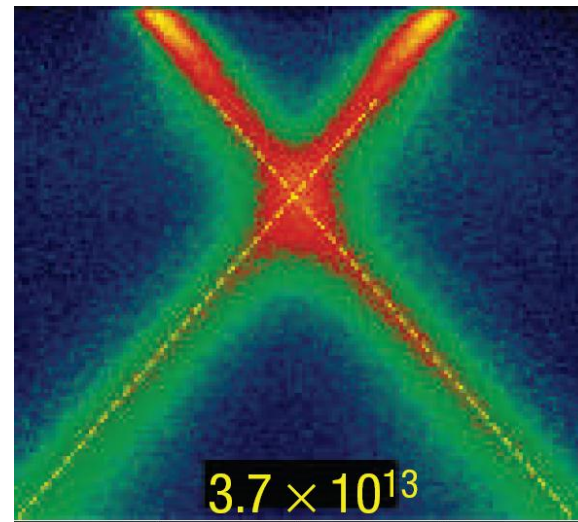
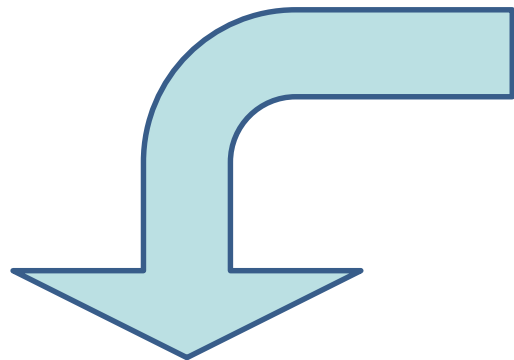
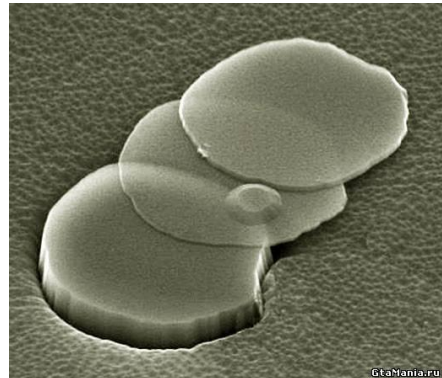
[18] Pavlovsky O.V., Sinelnikova A.B., Ulybyshev M.V. Monte-Carlo simulation of graphene in terms of occupation numbers for the excitonic order parameter at hexagonal lattice// Proceedings of Science, Lattice 2013 – 2014 – P.47-53.

[19] Mostovoy S., Pavlovsky O., Simulation of lattice statistical models with defects: Critical Casimir Effect// EPJ Web of Conferences - 2018 - v.175 - p.03005.

[20] Pavlovsky O.V. Chiral born-infeld theory: Topological spherically symmetrical solitons.// Physics Letters B – 2002 – Vol.538 – P.202-210. Cite: 27

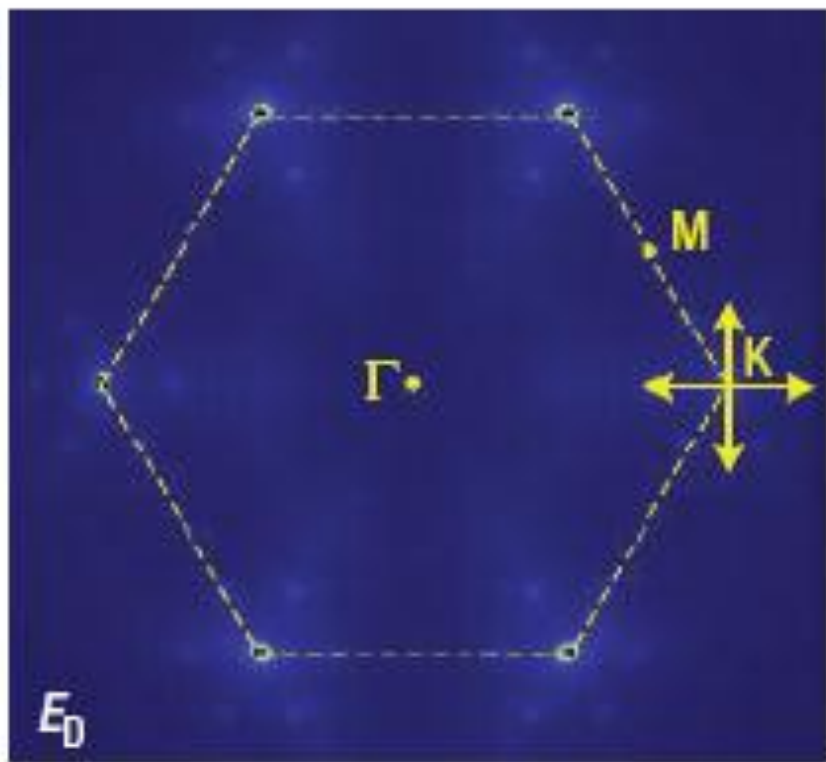
## Фазовые явления в графене

# Графен: фазовый переход изолятор-проводник

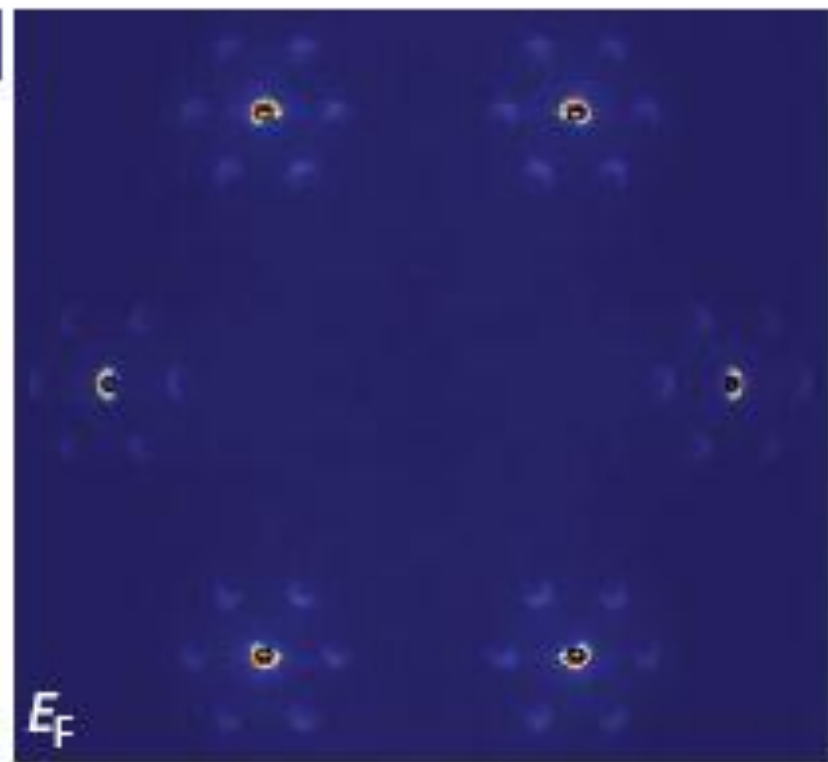


# Графен: что видно в эксперименте

b



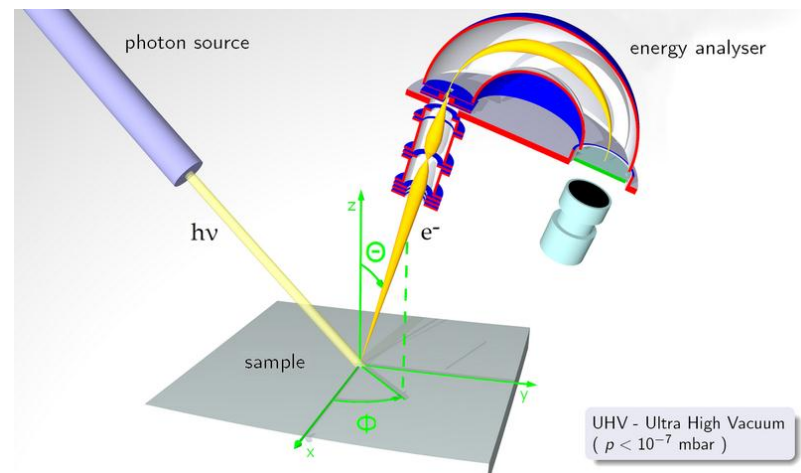
c



k

Получено методами *Angle-resolved photoemission spectroscopy*

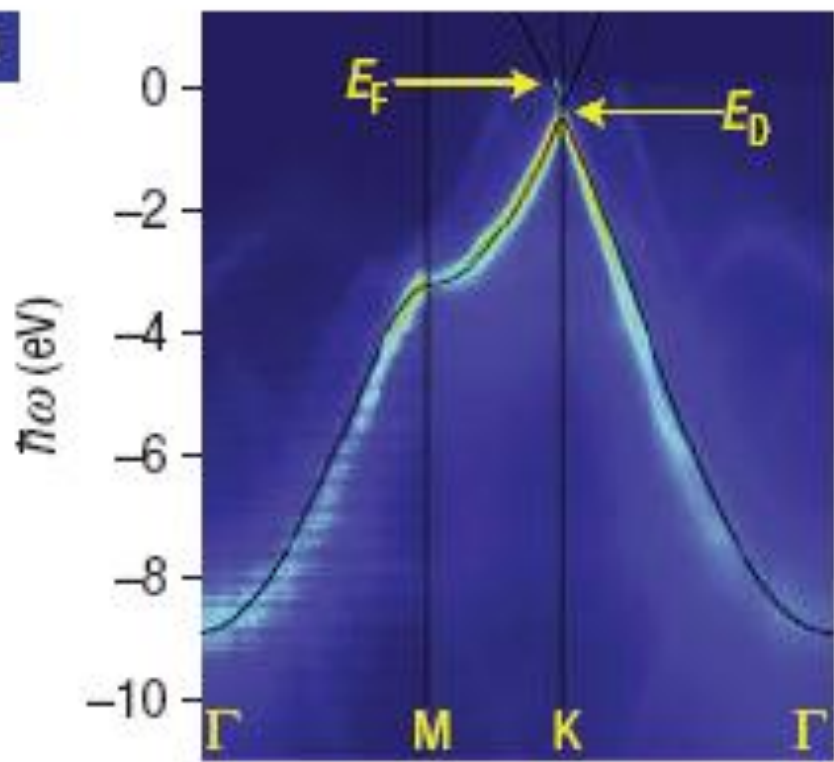
$$k_{i\perp} = \frac{1}{\hbar} \sqrt{2m(E_f \cos^2 \theta + V_0)}$$



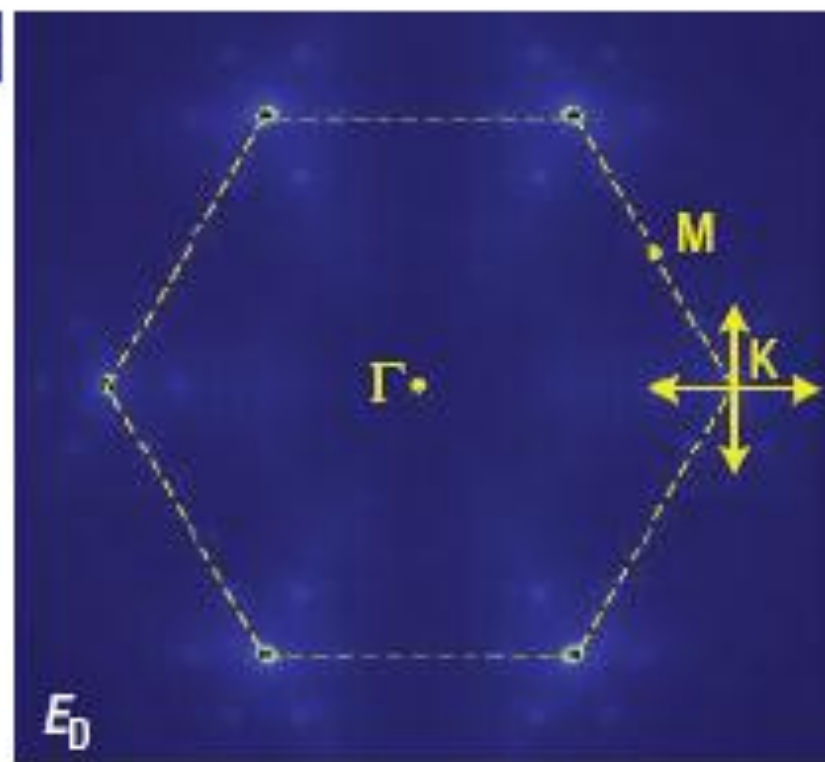
UHV - Ultra High Vacuum  
( $p < 10^{-7}$  mbar)

# Графен: что видно в эксперименте

a



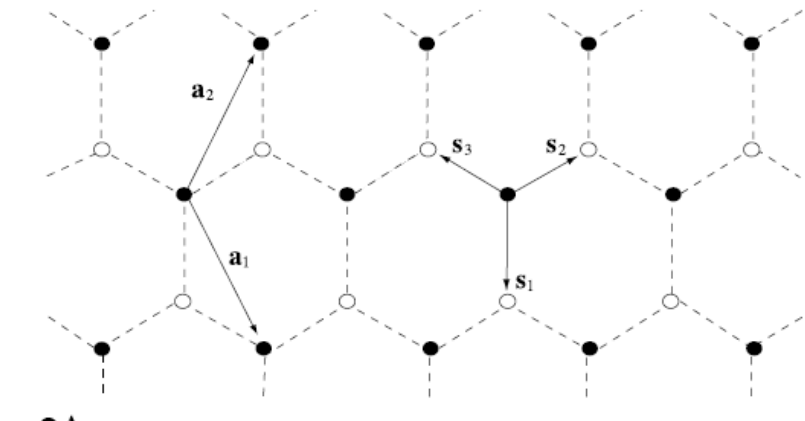
b



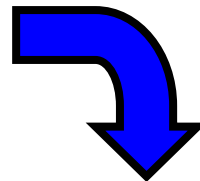
# Модели электронных явлений в графене

## Иерархия моделей

Tight-binding model



$$H = \sum_{\vec{A}, i} \left( t b_{\vec{A} + \vec{s}_i}^\dagger a_{\vec{A}} + t^* a_{\vec{A}}^\dagger b_{\vec{A} + \vec{s}_i} \right) + \dots$$

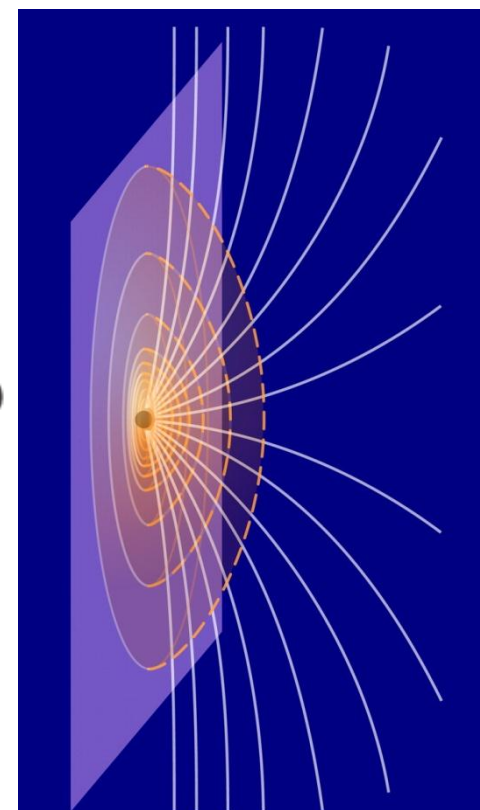


Теоретико-полевая  
модель графена

$$\begin{aligned} S = & - \sum_{a=1}^N \int dt d^2x (\bar{\psi}_a \gamma^0 \partial_0 \psi_a + v \bar{\psi}_a \gamma^i \partial_i \psi_a + i A_0 \bar{\psi}_a \gamma^0 \psi_a) \\ & + \frac{1}{2g^2} \int dt d^3x (\partial_r A_0)^2. \end{aligned}$$

Природа сильной связи в системе:  
перемасштабирование полей!

$$\alpha_g \simeq 300\alpha > 1 !$$



# Антиферромагнитный конденсат в эффективной полевой модели графена

\* Смотрели следующую решеточную теорию:

$$S_E^g[\theta_0] = \frac{\beta}{2} \sum_n \left[ \sum_{i=1}^3 (\theta_{0,n} - \theta_{0,n+e_i})^2 \right], \quad \beta = v/g^2$$

$$S_E^f[\bar{\chi}, \chi, U_0] = - \sum_{m,n} \bar{\chi}_m D_{m,n}[U_0] \chi_n, \quad U_0 = \exp(i\theta_0)$$

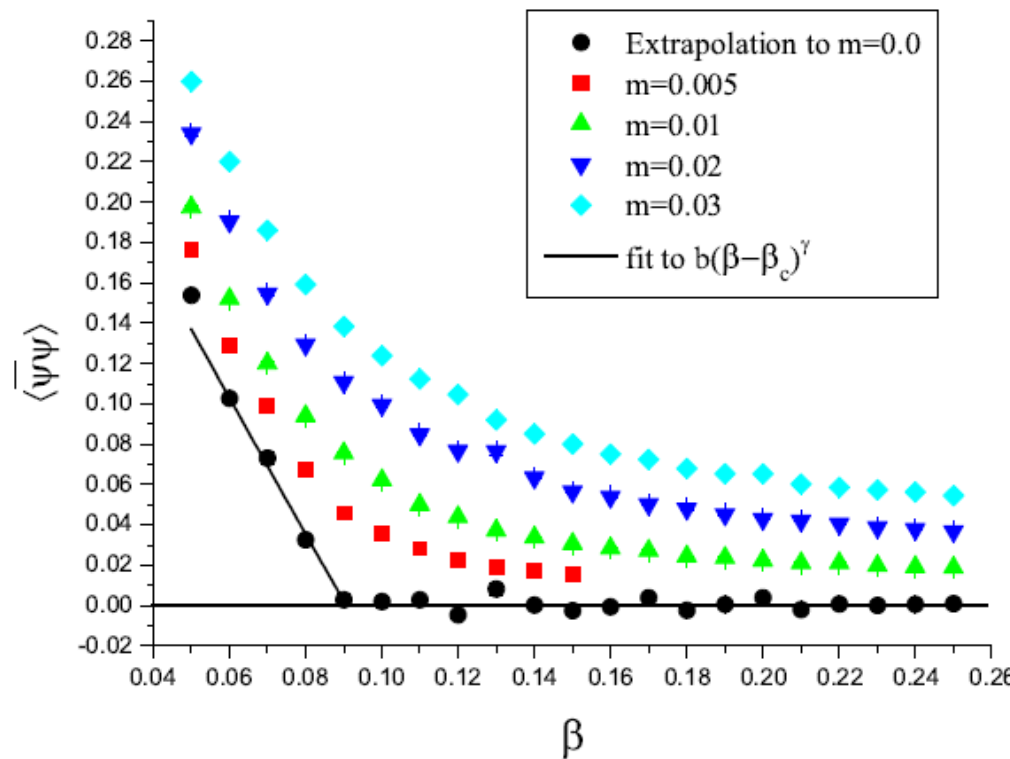
$$\begin{aligned} D_{m,n}[U_0] = & \frac{1}{2} [\delta_{m+e_0,n} U_{0,m} - \delta_{m-e_0,n} U_{0,n}^\dagger] \\ & + \frac{1}{2} \sum_i \eta_{i,m} [\delta_{m+e_i,n} - \delta_{m-e_i,n}] + m_0 \delta_{m,n}, \end{aligned}$$

$$\eta_{1,n} = (-1)^{n_0} \text{ and } \eta_{2,n} = (-1)^{n_0+n_1}.$$

\* Исследовали величину R:

$$\sigma \equiv \langle \bar{\psi}_b \psi_b \rangle,$$

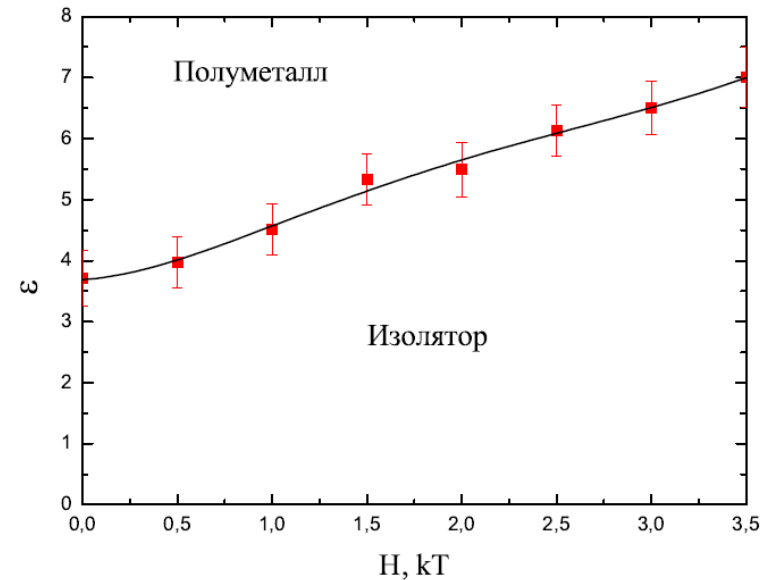
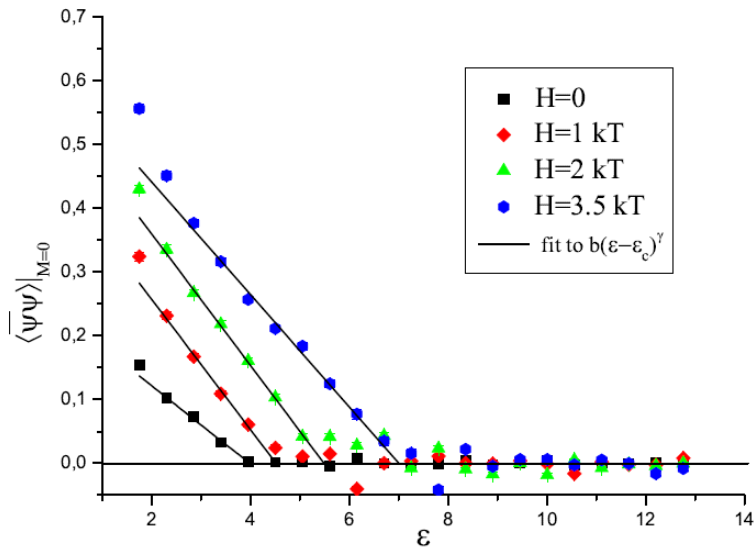
# Результаты численного анализа антиферромагнитного конденсата



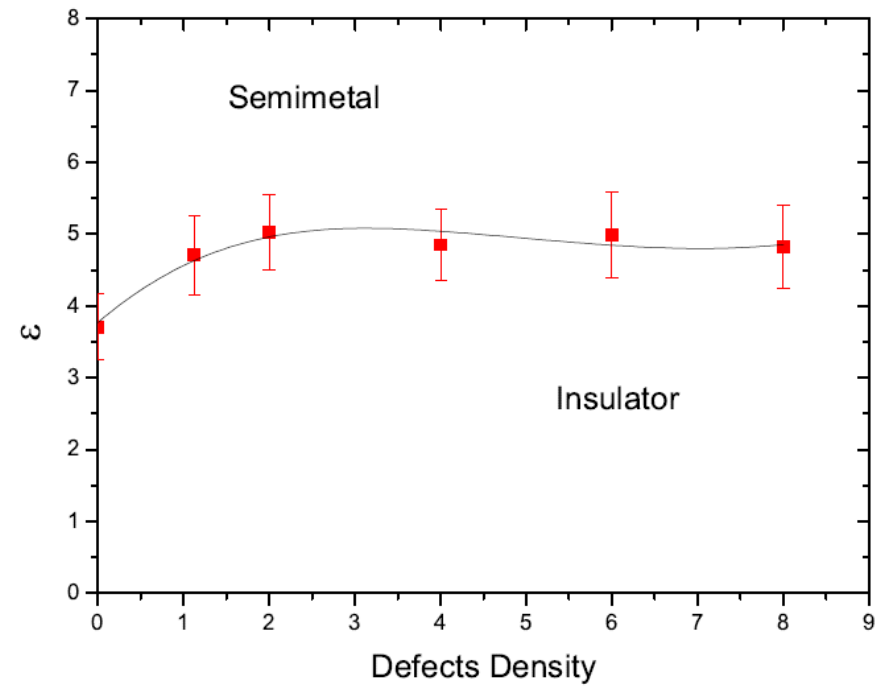
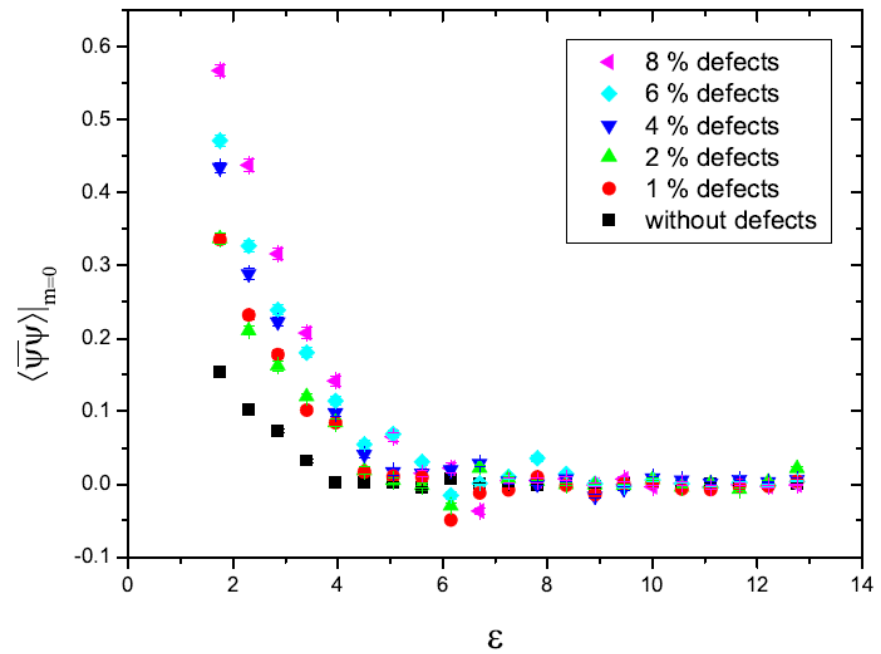
$\langle \bar{\psi} \psi \rangle \sim (\beta_c - \beta)^\gamma$  с  $\beta_c = 0.0908 \pm 0.0018$  и  $\gamma = 1.0 \pm 0.16$ .

$$\beta \equiv \frac{1}{g^2} = \frac{v_F}{4\pi e^2} \frac{\epsilon + 1}{2},$$

# Результаты численного анализа антиферромагнитного конденсата



# Результаты численного анализа антиферромагнитного конденсата



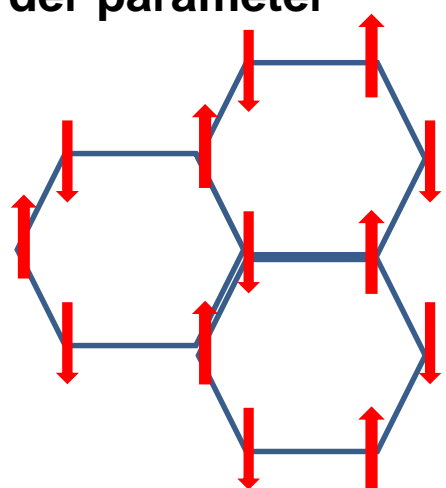
# Конденсаты в графене: микроскопическая картина

Transport properties of Graphene

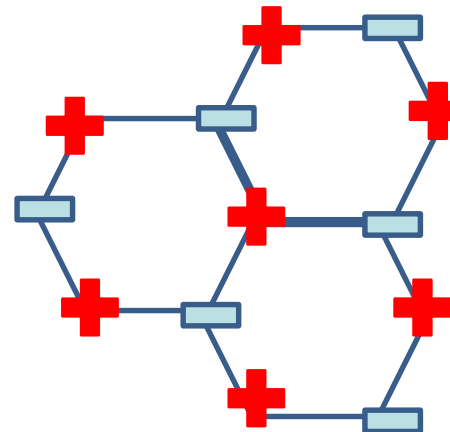


Phase transition phenomena in Graphene

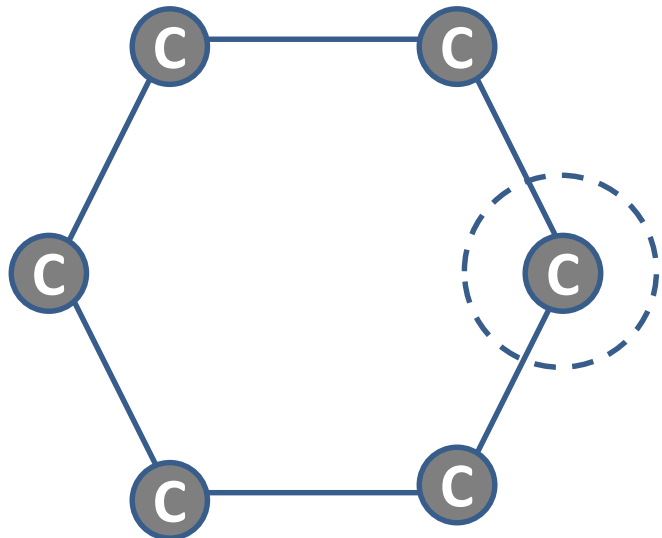
Anti-ferromagnetic  
order parameter



Anti-ferroelectric  
order parameter



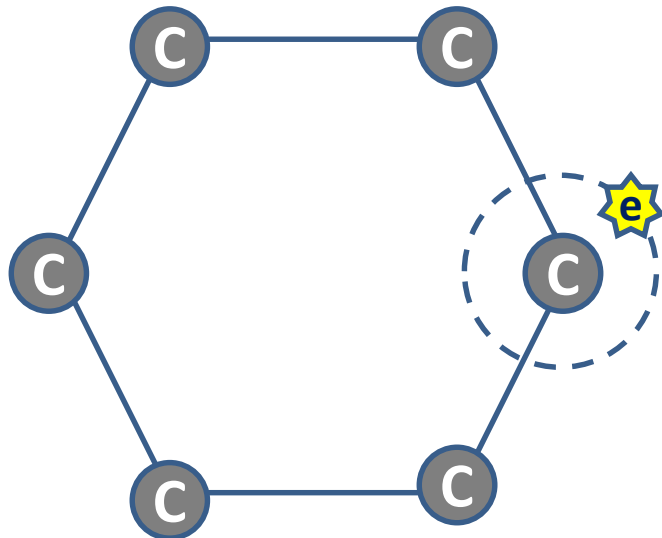
# Electron / hole excitations



Charge of this site  
=  
Charge of C (+1)  
+  
Charge  $\pi$ -orbital electrons (0)  
= +1

This is HOLE state!

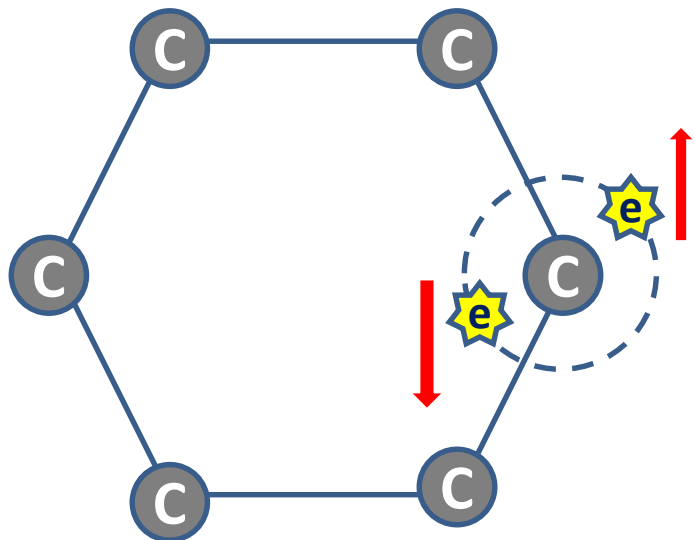
# Electron / hole excitations



$$\begin{aligned}\text{Charge of this site} &= \\ &\text{Charge of C (+1)} \\ &+ \\ &\text{Charge } \pi\text{-orbital electrons (-1)} \\ &= \\ &0\end{aligned}$$

These are Neutrality states!

# Electron / hole excitations

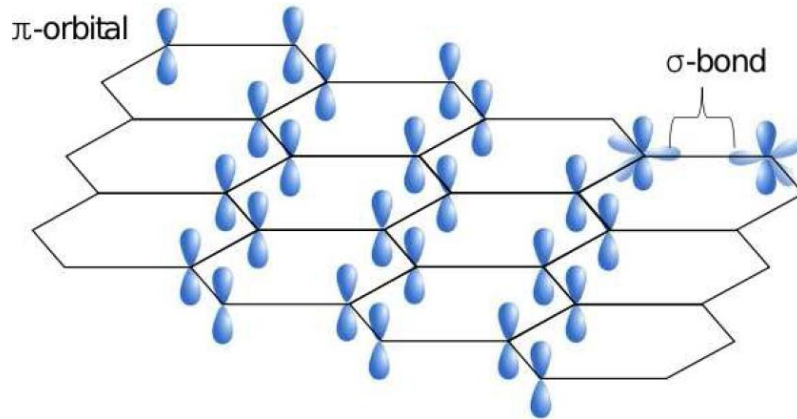


Charge of this site  
=  
Charge of C (+1)  
+  
Charge  $\pi$ -orbital electrons (-2)  
= -1

This is Electron state!

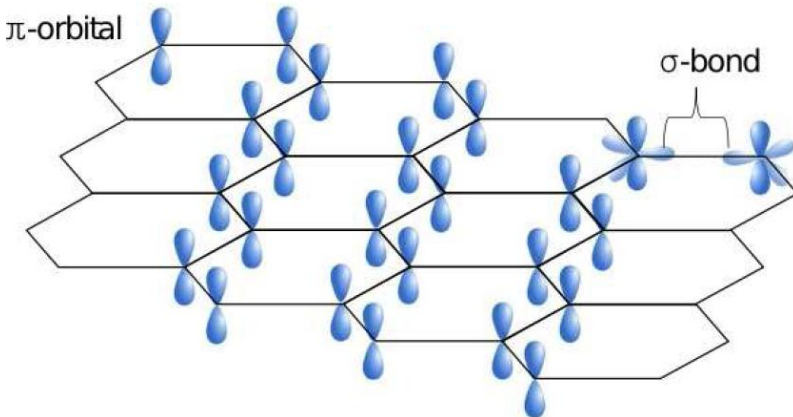
# Tight-binding lattice Hamiltonian of Graphene

$$H = H_\kappa + H_h + H_c$$



# Tight-binding coupling lattice Hamiltonian of Graphene

$$H = H_\kappa + H_h + H_c$$



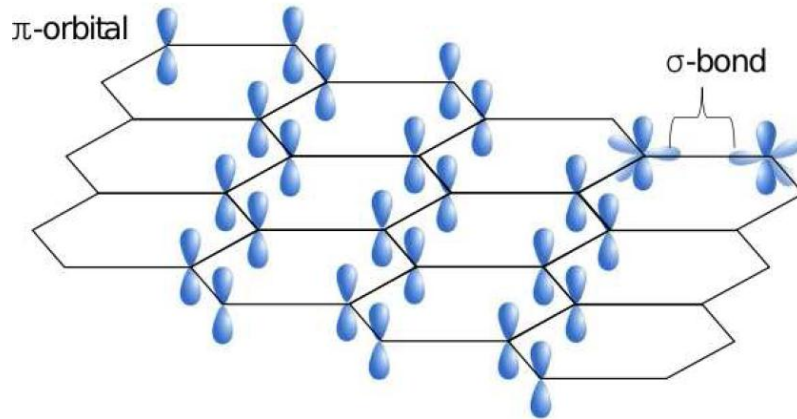
## 1) Hopping term:



$$H_\kappa = \kappa \sum_{x,\mu,\sigma} \left( \psi_{\sigma,x+\mu}^\dagger \psi_{\sigma,x} + \psi_{\sigma,x}^\dagger \psi_{\sigma,x+\mu} \right)$$

# Tight-binding lattice Hamiltonian of Graphene

$$H = H_\kappa + H_h + H_c$$



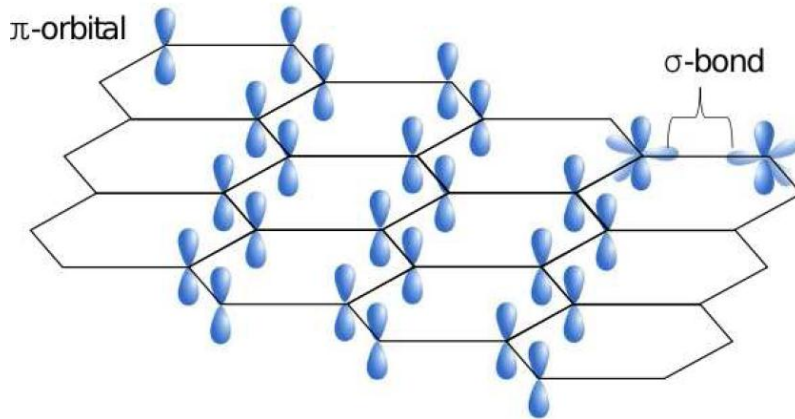
2) On-site interaction term:



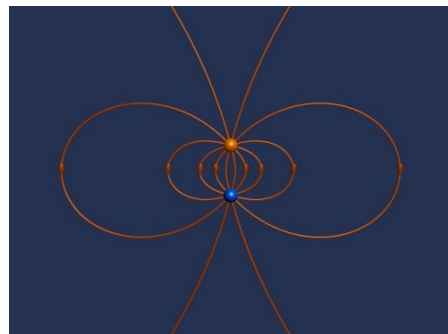
$$H_h = \sum_x q_x V_{x,x} q_x$$

# Tight-binding lattice Hamiltonian of Graphene

$$H = H_\kappa + H_h + H_c$$



3) Coulomb interaction term:



$$H_c = \sum_{x \neq x'} q_x V_{x,x'} q'_{x'}$$

$$V_{x,x'} = \frac{\alpha}{|x - x'|}$$

# Creation / annihilation operators

$$\begin{cases} a^\dagger = \psi_\uparrow^\dagger \\ a = \psi_\uparrow, \end{cases}$$

Creation / annihilation operators for  
“electron”

$$\begin{cases} b^\dagger = \psi_\downarrow^\dagger \\ b = \psi_\downarrow^\dagger \end{cases}$$

Creation / annihilation operators for  
“hole”

$$\begin{aligned} \hat{q}_x &= 1 - \psi_{\uparrow,x}^\dagger \psi_{\uparrow,x} - \psi_{\downarrow,x}^\dagger \psi_{\downarrow,x} \\ &= 1 - a^\dagger a - b b^\dagger = b^\dagger b - a^\dagger a \end{aligned}$$

# Basic vectors

$|\downarrow \cdot \rangle$

“Vacuum” state

$|\uparrow \downarrow \rangle$

“Electron” state

$|\uparrow \cdot \rangle$

“Electron + hole” state

$|\cdot \cdot \rangle$

“Hole” state

$$a^\dagger a |\downarrow \cdot \rangle = a^\dagger a |\cdot \cdot \rangle = b^\dagger b |\downarrow \cdot \rangle = b^\dagger b = |\downarrow \uparrow \rangle = 0 ,$$

$$a^\dagger a |\cdot \uparrow \rangle = b^\dagger b |\cdot \uparrow \rangle = 1 * |\cdot \uparrow \rangle ,$$

$$a^\dagger a |\downarrow \uparrow \rangle = 1 * |\downarrow \uparrow \rangle ; \quad b^\dagger b |\cdot \cdot \rangle = 1 * |\cdot \cdot \rangle .$$

# Occupation numbers formalism

$$a_x^\dagger a_x | \rangle = m_x | \rangle; \quad b^\dagger b | \rangle = n_x | \rangle$$

$$n_x, m_x = 0, 1.$$

$$q_x = n_x - m_x.$$

|   ↓   ·⟩  
|   ↑↓⟩  
|   ↑   ·⟩  
|   ·   ·⟩

q = 0  
q = 1  
q = 0  
q = -1

$$|S\rangle = |\{n_x\}\{m_x\}\rangle$$

# Role of the Terms in Hamiltonian of Graphene

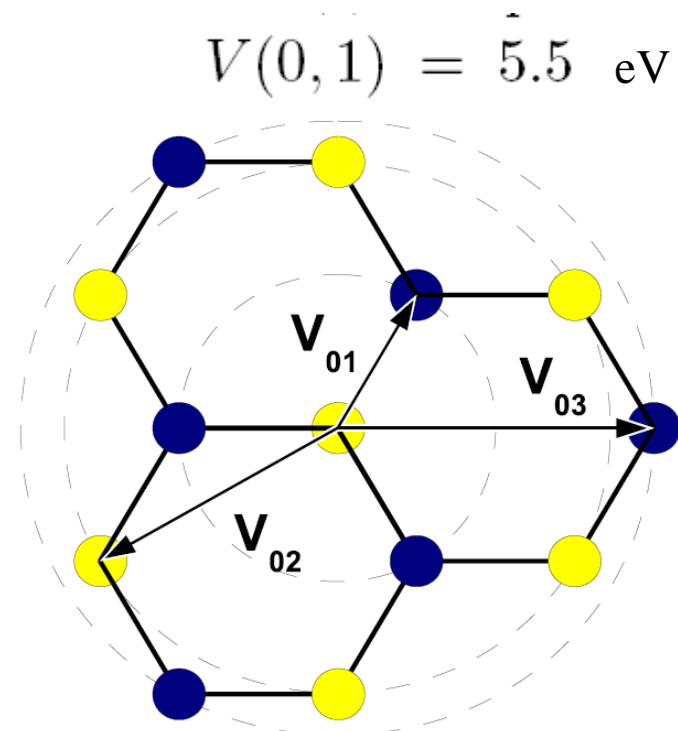
$$H = H_\kappa + H_h + H_c$$

$$H_\kappa = \kappa \sum_{x,\mu,\sigma} \left( \psi_{\sigma,x+\mu}^\dagger \psi_{\sigma,x} + \psi_{\sigma,x}^\dagger \psi_{\sigma,x+\mu} \right) \quad \kappa = 2.8 \text{ eV}$$

$$H_h = \sum_x q_x V_{x,x} q_x \quad V(x,x) = 9.3 \text{ eV}$$

$$H_c = \sum_{x \neq x'} q_x V_{x,x'} q'_{x'}$$

$$H = H_\kappa + H_h + H_c$$



# Monte-Carlo “calculus”

$$\langle \hat{O} \rangle = \frac{1}{\mathcal{Z}} \text{Tr} (\hat{O} e^{-\beta \hat{H}}).$$

$$\mathcal{Z} = \text{Tr} e^{-\beta \hat{H}}$$

$$\begin{aligned} \hat{H} &= \hat{H}_{(2)} + \hat{H}_{(4)} = \sum_{x,y,\sigma,\sigma'} t_{xy\sigma\sigma'} \hat{c}_{x\sigma}^\dagger \hat{c}_{y\sigma'} + \sum_{x,y,\sigma,\sigma'} U_{xy\sigma\sigma'} \hat{n}_{x\sigma} \hat{n}_{y\sigma'}, \\ &\qquad\qquad\qquad \hat{n}_{x\sigma} = \hat{c}_{x\sigma}^\dagger \hat{c}_{x\sigma} \end{aligned}$$

$$\text{Tr} e^{-\beta \hat{H}} \approx \text{Tr} \left( e^{-\delta \hat{H}_{(2)}} e^{-\delta \hat{H}_{(4)}} e^{-\delta \hat{H}_{(2)}} e^{-\delta \hat{H}_{(4)}} \dots \right).$$

# Метод Хаббарда-Стратановича

$$\mathrm{Tr} \, e^{-\beta \hat{H}} \approx \mathrm{Tr} \left( e^{-\delta \hat{H}_{(2)}} e^{-\delta \hat{H}_{(4)}} e^{-\delta \hat{H}_{(2)}} e^{-\delta \hat{H}_{(4)}} \dots \right).$$

$$\begin{aligned} \exp \left( -\frac{\delta}{2} \sum_{x,y} U_{x,y} \hat{n}_x \hat{n}_y \right) &\cong \\ &\cong \int D\phi_x \exp \left( -\frac{1}{2\delta} \sum_{x,y} \phi_x U_{xy}^{-1} \phi_y \right) \exp \left( i \sum_x \phi_x \hat{n}_x \right), \end{aligned}$$

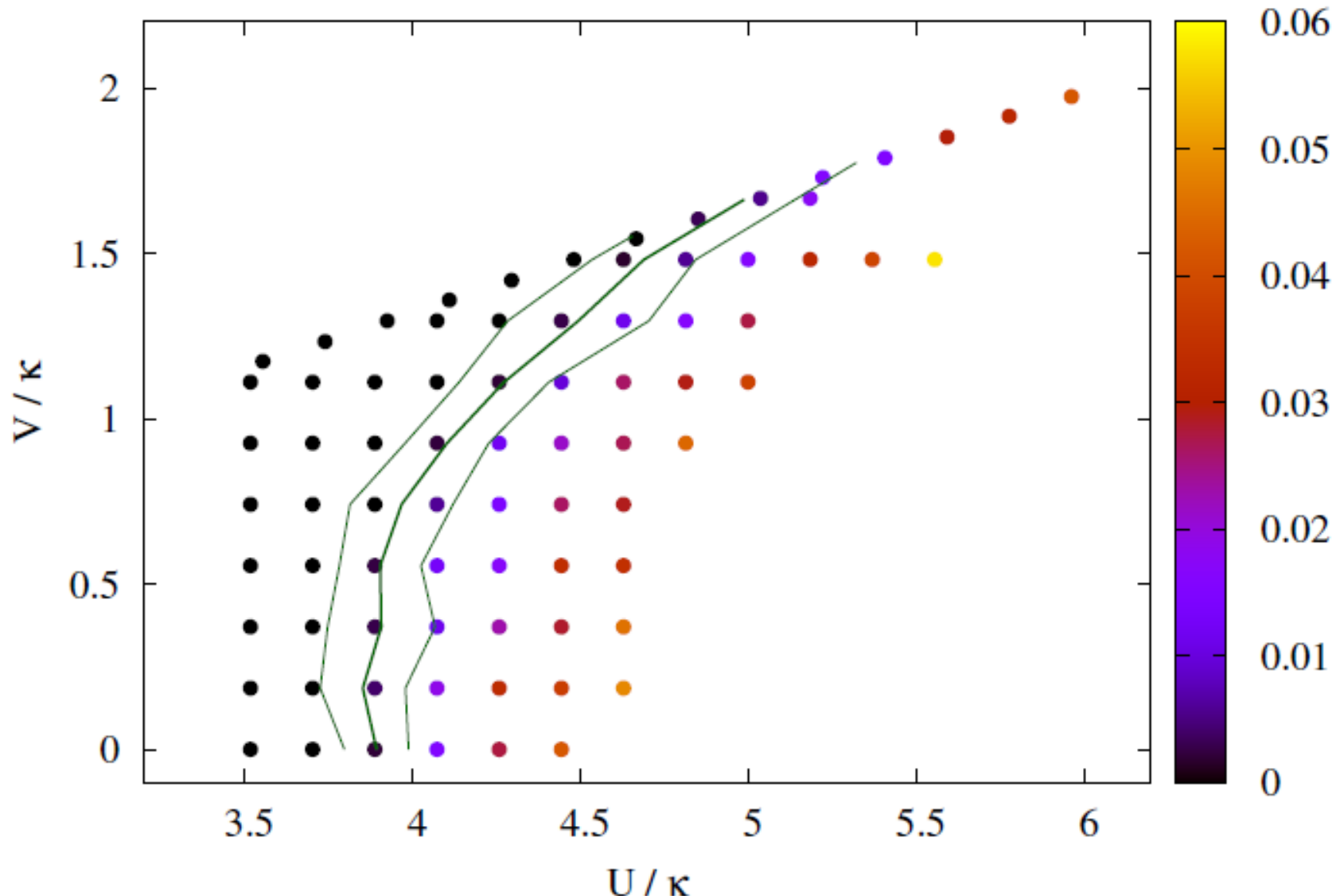
$$\begin{aligned} \exp \left( \frac{\delta}{2} \sum_{x,y} U_{x,y} \hat{n}_x \hat{n}_y \right) &\cong \\ &\cong \int D\phi_x \exp \left( -\frac{1}{2\delta} \sum_{x,y} \phi_x U_{xy}^{-1} \phi_y \right) \exp \left( \sum_x \phi_x \hat{n}_x \right). \end{aligned}$$

$$\mathcal{Z}_c = \int \mathcal{D}\phi_{x,t} \chi_{x,t} \exp^{-S_\alpha} \det M_{\mathrm{el}} \det M_h,$$

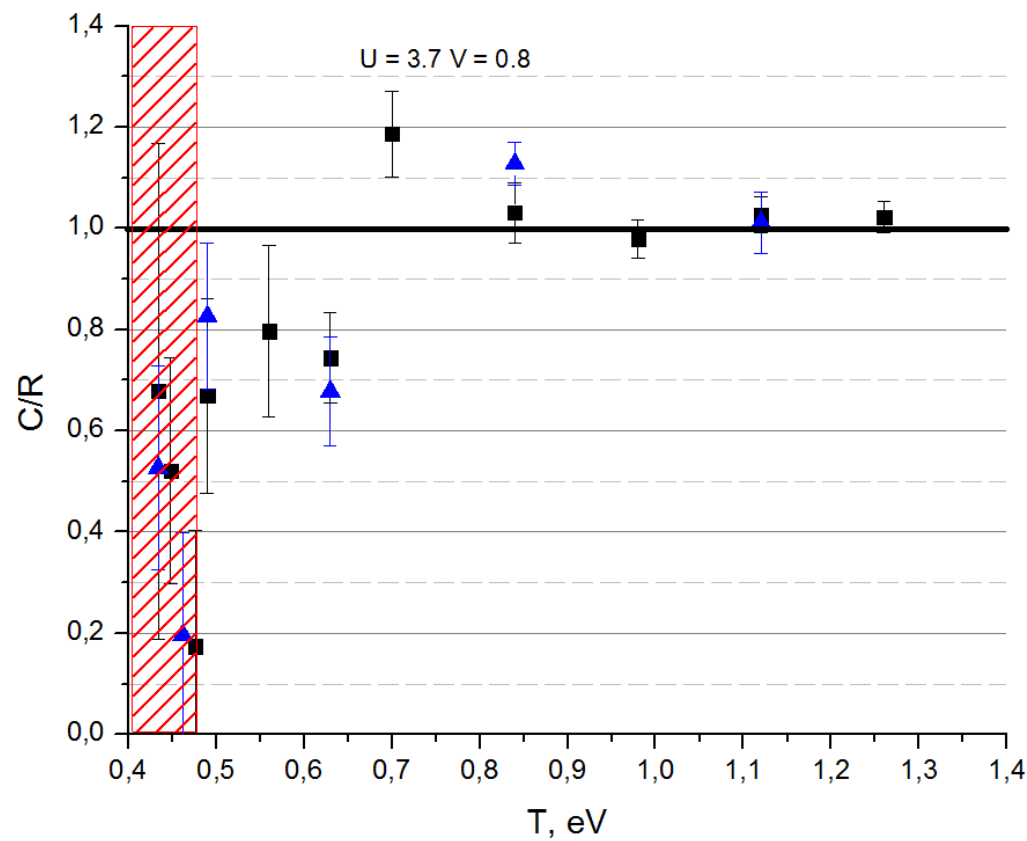
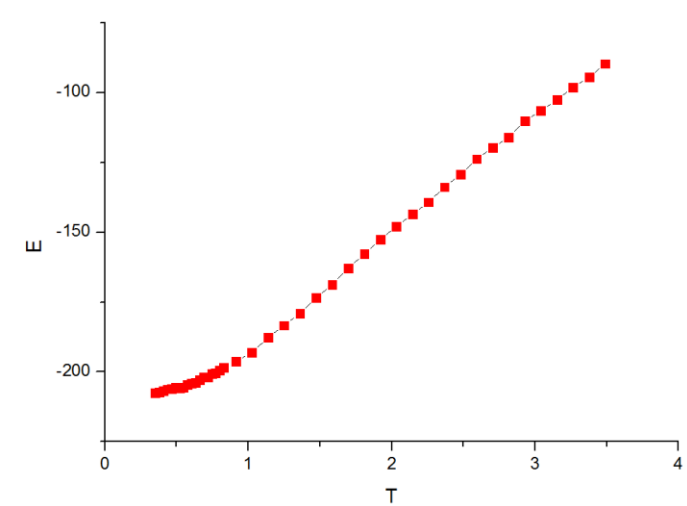
$$S_\alpha(\phi_{x,t}, \chi_{x,t}) = \sum_{x,t} \frac{\phi_{x,t}^2}{2\alpha\delta U} + \sum_{x,t} \frac{(\chi_{x,t} - (1-\alpha)\delta U)^2}{2(1-\alpha)\delta U},$$

# Результаты

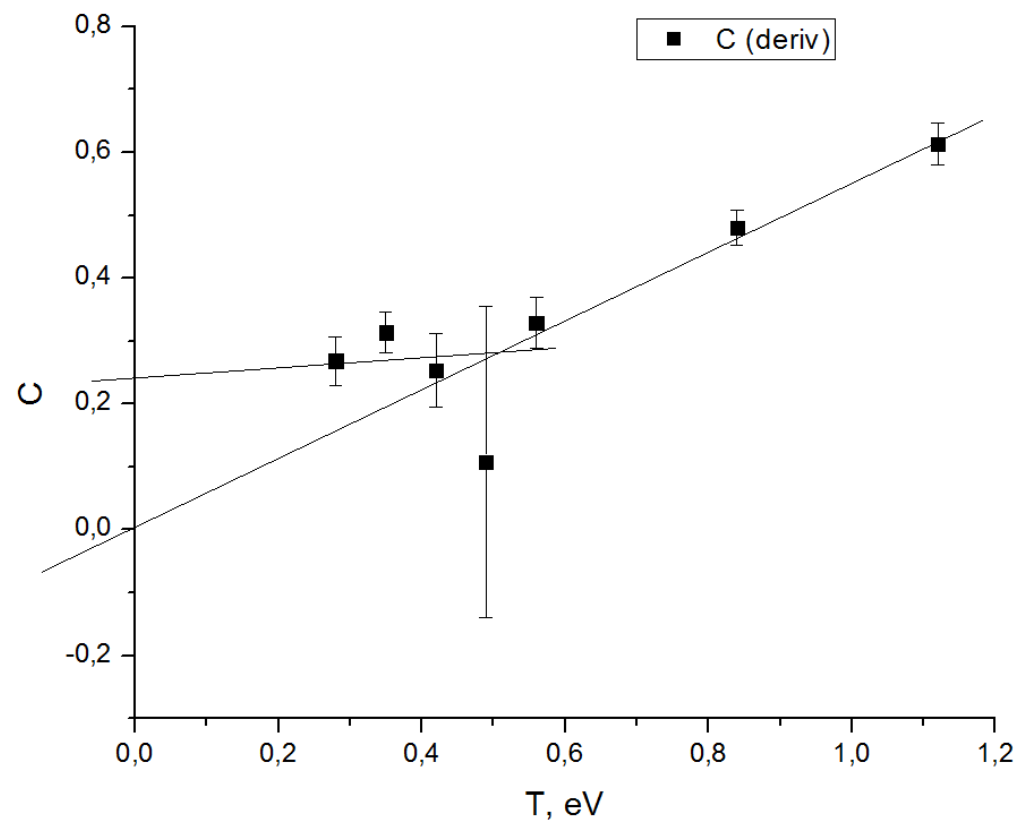
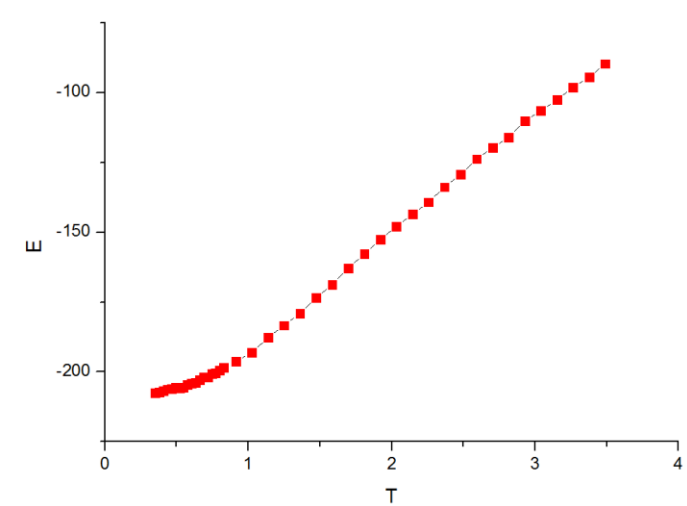
$(\langle S_i^2 \rangle)^{1/2}$ , extrapolation  $L \rightarrow \infty$



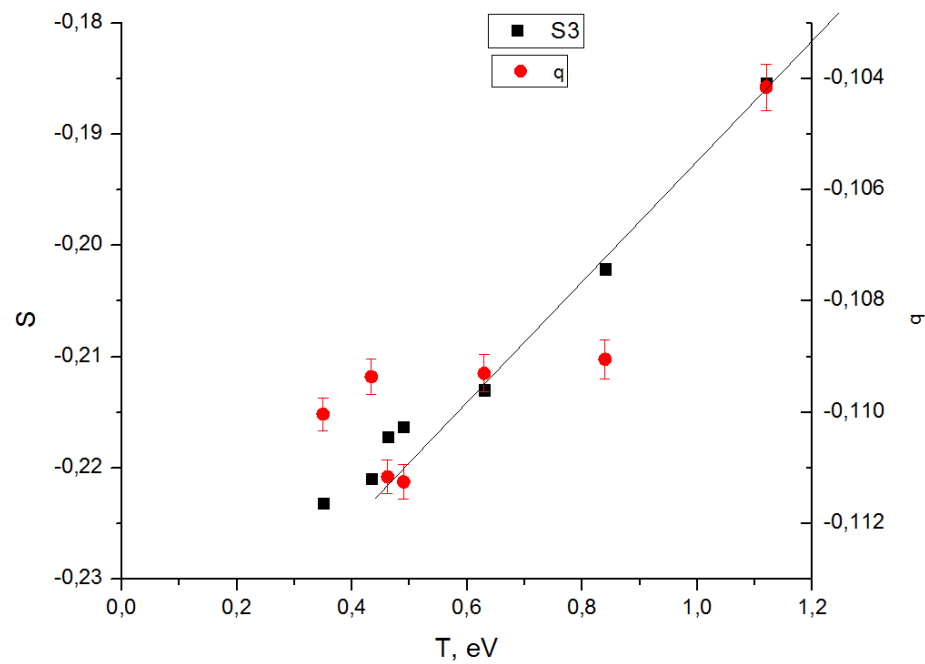
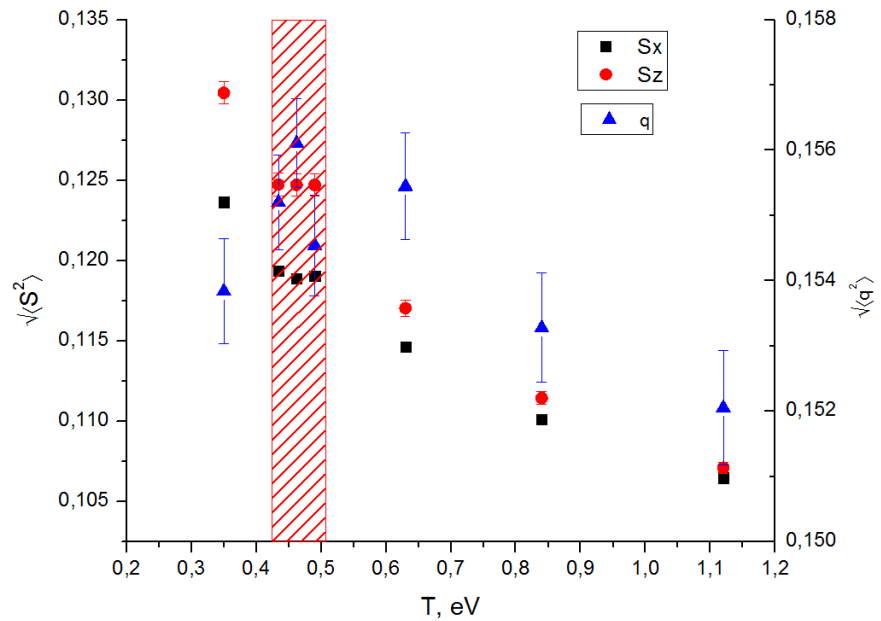
# Результаты



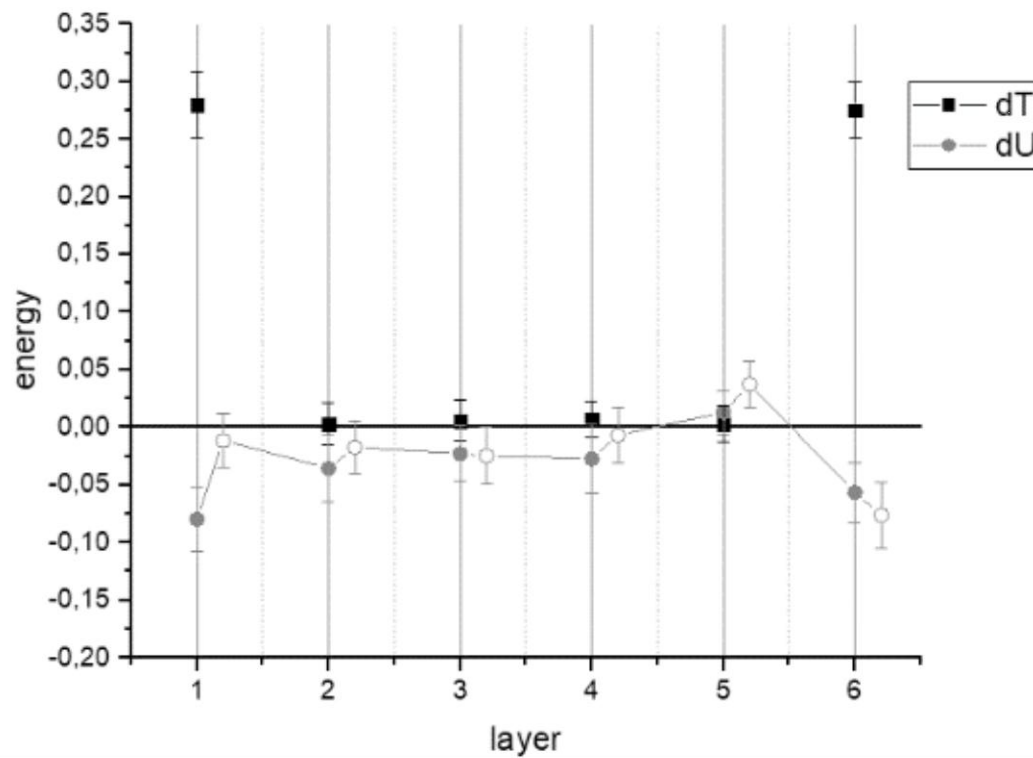
# Результаты



# Результаты



# Результаты



# Role of the Terms in Hamiltonian of Graphene

$$H = H_\kappa + H_h + H_c$$

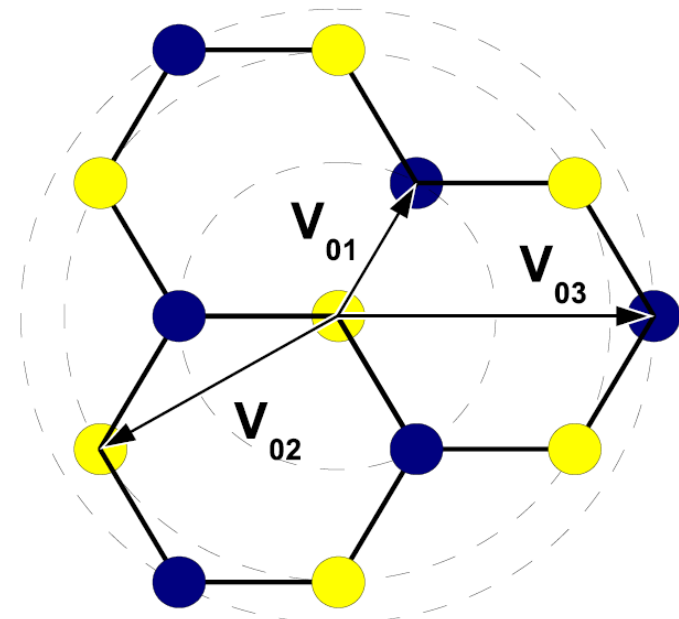
$$H_\kappa = \kappa \sum_{x,\mu,\sigma} \left( \psi_{\sigma,x+\mu}^\dagger \psi_{\sigma,x} + \psi_{\sigma,x}^\dagger \psi_{\sigma,x+\mu} \right) \quad \kappa = 2.8 \text{ eV}$$

$$H_h = \sum_x q_x V_{x,x} q_x \quad V(x,x) = 9.3 \text{ eV}$$

$$H_c = \sum_{x \neq x'} q_x V_{x,x'} q'_{x'}$$

$$V(0,1) = 5.5 \text{ eV}$$

$$H = \cancel{H_\kappa} + H_h + H_c$$



# First order Hamiltonian of Graphene in terms of occupation numbers

$$\begin{aligned} Z &= \sum_{\{n\}\{m\}} e^{-\frac{1}{T}H(\{n\}\{m\})} = \\ &= \exp \left\{ -\frac{1}{T} \left( \sum_x V_{xx} (n_x - m_x)^2 + \right. \right. \\ &\quad \left. \left. + \sum_{x < y} V_{xy} (n_x - m_x)(n_y - m_y) \right) \right\} \end{aligned}$$

$$\begin{aligned} \langle O \rangle &= \frac{1}{Z} \sum_{\{n\}\{m\}} O \exp \left\{ -\frac{1}{2T} \left( \sum_x V_{xx} (n_x - m_x)^2 + \right. \right. \\ &\quad \left. \left. + \sum_{x \neq y} V_{xy} (n_x - m_x)(n_y - m_y) \right) \right\} \end{aligned}$$

# First order Hamiltonian of Graphene in terms of electric charges

$$|\{q_x\}\rangle$$

$$\langle \hat{O} \rangle = \frac{\sum_{\{q_x\}} O(\{q_x\}) \exp^{-\beta H(\{q_x\})} \prod_x (1 + \delta_{q_x, 0})}{Tr (\exp^{-\beta H(\{q_x\})})}$$

$$H(\{q_x\}) = \frac{1}{2} \left( \sum_x V_{xx}(q_x)^2 + \sum_{x \neq y} V_{xy}(q_x)(q_y) \right)$$

 **q = 1**

 **q = 0**

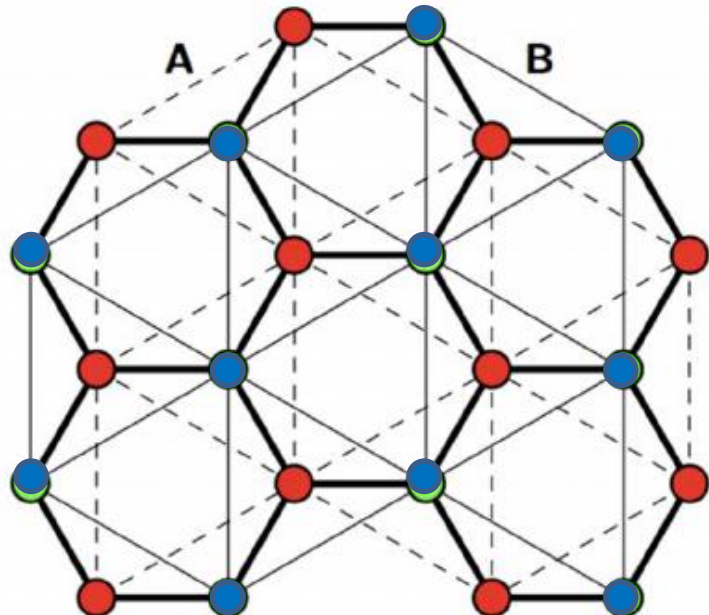
 **q = -1**

# Chiral Domain Vacuum or Neutrality point Vacuum

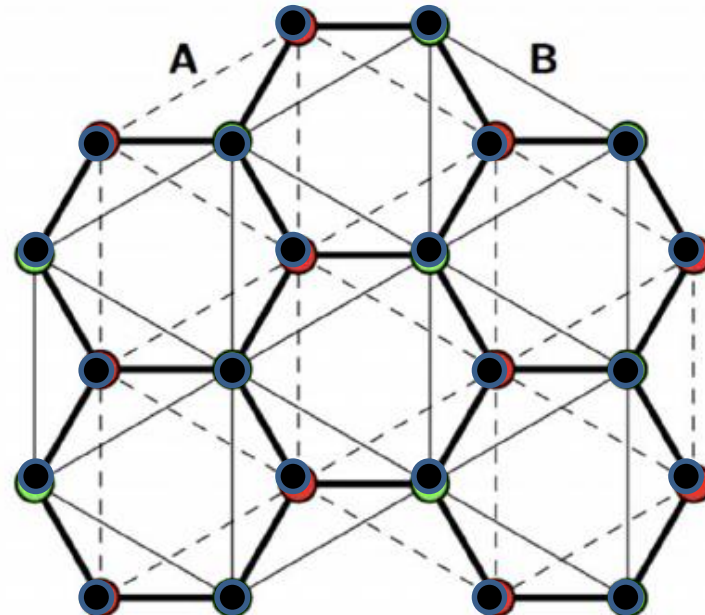
$$H_h > H_c$$

$$H_h > H_c$$

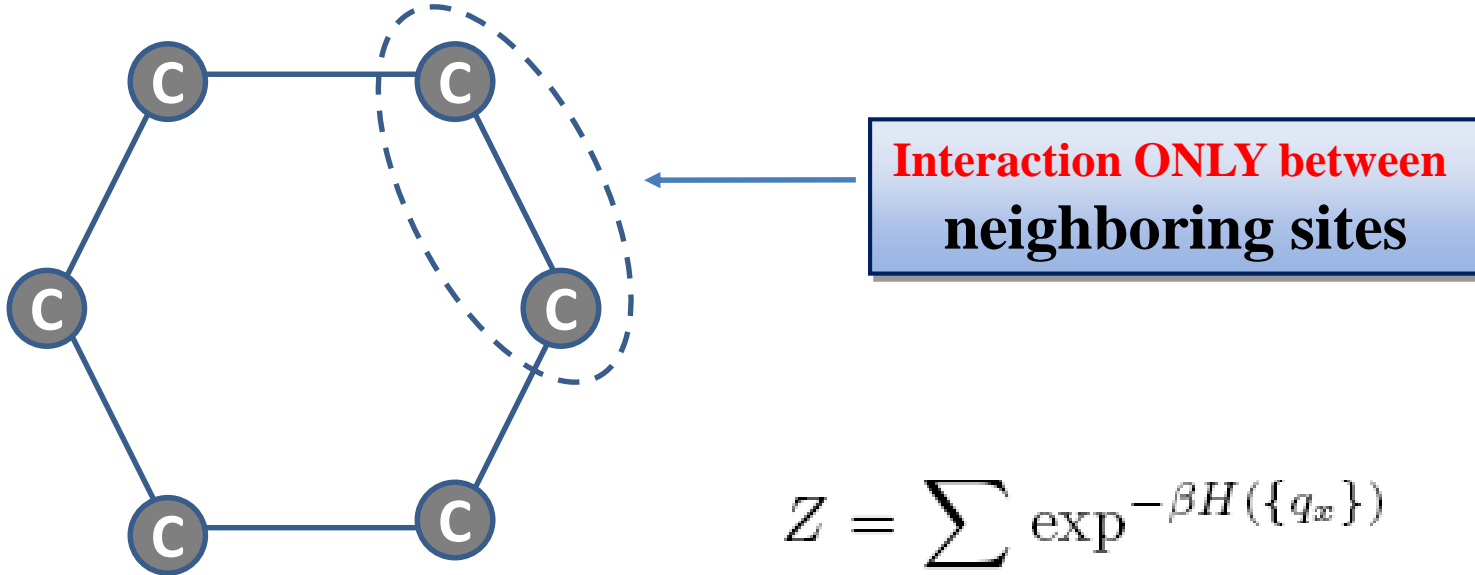
Chiral domain



Neutrality point



# Simple model



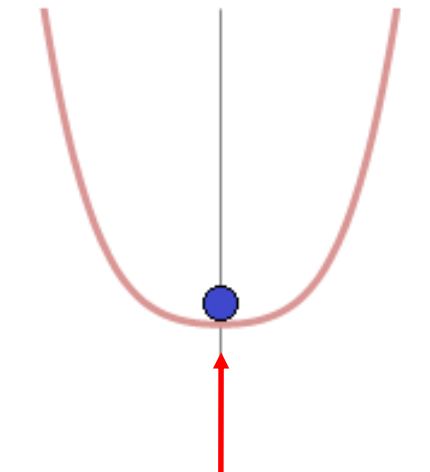
$$Z = \sum_{\{q_x\}} \exp^{-\beta H(\{q_x\})}$$

$$H(\{q_x\}) = \frac{1}{2} \left( V_{00} \sum_x q_x^2 + V_{01} \sum_{x,\mu} q_x q_{x+\rho_b} \right)$$

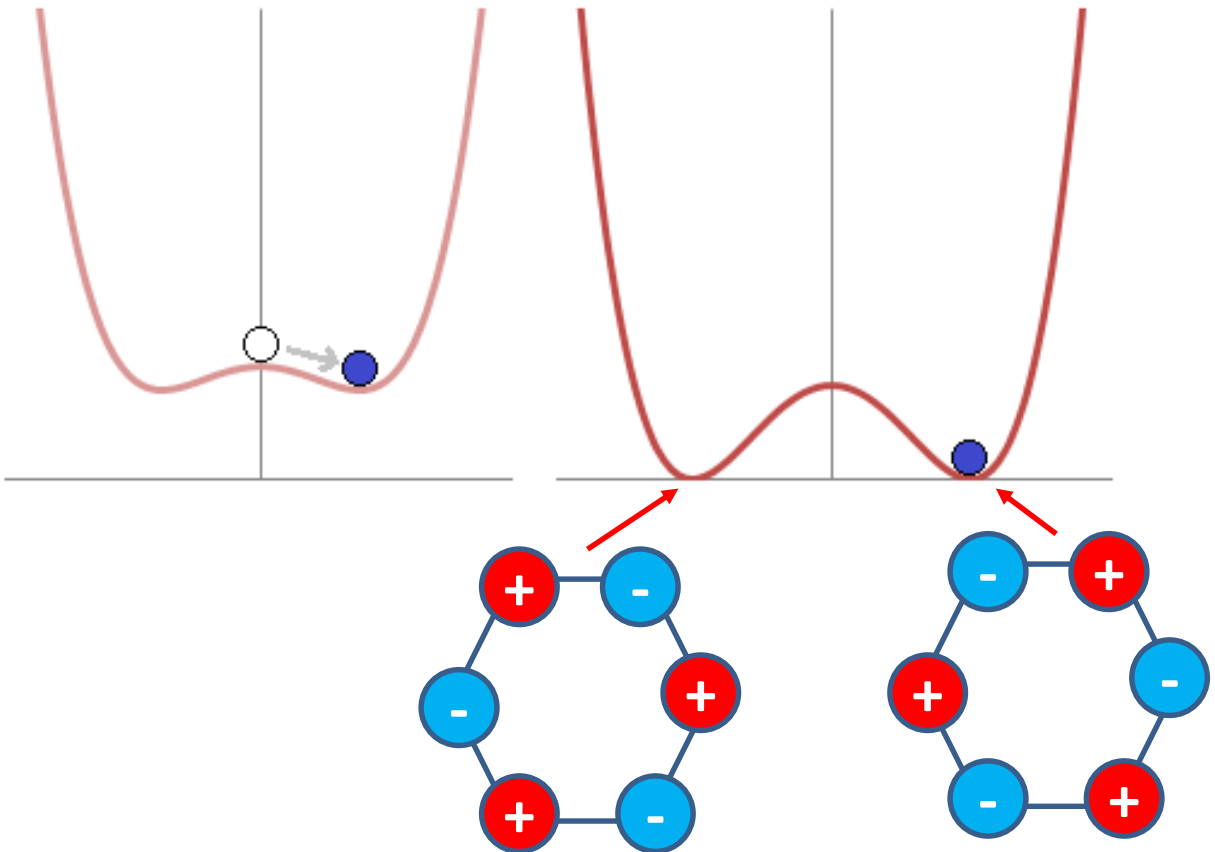
# Simple model: Ground state

$$H(\{q_x\}) = \frac{1}{2} \left( V_{00} \sum_x q_x^2 + V_{01} \sum_{x,\mu} q_x q_{x+\rho_b} \right)$$

$V_{00} \gg V_{01}$



$V_{00} \ll V_{01}$



# Critical value of on-site interaction

$$Z = \sum_{\{q_x\}} \exp^{-\beta H(\{q_x\})}$$

$$H(\{q_x\}) = \frac{1}{2} \left( V_{00} \sum_x q_x^2 + V_{01} \sum_{x,\mu} q_x q_{x+\rho_b} \right)$$

If temperature  $\longrightarrow 0$

$$\begin{cases} V_{00} \gg V_{01} & \text{Neutrality point} \\ V_{00} \ll V_{01} & \text{Chiral domain} \end{cases}$$

Critical  $V_{00} \longrightarrow 2 \cdot (V_{00}/2) - 3 \cdot V_{01} = 0.$

$$V_{00}^c = 16.5 \text{ eV}$$

# Paradox of Anti-ferroelectricity of Graphene

Theoretical prediction for anti-ferroelectric phase transition

$$V_{00}^c = 16.5 \text{ eV}$$

On-site interaction in free Graphene (T.O. Wehling arXiv: 1101.4007)

$$V_{00} = 9.5 \text{ eV}$$

Free Graphene is anti-ferroelectric ?!

# Monte-Carlo Studding of Graphene

In framework of occupation number formalism  
Graphene is a statistical model

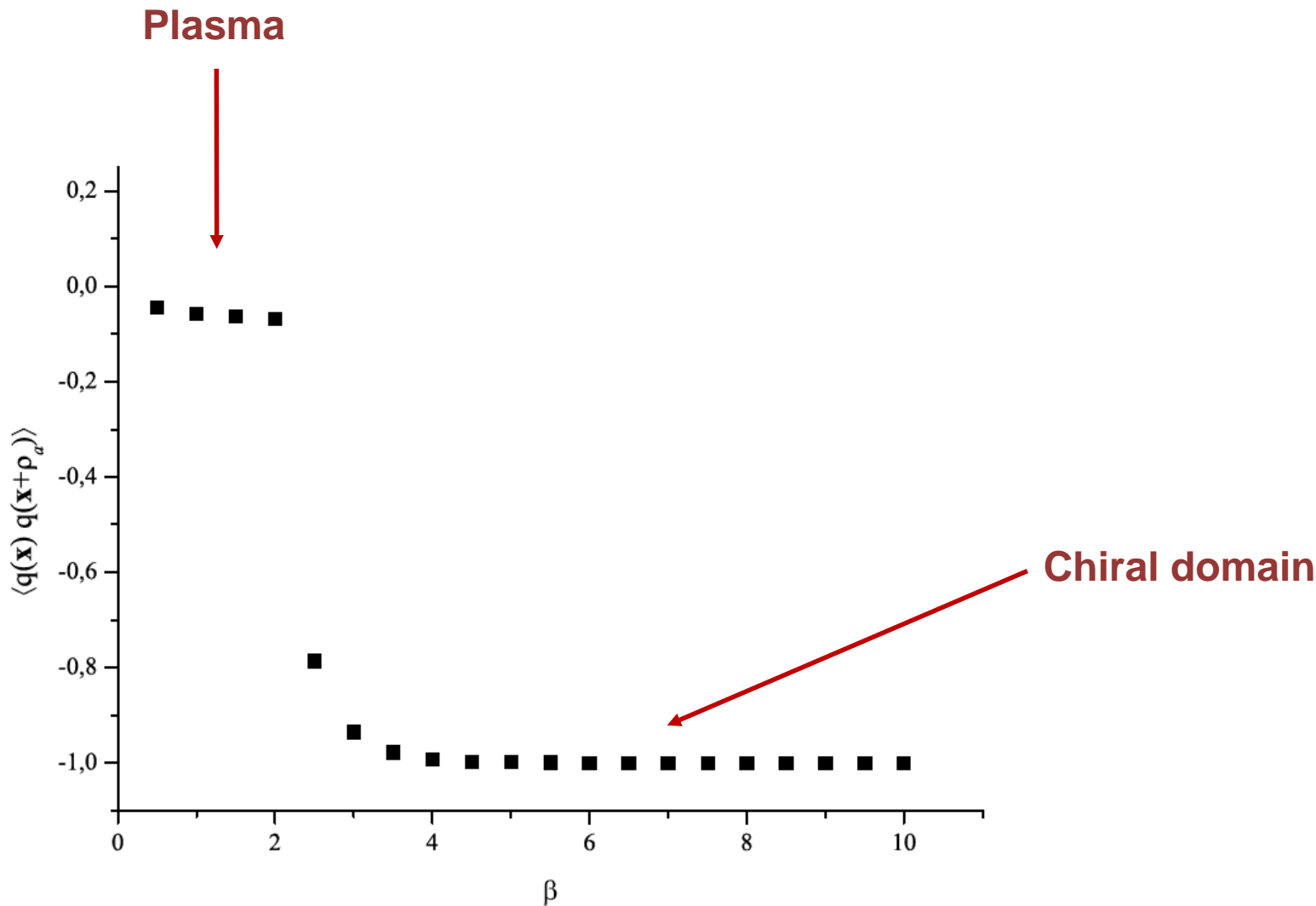
$$Z = \sum_{\{q_x\}} \exp^{-\beta H(\{q_x\})}$$

$$H(\{q_x\}) = \frac{1}{2} \left( V_{00} \sum_x q_x^2 + V_{01} \sum_{x,\mu} q_x q_{x+\rho_b} \right)$$

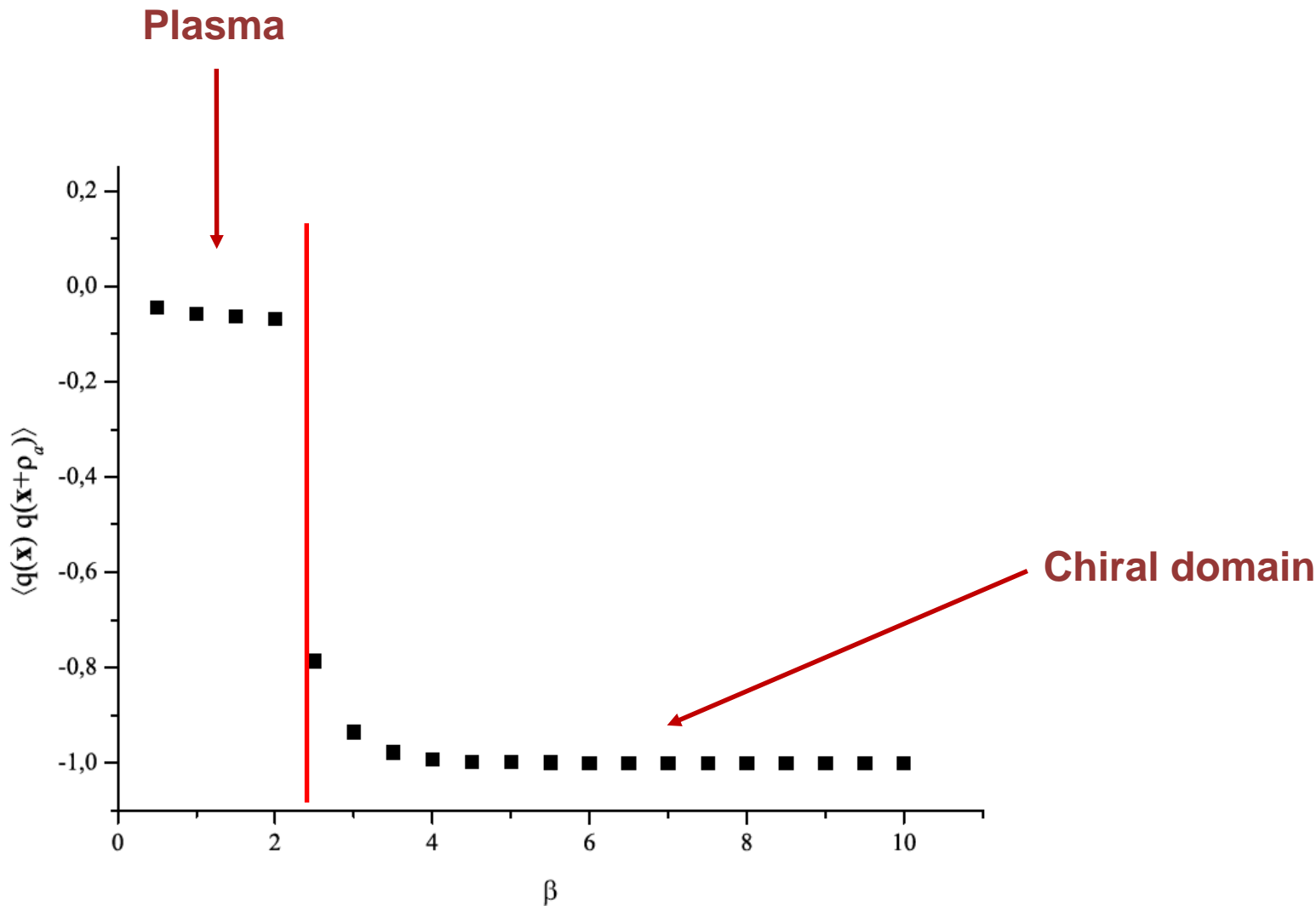
$$\langle O \rangle = \langle q_x q_{x+\mu} \rangle$$

-1 for domain  
0 for plasma

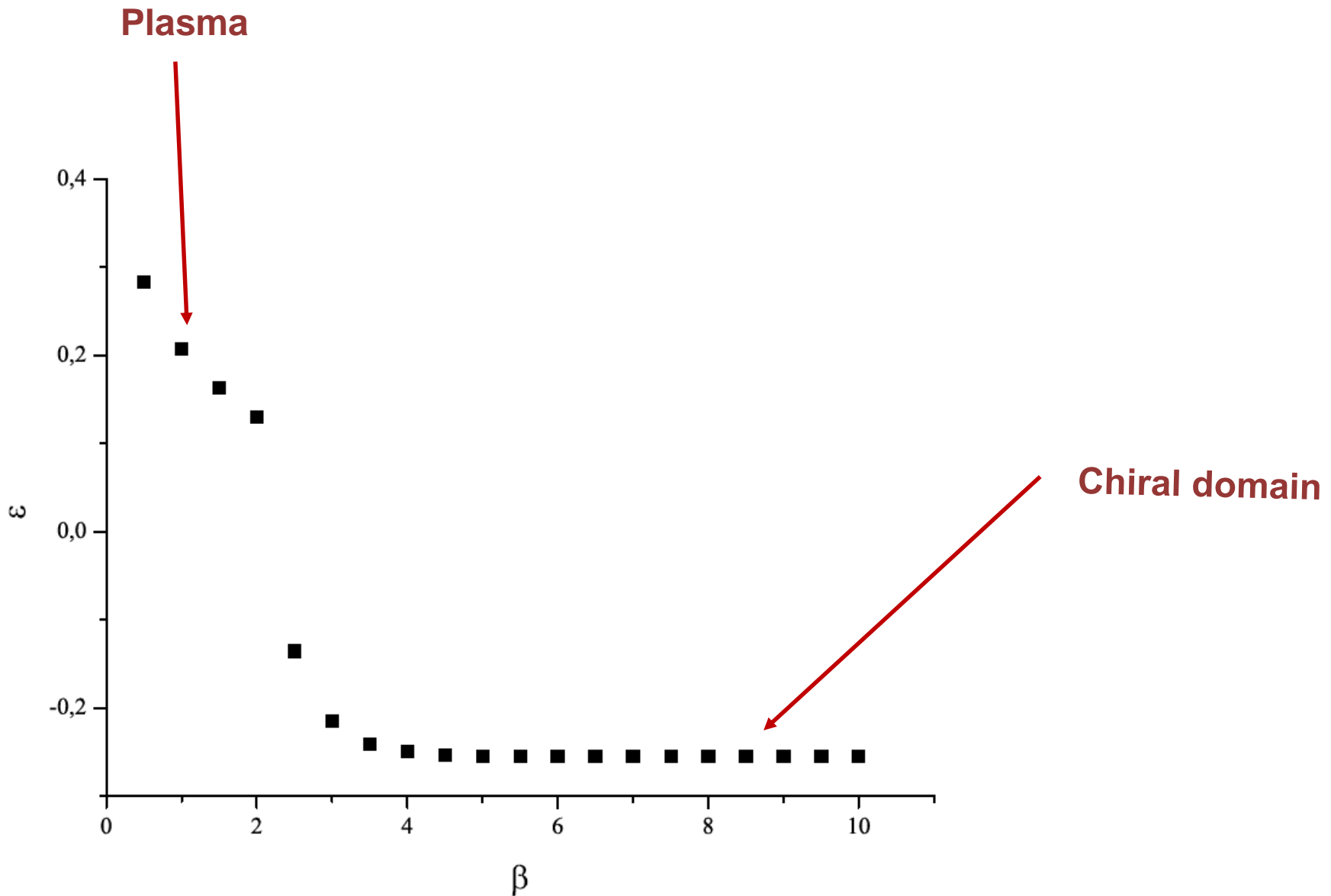
# Results of Monte-Carlo calculations



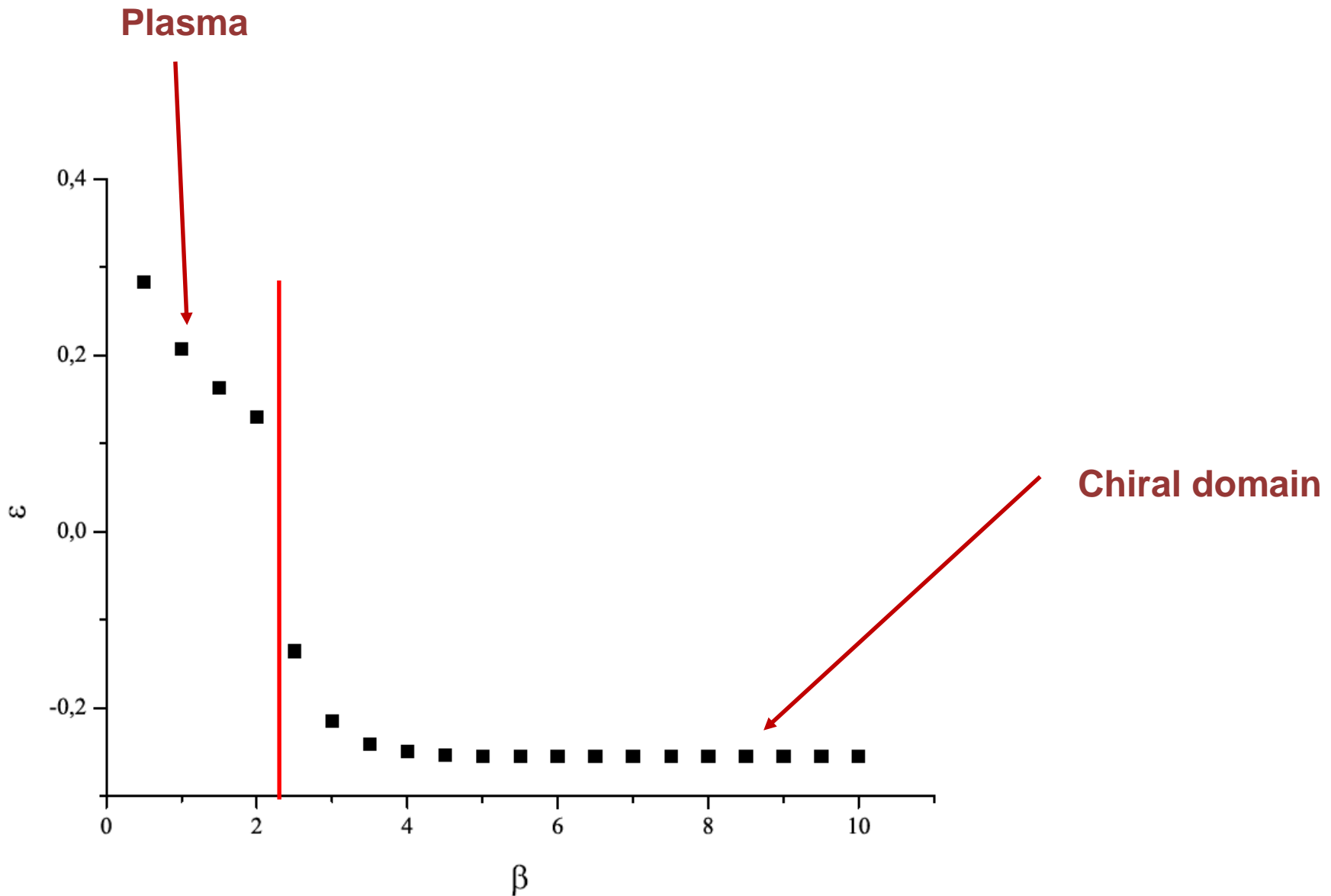
# Results of Monte-Carlo calculations



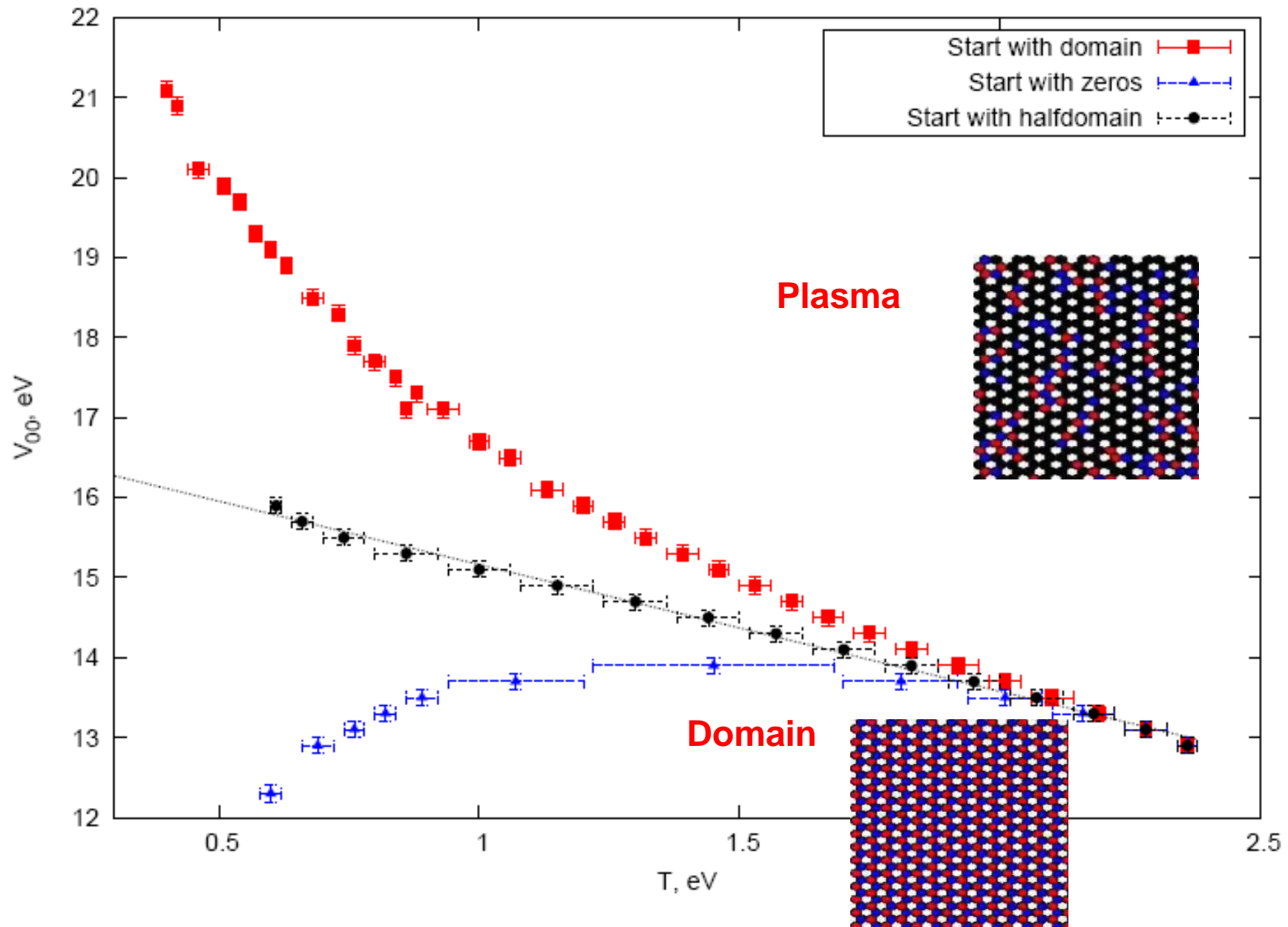
# Results of Monte-Carlo calculations



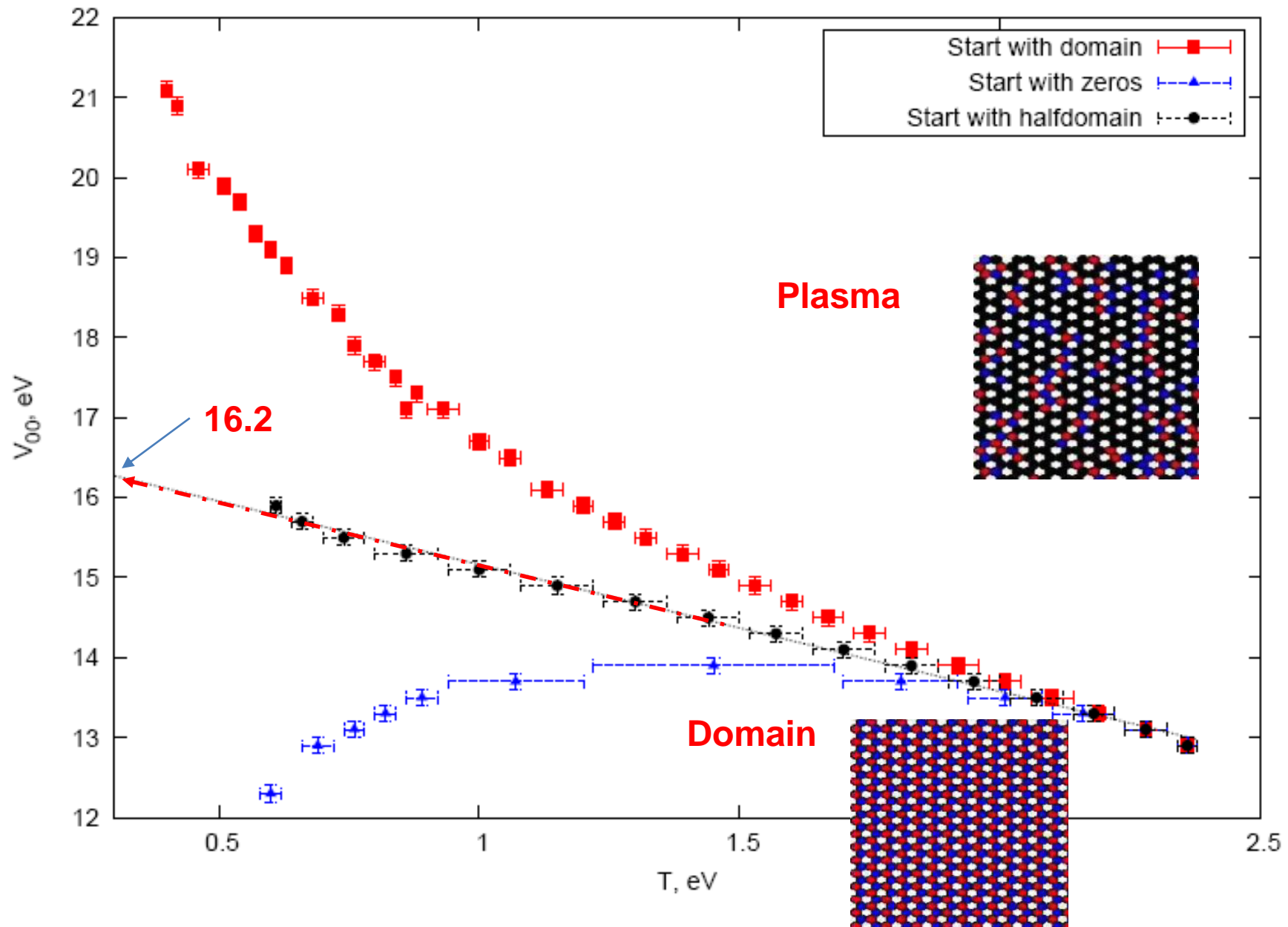
# Results of Monte-Carlo calculations



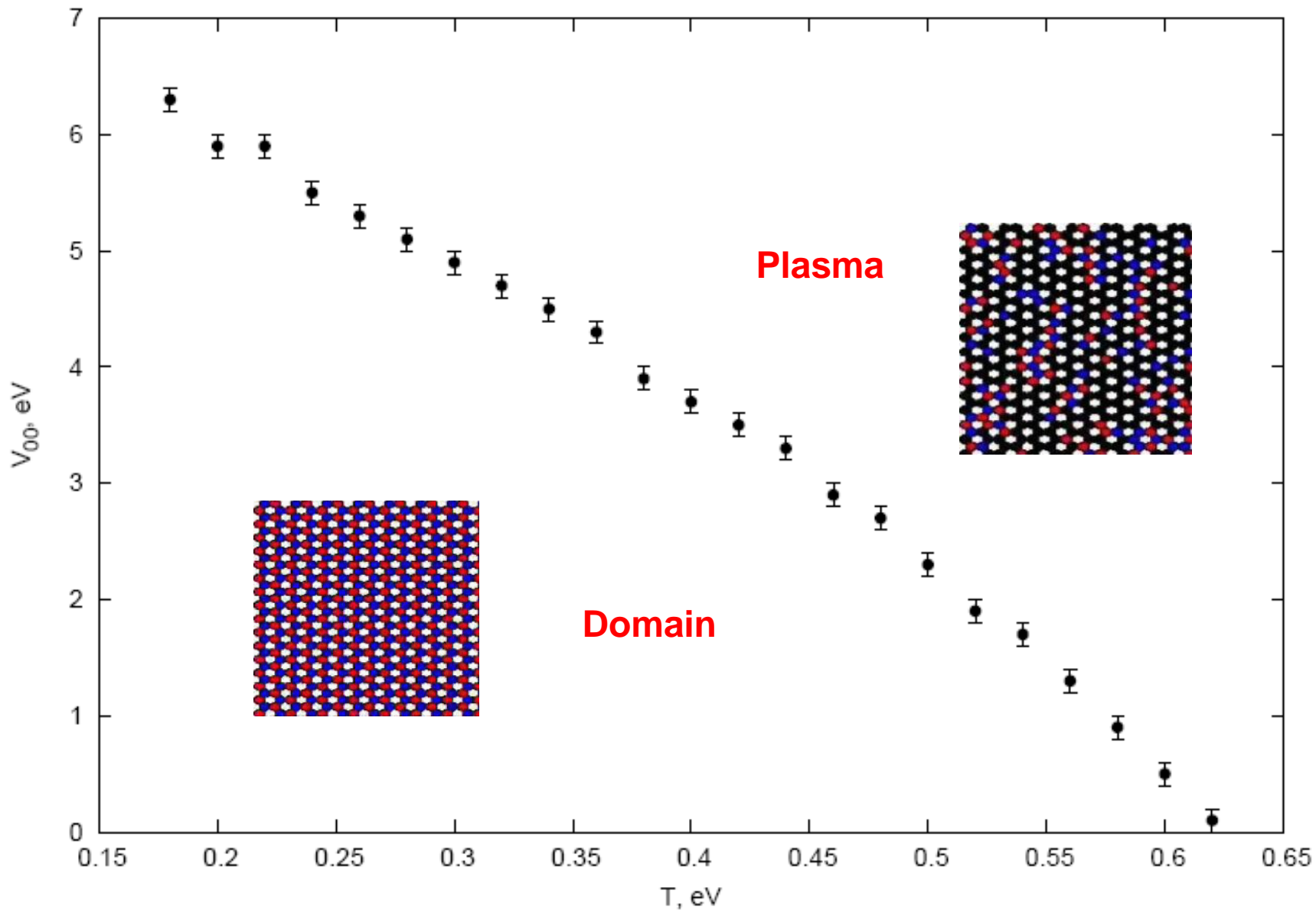
# Results of Monte-Carlo calculations: 1<sup>st</sup> radius



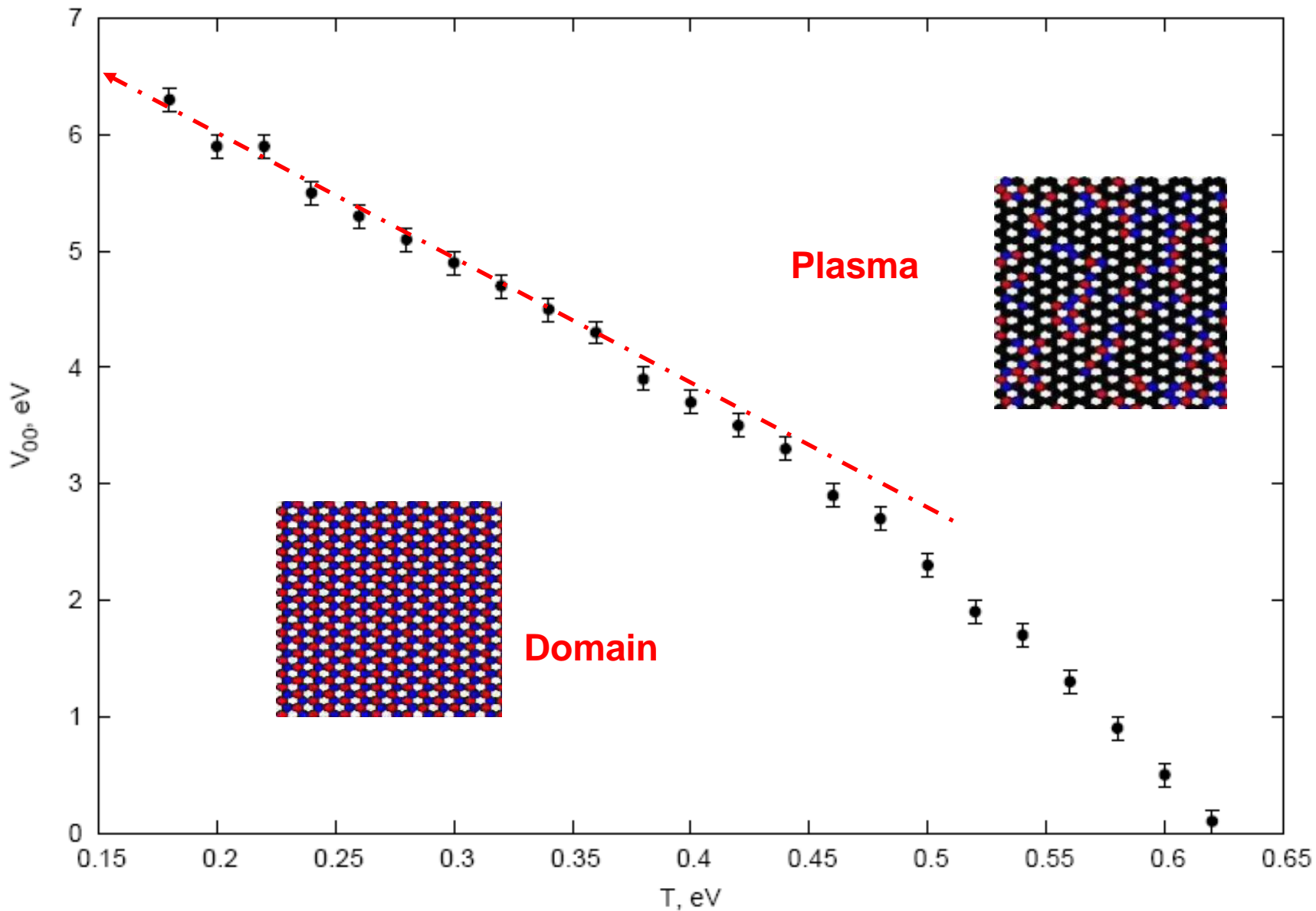
# Results of Monte-Carlo calculations: 1<sup>st</sup> radius



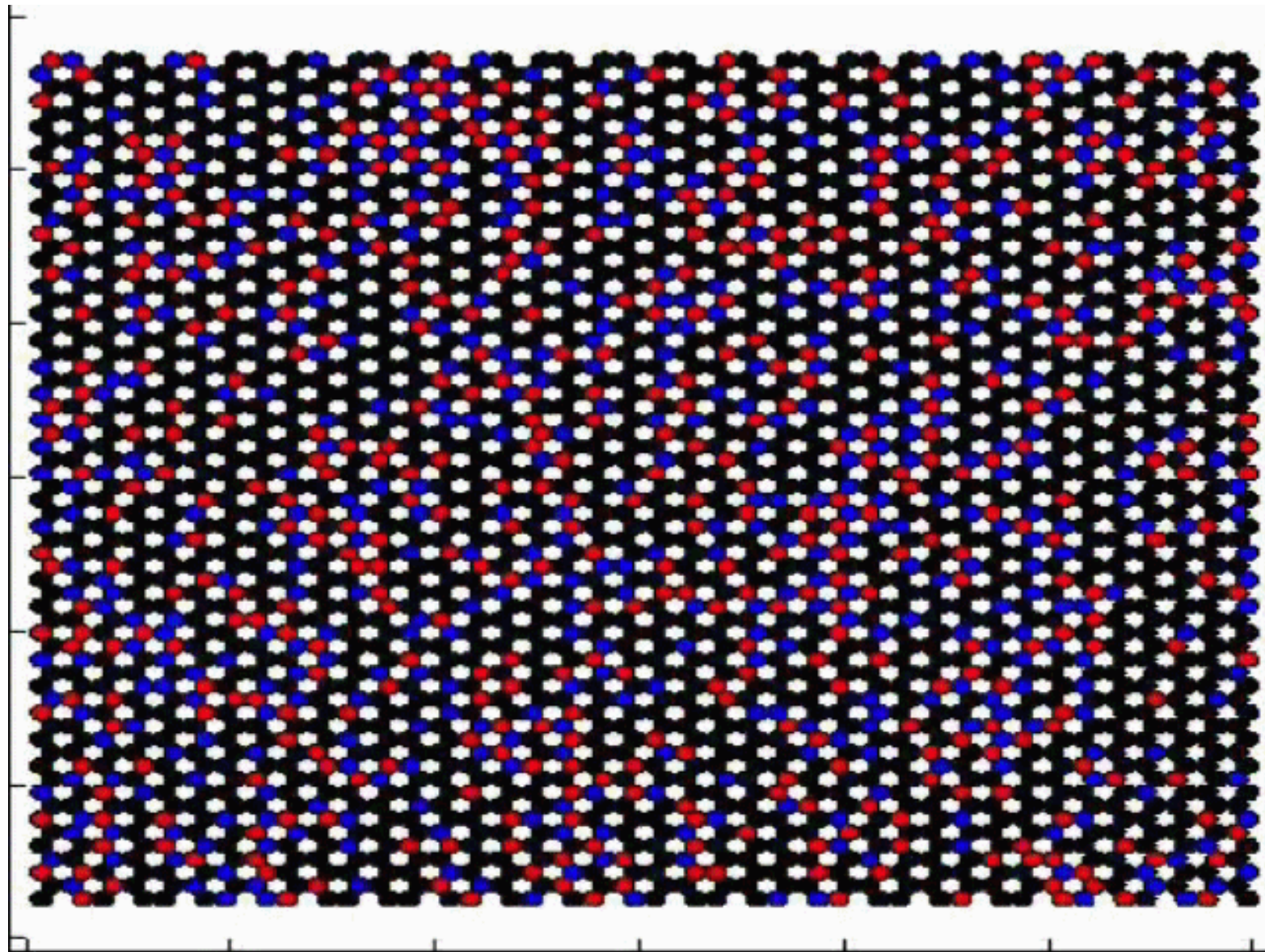
# Results of Monte-Carlo calculations: all radius



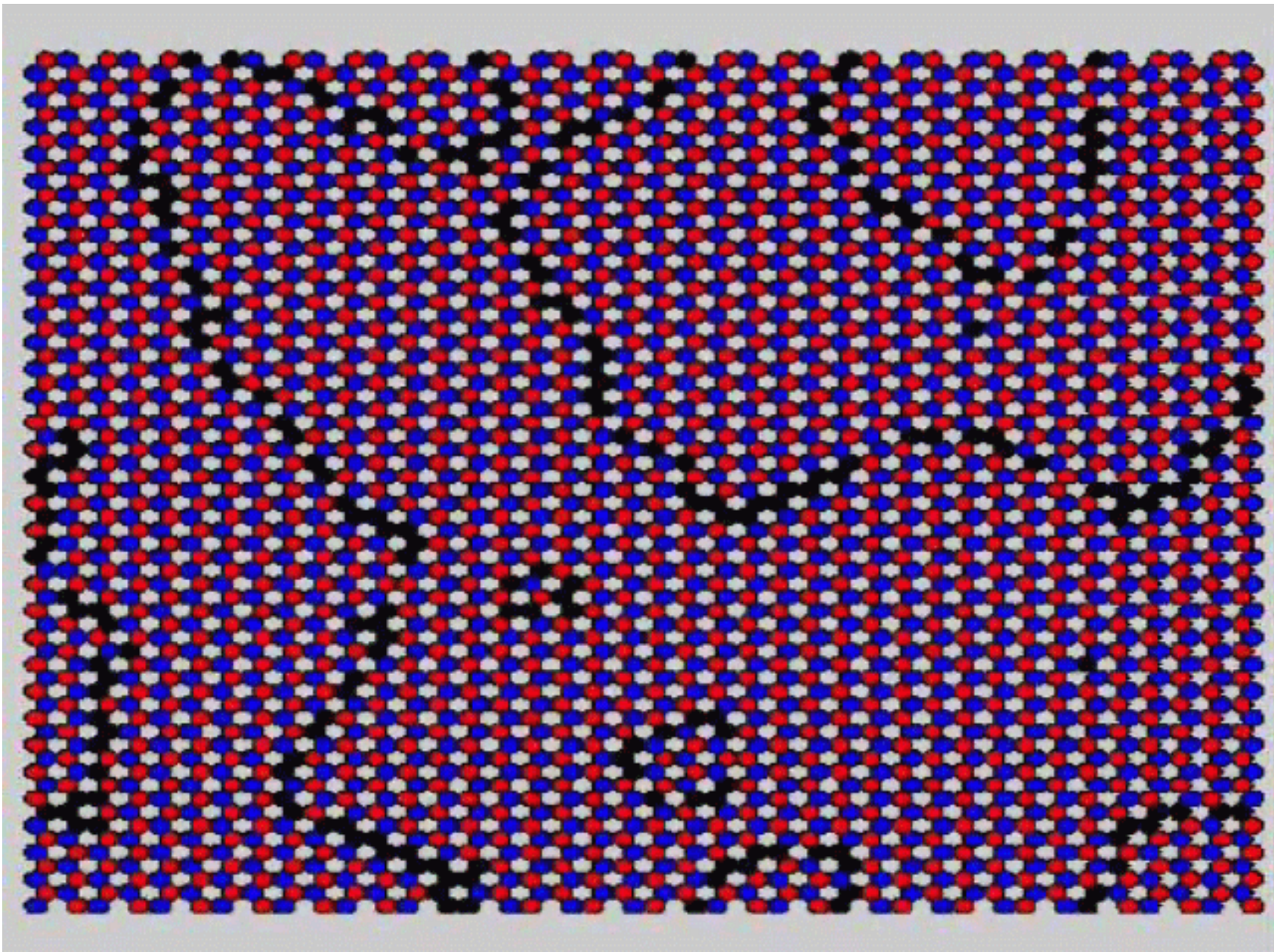
# Results of Monte-Carlo calculations: all radii



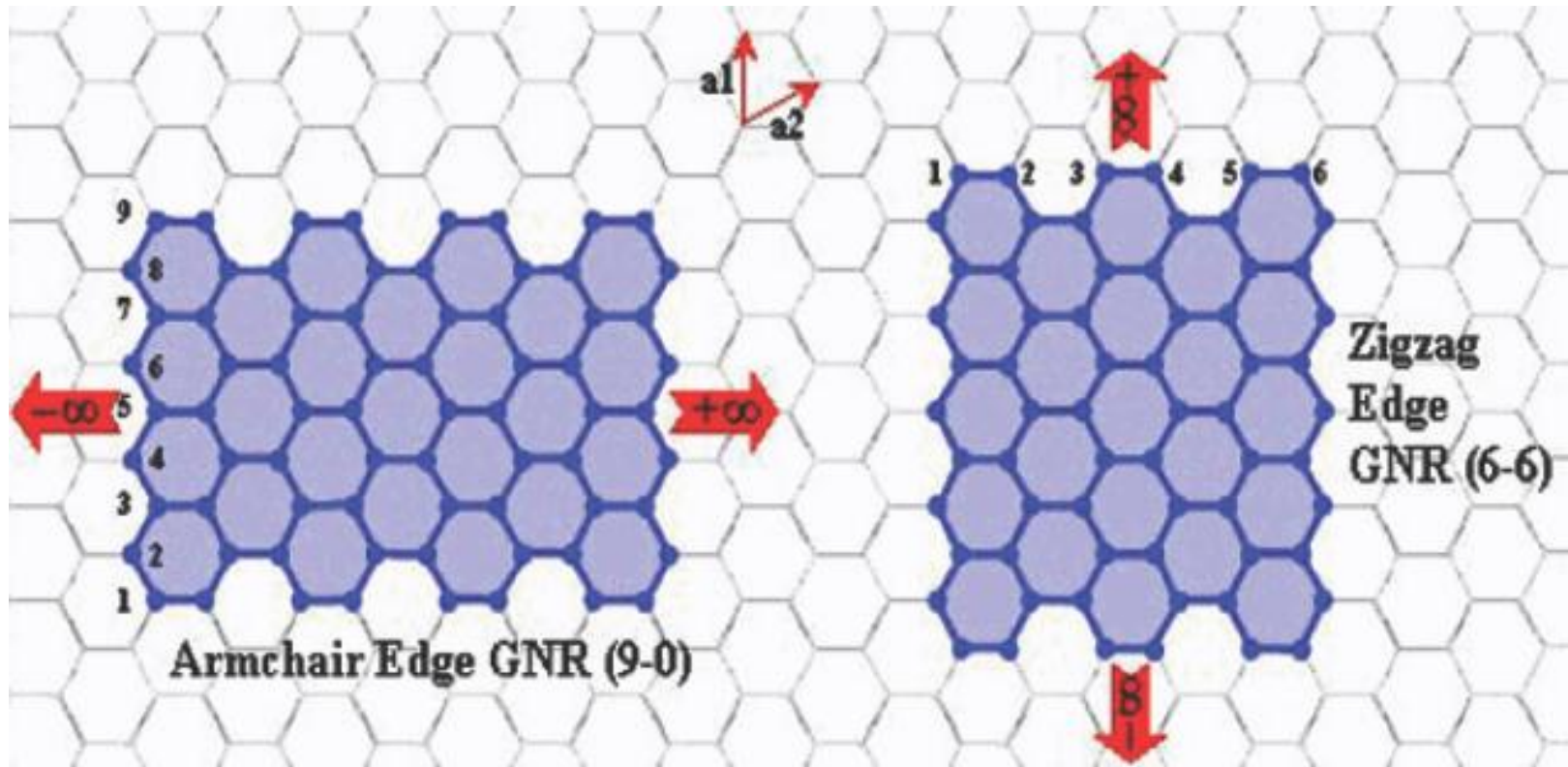
# Plasma



# Chiral domains

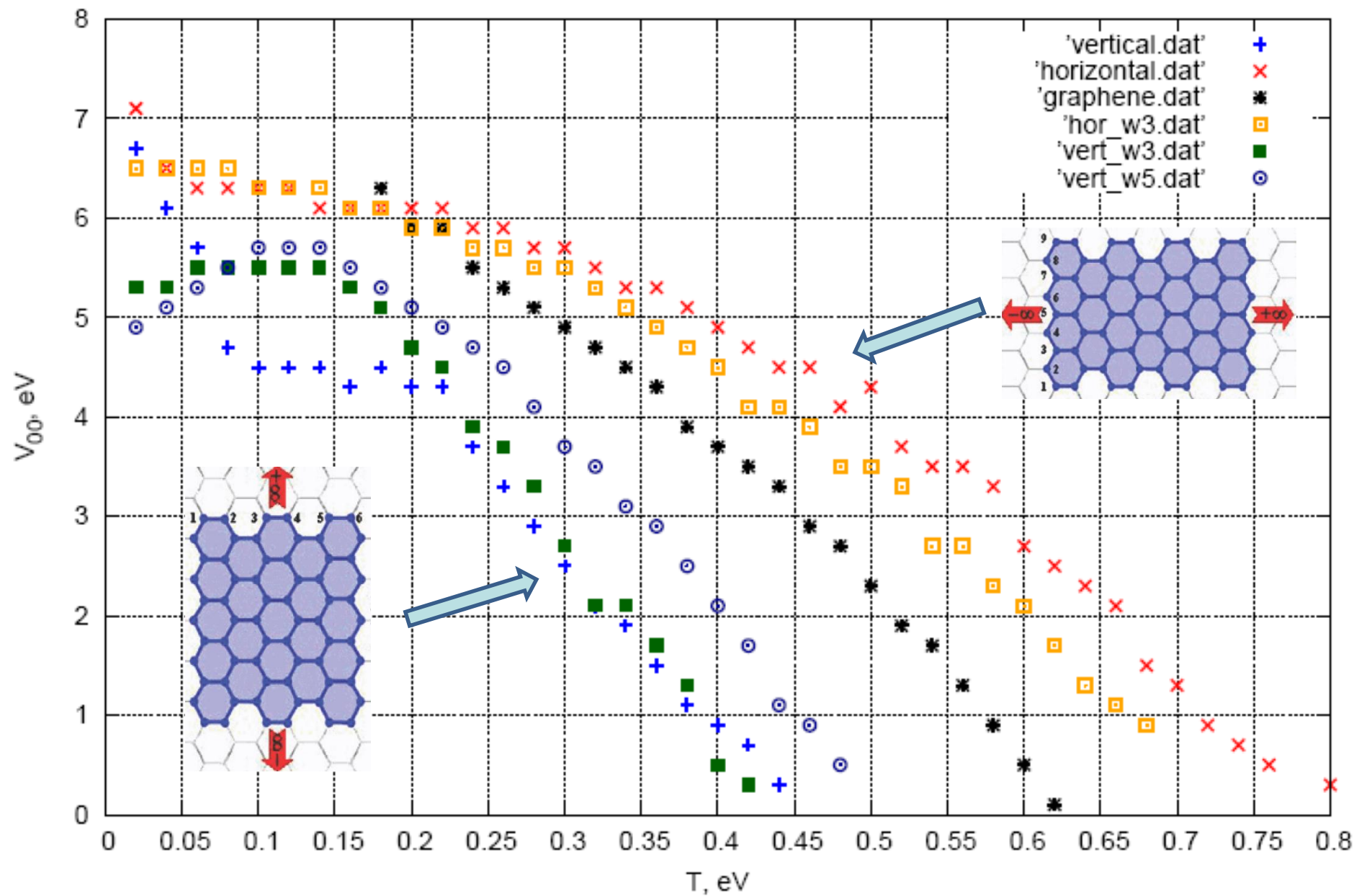


# Graphene nano-ribbons



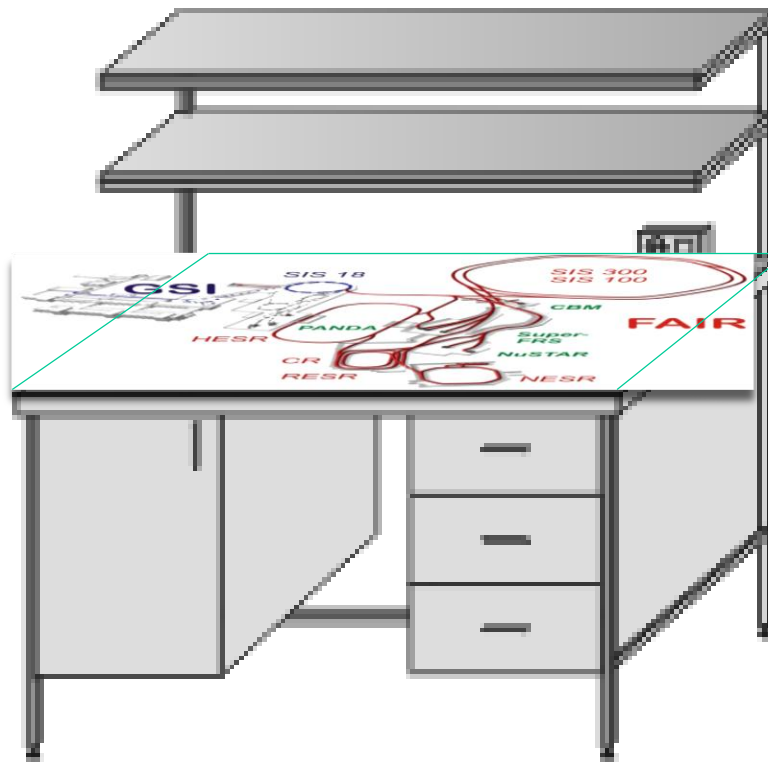
# Graphene nano-ribbons: phase diagram

HalfDomain



# Темы исследований

## Эффект критического заряда в графене



# Historical Remark

## Critical Charge phenomenon: qualitative approach

Non-relativistic particle:

$$p \approx \frac{\hbar}{R} \quad \longrightarrow \quad E(R) \approx \frac{\hbar^2}{2mR^2} - \frac{Ze^2}{R}$$

$$\left( \frac{\partial E}{\partial R} \right)_{R=R_0} = 0 \quad \longrightarrow \quad R_0 = \frac{\hbar^2}{mZe^2}$$

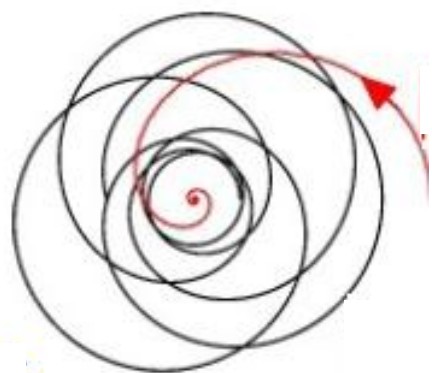
# Historical Remark

## Critical Charge phenomenon: qualitative approach

Relativistic particle:

$$p \approx \frac{\hbar}{R} \quad \longrightarrow \quad E(R) \approx \sqrt{\left(\frac{\hbar c}{R}\right)^2 + (mc^2)^2} - \frac{Ze^2}{R}$$

$$\left(\frac{\partial E}{\partial R}\right)_{R=R_0} = 0 \quad \longrightarrow \quad 1 + \left(\frac{mcR_0}{\hbar}\right)^2 = \left(\frac{\hbar c}{Ze^2}\right)^2$$

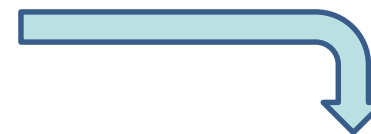


$$R = 0 \quad \longleftrightarrow \quad Z < Z_c = \frac{\hbar c}{e^2} = \frac{1}{\alpha} \approx 137$$

# Historical Remark

## Little more Math: Dirac equation approach

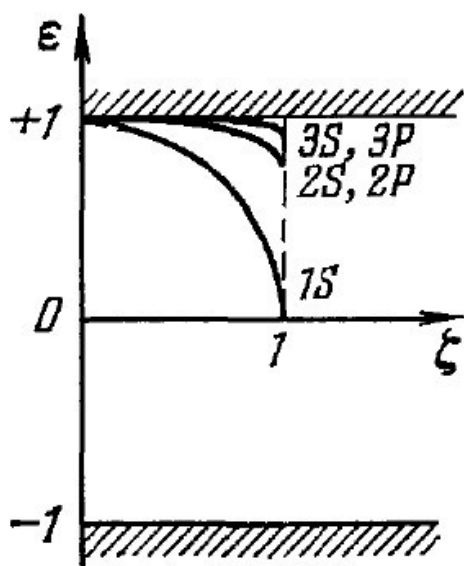
$$i\hbar \frac{\partial \Psi}{\partial t} = \left[ c \vec{\alpha} \left( \vec{p} - \frac{e}{c} \vec{A} \right) - e \varphi + mc^2 \hat{\beta} \right] \Psi$$



$$\epsilon_1 = m\sqrt{1 - \zeta^2}$$

$$\zeta \equiv \frac{Ze^2}{\hbar c}$$

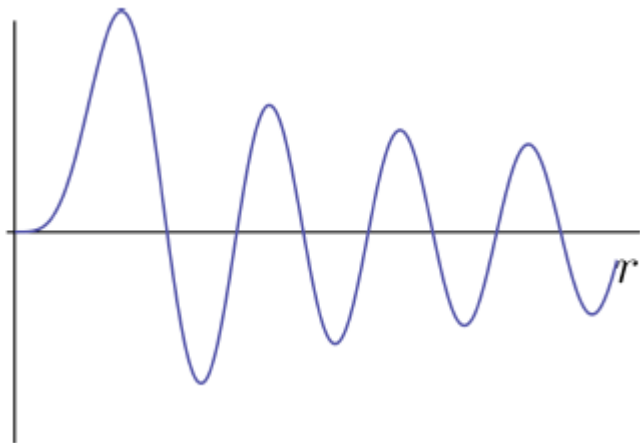
$$E_{n,j} = \frac{mc^2}{\sqrt{1 + \frac{(Z\alpha)^2}{(n - |j| + \sqrt{j^2 - (Z\alpha)^2})^2}}}$$



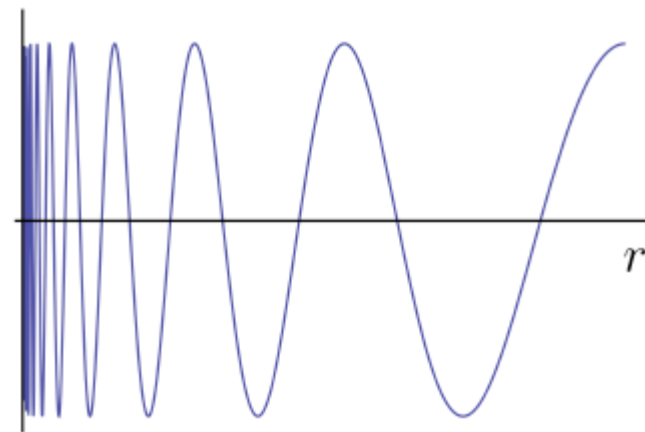
$$Z < Z_c = \frac{\hbar c}{e^2} = \frac{1}{\alpha} \approx 137$$

# Historical Remark

## Wave function and singularity at origin



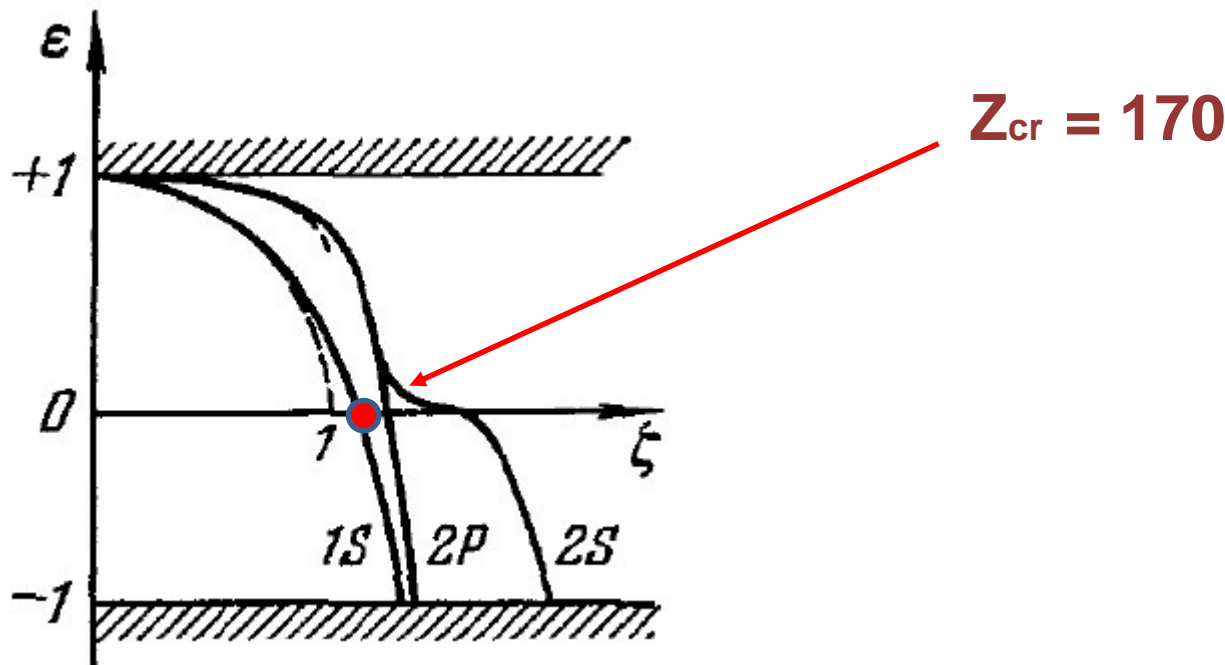
$Z < Z_{\text{cr}}$



$Z > Z_{\text{cr}}$

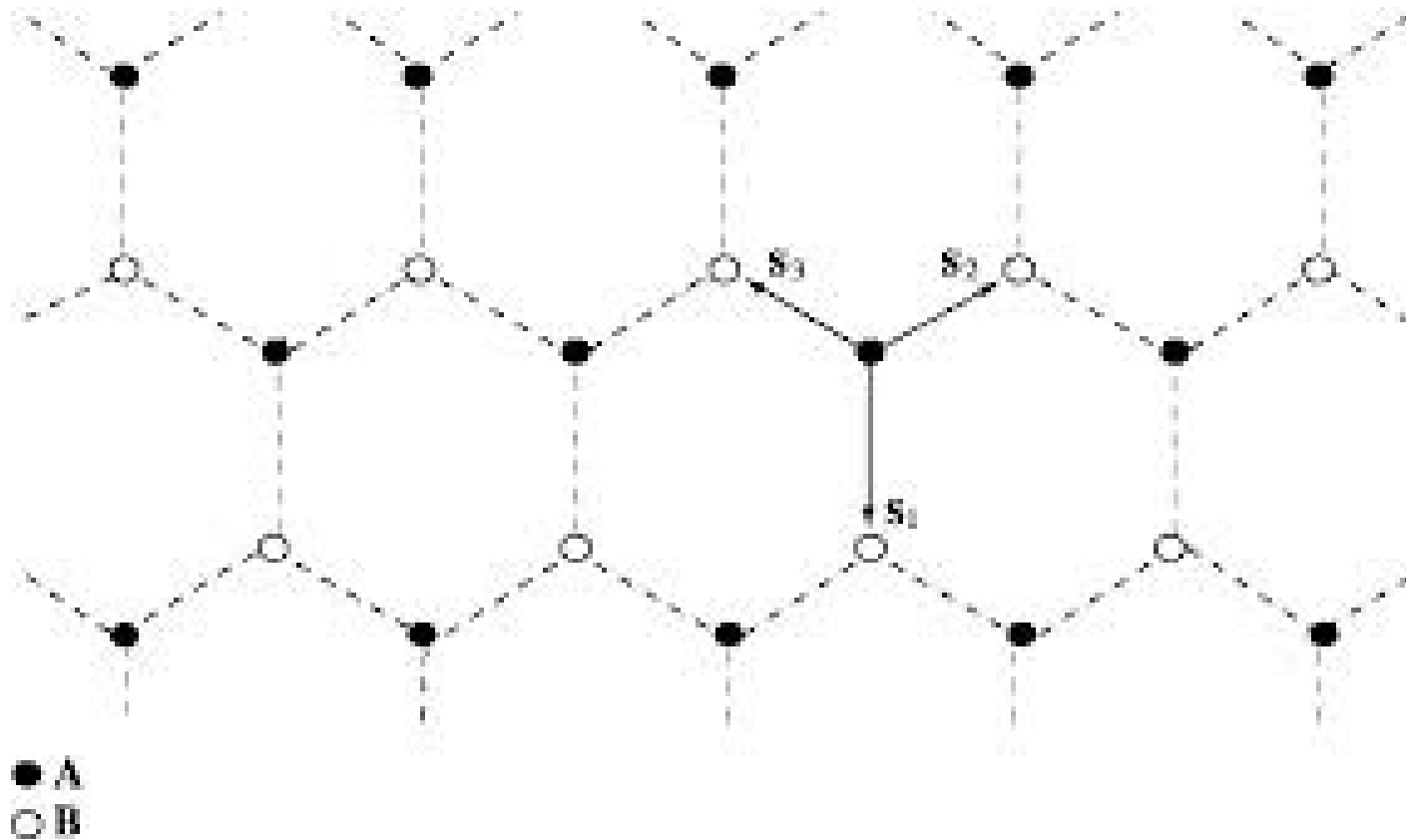
# Historical Remark

## Little more Math: Dirac equation approach



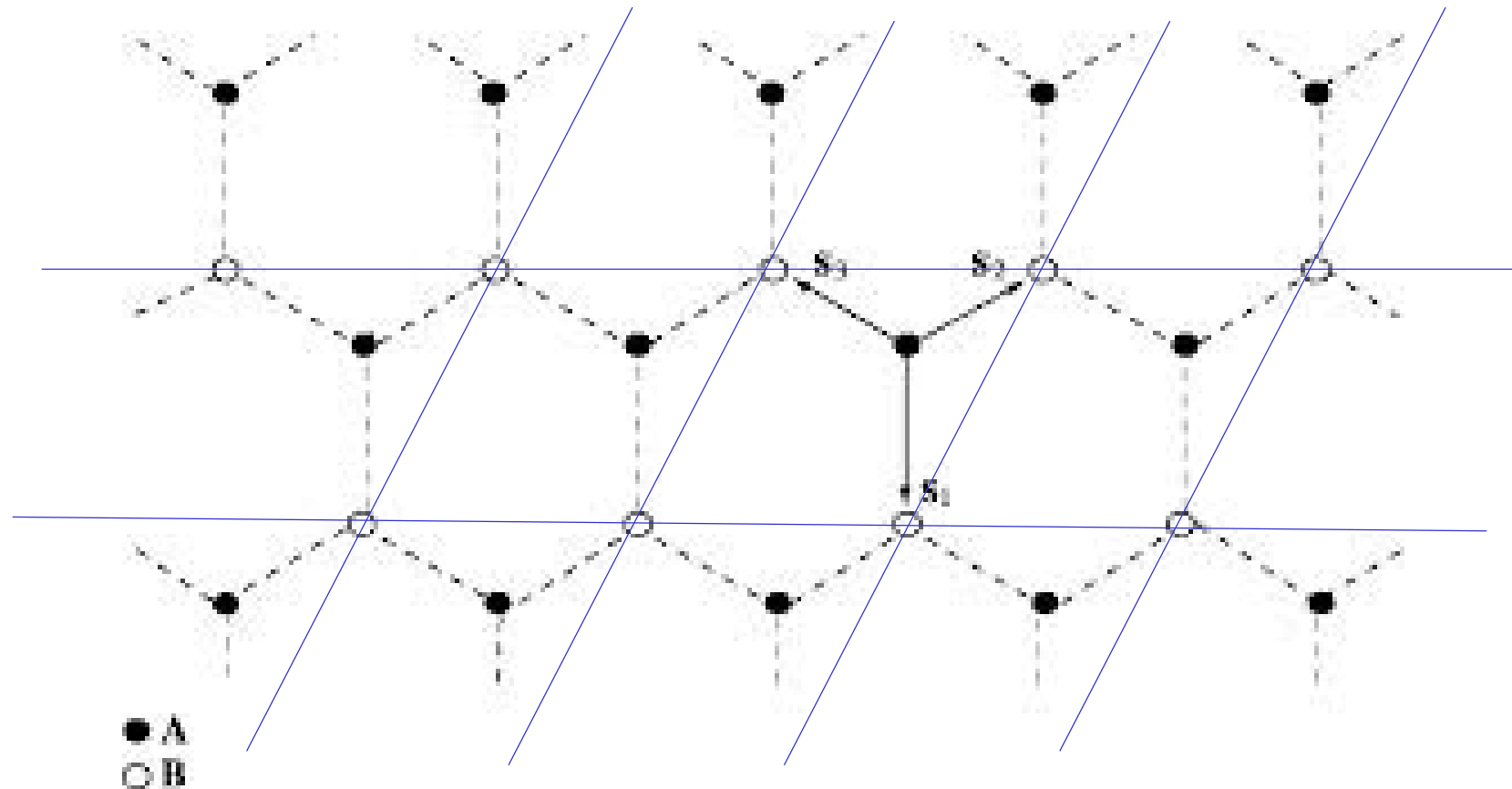
# Gapped graphene

Violation of sub-lattice symmetry:



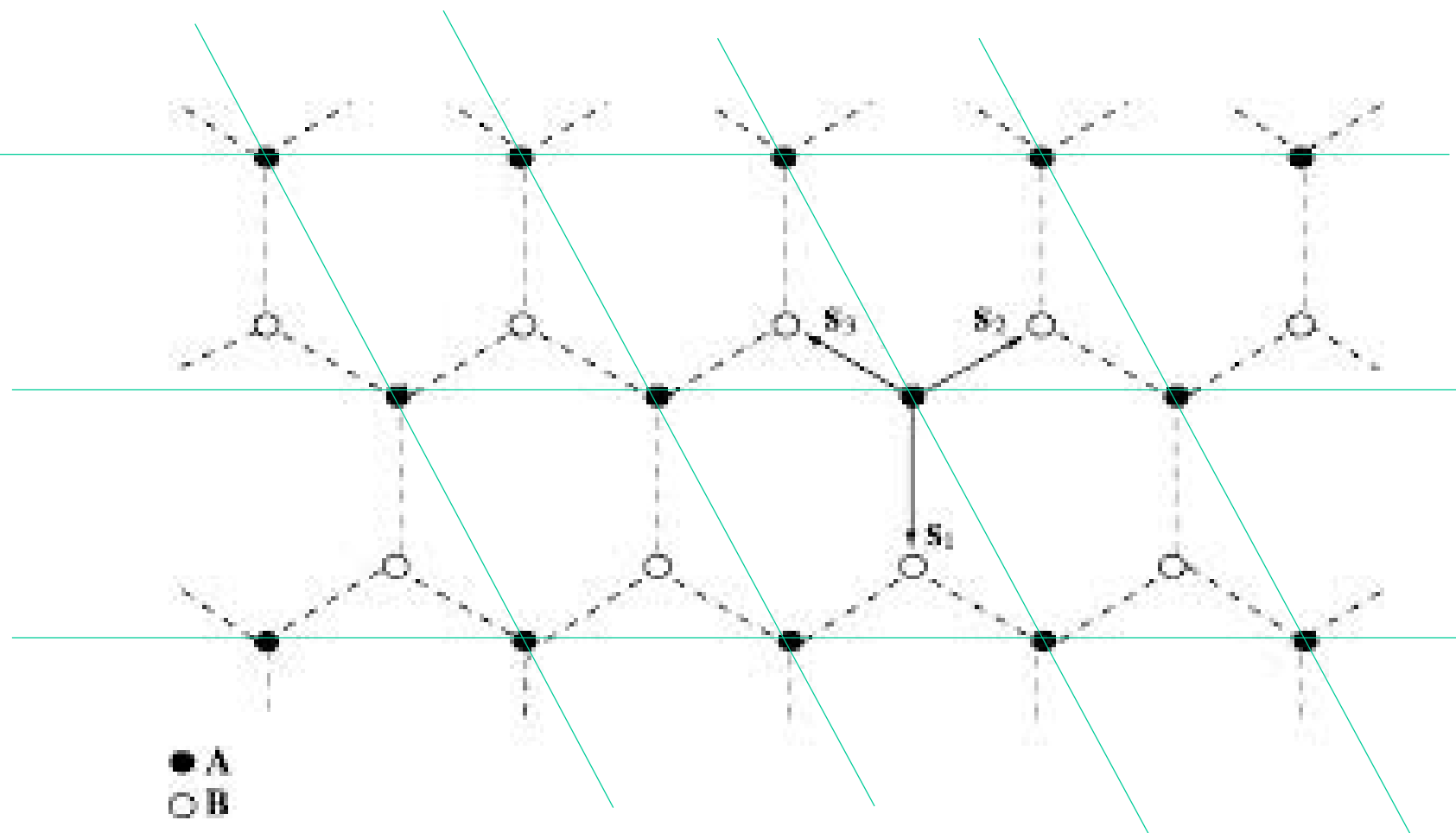
# Gapped graphene

Violation of sub-lattice symmetry:



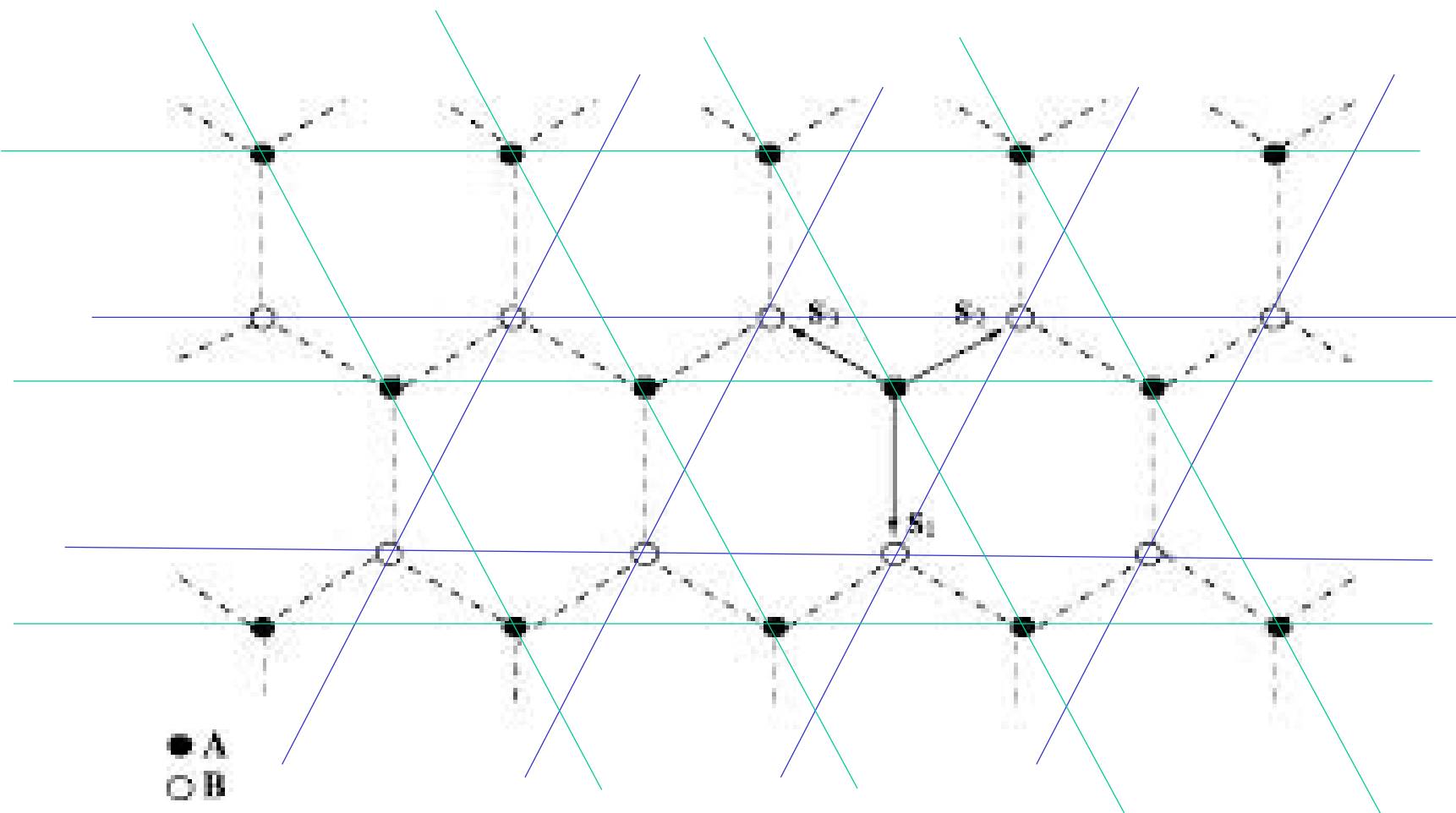
# Gapped graphene

Violation of sub-lattice symmetry:



# Gapped graphene

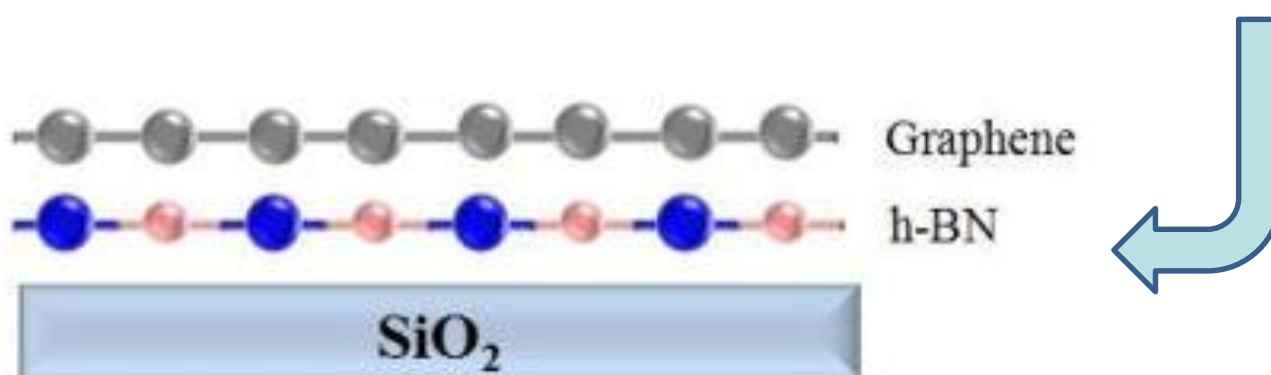
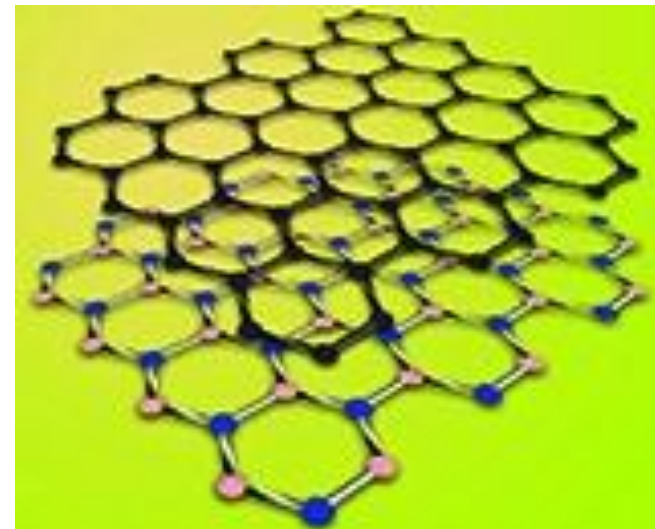
Violation of sub-lattice symmetry:



# Gapped Graphene

Violation of sub-lattices symmetry

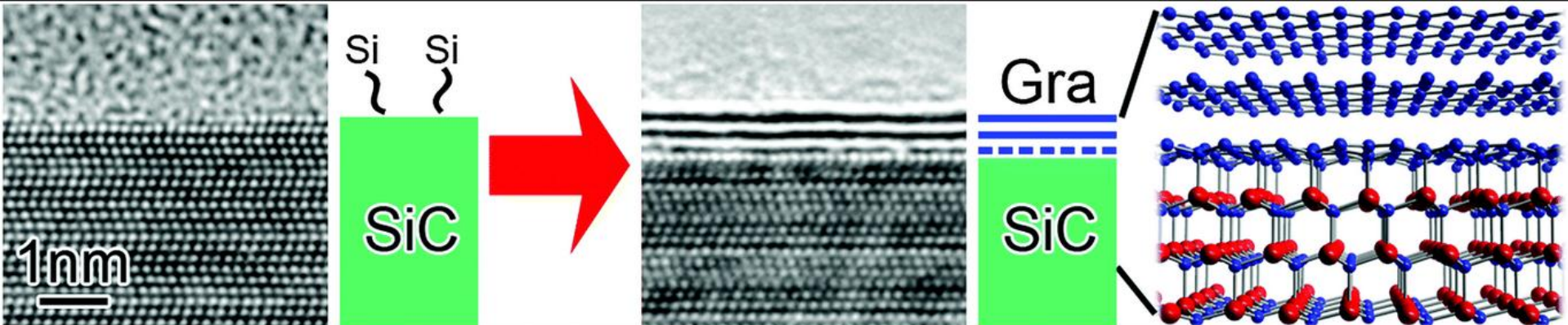
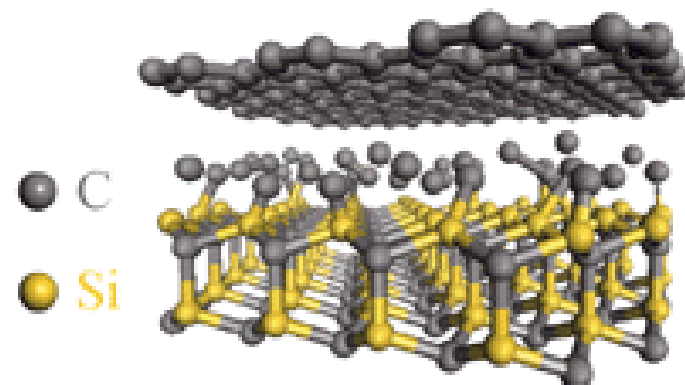
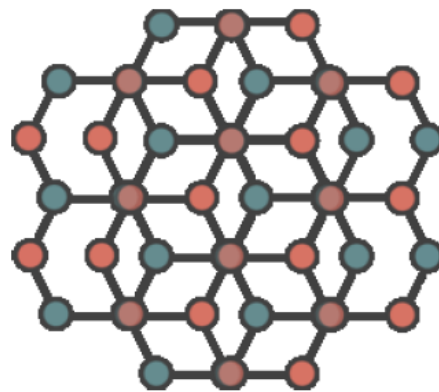
Graphene + Boron Nitride



# Gapped Graphene

## Violation of sub-lattices symmetry

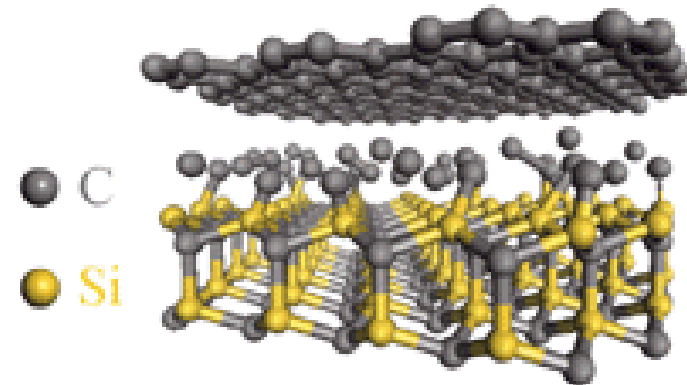
Graphene + Silicone Carbide



# Gapped Graphene

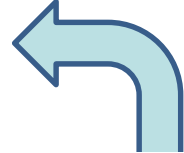
## Violation of sub-lattices symmetry

Graphene + Silicone Carbide



# Critical charge in Graphene: Theory

## Solution of Dirac equation:

$$(-i\hbar V_{\vec{F}}(\sigma * \nabla) - \frac{Ze^2}{r+a} + mV_{\vec{F}}^2\sigma_z)\psi(\mathbf{r}) = \epsilon\psi(\mathbf{r})$$


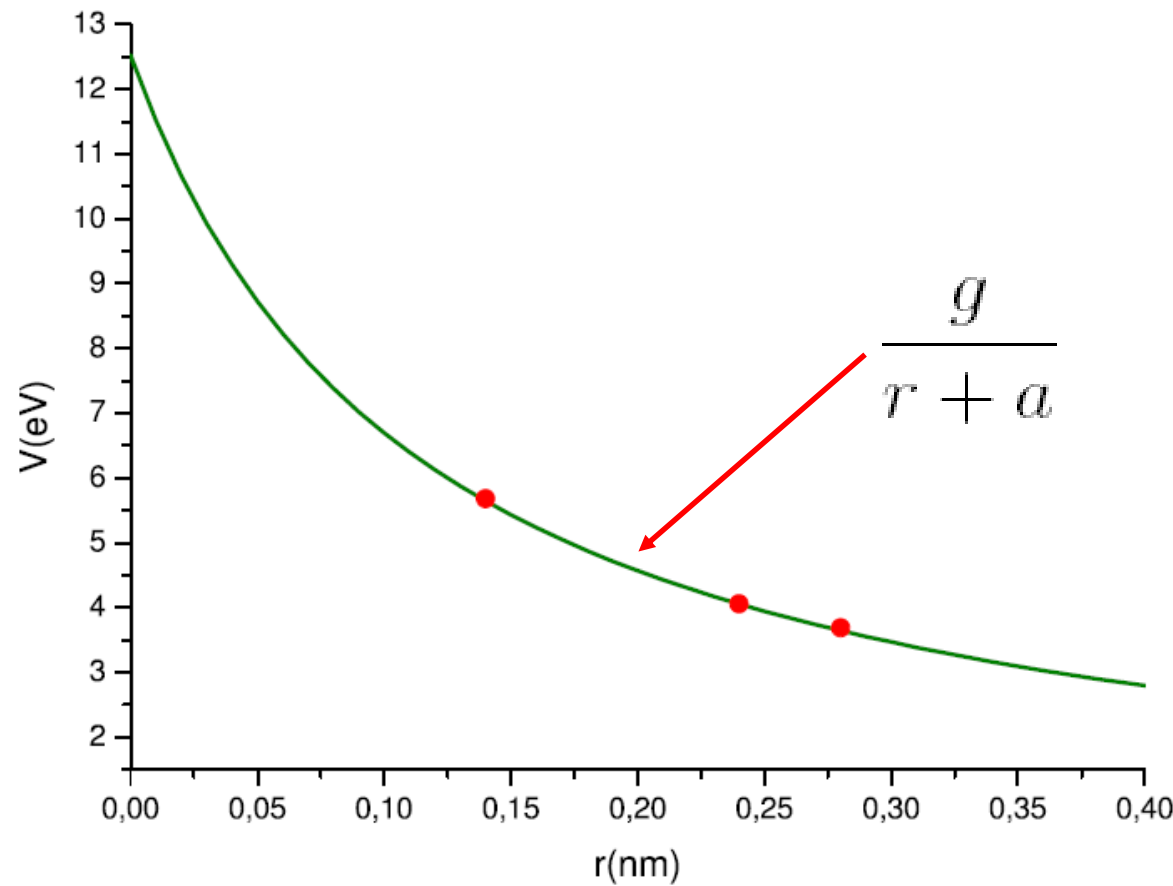
$$\psi_j(r, \phi) = \frac{1}{\sqrt{r}} \begin{pmatrix} e^{-i(j-1/2)\phi} A(r) \\ ie^{-i(j+1/2)\phi} B(r) \end{pmatrix}$$

$$\begin{bmatrix} \left(\epsilon + \frac{g}{r+a} - mV_{\vec{F}}^2\right) & -\hbar V_{\vec{F}} \left(\partial_r + \frac{j}{r}\right) \\ \hbar V_{\vec{F}} \left(\partial_r - \frac{j}{r}\right) & \left(\epsilon + \frac{g}{r+a} + mV_{\vec{F}}^2\right) \end{bmatrix} \begin{bmatrix} A(r) \\ B(r) \end{bmatrix} = 0.$$

# Role of the Terms in Hamiltonian of Graphene

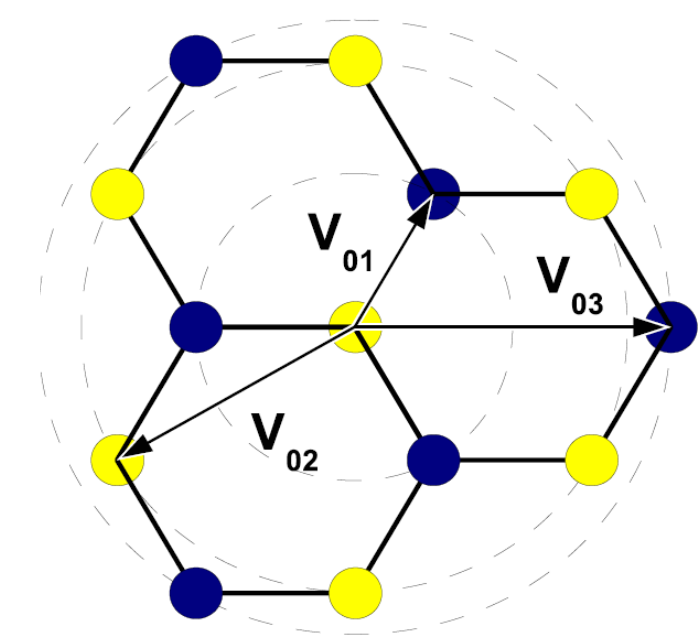
$$H_h = \sum_x q_x V_{x,x} q_x$$

$$H_c = \sum_{x \neq x'} q_x V_{x,x'} q'_x.$$



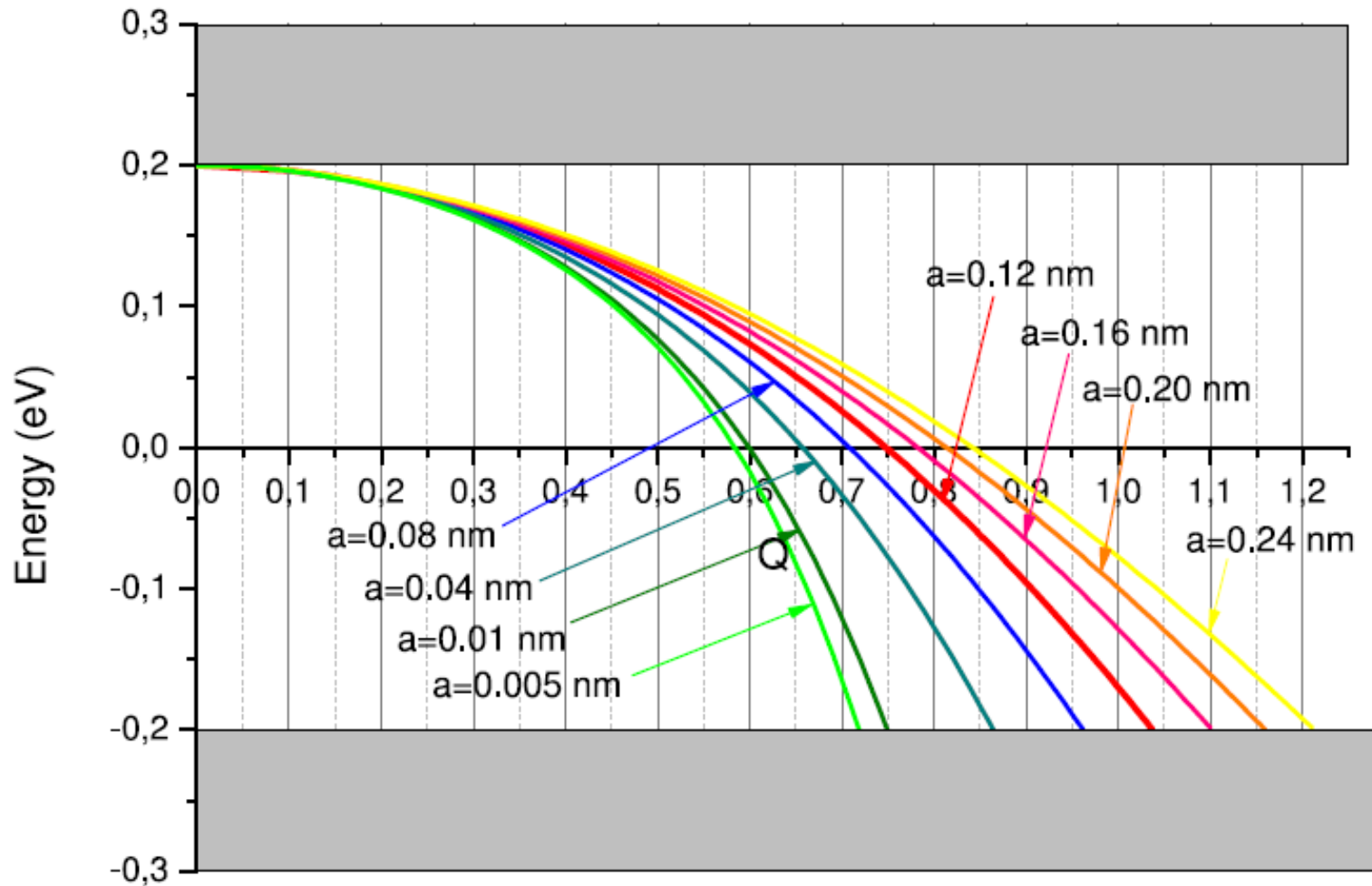
$$V(x, x) = 9.3 \text{ eV}$$

$$V(0, 1) = 5.5 \text{ eV}$$



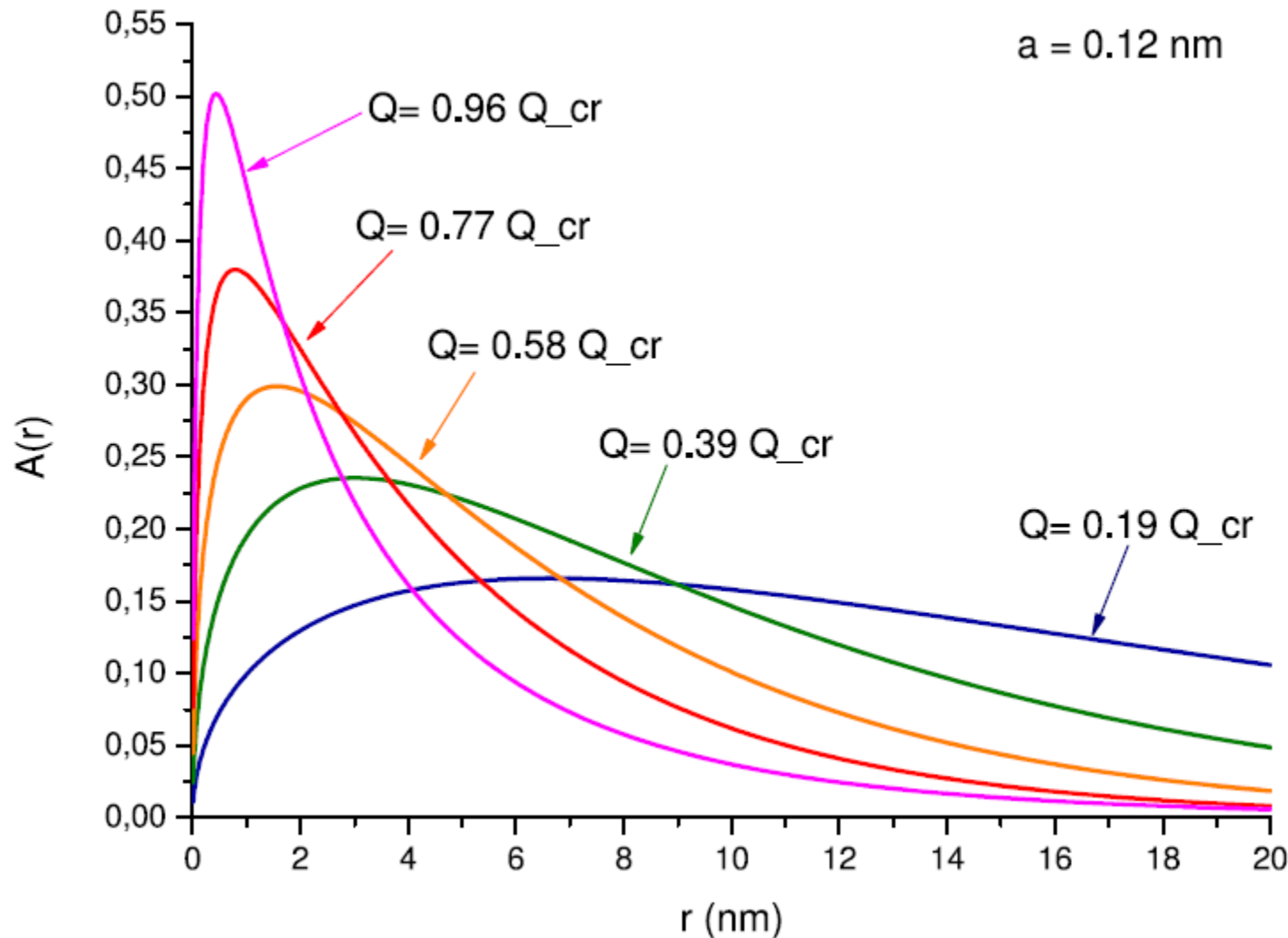
# Critical charge in Graphene: Theory

# Energy levels



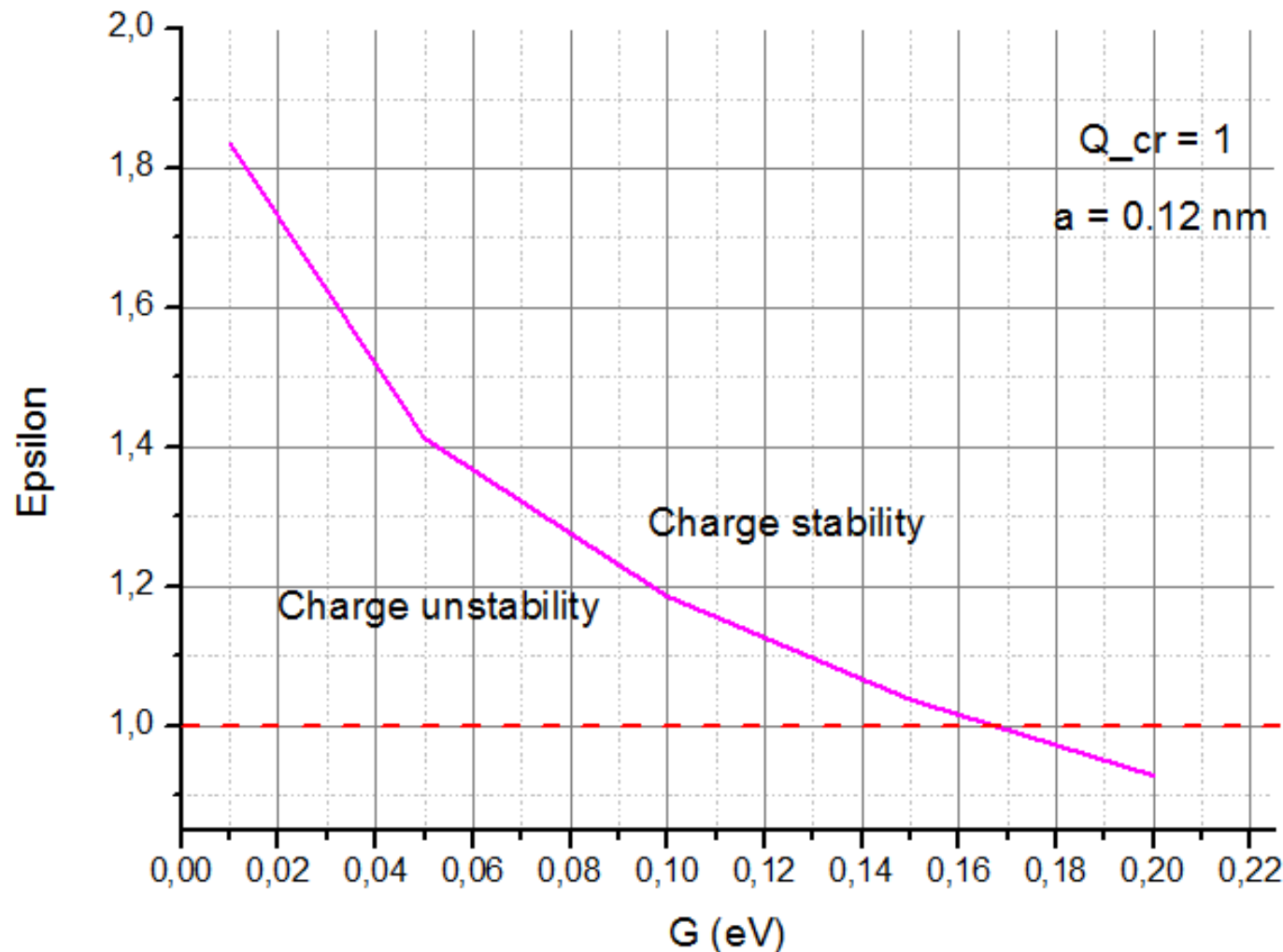
# Критический заряд в графене: теория

## Волновые функции



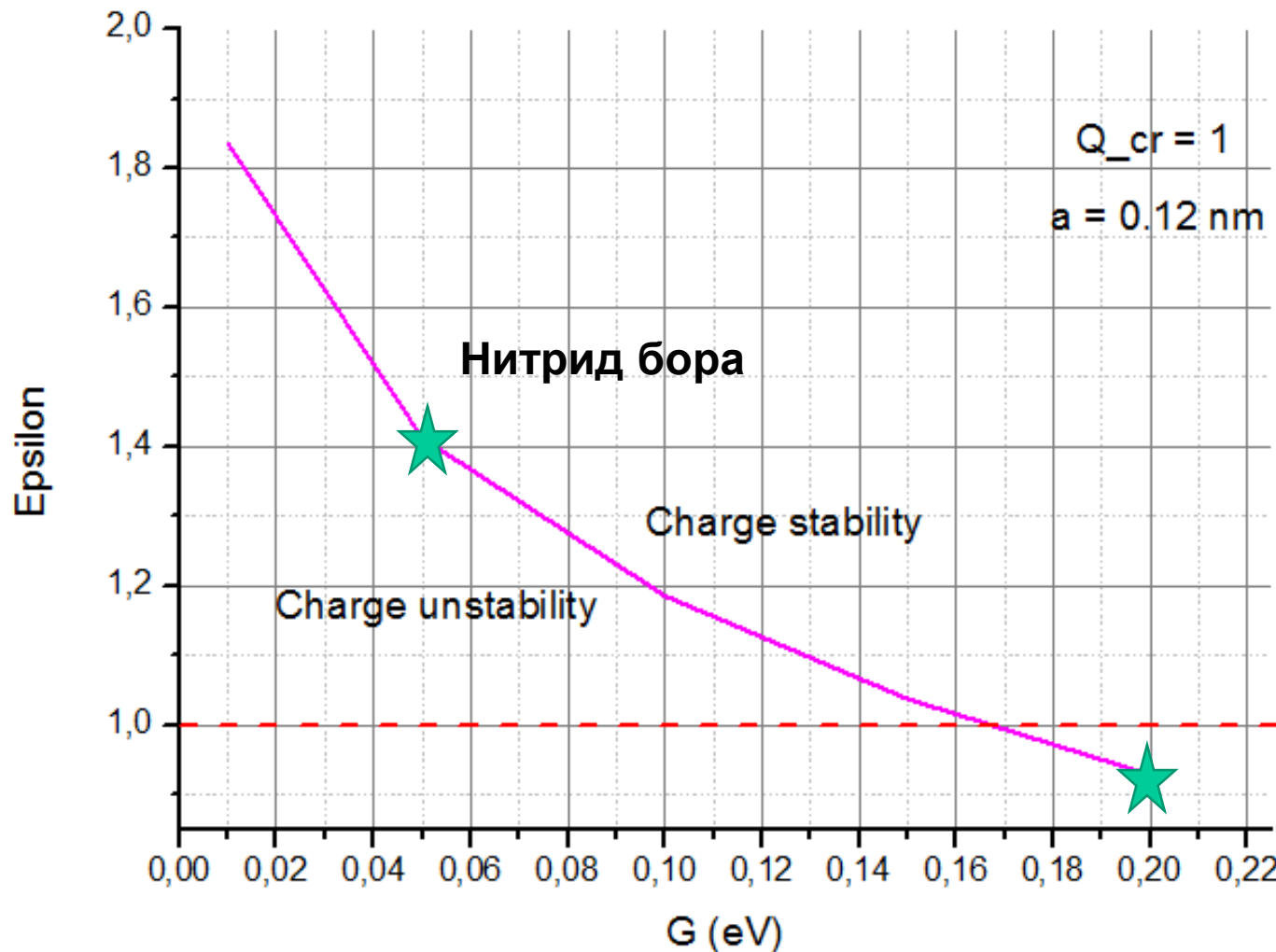
# Критический заряд в графене: теория

## Зависимость от величины массовой щели:



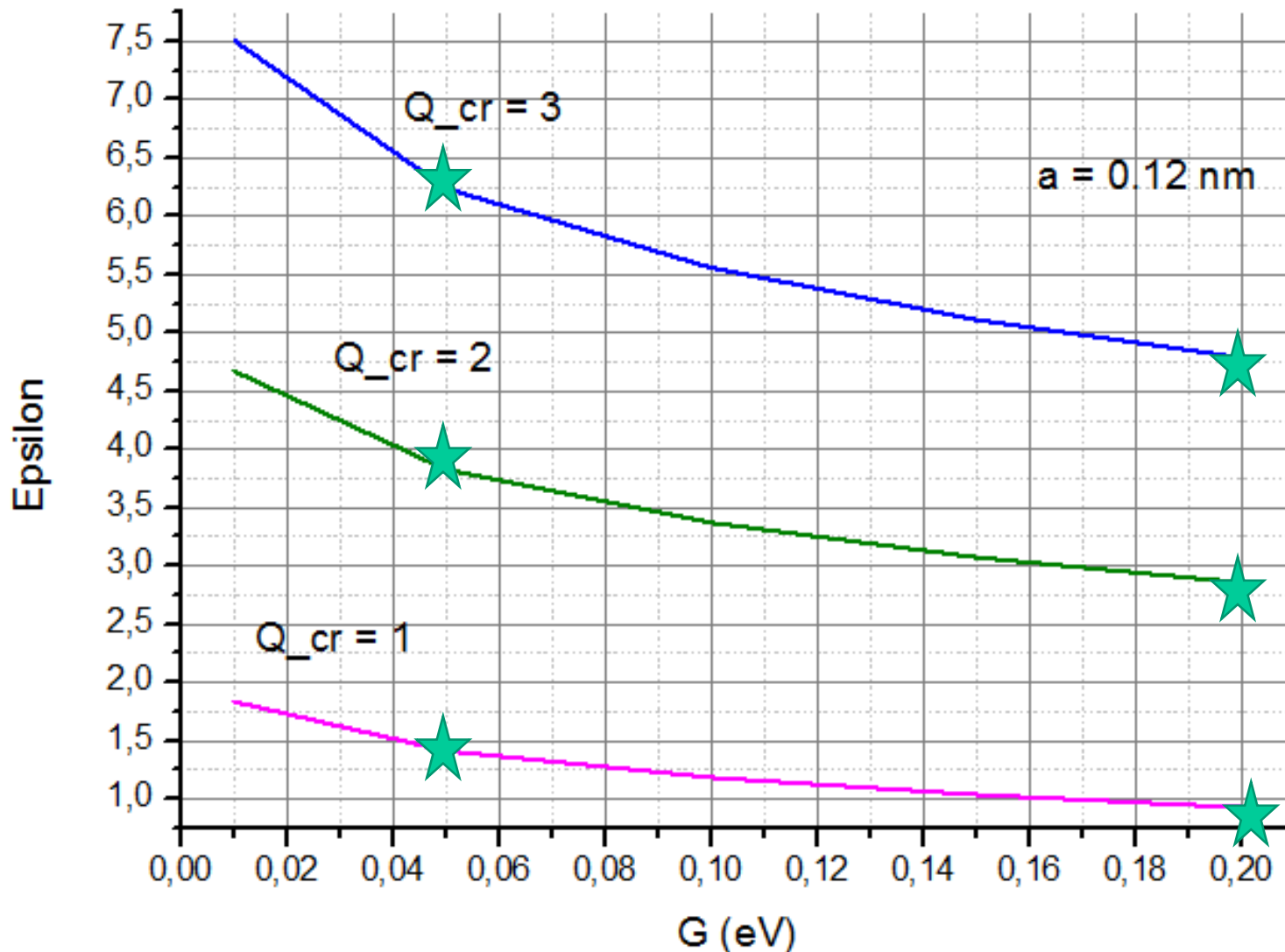
# Критический заряд в графене: теория

## Зависимость от величины массовой щели:

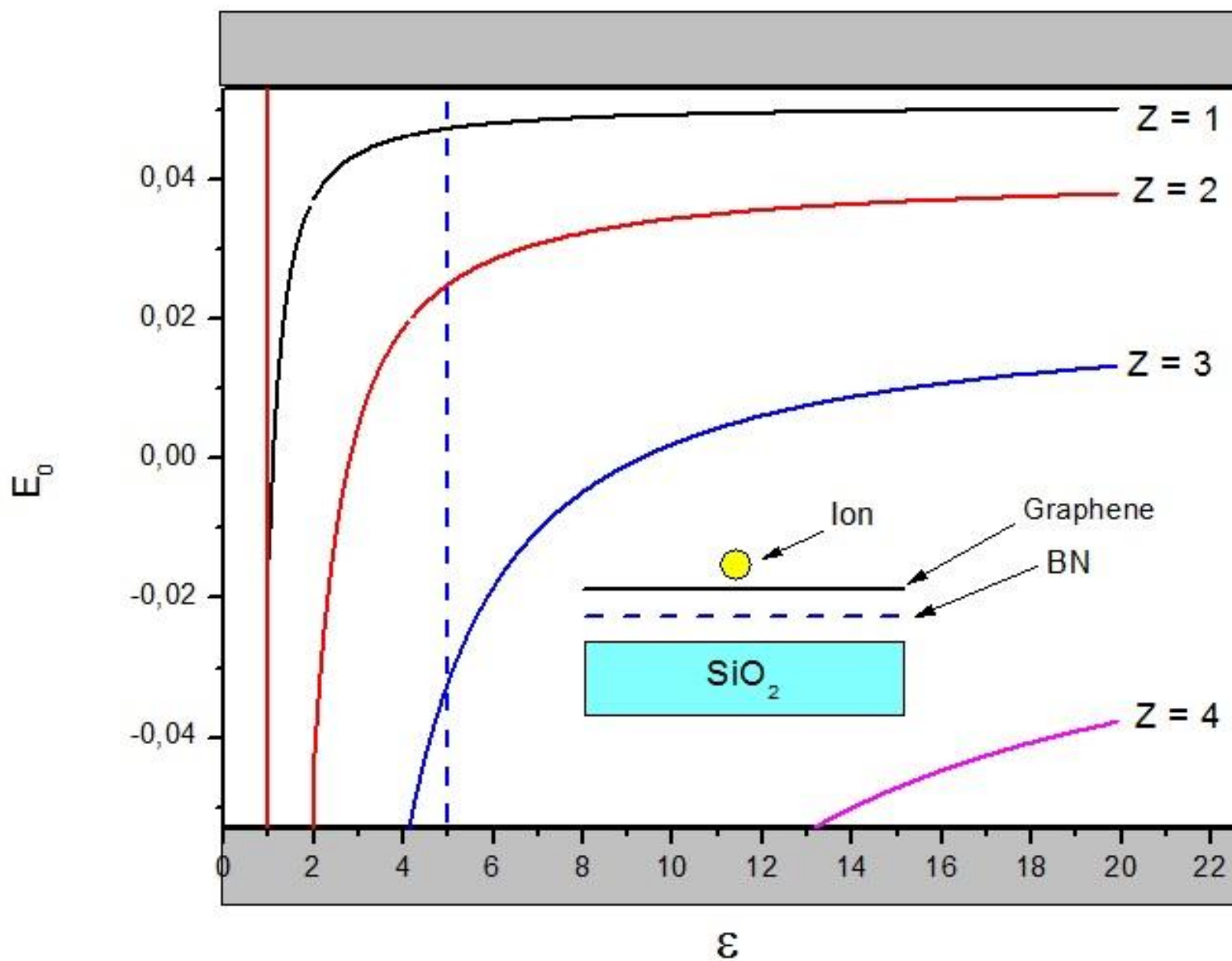


# Критический заряд в графене: теория

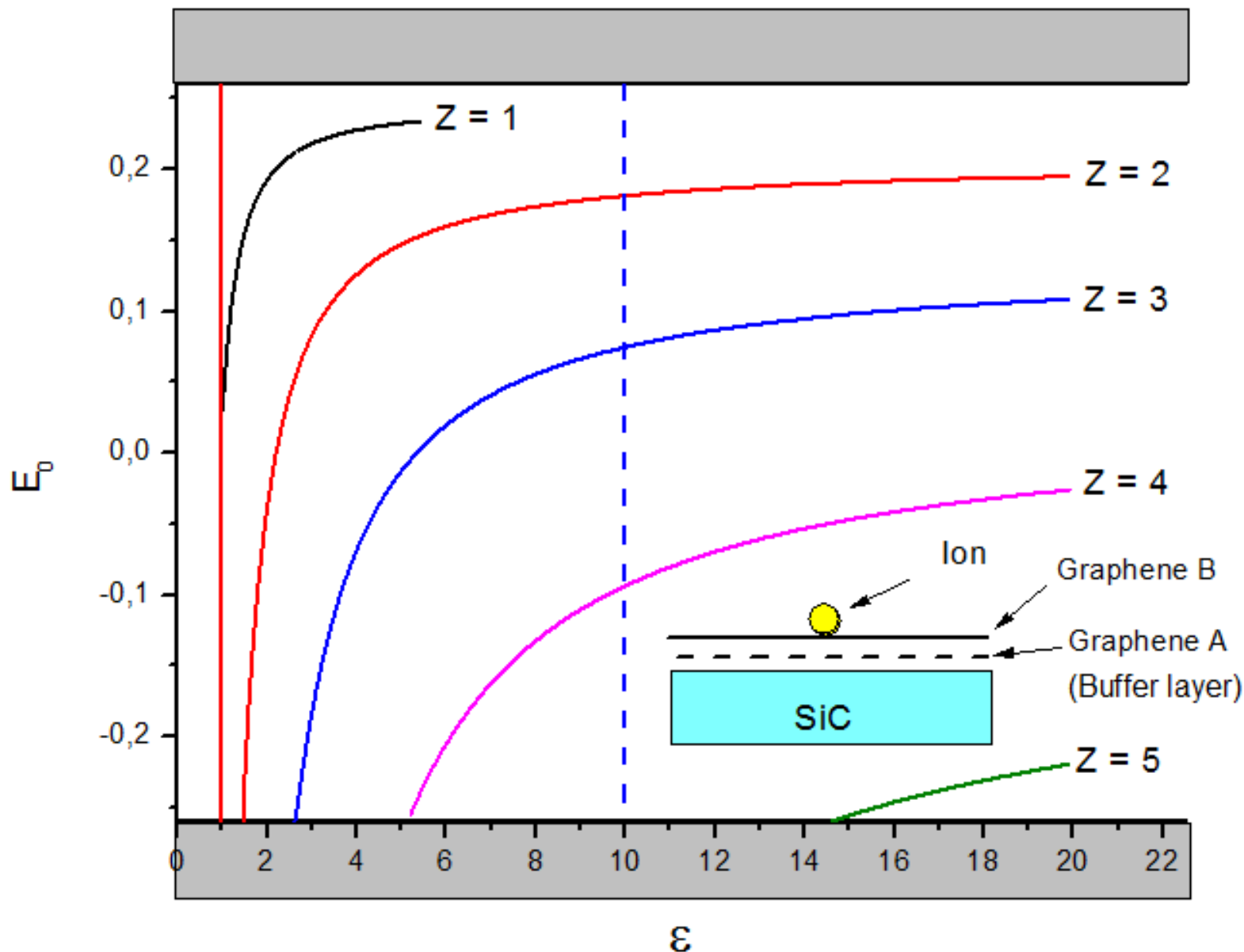
## Зависимость от величины массовой щели:



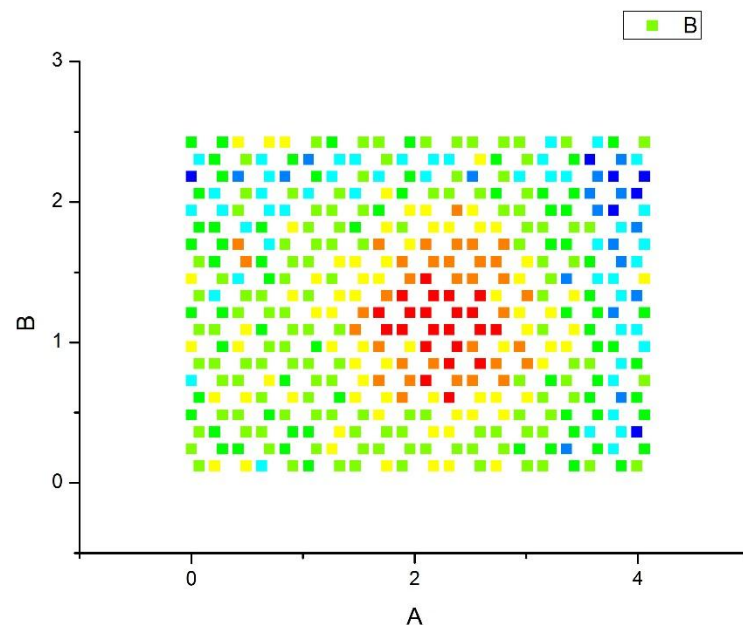
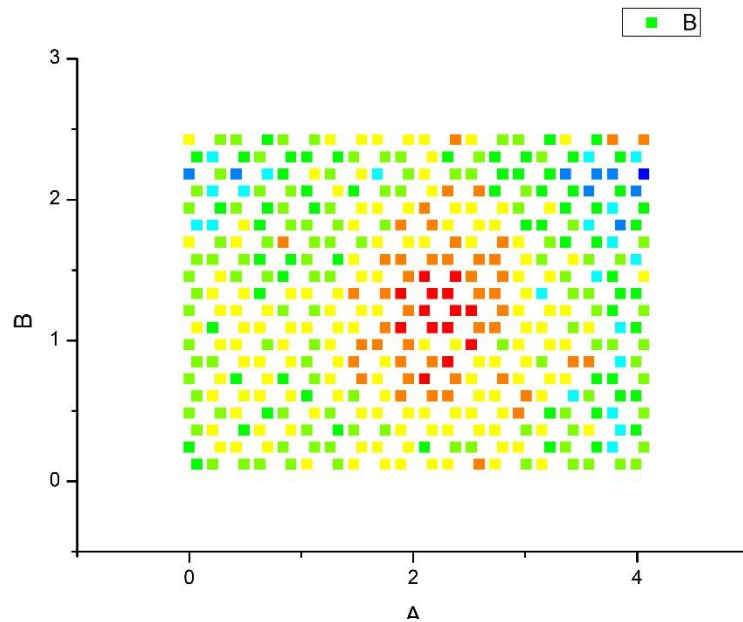
# Critical charge in Graphene: Theory



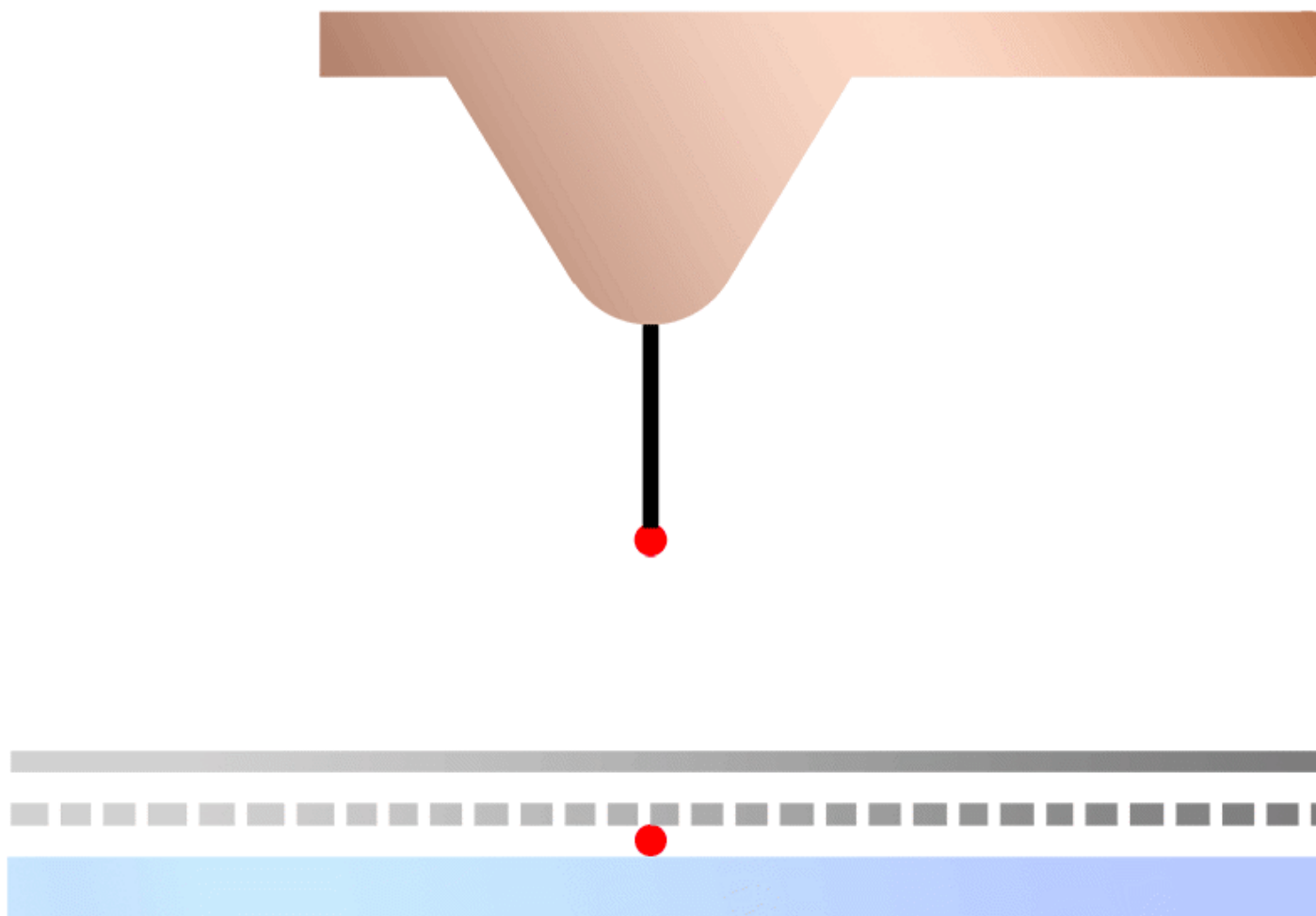
# Critical charge in Graphene: Theory



# Critical charge in Graphene: MC



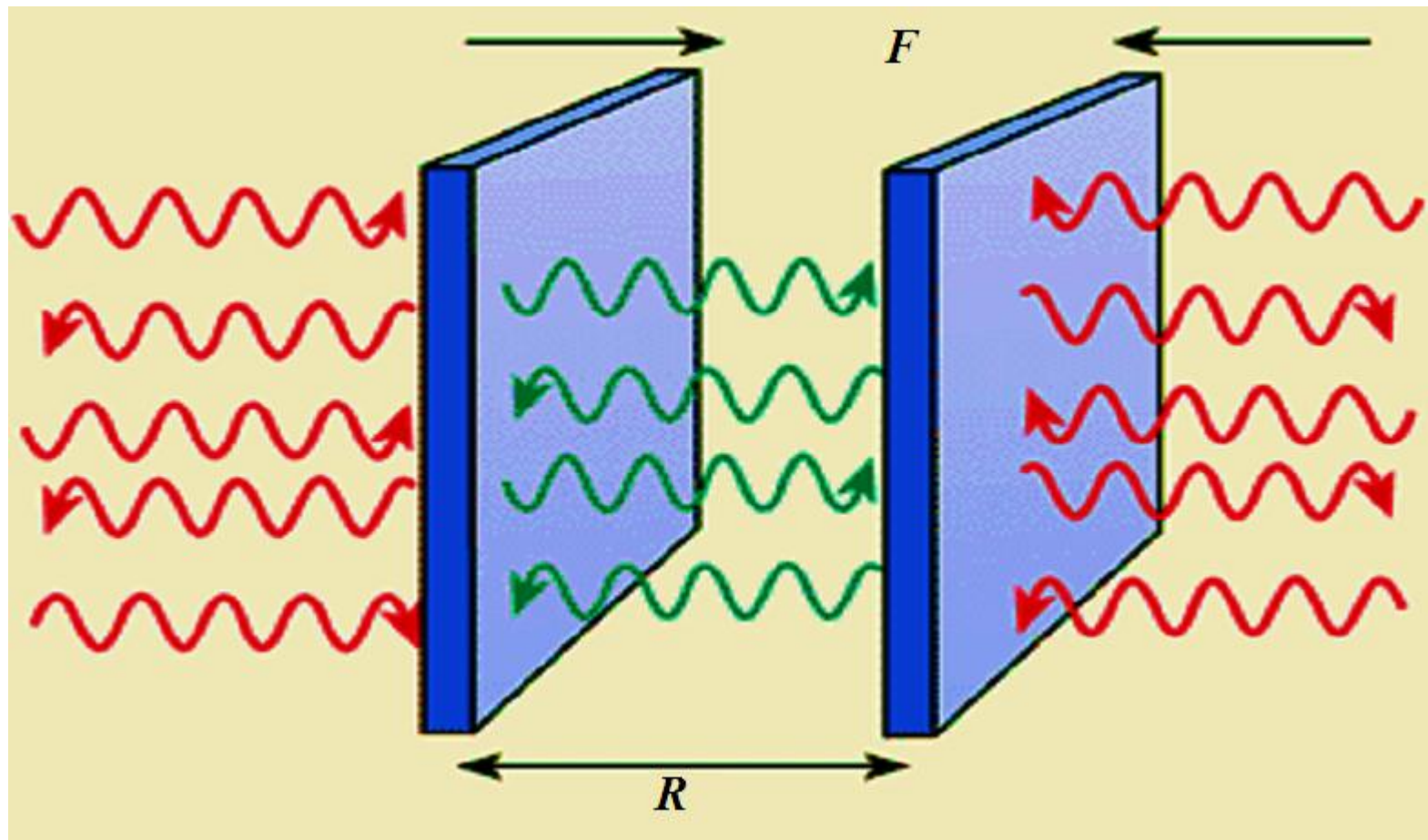
# Critical charge in Graphene: Experiment



# Темы исследований

Эффект Казимира в  
наноструктурах

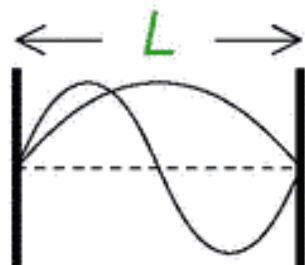
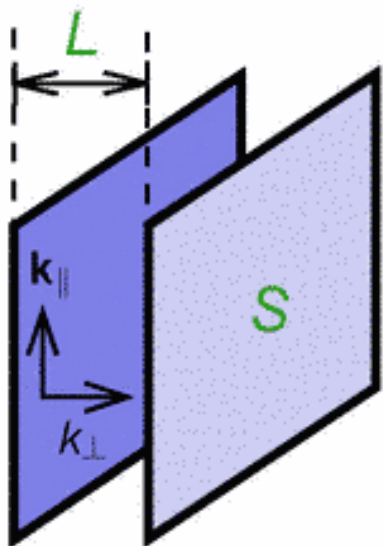
# Эффект Казимира



$$E_{Cas} = -\frac{\pi^2 \hbar c}{720 R^3}$$



Plates  $\Rightarrow \mathbf{E}_{\parallel}, B_{\perp} = 0, \quad \textit{Boundary conditions!}$



$\leadsto$  allowed modes:  $k_{\perp} = \frac{\pi n}{L}, \quad n = 1, 2, \dots$

QED:  $\mathcal{E} = \sum_{\text{modes}} \frac{1}{2} \hbar c |\mathbf{k}|_{\text{modes}}$        $c = \text{speed of light}$

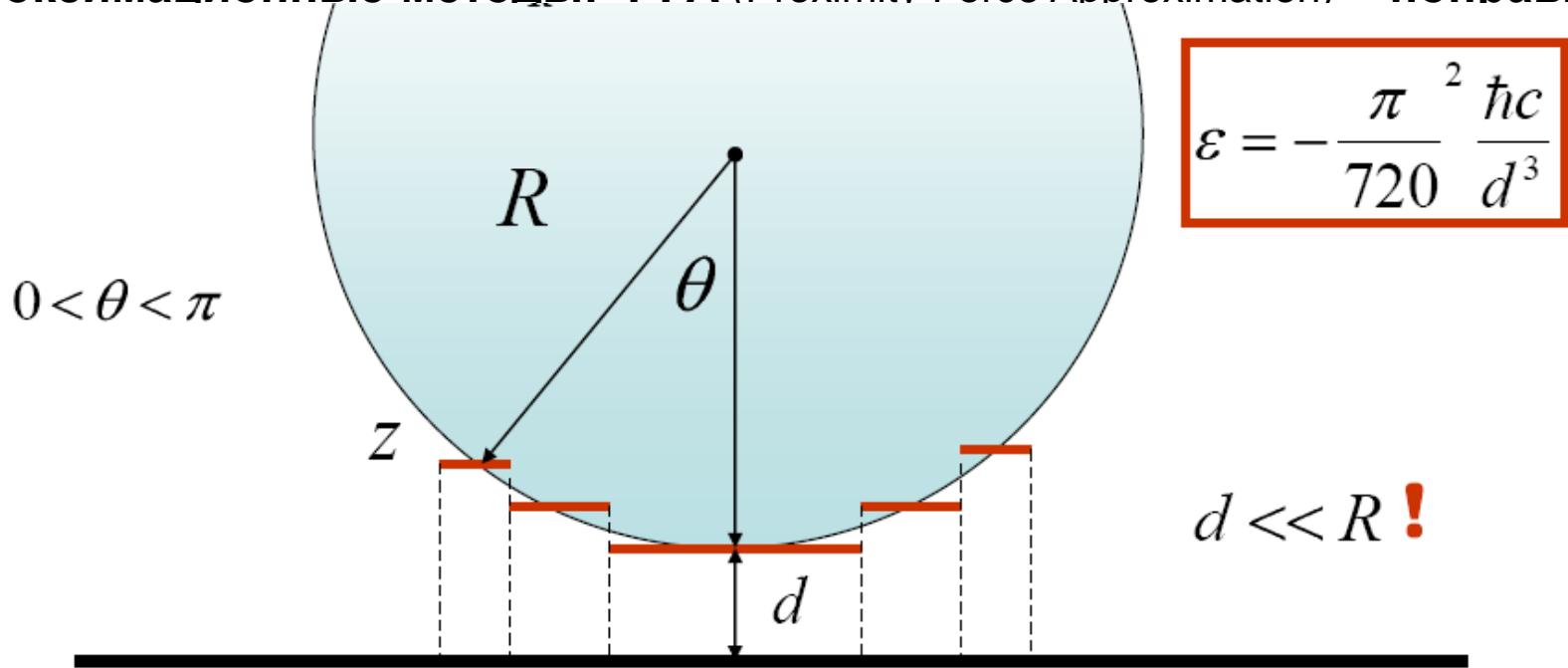
$$\mathcal{E} = \mathcal{E}_{\text{bulk}} + \mathcal{E}_{\text{surf}}^{(L+R)} + S \frac{\hbar c}{L^3} \left[ -\frac{\pi^2}{1440} + O((\kappa L)^{-2}) \right]$$

# **Зачем вычисляют силы Казимира?**

- Устойчивость микро- и нано-структур**
- Микро- и нано-устройства, использующие эффект Казимира**
- Применение в физике частиц и космологии**

# Как вычисляют силы Казимира?

- Метод прямого суммирования энергетических мод (применим только для задач с простой геометрией (плоскость-плоскость, плоскость-сфера и т.п.))
- Аproxимационные методы: PFA (Proximity Force Approximation) + поправки



# Эффект Казимира для Черн-Саймоновских поверхностей

M. Bordag and D. V. Vassilevich, Phys. Lett. A 268 (2000) 75.  
 V. N. Markov and Yu. M. Pis'mak, J. Phys. A 39 (2006) 6525.

$$S = -\frac{1}{4} \int d^4x F_{\mu\nu}F^{\mu\nu} - \frac{\lambda}{2} \oint d^3s \varepsilon^{\sigma\mu\nu\rho} n_\sigma A_\mu(x) F_{\nu\rho}(x)$$

$$S_{CS} = \frac{\lambda}{2} \int (\delta(x_3) - \delta(x_3 - R)) \varepsilon^{3\mu\nu\rho} A_\mu(x) F_{\nu\rho}(x) d^4x$$

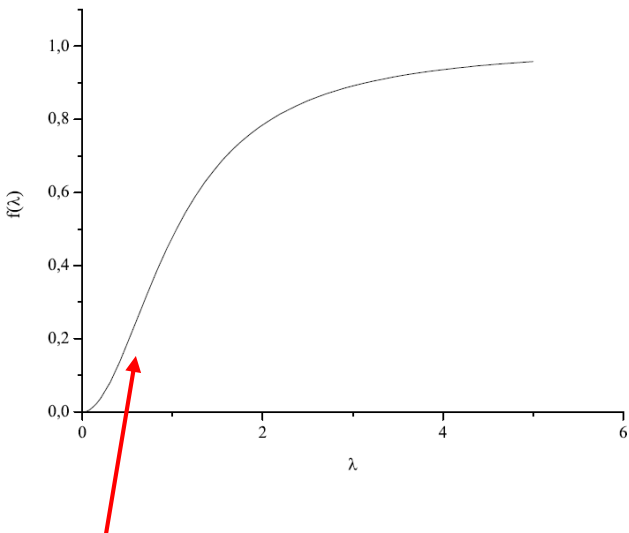
$$\square A^\mu + \lambda(\delta(x_3) - \delta(x_3 - R)) \varepsilon^{3\sigma\nu\rho} A_\sigma \partial_\nu A_\rho = 0.$$

$$E_{\parallel}|_S = 0, \quad H_n|_S = 0$$

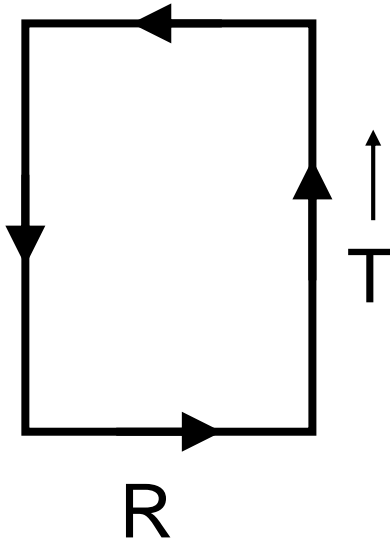
$$f(\lambda) = \frac{90}{\pi^4} \text{Li}_4 \left( \frac{\lambda^2}{\lambda^2 + 1} \right)$$

$$E_{Cas} = -\frac{\pi^2}{720R^3} f(\lambda) = -\frac{\lambda^2}{8\pi^2 R^3} + O(\lambda^4)$$

$$\text{Li}_4(x) = \sum_{k=1}^{\infty} \frac{x^k}{k^4} = -\frac{1}{2} \int_0^{\infty} k^2 \ln(1 - xe^{-k}) dk.$$



# Наблюдаемая для казимировской энергии: (Аналогия с петлей Вильсона)



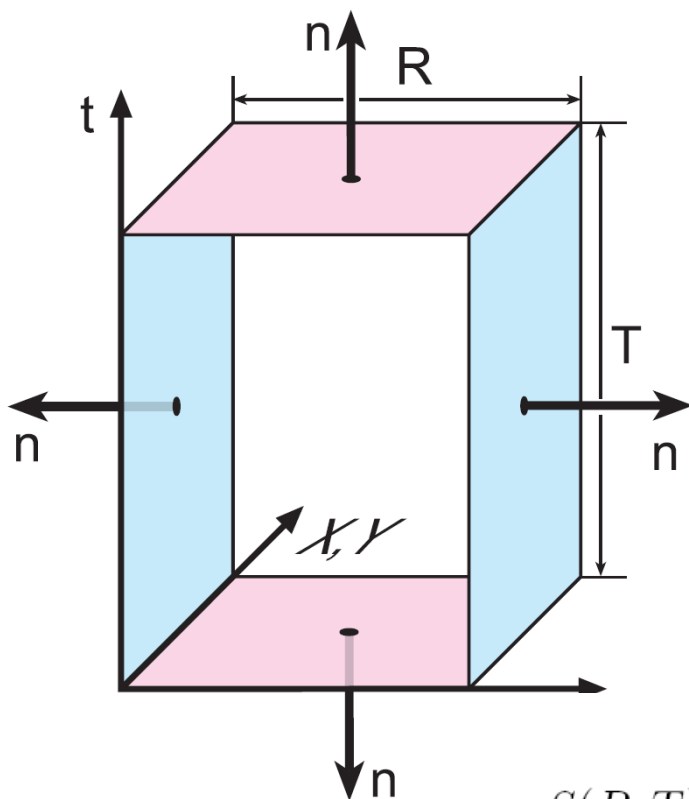
$$W_C = e^{ig \oint_C A_\mu dx^\mu} = e^{i \int J_\mu A^\mu dx^4}$$

$$J_\mu(x) = g \oint_C \delta(x - \xi) d\xi_\mu$$

$$\langle W(R, T) \rangle \rightarrow C e^{-V(R)T}$$

$$V(R) = -\lim_{T \rightarrow \infty} \frac{1}{T} \ln \langle W_C(R, T) \rangle \approx C_1 + \frac{C_2}{R}$$

# Наблюдаемая для казимировской энергии:



$$W_{Bag}(R, T) = e^{i\lambda S(R, T)}$$

$$= e^{i\lambda \oint_{\Sigma} \varepsilon_{\mu\nu\rho\sigma} A^{\nu} F^{\rho\sigma} dS^{\mu}}$$

$$\langle W_{Bag}(R, T) \rangle \xrightarrow[T \rightarrow \infty]{} C e^{-E_{cas}(R)T}$$

$$S(R, T) = \int_0^T dt \iiint dx dy dz (\delta(z - R) - \delta(z)) \varepsilon_{3\nu\rho\sigma} A^{\nu} F^{\rho\sigma} +$$

$$+ \int_0^R dz \iiint dx dy dt (\delta(t - T) - \delta(t)) \varepsilon_{0\nu\rho\sigma} A^{\nu} F^{\rho\sigma}.$$

**Величина, которую надо построить**

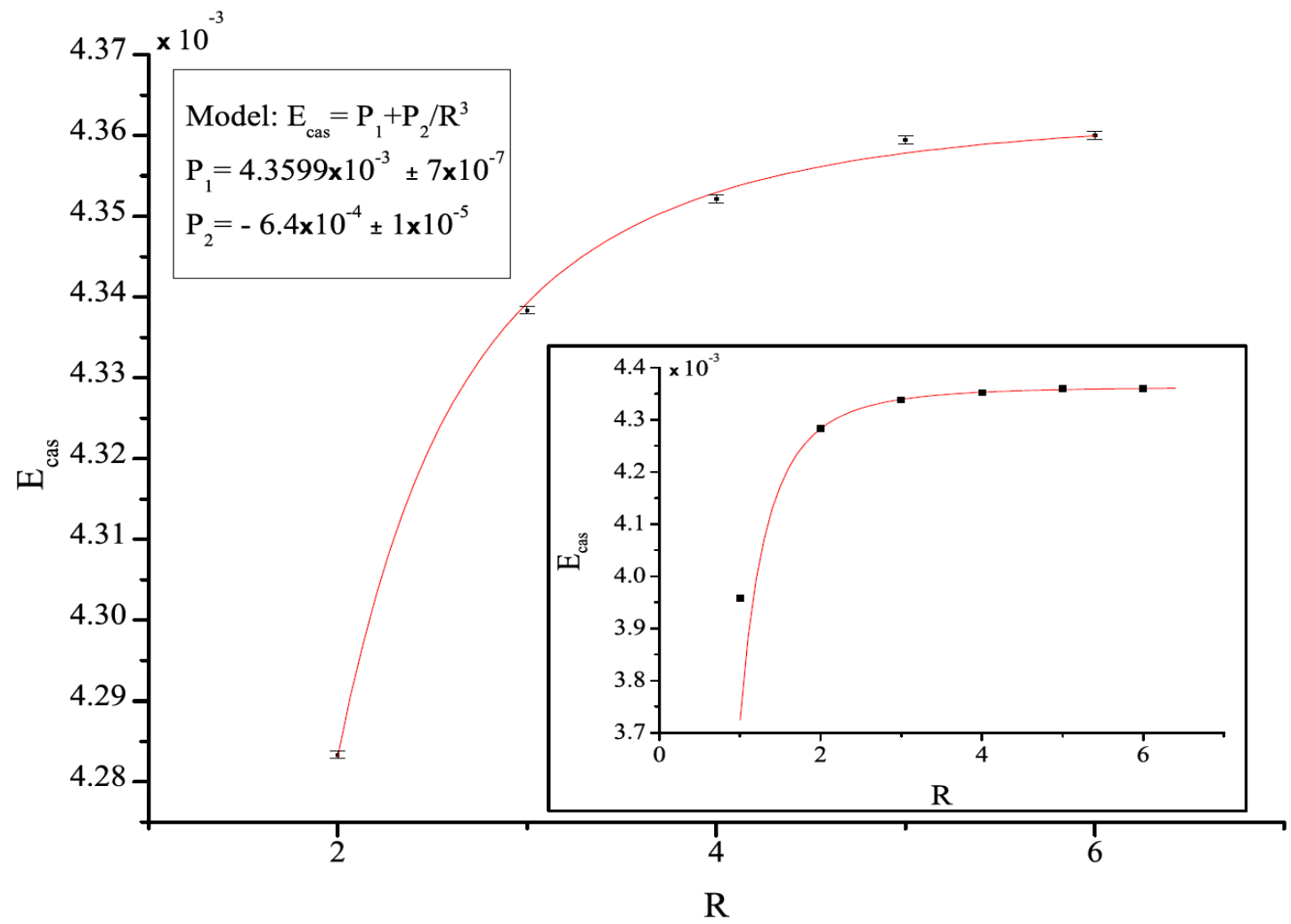


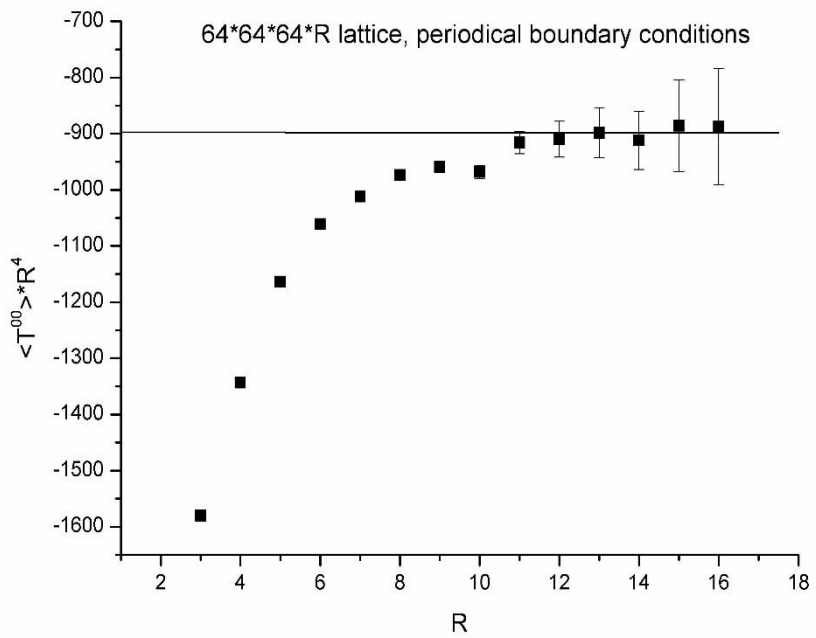
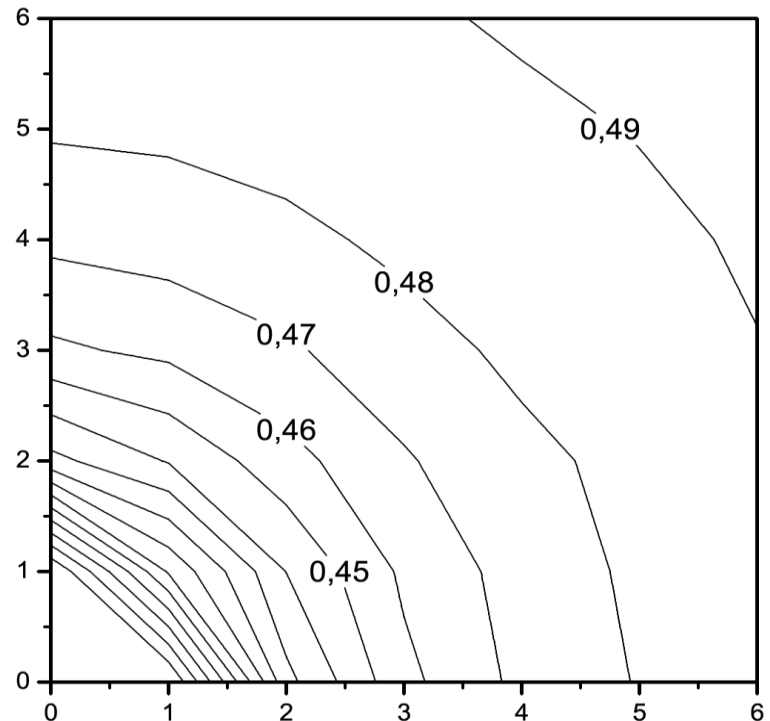
$$A_\nu F_{\rho\sigma}$$

Решеточная реализация нашей наблюдаемой, вильсоновского “мешка”, должна отвечать следующим требованиям:

1) Калибровочная инвариантность. Полный интеграл по замкнутой поверхности для “вильсоновского мешка” должен быть калибровочным инвариантом.

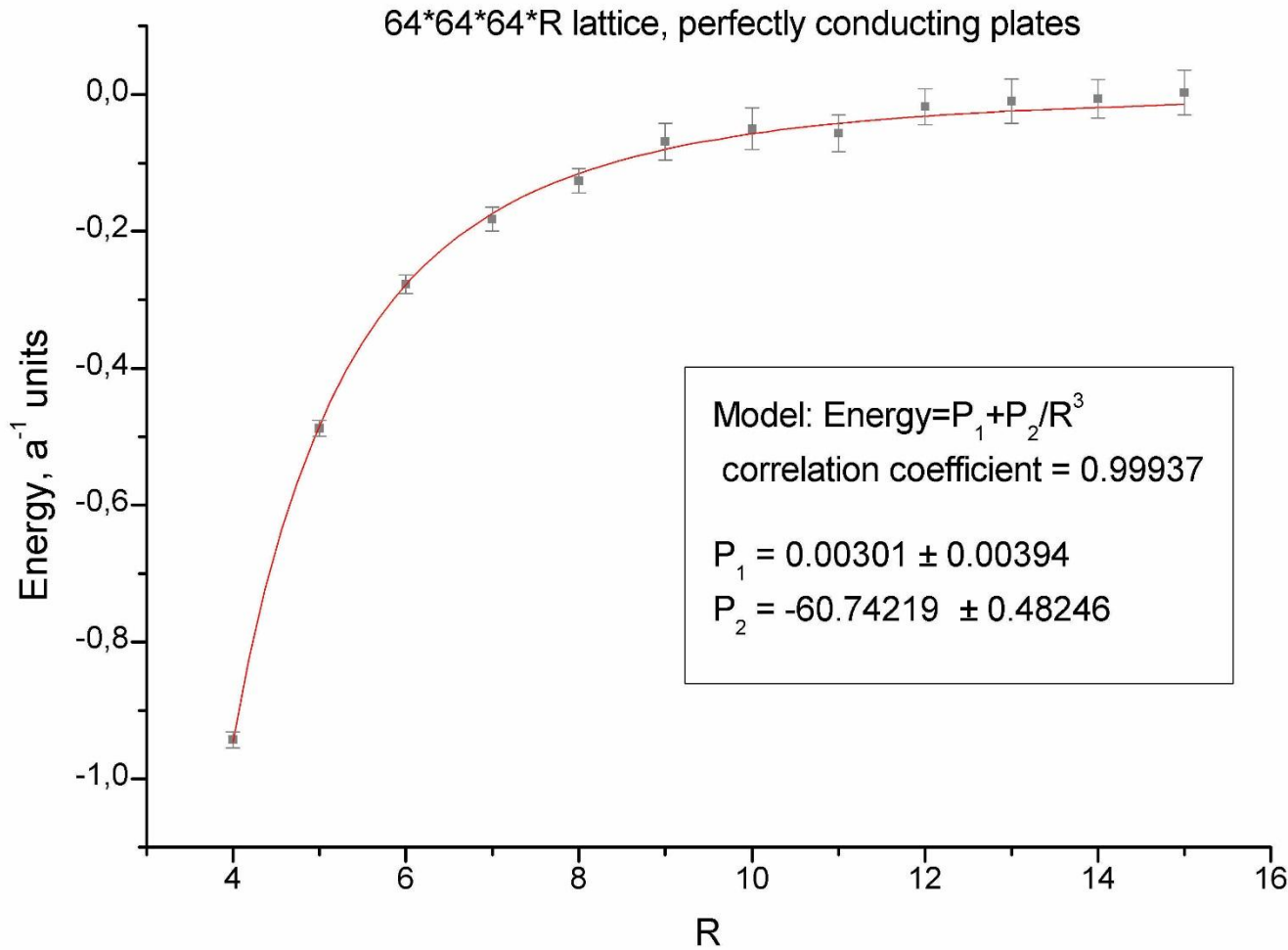
2) “Локальность”. В предлагаемом решеточном представлении величины  $A_\nu F_{\rho\sigma}$ ,  $A_\nu$  и  $F_{\rho\sigma}$  должны быть заданы в одной и той же точке  $x$ . Это требование нетривиально потому, что  $\theta_{p,\rho\sigma}$  задает величину напряженности поля  $F_{\rho\sigma}$  в центре плакета, в то время как  $\theta_\nu$  задает величину поля  $A_\nu$  в центре линка, а это разные точки!

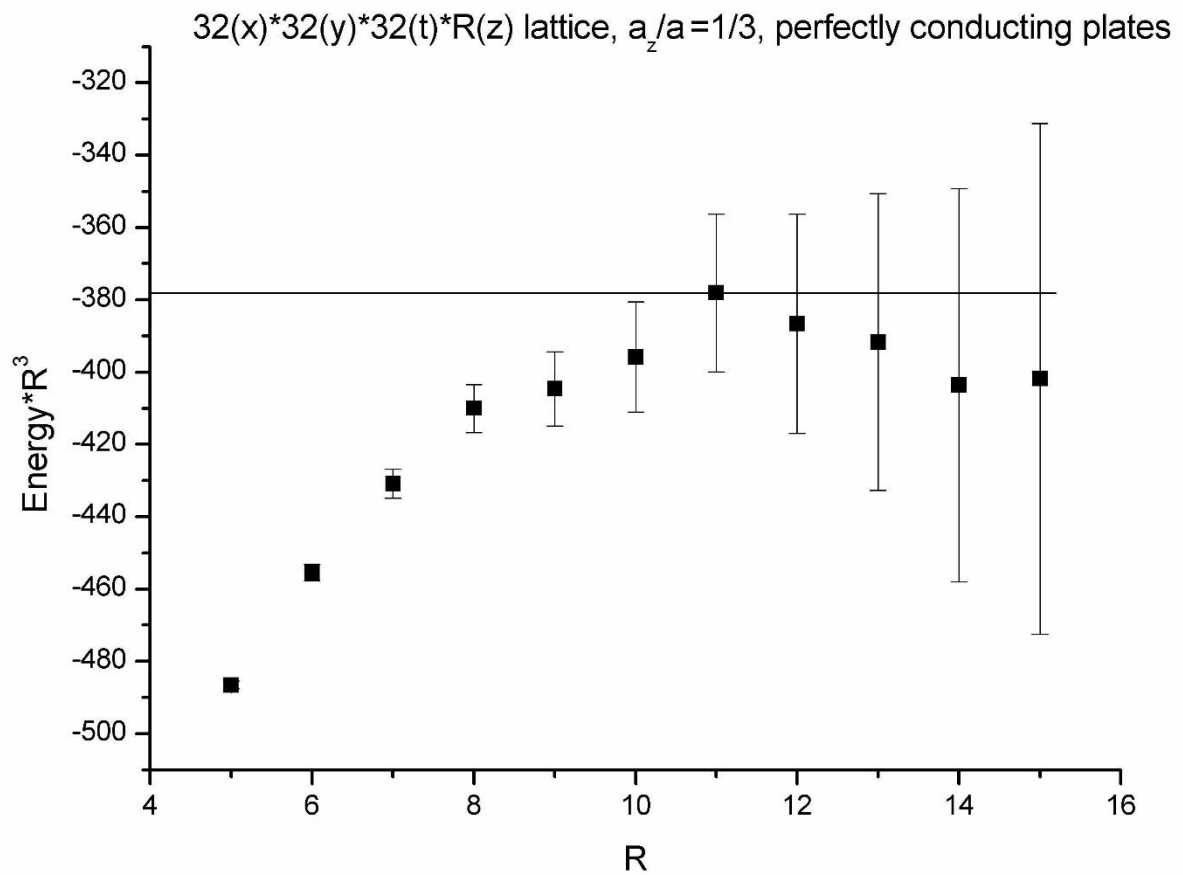




$$E_{cas.} = \frac{C}{(Ra)^3}(aN)^2 = \frac{CN^2}{R^3}\frac{1}{a}$$

$$E_{cas}=P_1+\frac{P_2}{R^3}$$

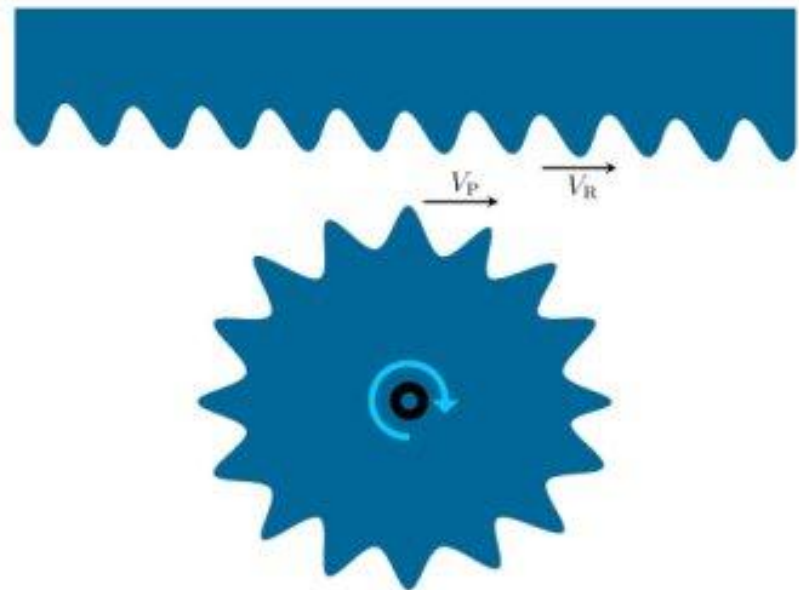




# Энергия Казимира и квантовая теория поля на решетке

## Актуальные задачи по расчету вакуумных сил (1).

Применение в задачах микромеханики – зубчатые передачи, шестеренки, функционирующие без зацепления.



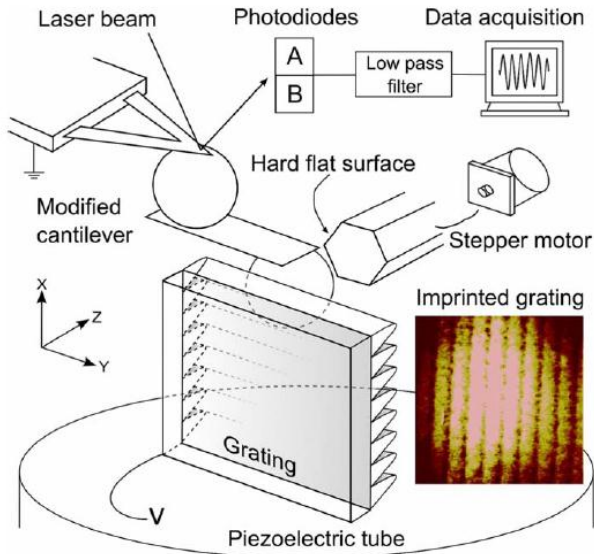


FIG. 1. (Color online) Schematic of the experimental setup (see text for further details). Insertion shows the imprinted corrugations on the second sphere. The lighter area shows higher points and hence demonstrates the sphericity of the imprinted surface.

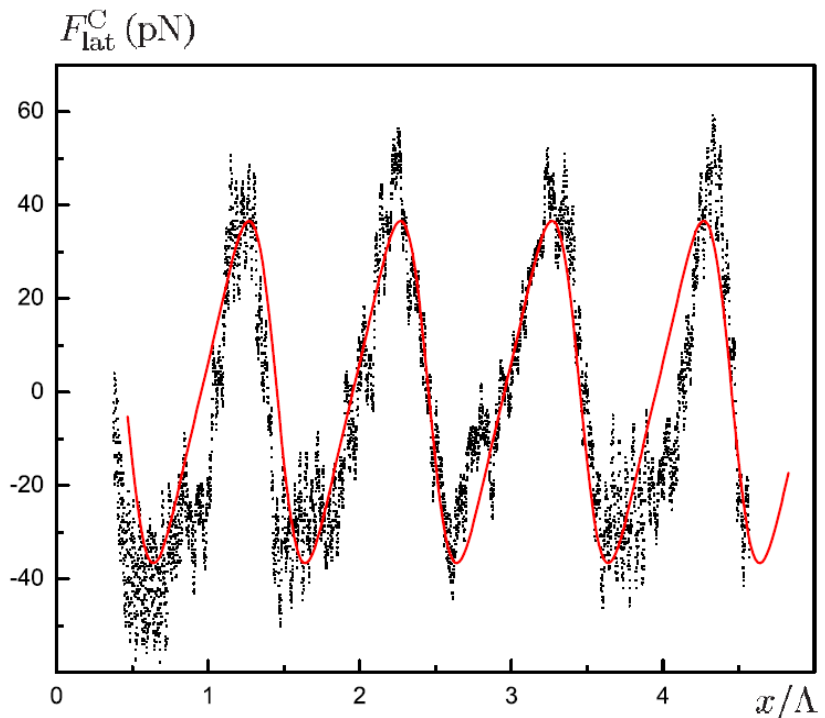
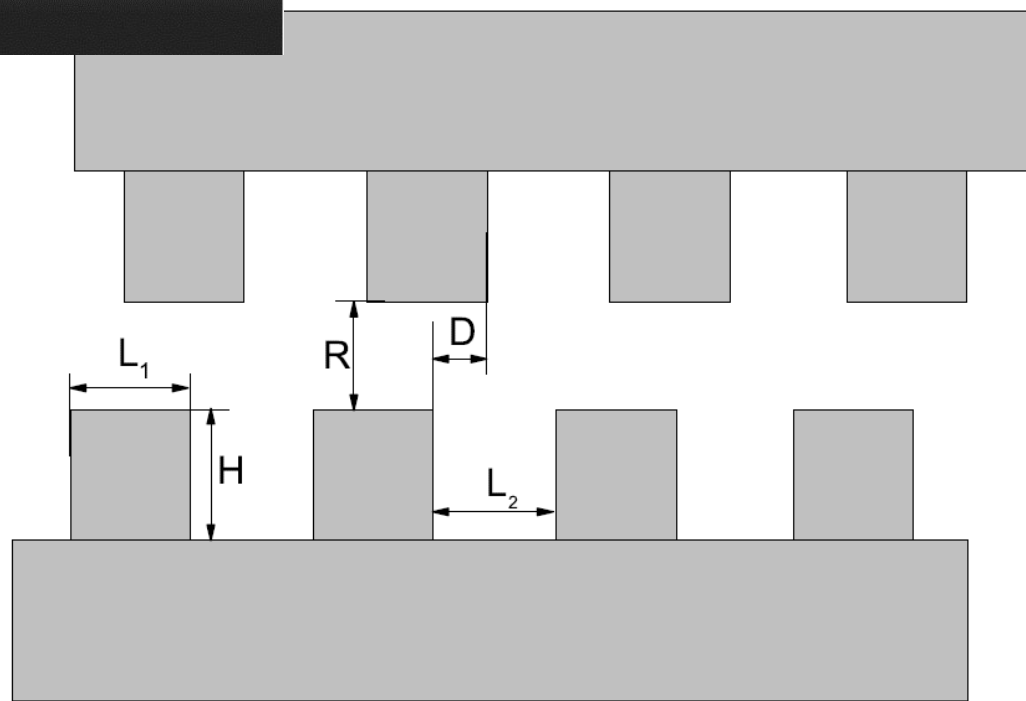
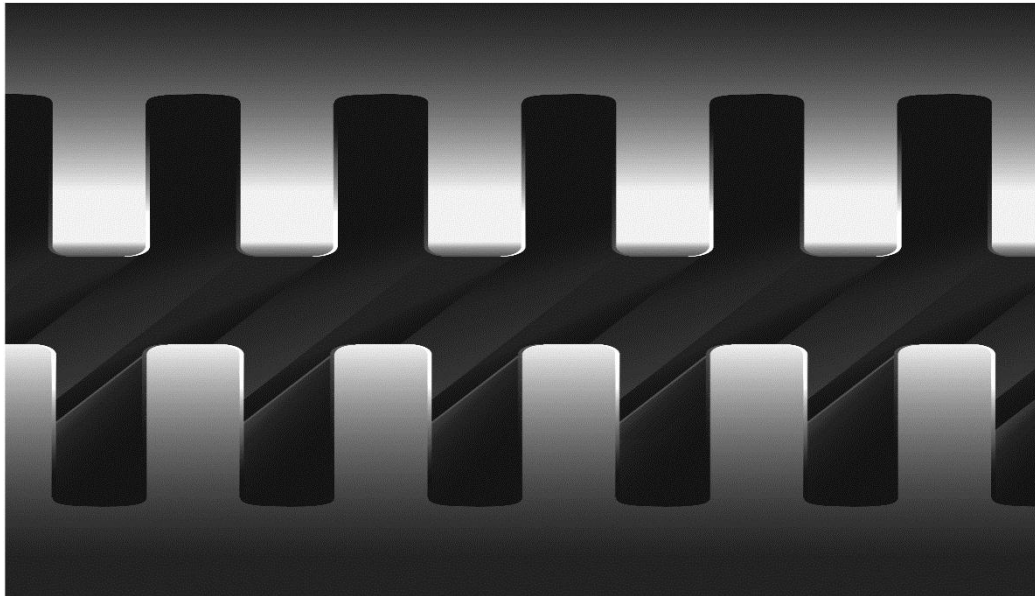
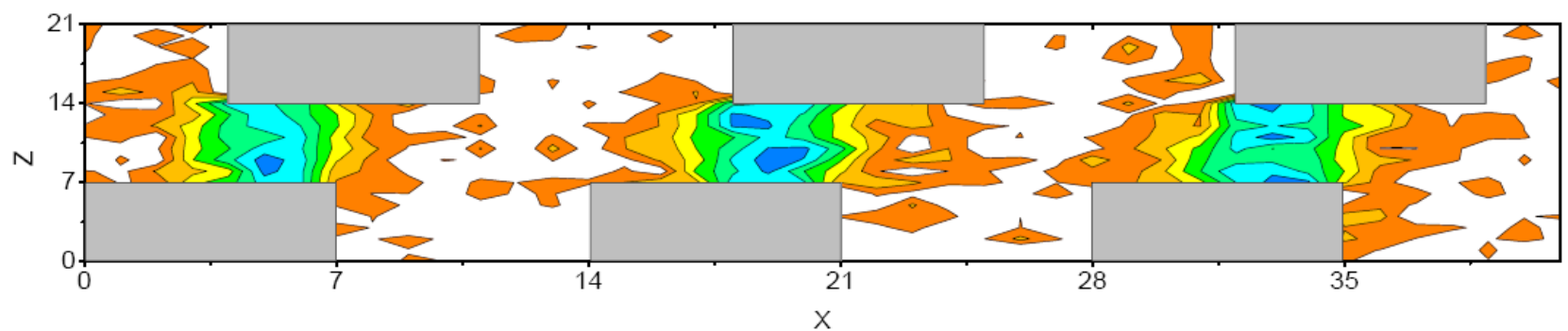
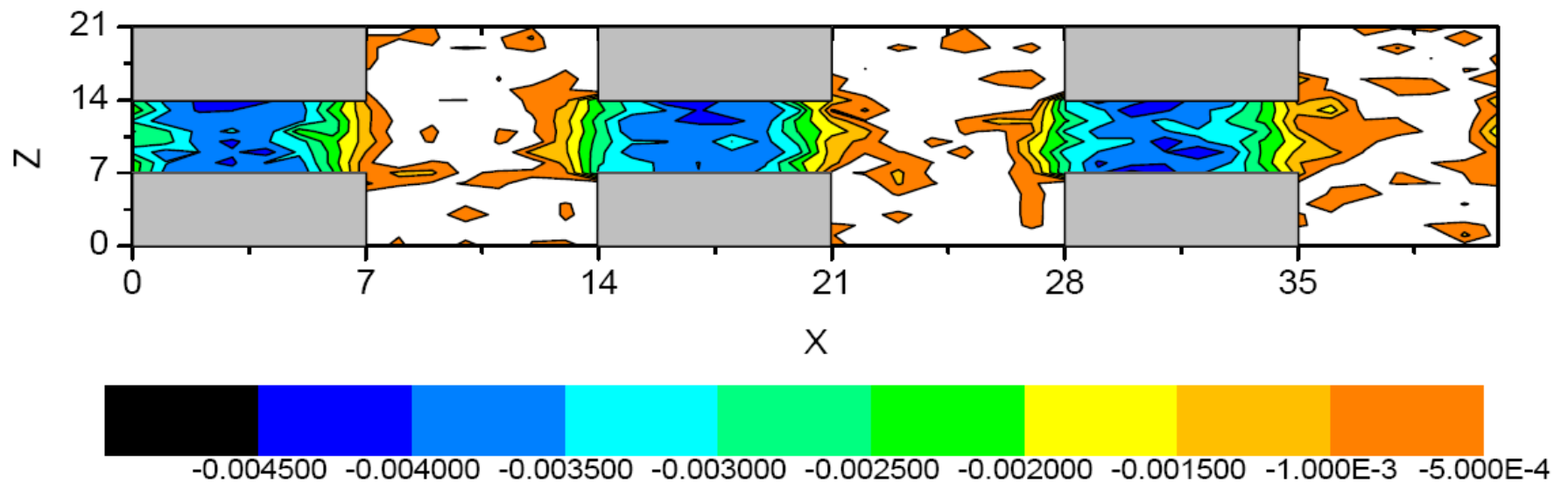
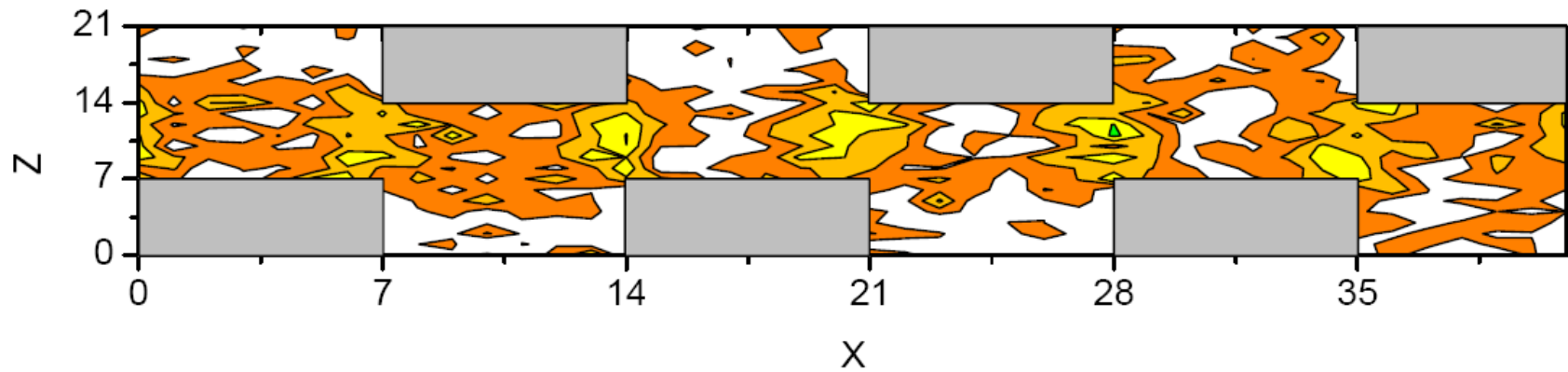
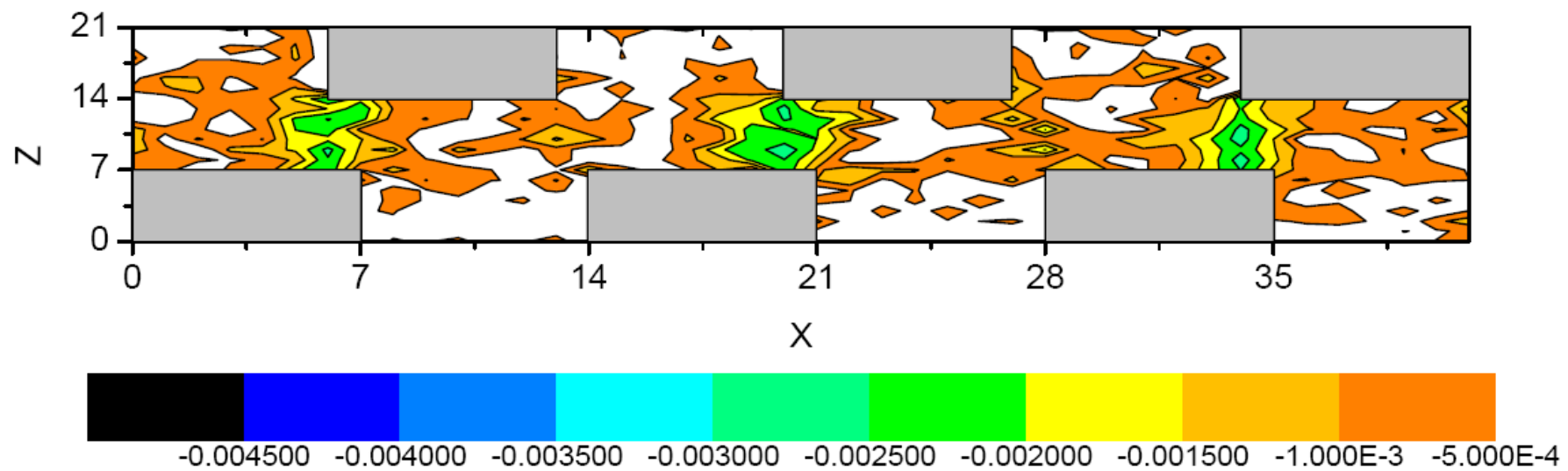


FIG. 2. (Color online) The phase dependence of the lateral Casimir force. The measurement data are shown as dots. The solid line is the exact theory.

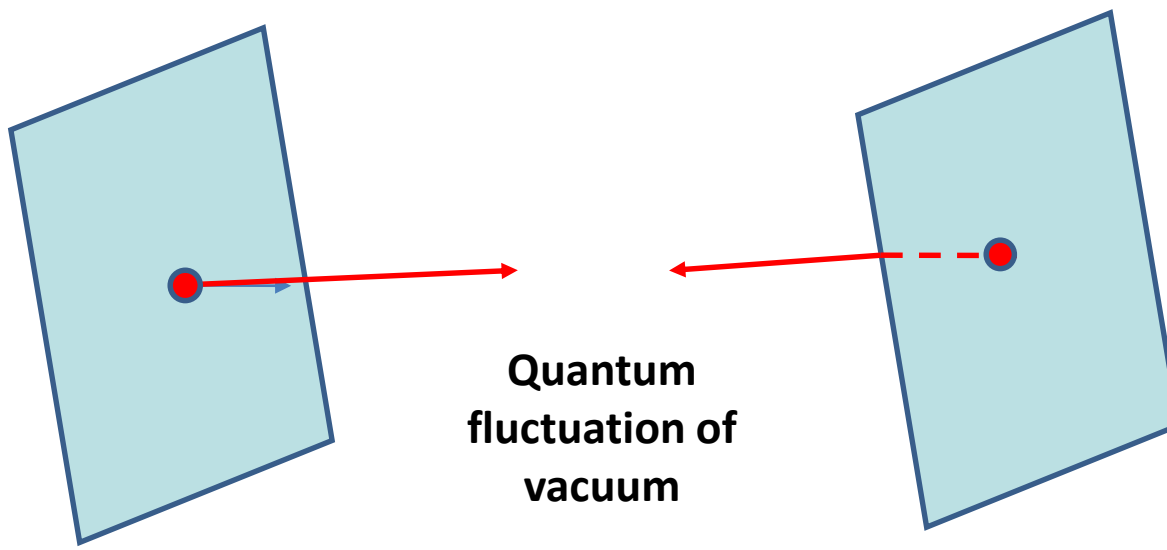




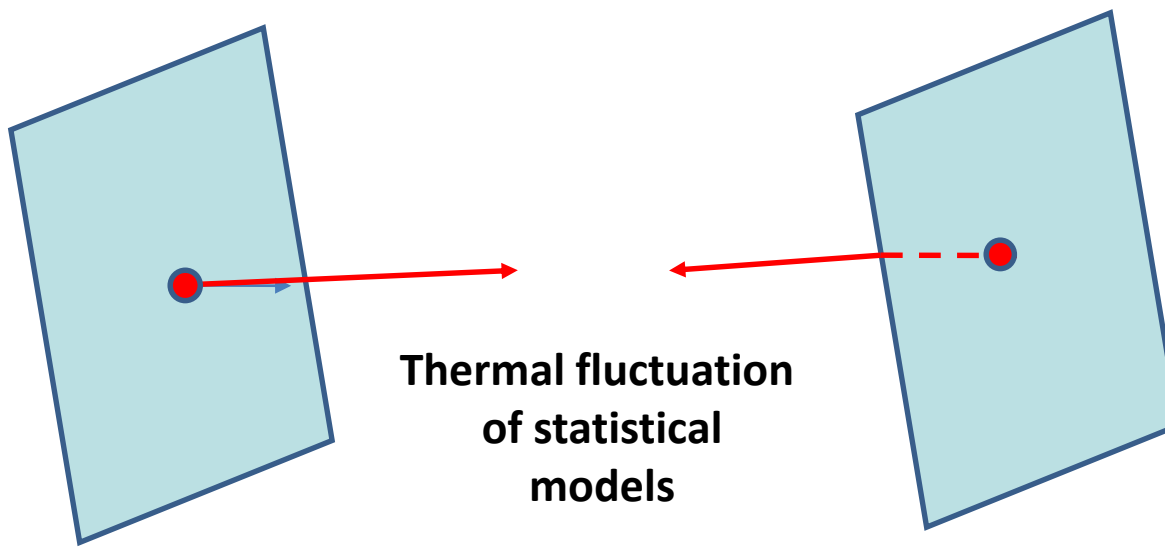


Критический эффект  
Казимира в статистических  
моделях

# Critical Casimir Effect: Casimir Effect in statistical model



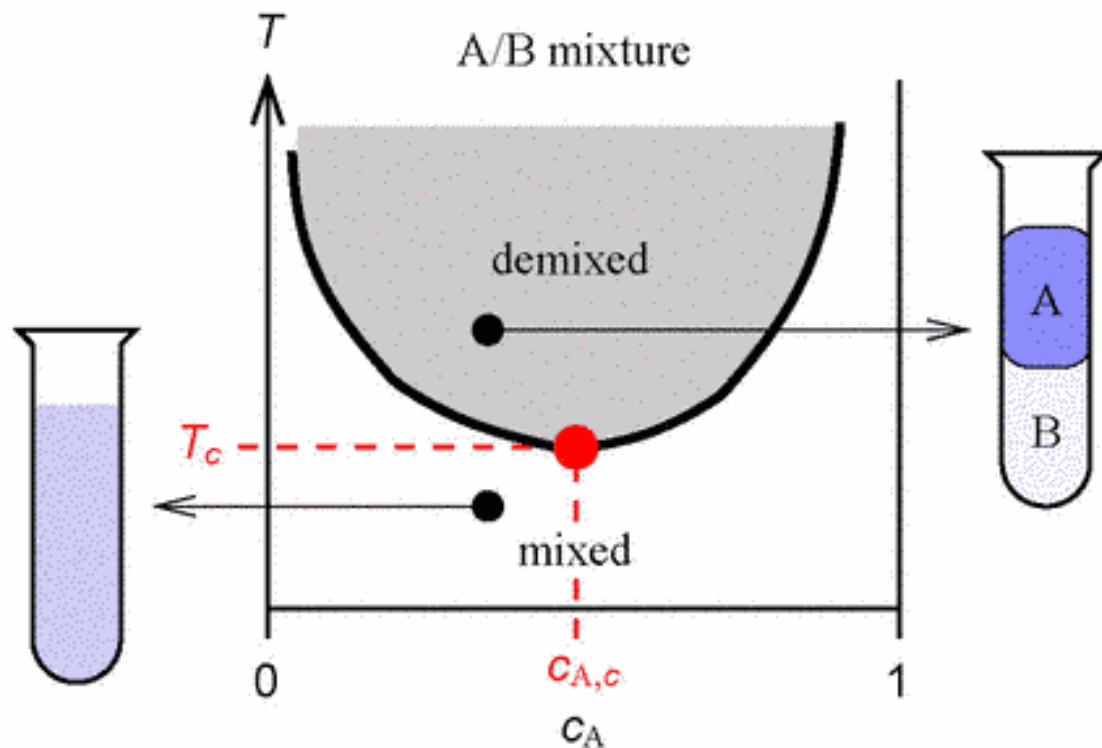
# Critical Casimir Effect: Casimir Effect in statistical model



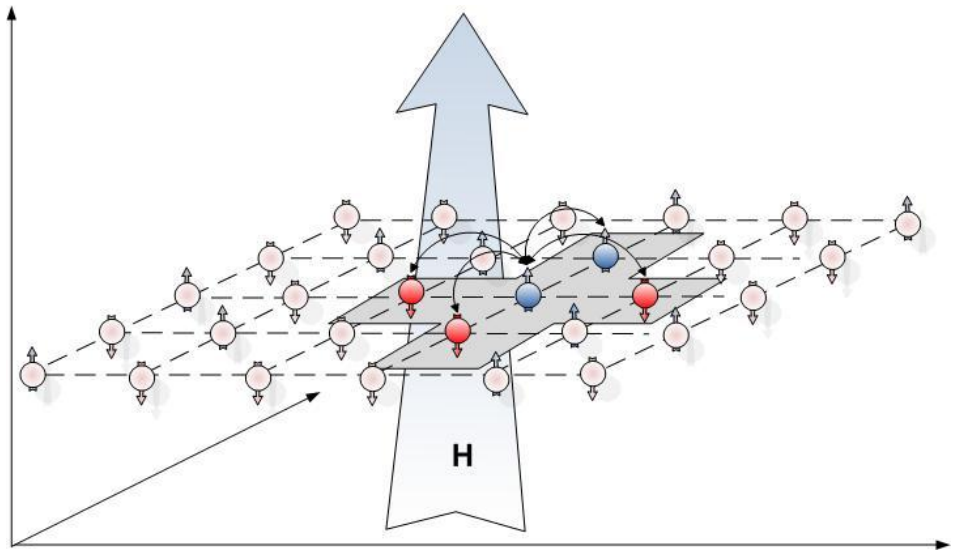
M. E. Fisher, P.-G. de Gennes, C. R. Acad. Sci. Paris Ser. B **287** , 207 (1978).

M. Krech, *The Casimir Effect in Critical Systems* (World Scientific, Singapore, 1994)

# ${}^3\text{He} - {}^4\text{He}$ mixture



# Conformal symmetry and phase transition: Ising model illustration



$$E(Conf) = -J \sum_{x,\mu} \sigma_x \sigma_{x+\mu} + H \sum_x \sigma_x,$$

$$P(Conf) = \frac{1}{Z} e^{-\beta E(Conf)}$$

# Scale invariance at “Fractal” State

Chaos

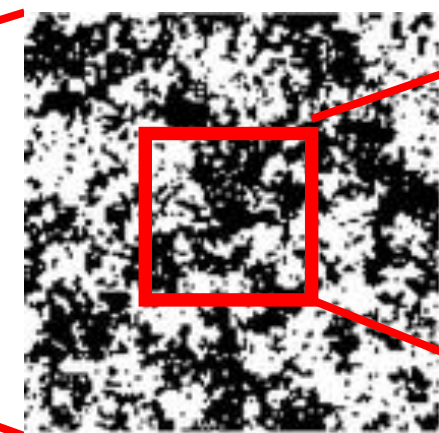
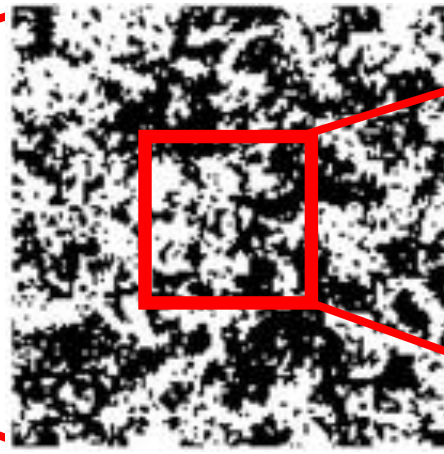
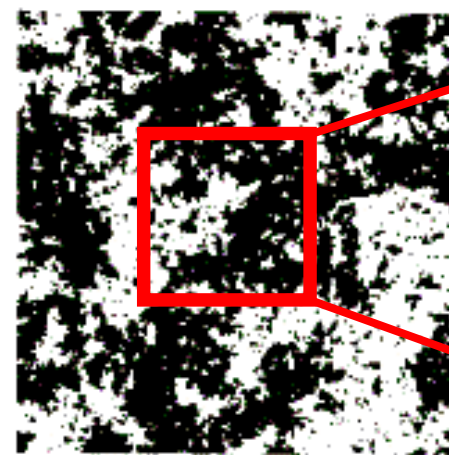
0

“Fractal” State

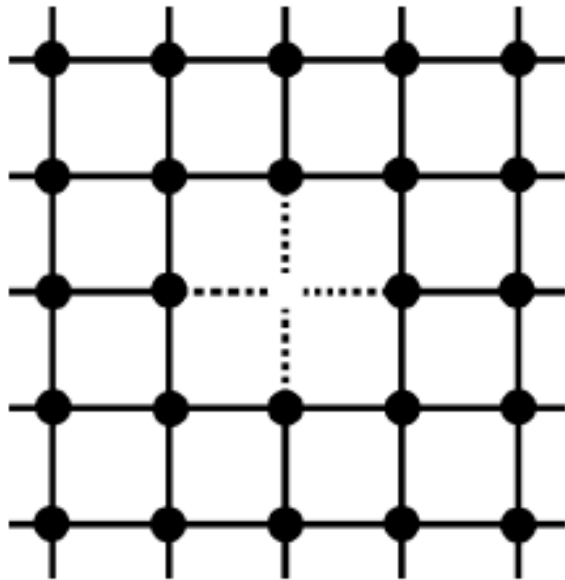
Spin Domain

$\infty$

$1/T$



# Ising model with defect



$$E(Conf) = - \sum_{x,\mu} J_{x,x+\mu} \sigma_x \sigma_{x+\mu} + H \sum_x \sigma_x,$$

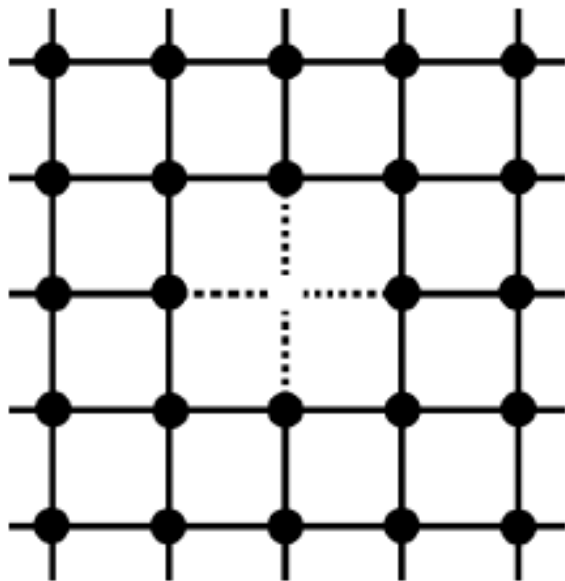
$$P(Conf) = \frac{1}{Z} e^{-\beta E(Conf)}, \quad \varkappa = \beta J$$

**Mass of defect:**

$$m_d = E_d - E_0,$$

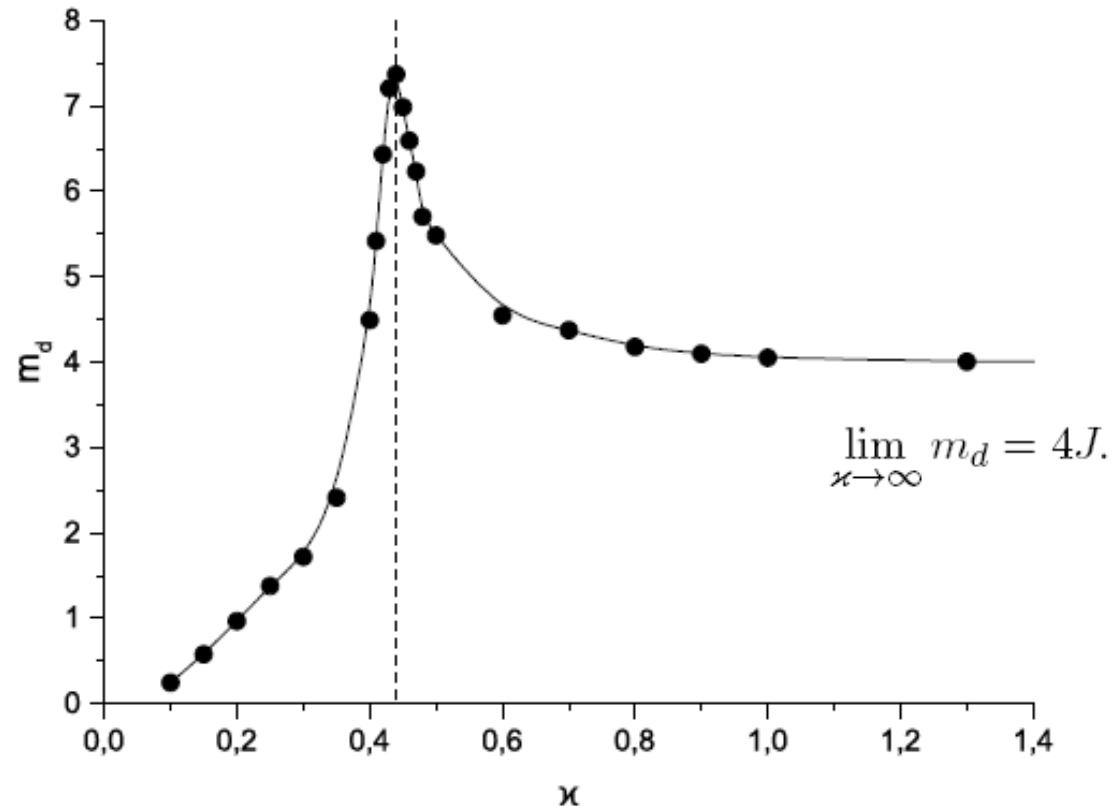
**Subtraction procedure**

# MC of Ising model with defects

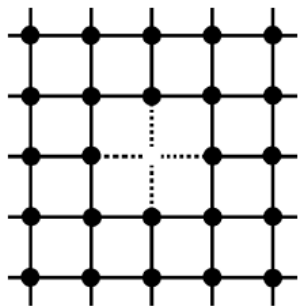


**Mass of defect:**

$$m_d = E_d - E_0,$$

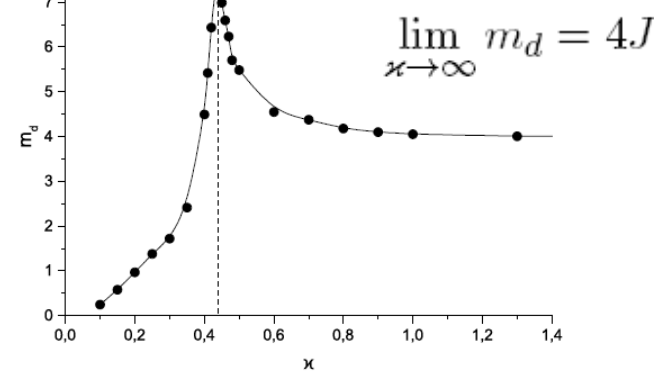
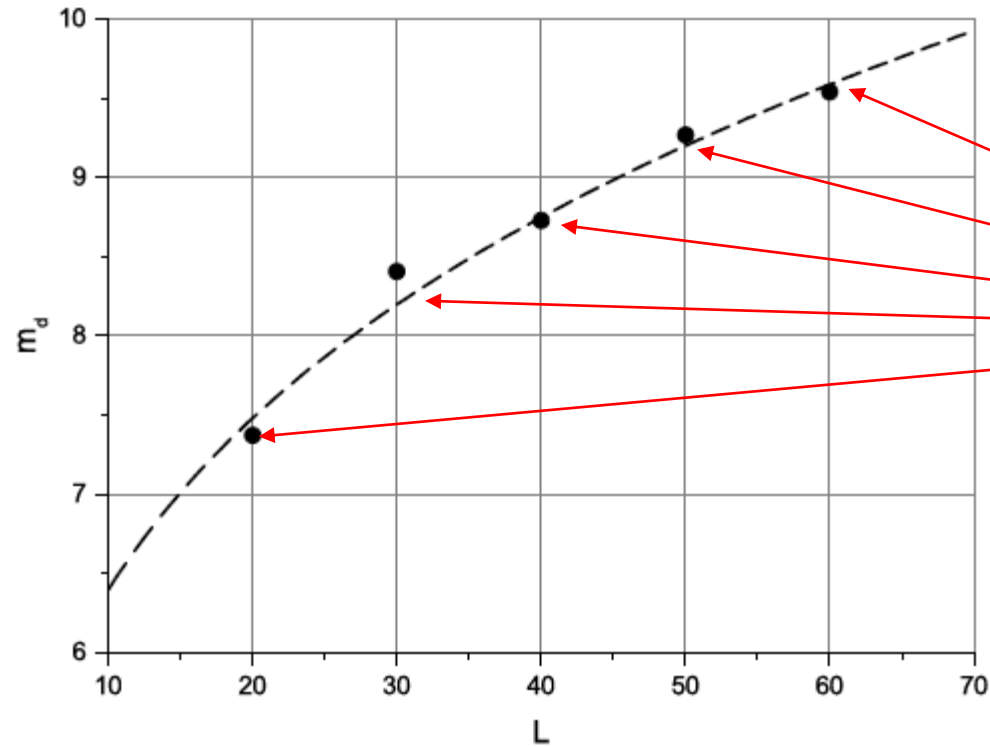


# Mass of defect: volume dependence

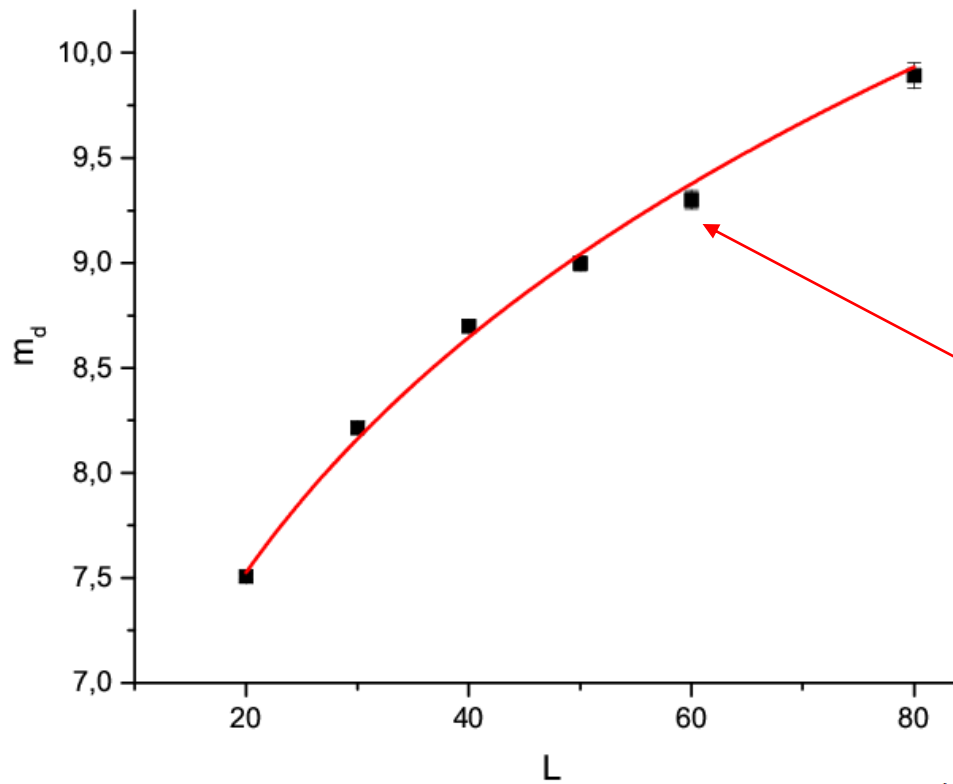


Масса дефекта:

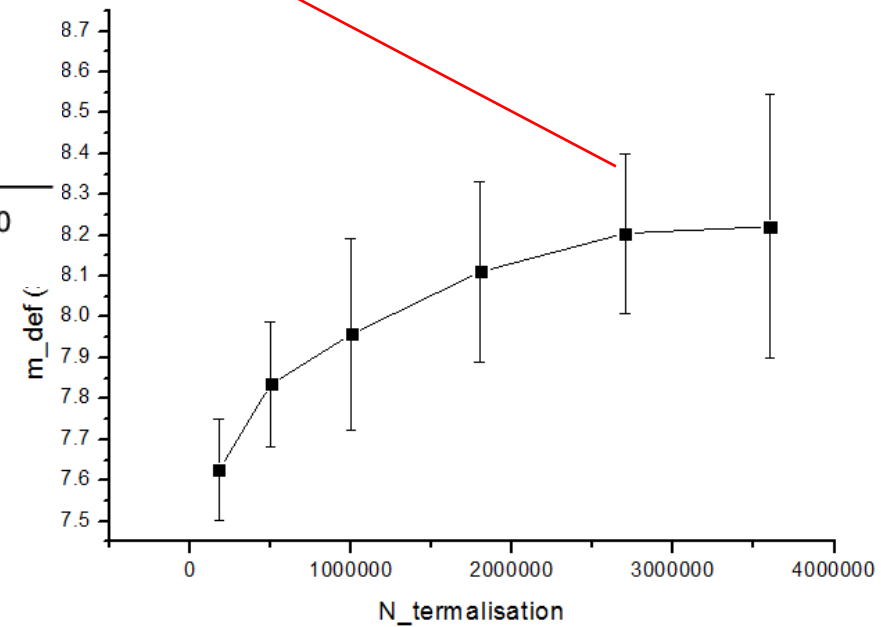
$$m_d = E_d - E_0,$$



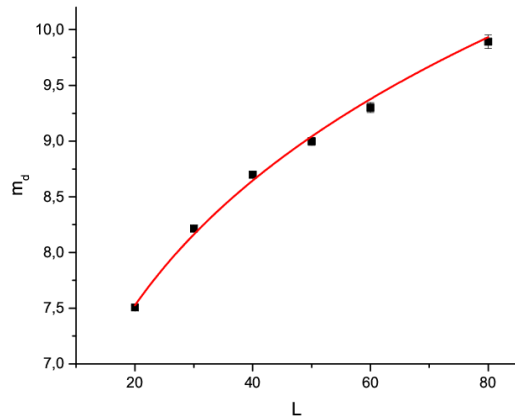
# MC of defect mass: lattice volume dependence and thermalisation problems



$$m_d^{\text{cr}} = A L^n, \quad n \approx \frac{1}{5}$$

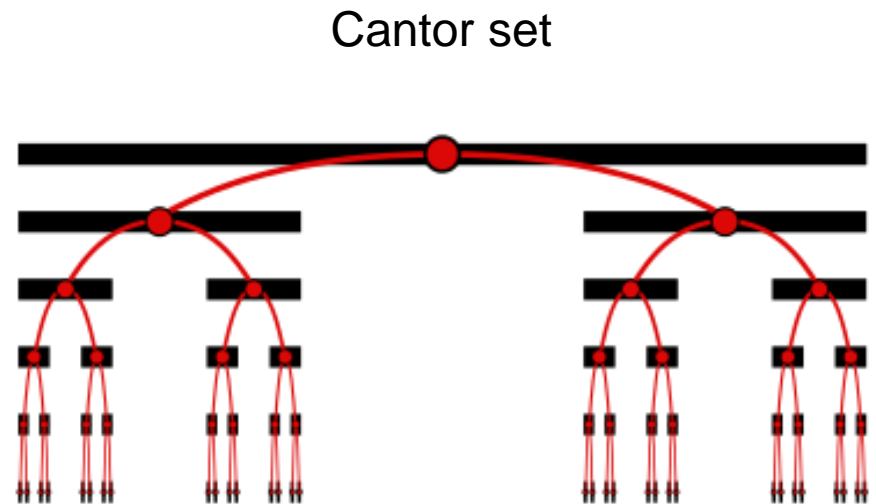


# Defect in critical point: fractal dim object and Cantor set

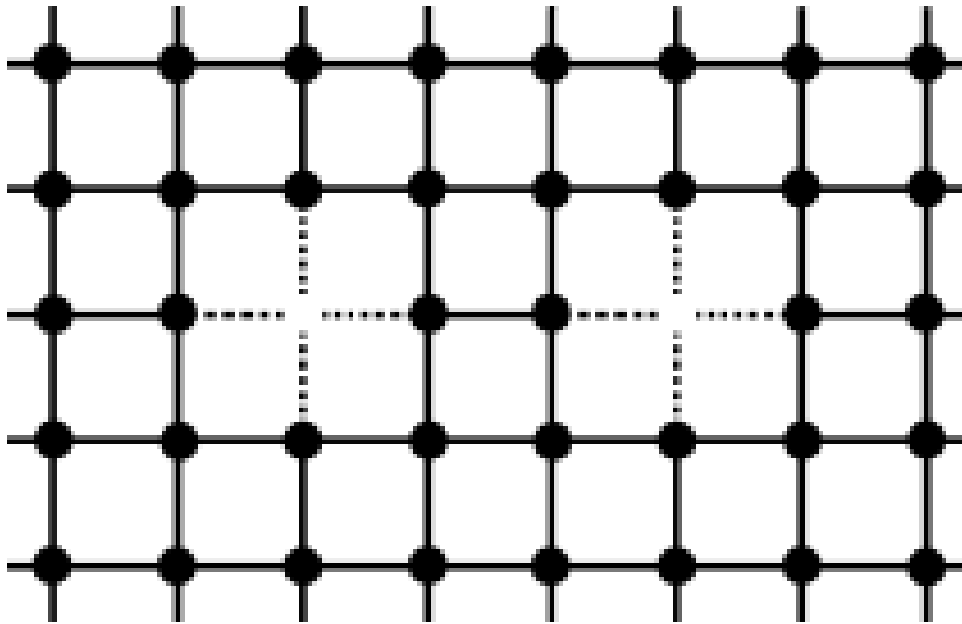


$$m_d^{\text{cr}} = AL^n, \quad n \approx \frac{1}{5}$$

Reflection in broken (fractal) mirror

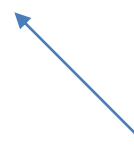


# Critical Casimir Forces between two defects



Two defects **Bound Energy**

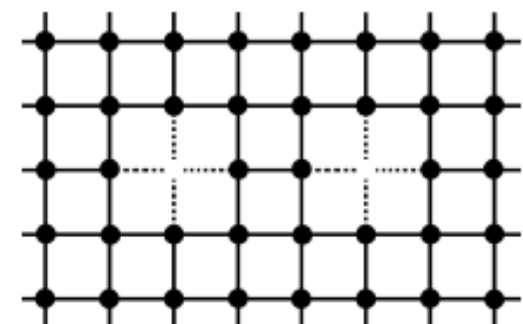
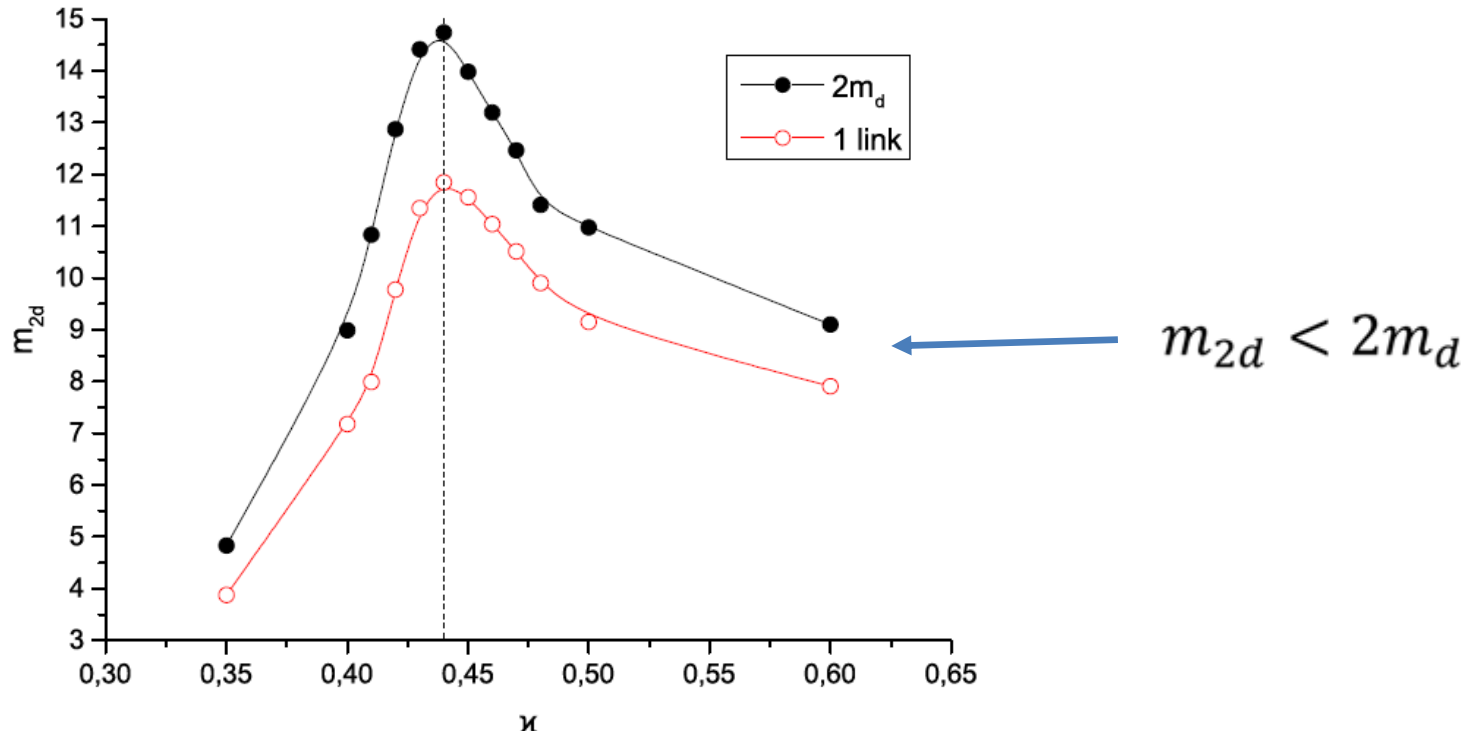
$$E_{\text{int}} = E_{\text{tot}} - E_{L/2}$$



**Subtraction procedure**

# Critical Casimir Forces between two defects

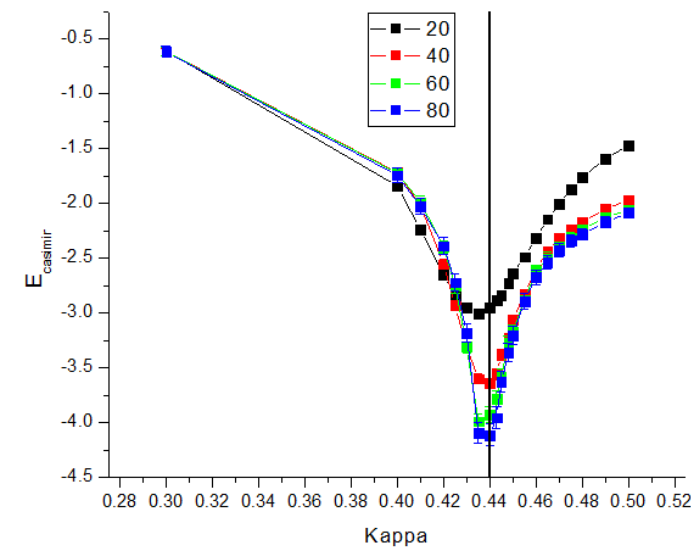
$$E_{\text{int}} = E_{\text{tot}} - E_{L/2}$$



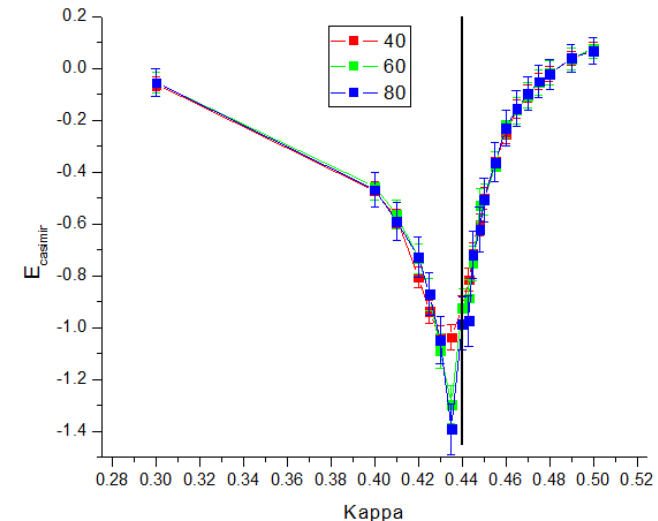
# Critical Casimir Forces between two defects

$$E_{\text{int}} = E_{\text{tot}} - E_{L/2}$$

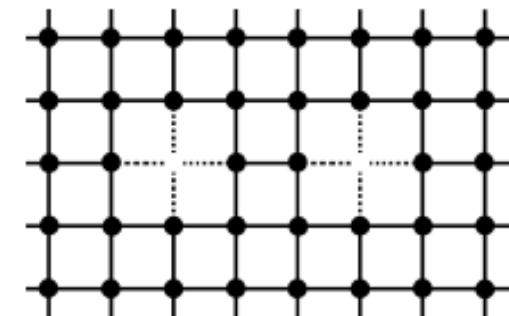
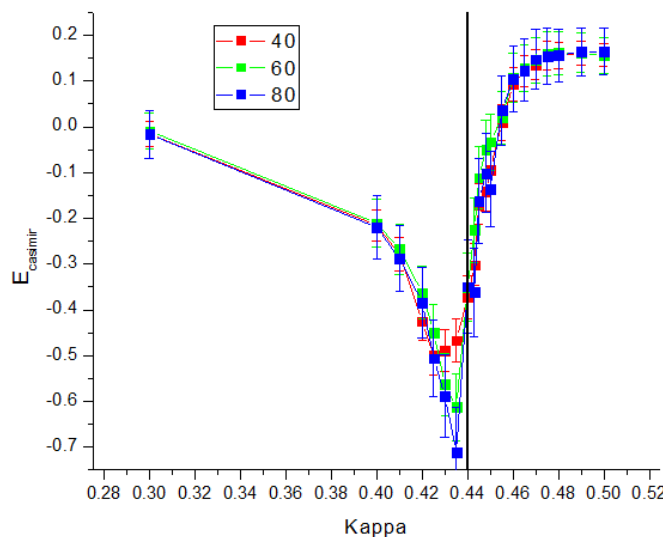
Dist. between def's = 1



Dist. between def's = 2

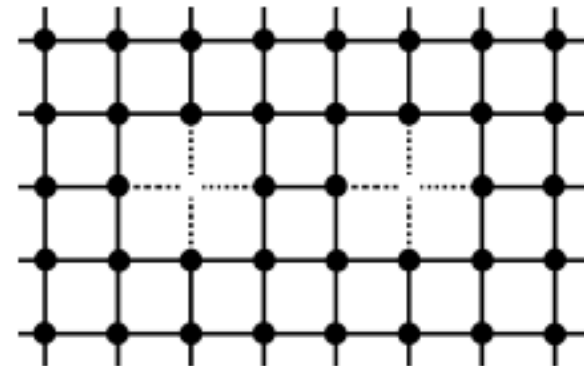
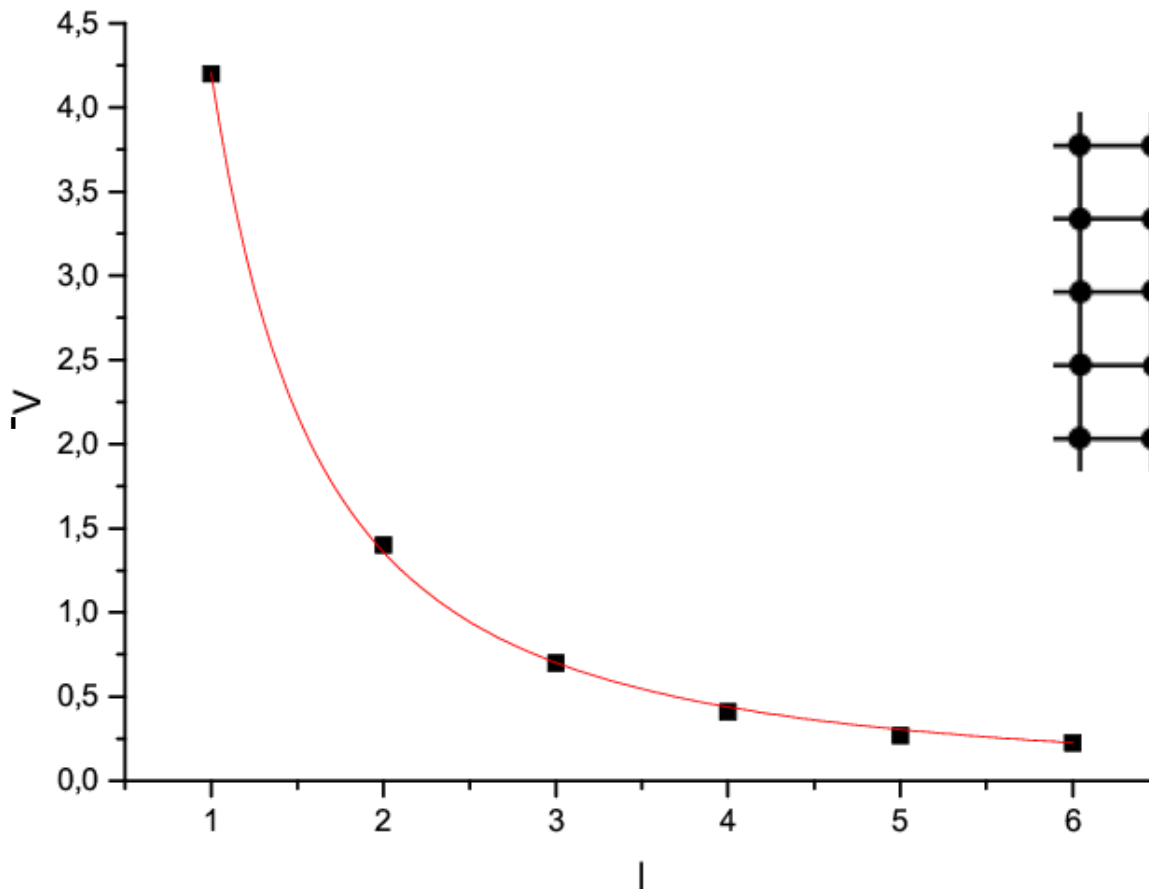


Dist. between def's = 3



# Critical Casimir Forces between two defects

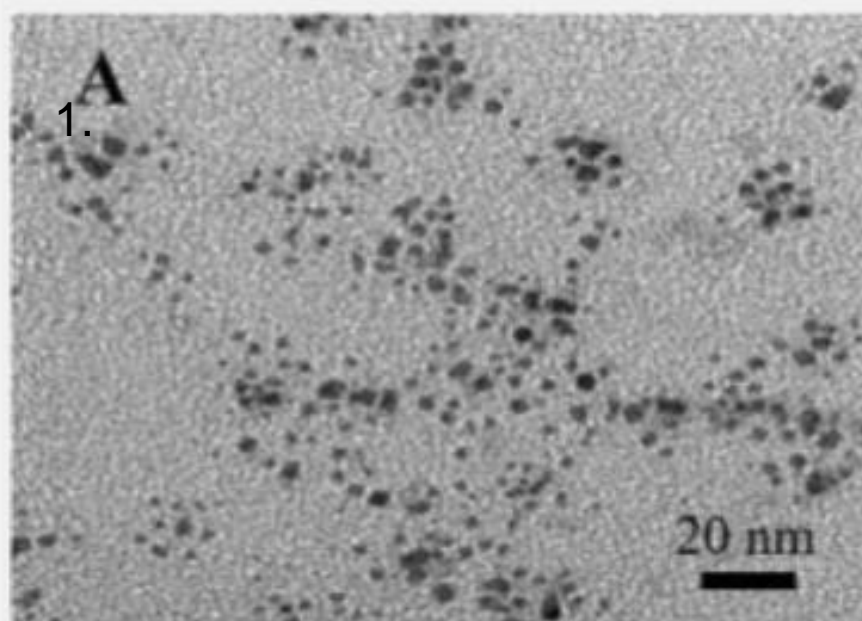
$$E_{\text{int}} = E_{\text{tot}} - E_{L/2}$$



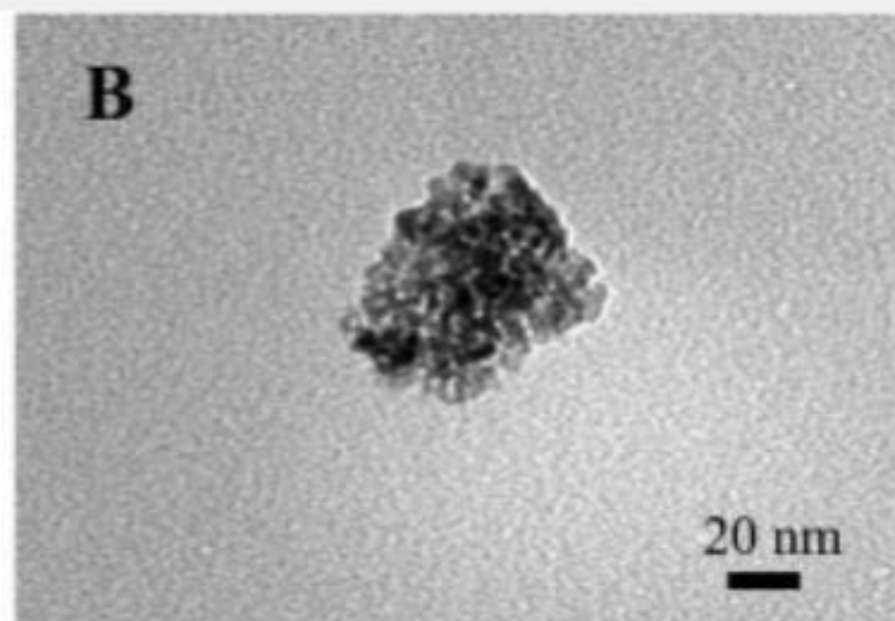
$$F(l) \sim \frac{1}{l^3}$$

P. Nowakowski, A. Maciolek, S. Dietrich,  
*Critical Casimir forces between defects in the 2D Ising model*,  
J. Phys. A: Mathematical and Theoretical, **49**, 48 (2016)

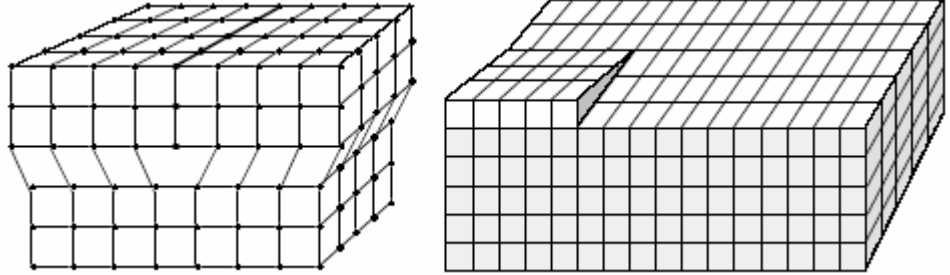
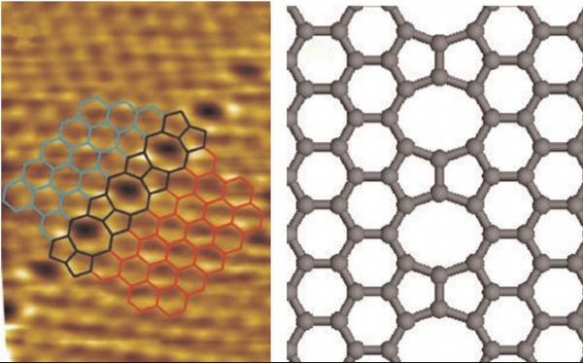
# Defects aggregation



Dispersed nanoparticles



Aggregated nanoparticles



## Critical Casimir Effect in defect lines

# Critical Casimir Effect: BioPhysics Applications

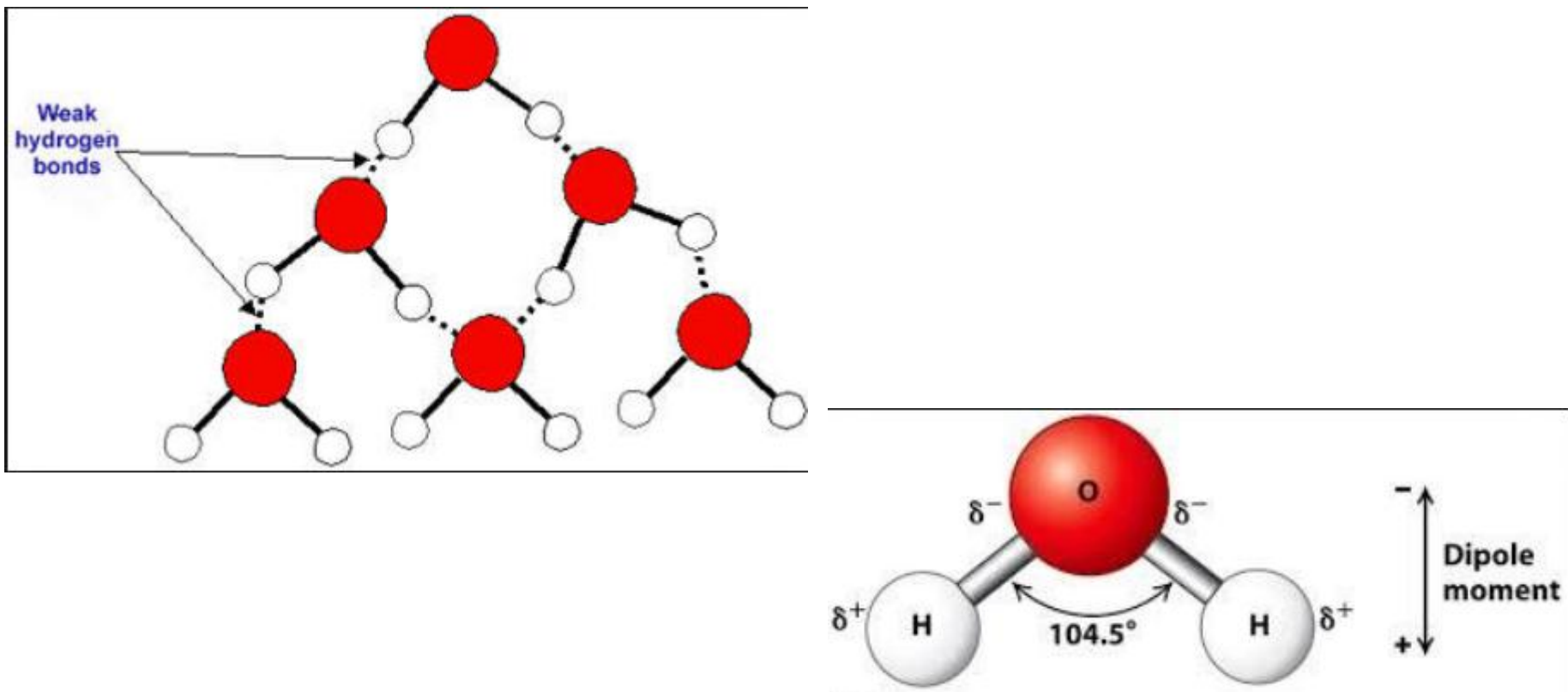
Biological processes in a medium of polarized molecules:

- Protein folding
- Cell membranes formation and lipid rafts
- Biological catalyst
- ...

# Critical Casimir Effect: BioMedical Application

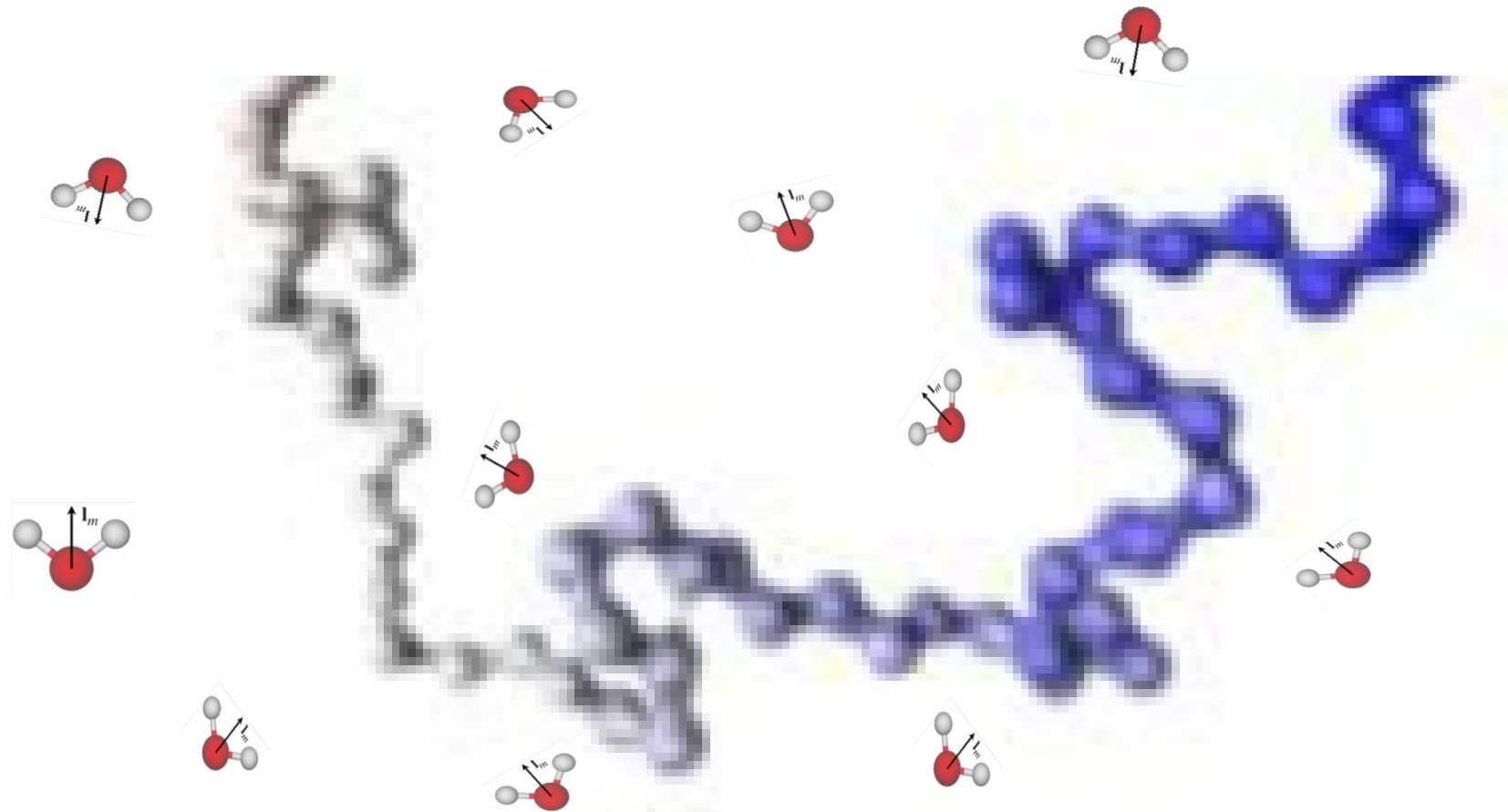
## 1. Global protein structure formation

We have to take into account medium in which the protein folding is taken place.



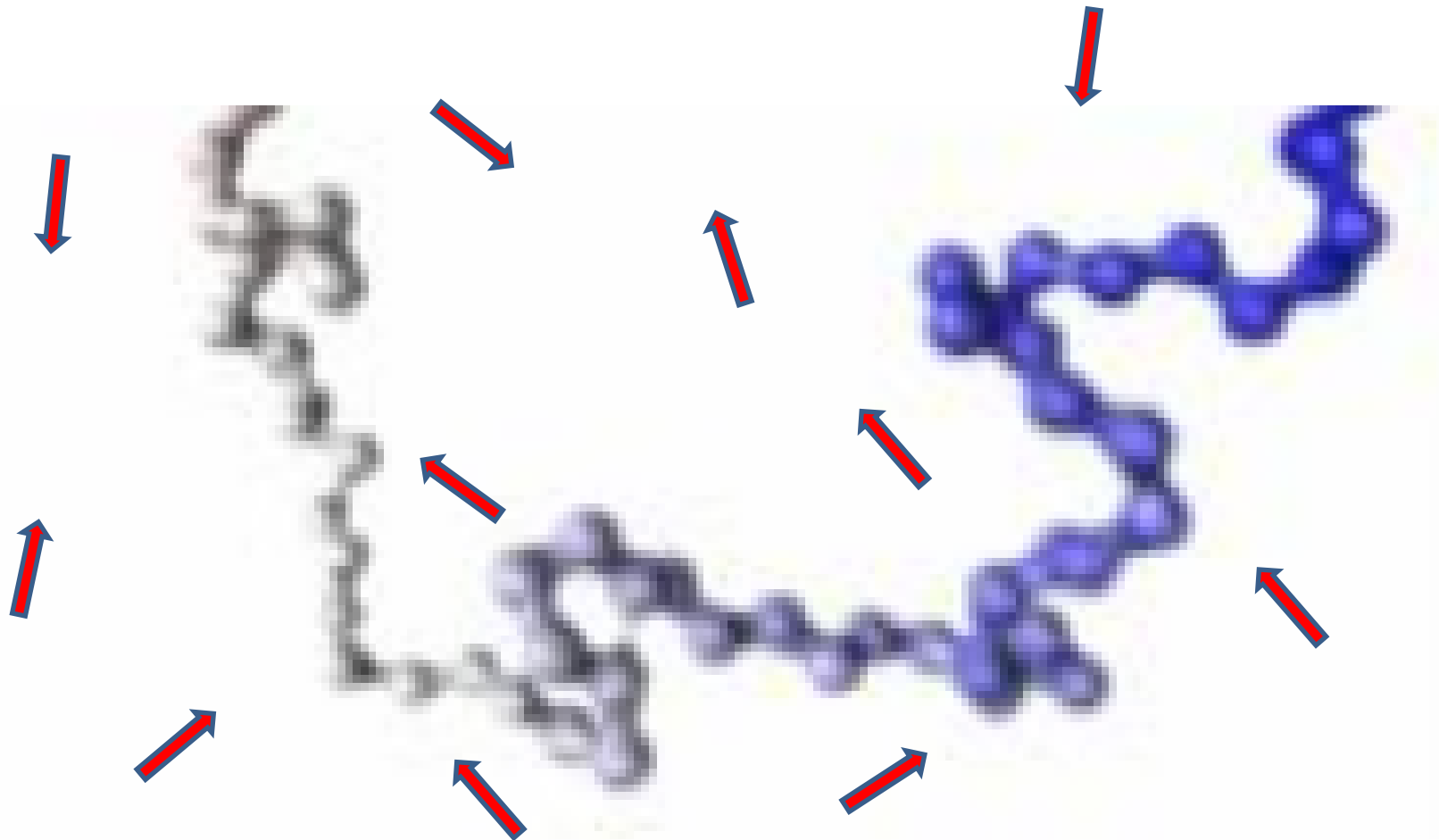
# Critical Casimir Effect: BioMedical Application

## 1. Global protein structure formation



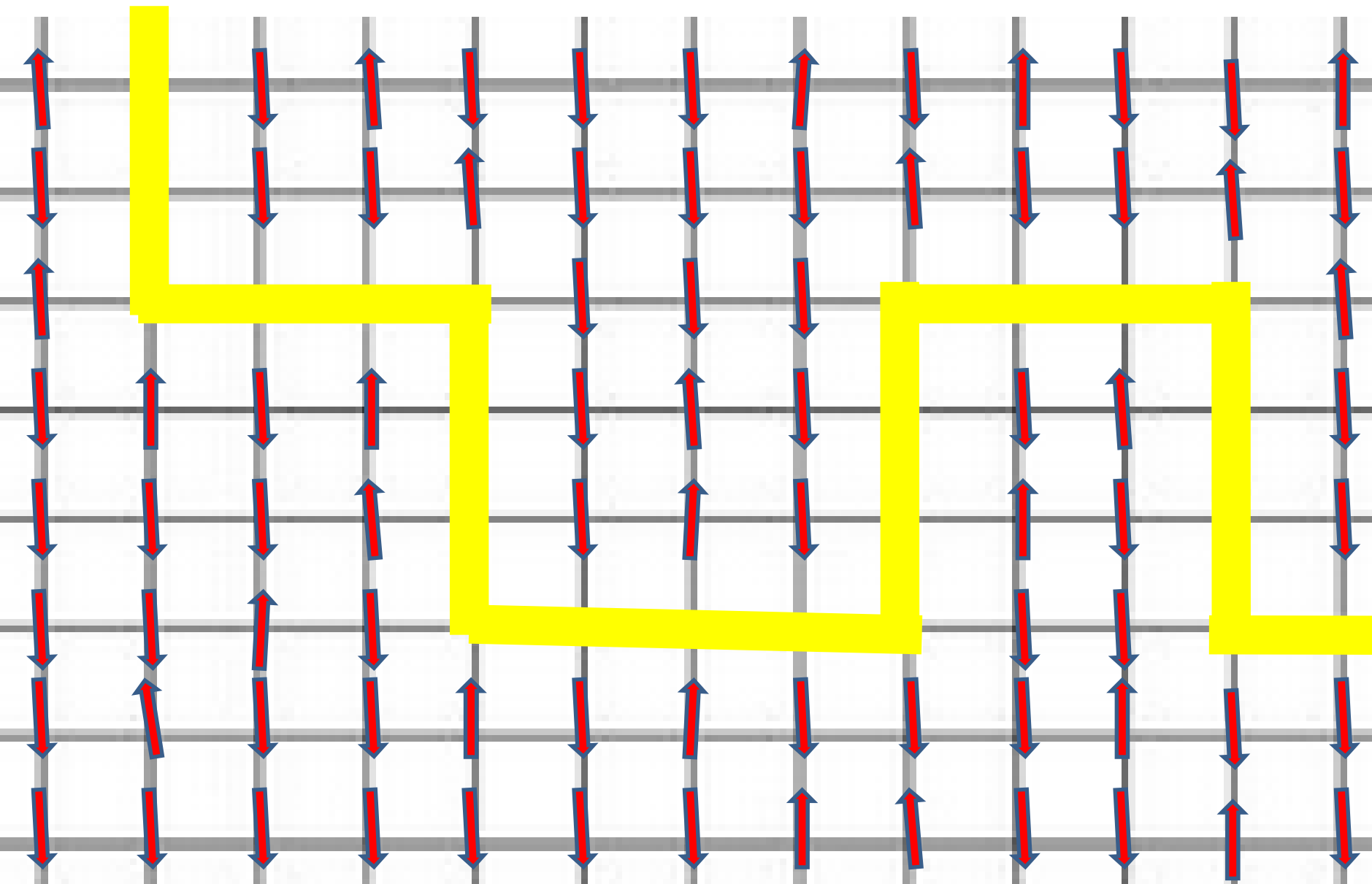
# Critical Casimir Effect: BioMedical Application

## 1. Global protein structure formation

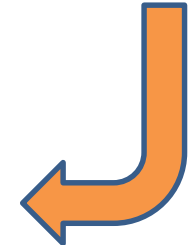
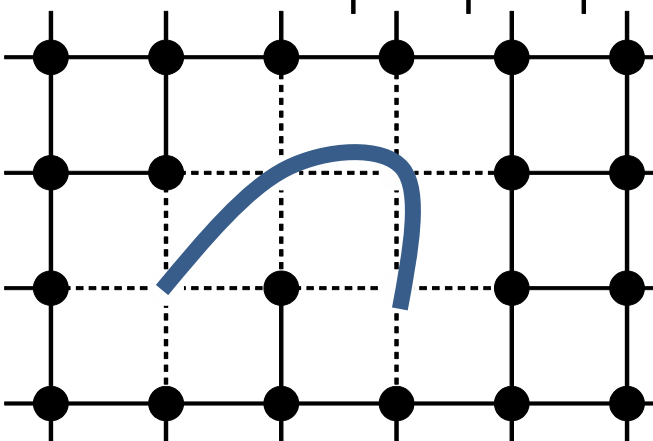
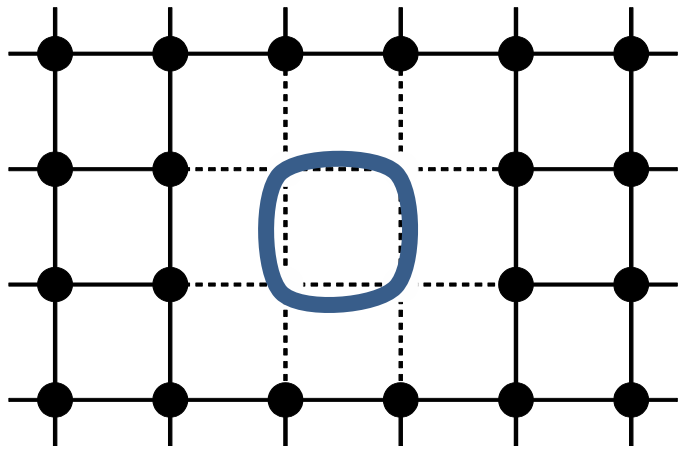
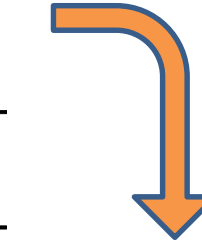
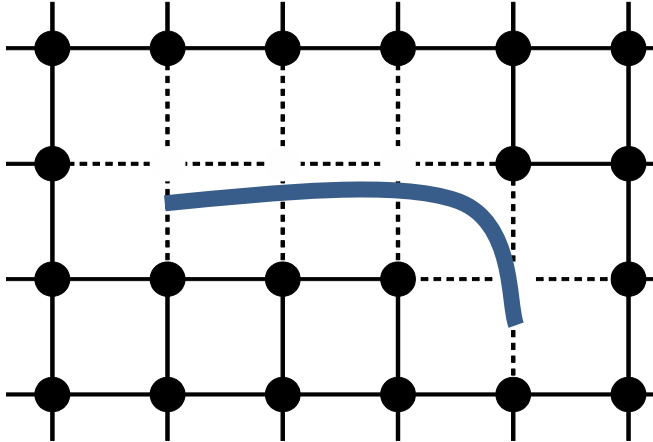
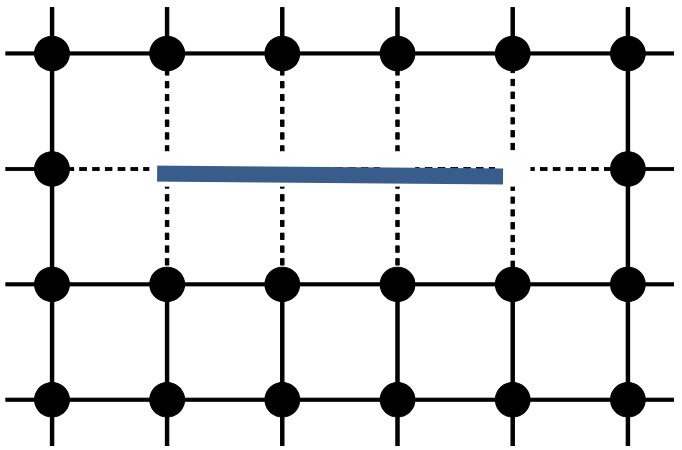


# Critical Casimir Effect: BioMedical Application

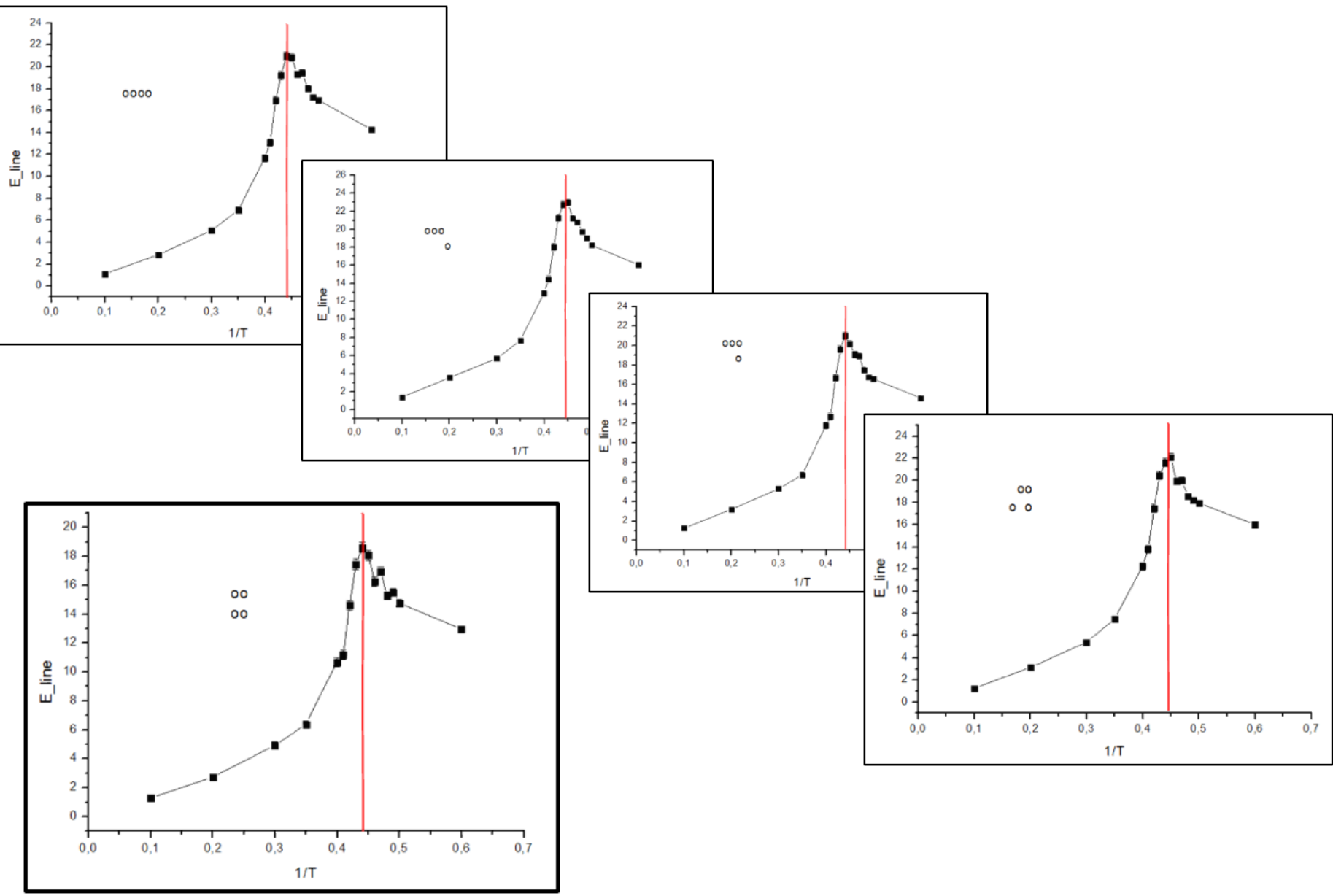
Discretization of the Model

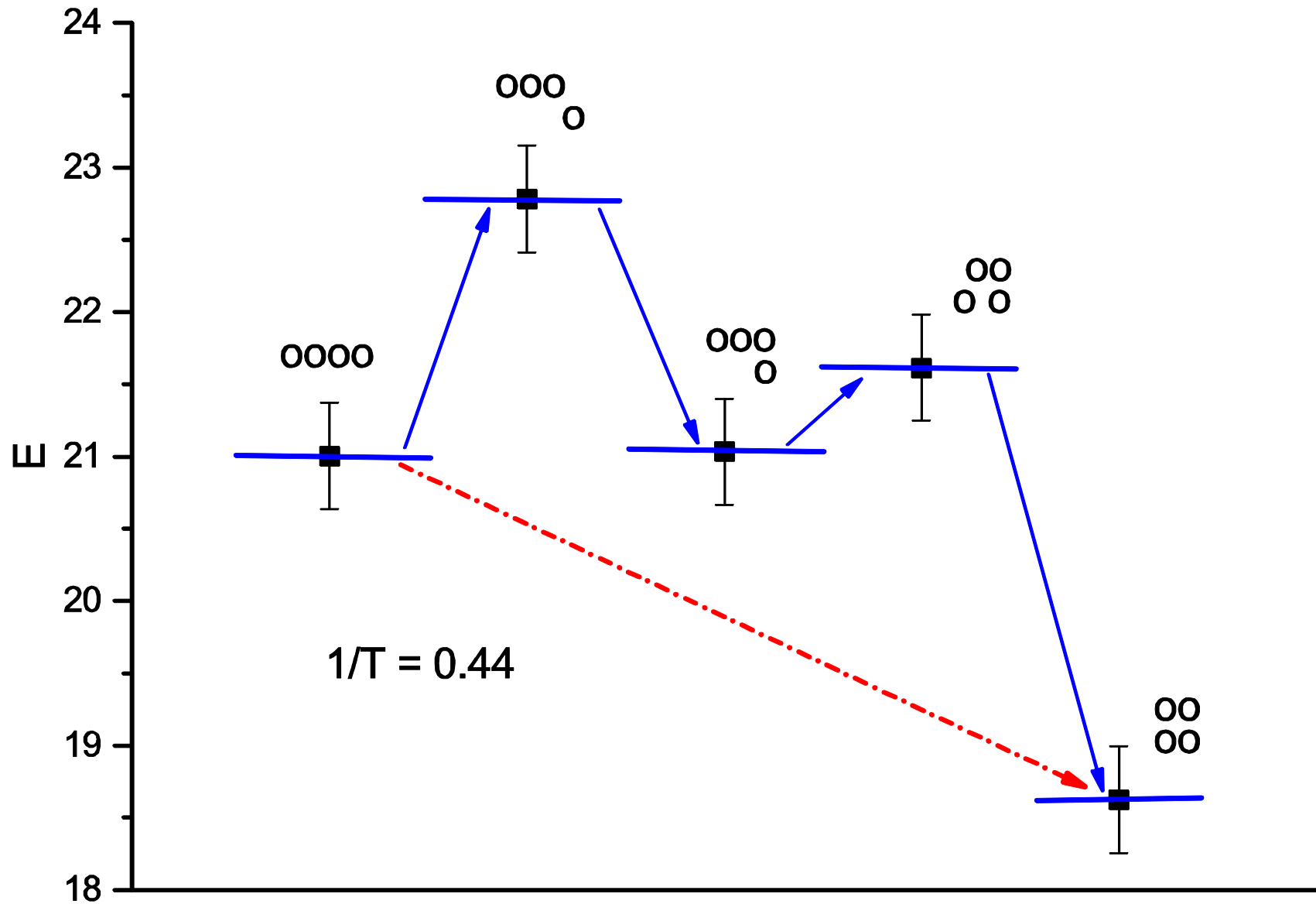


# Simple example: collapse of 4 defects line

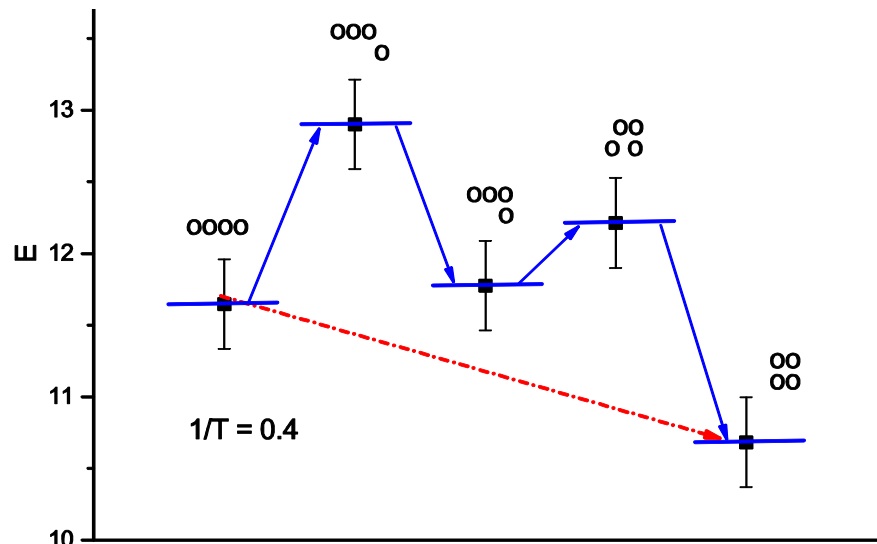
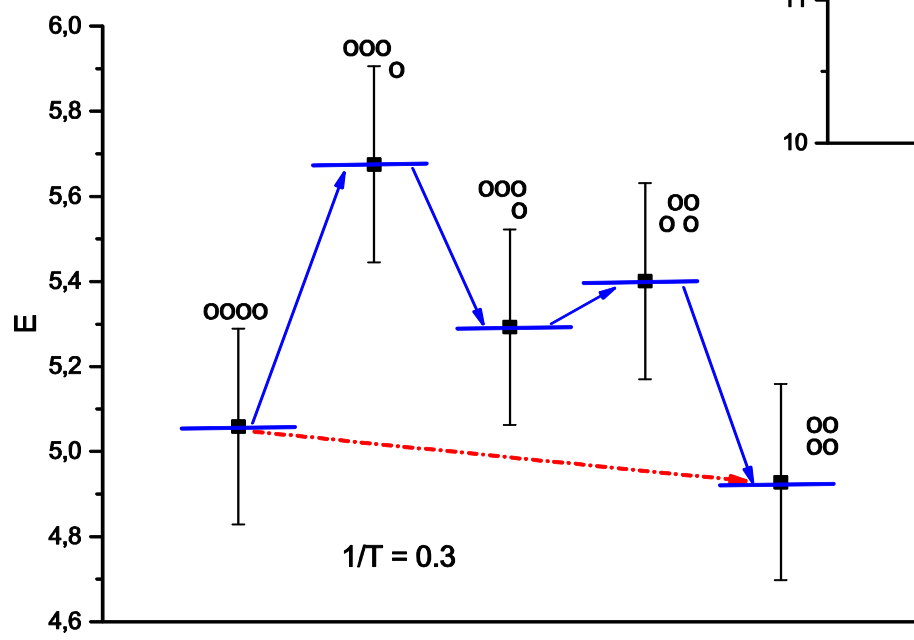


# Defects aggregation - small line

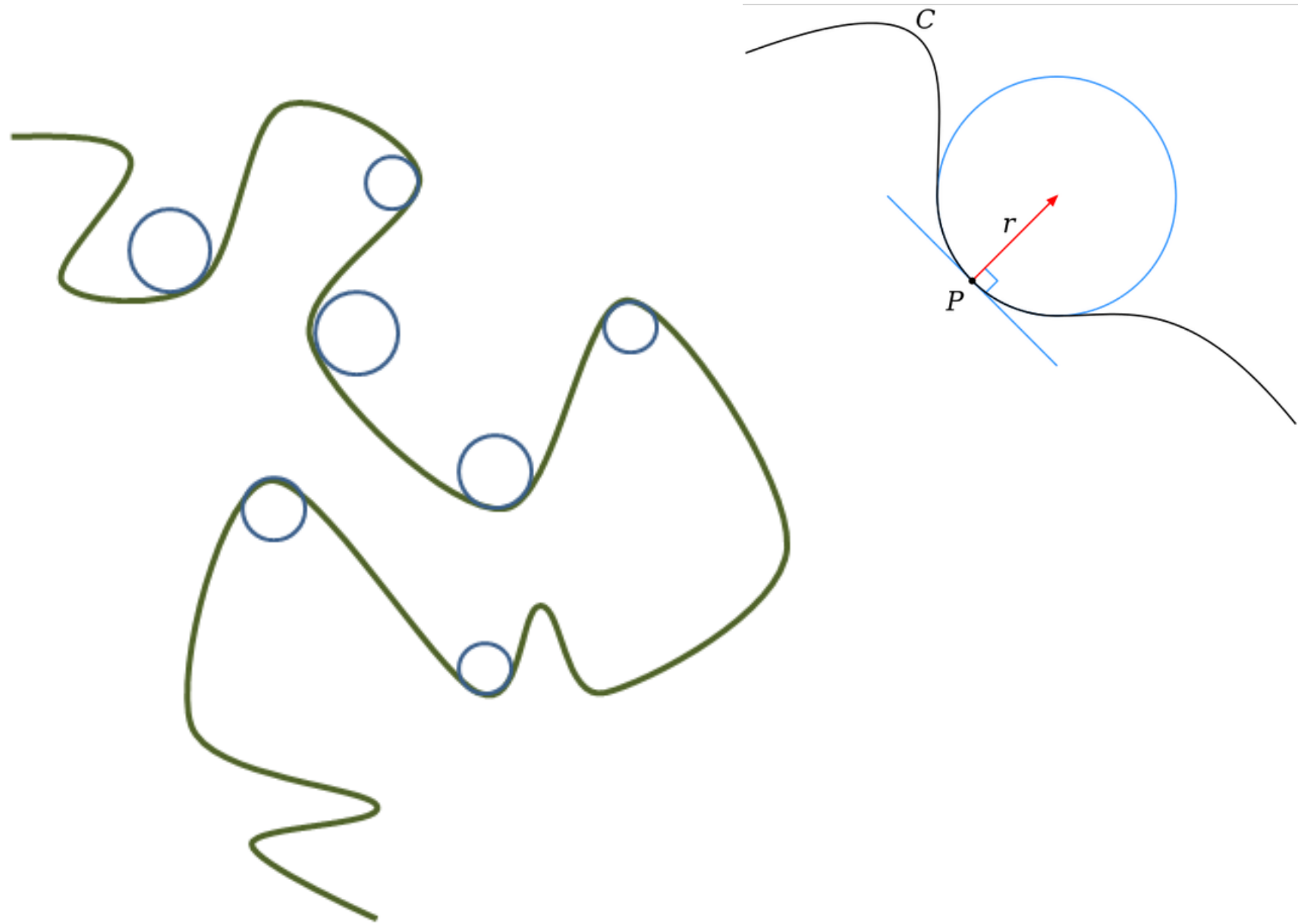


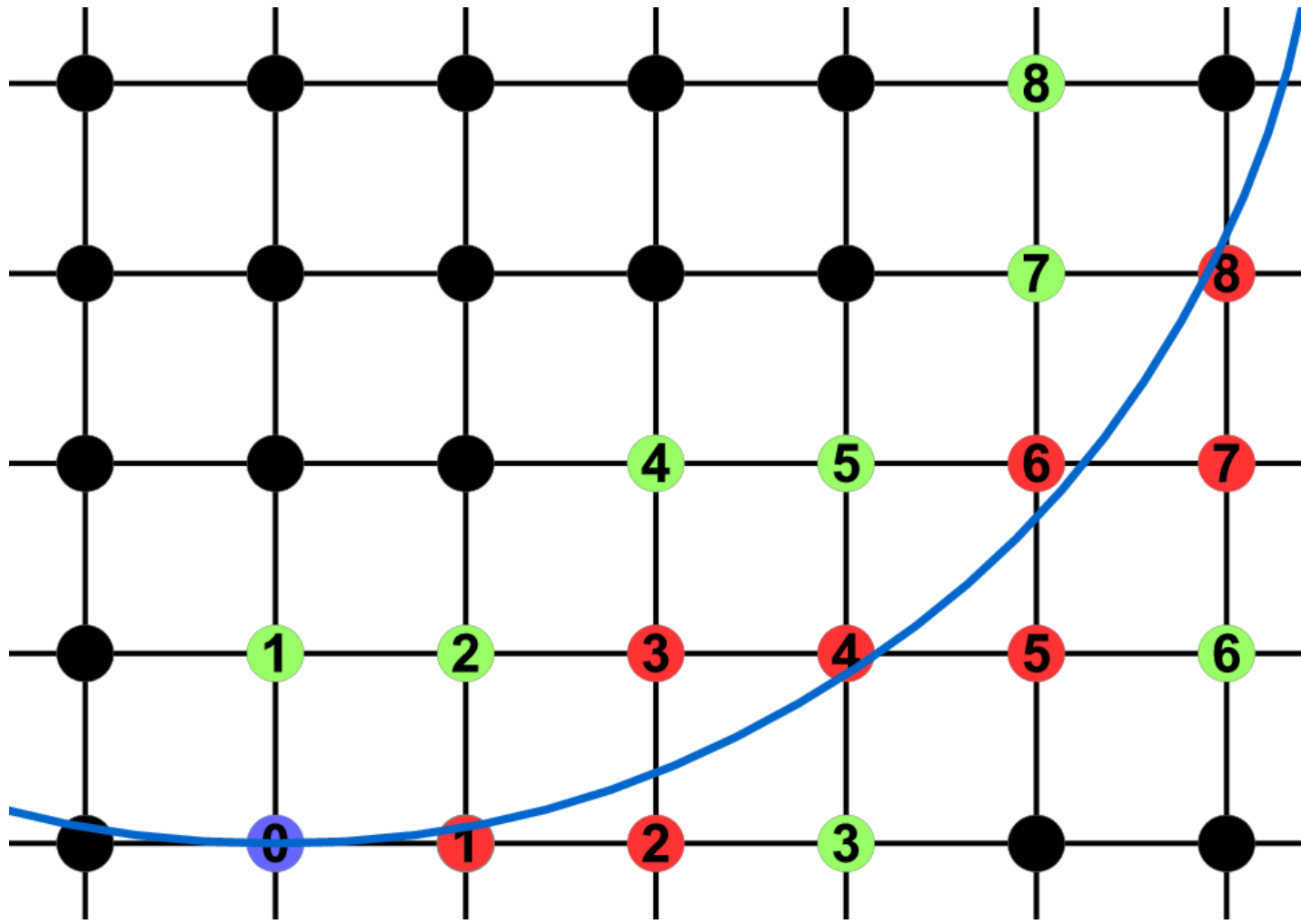


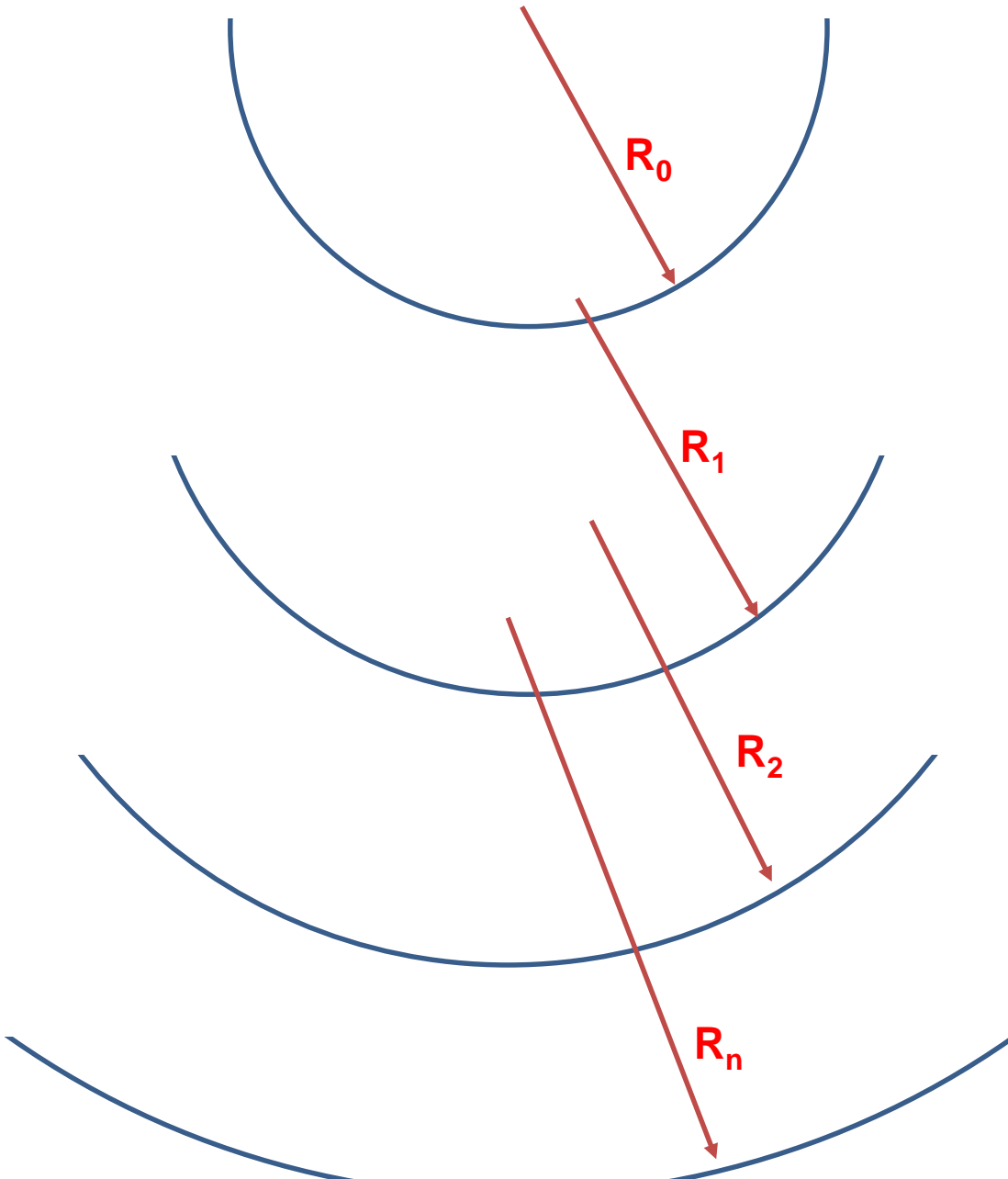
$1/T$	$E$
0.3	0.13
0.4	0.96
0.44	2.38



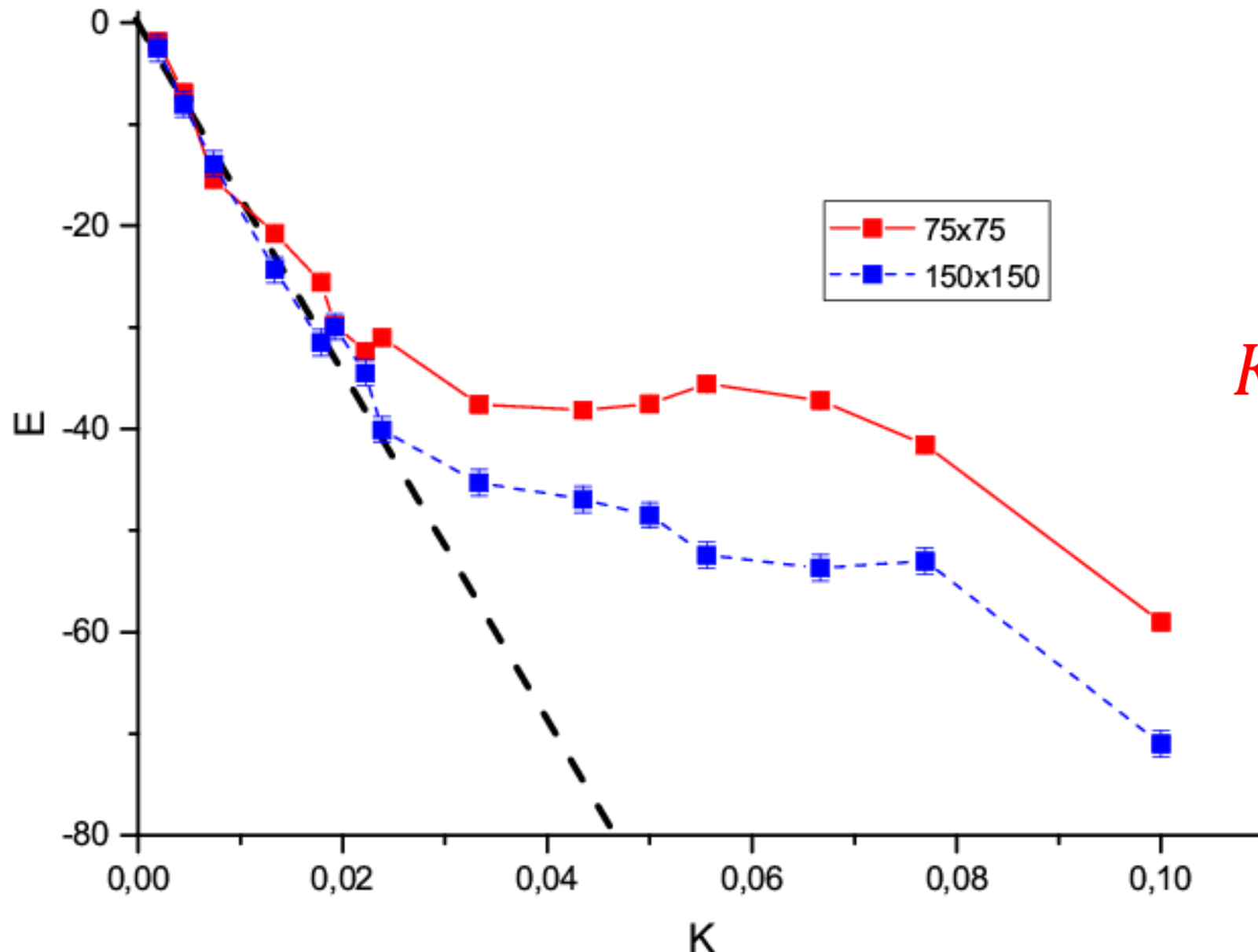
# Elasticity of defect curves

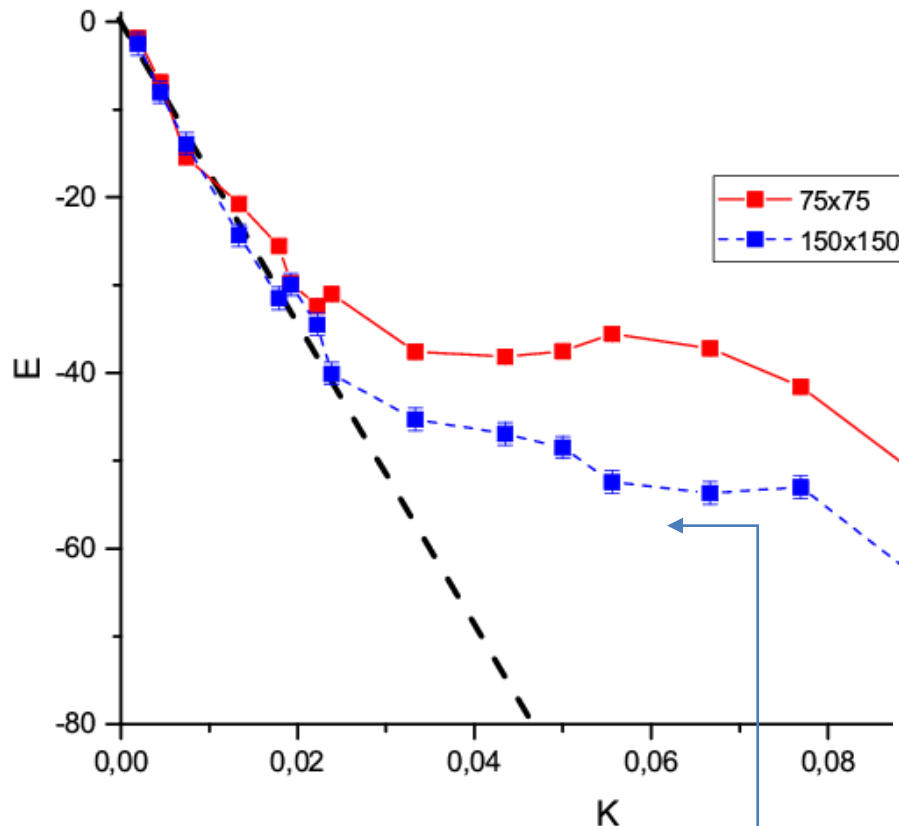




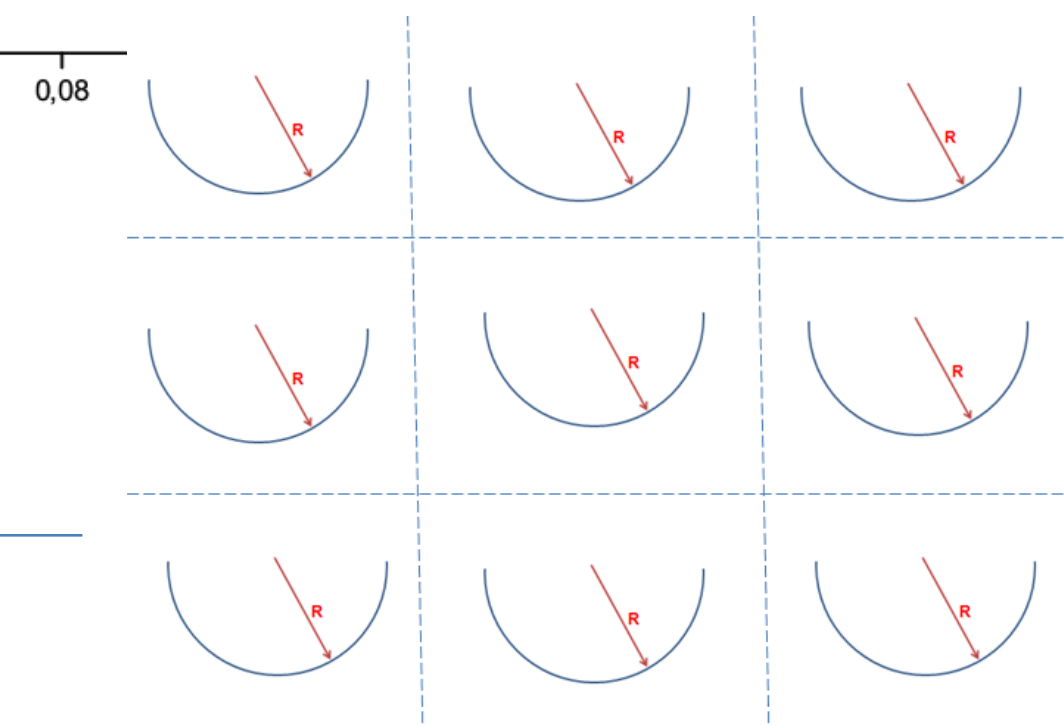


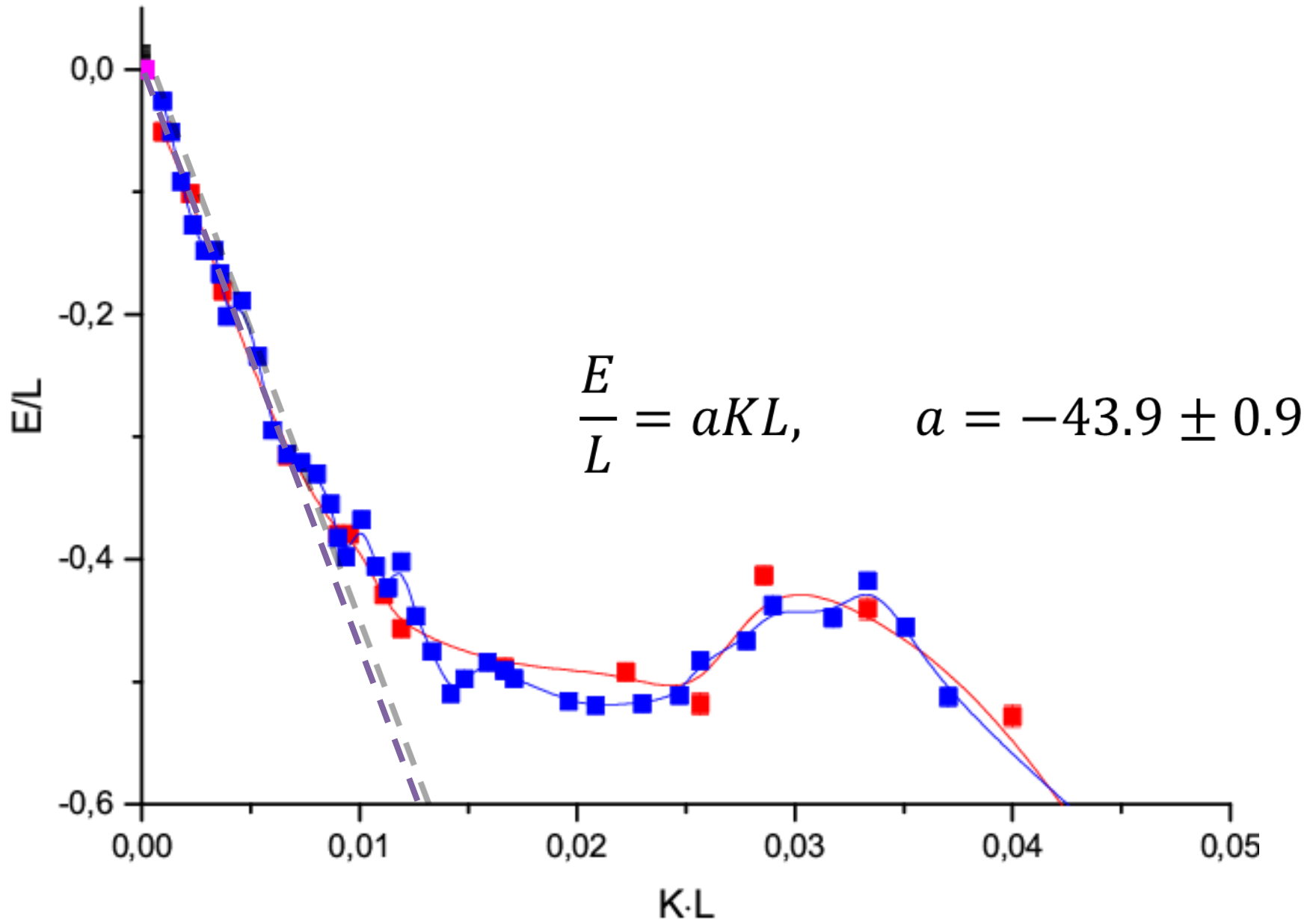
$$K = \frac{1}{R}$$



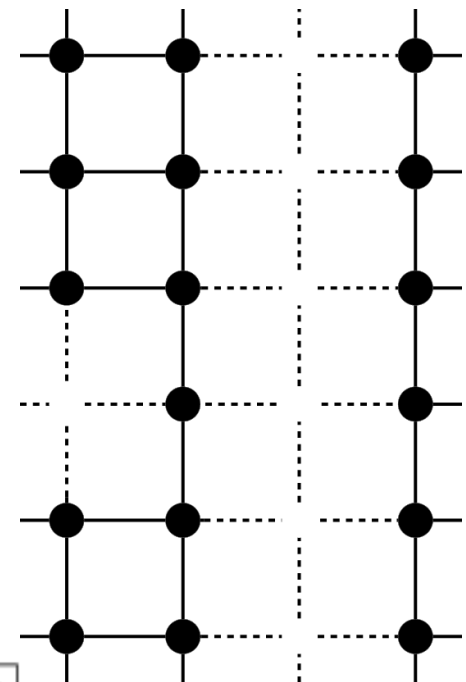
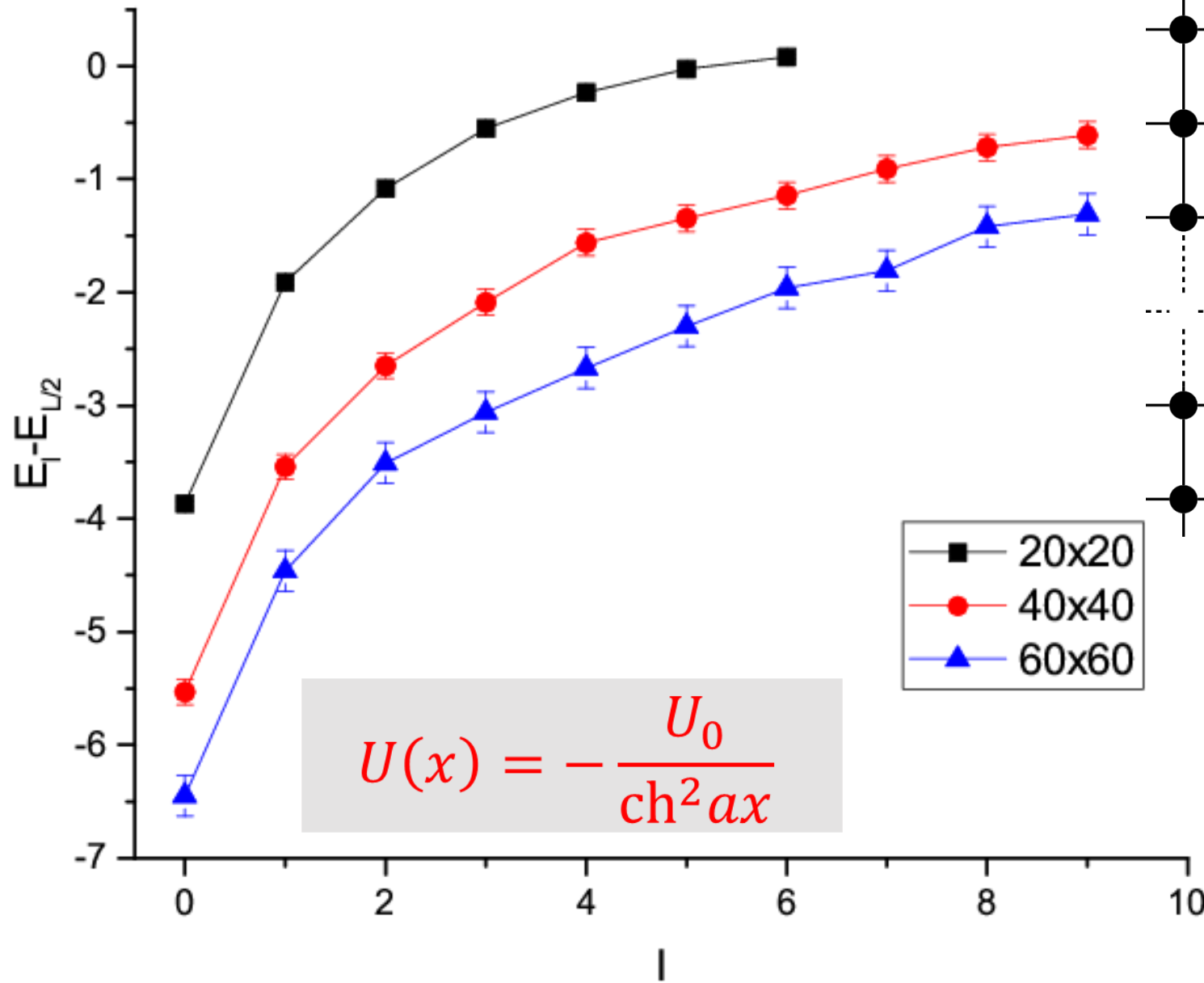


75x75  
150x150



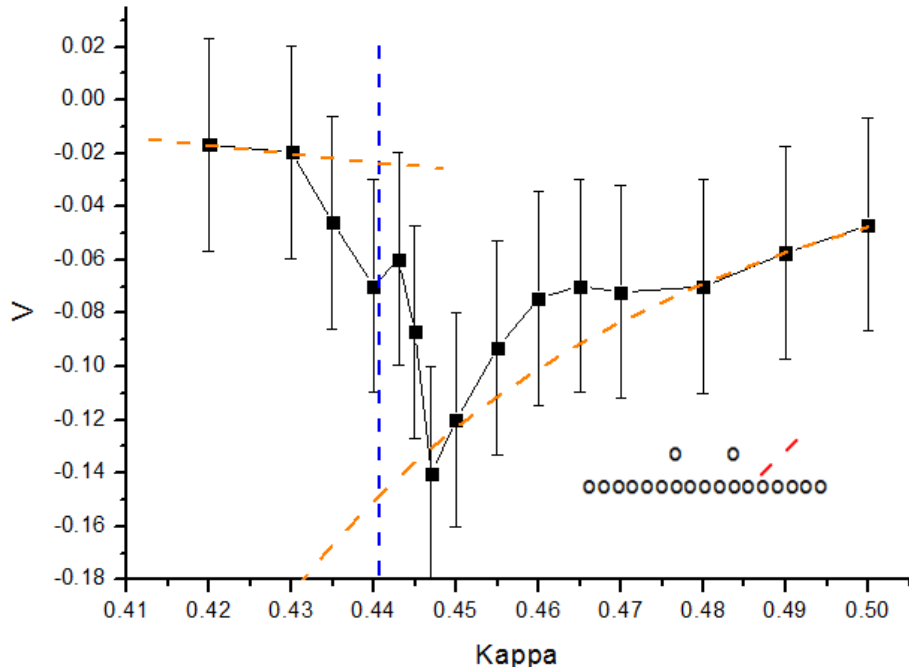
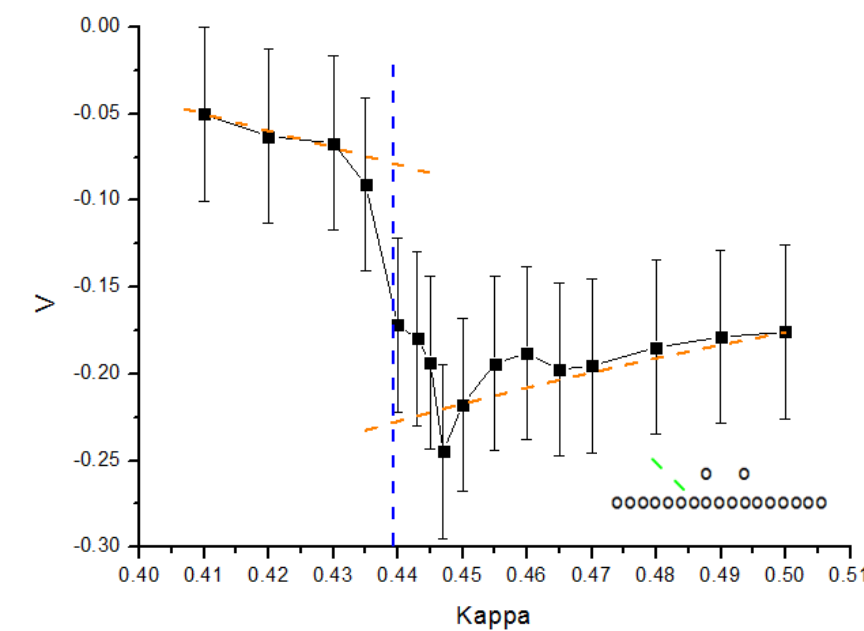
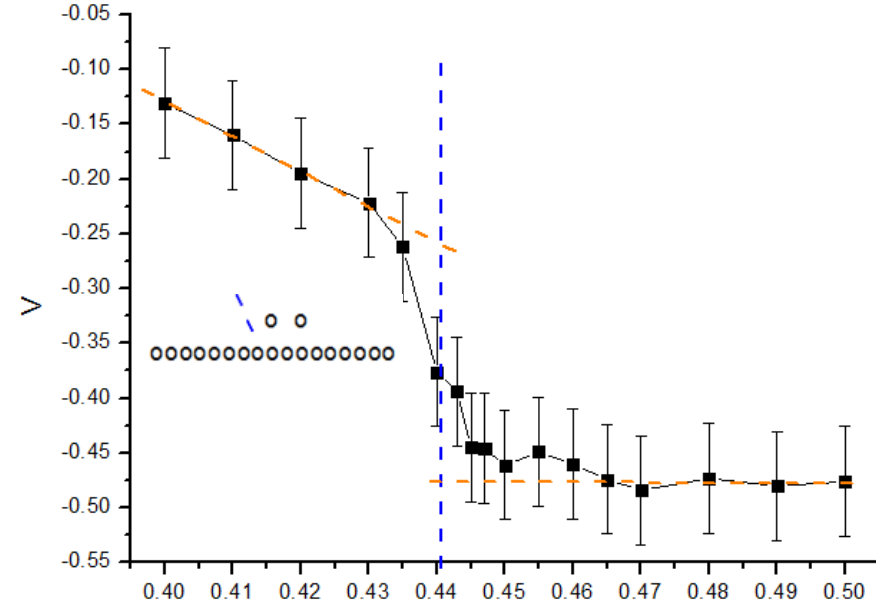
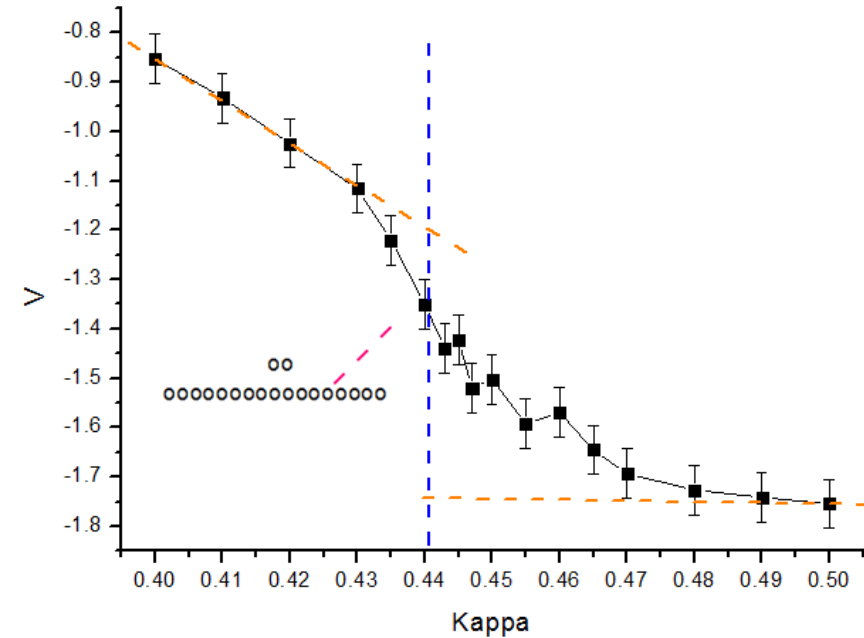


# **Defect Confinement on Defect line**



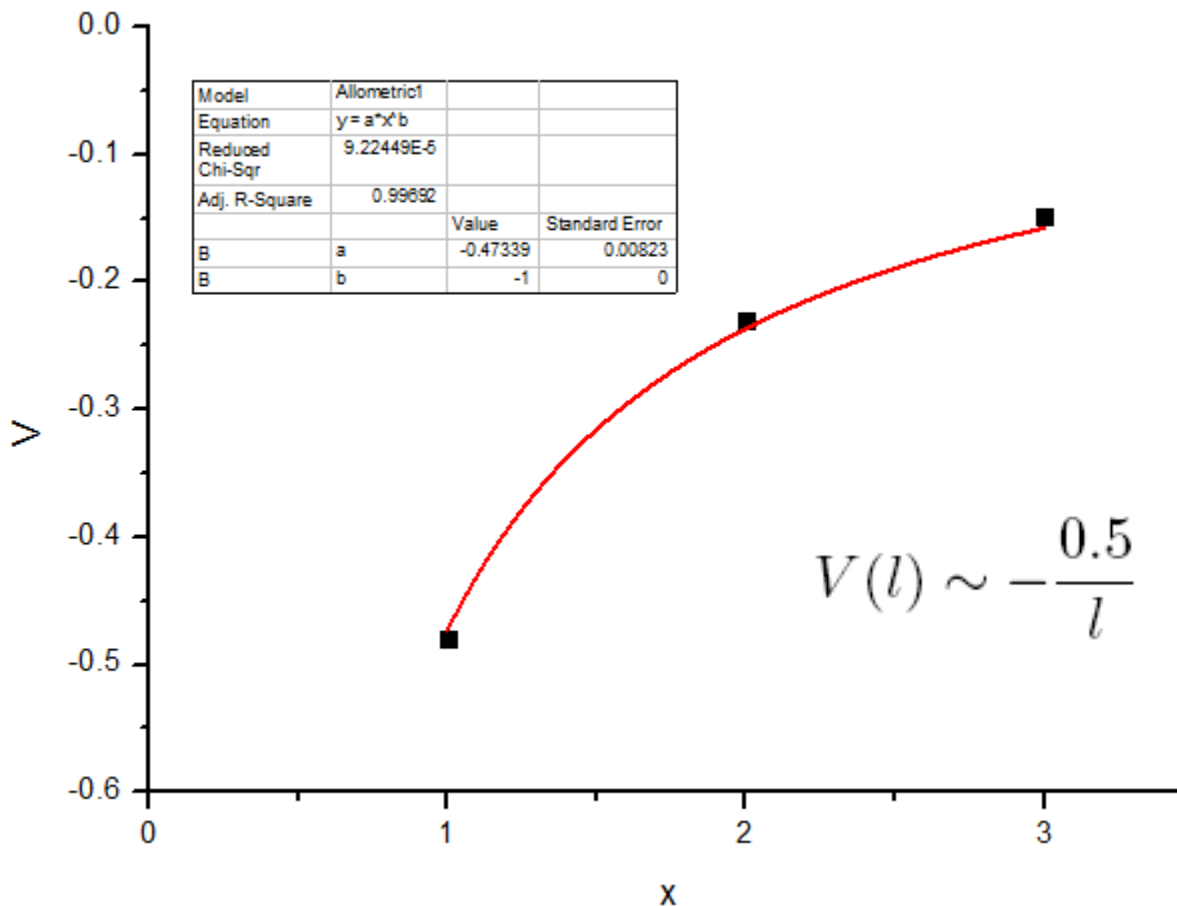
## **Two Defects on the defect line**

# Two defects on the defect line



# Two defects on the defect line

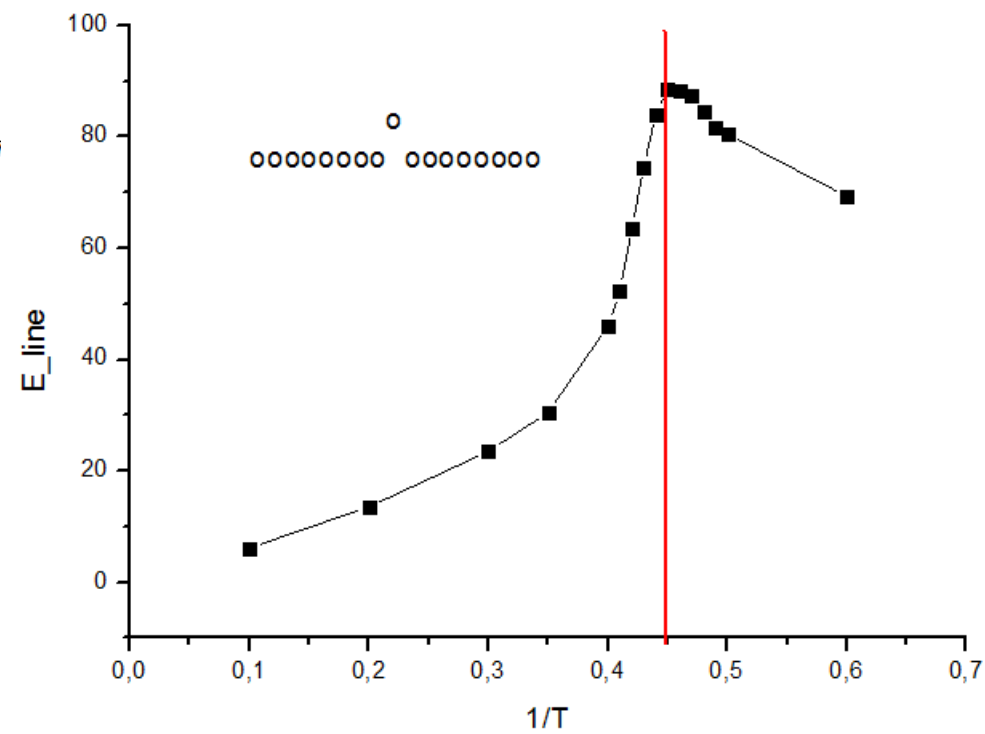
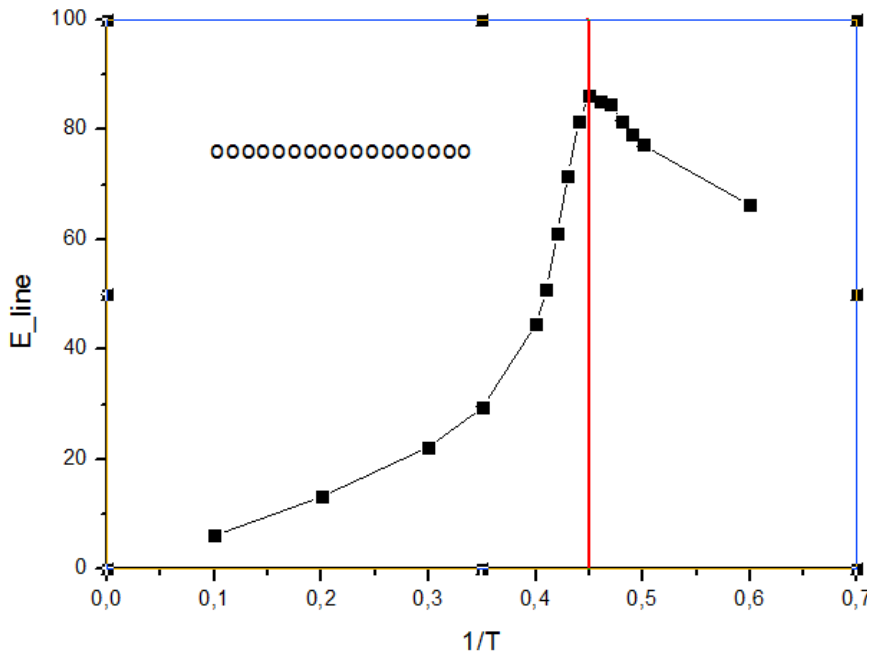
## Interaction potential



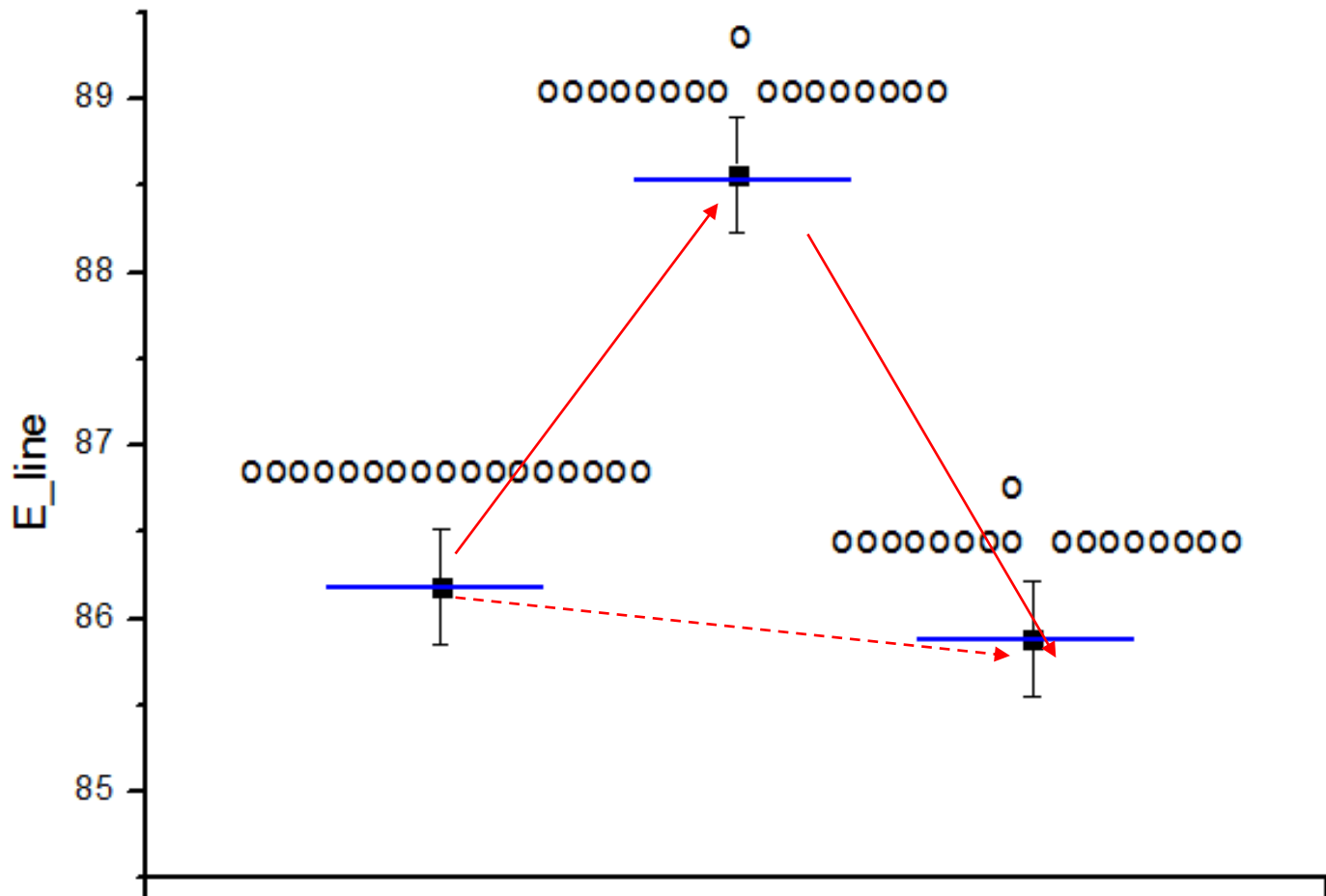
## Defect – Anti-Defect pier creation



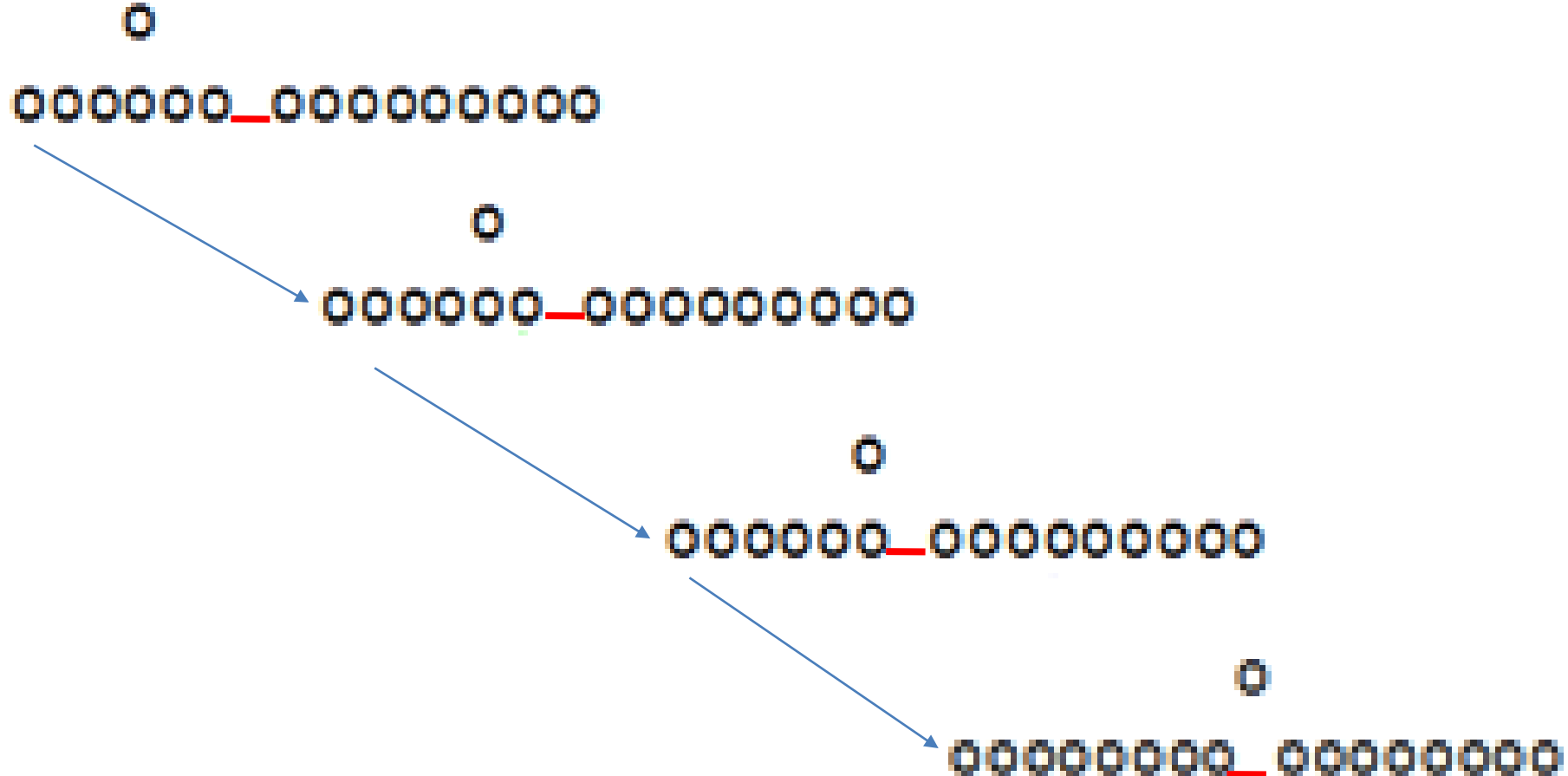
# Defects aggregation - global line. Def – AntiDef pier creation



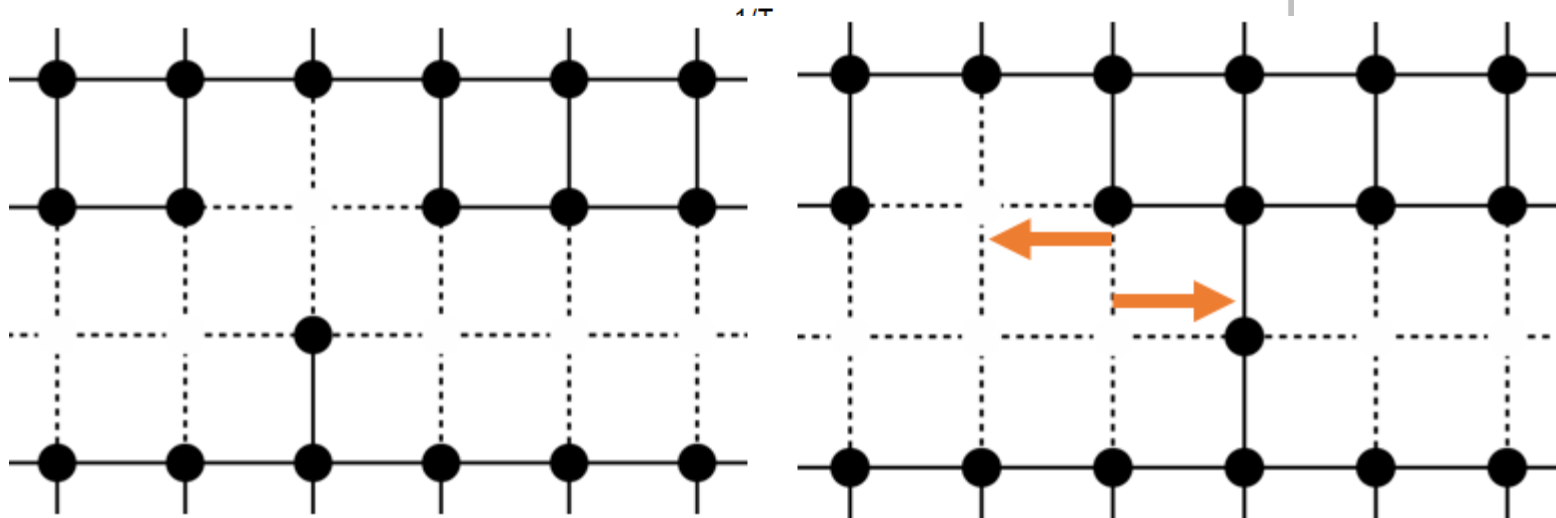
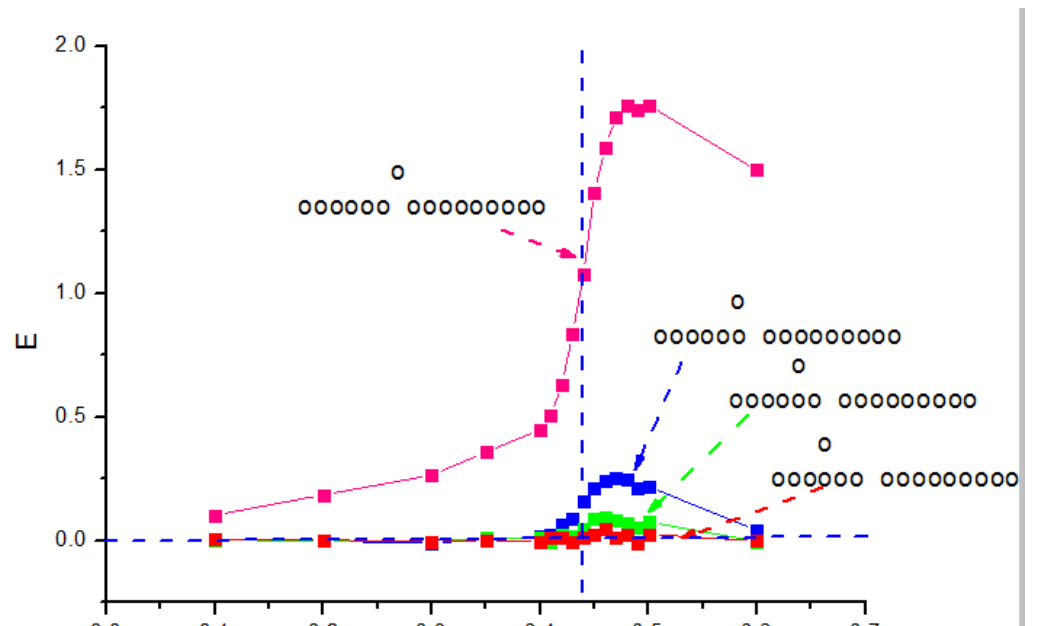
# Defects aggregation - Def – AntiDef pier creation

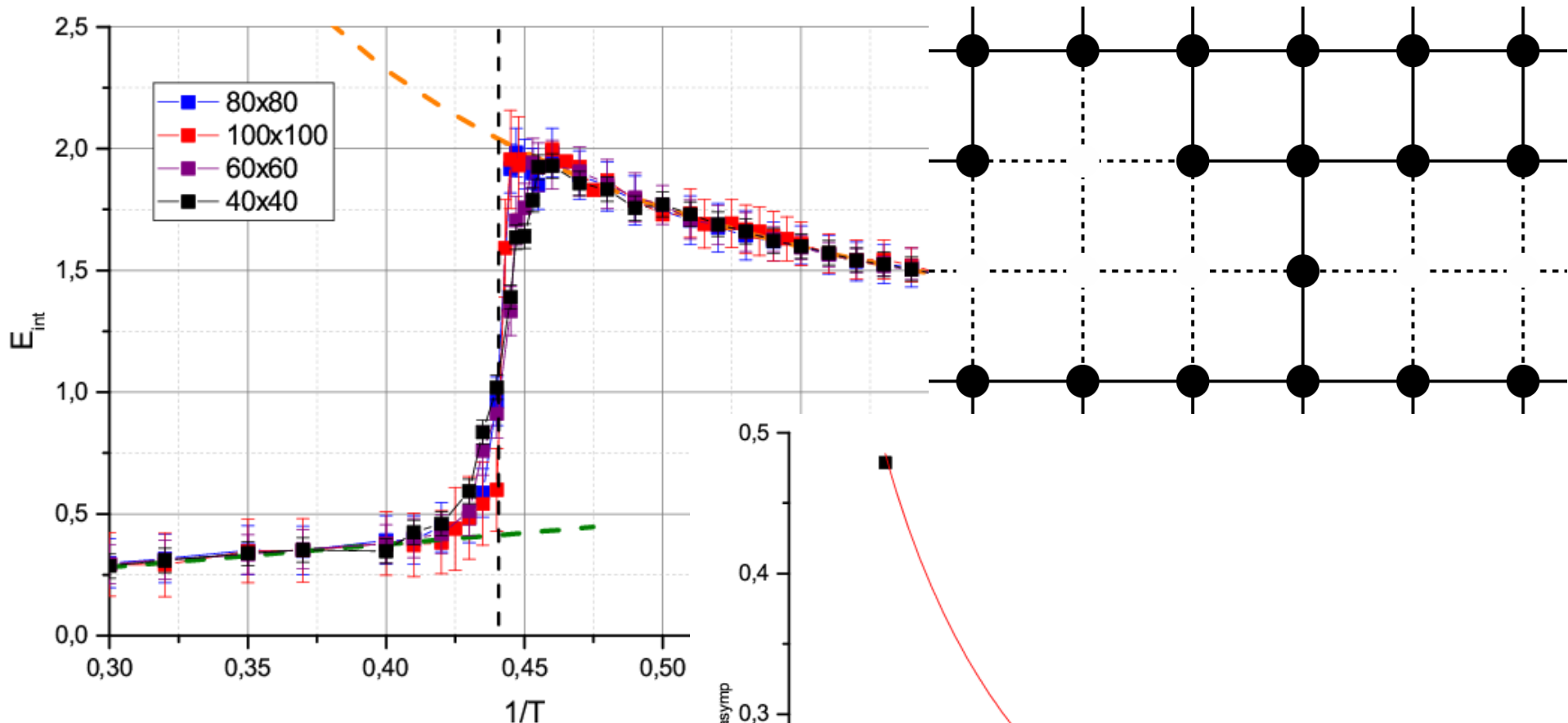


# Defect – Anti-Defect interaction



# Def – AntiDef on the def line. Repulsion



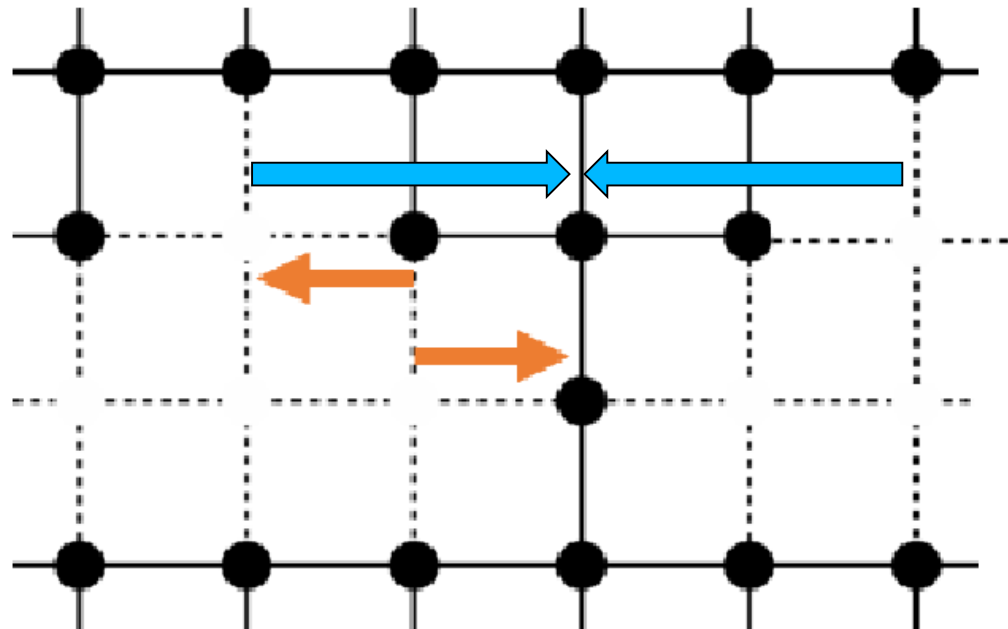


$$V(d) = ad^{-1}, \\ a = 0.485 \pm 0.006$$

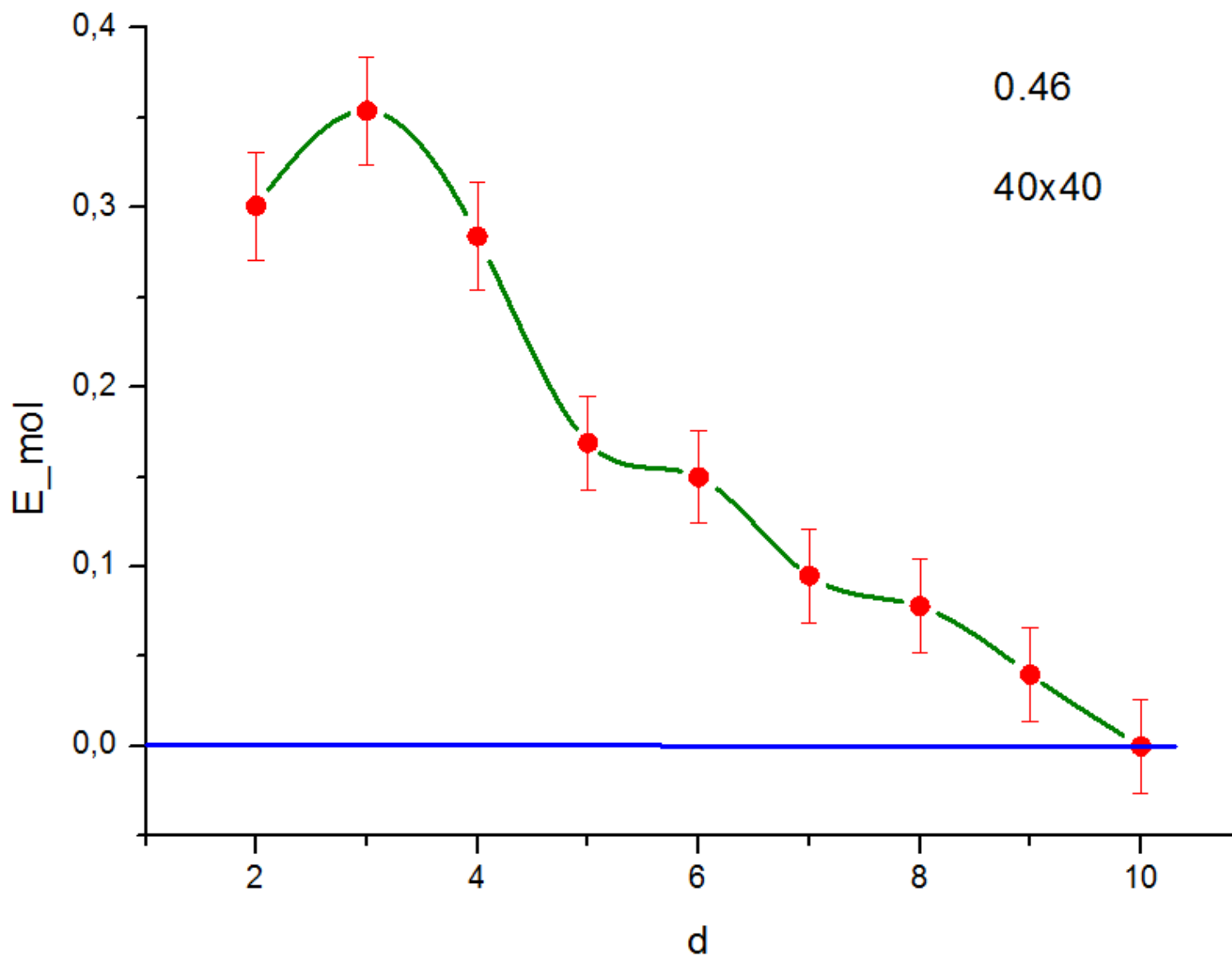
# Казимировское отталкивание и самоорганизация дефектов на дефектной линии

Простейший пример самоорганизации – образование связанных состояний

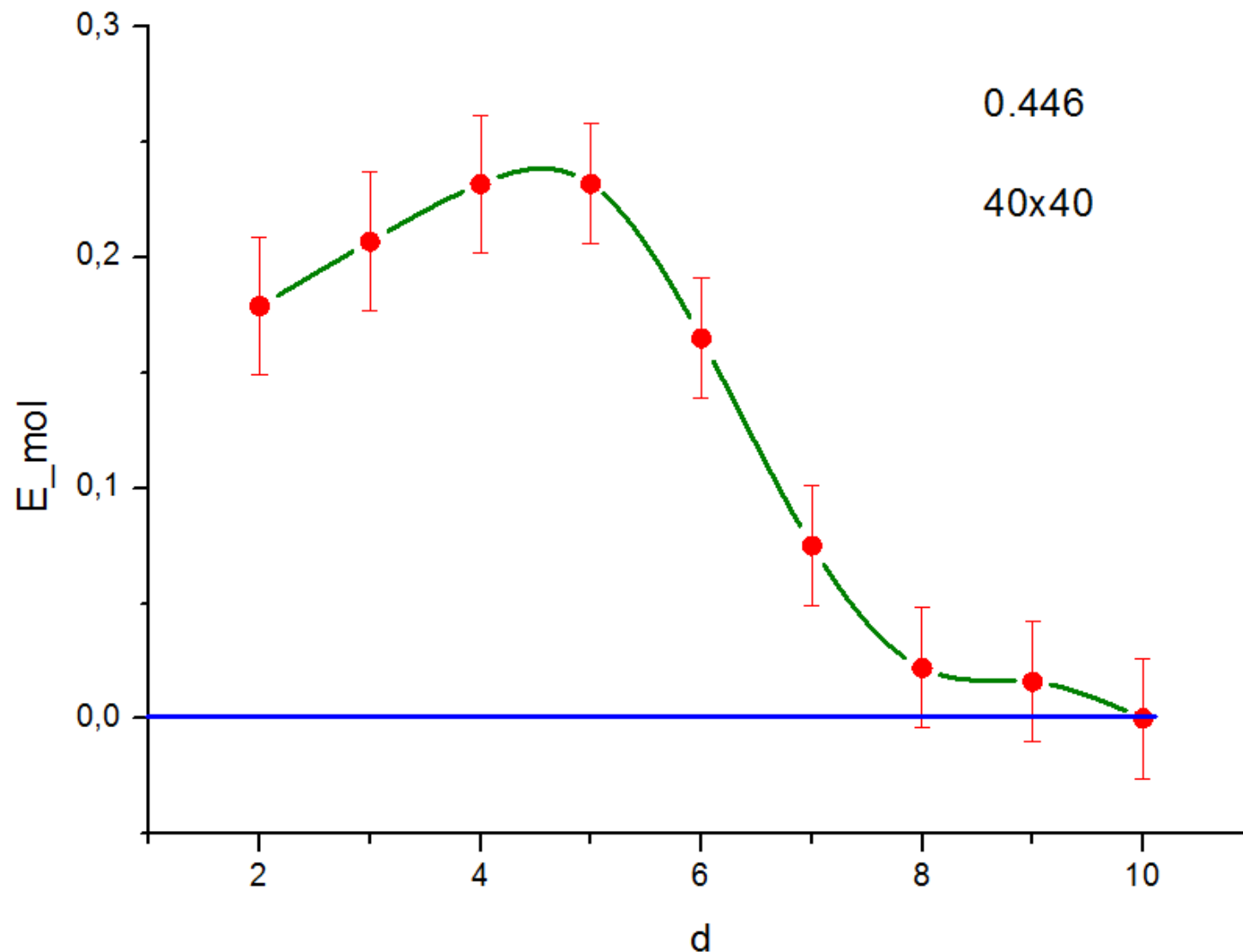
Дефект – антидефект – дефект (Д-А-Д) молекула



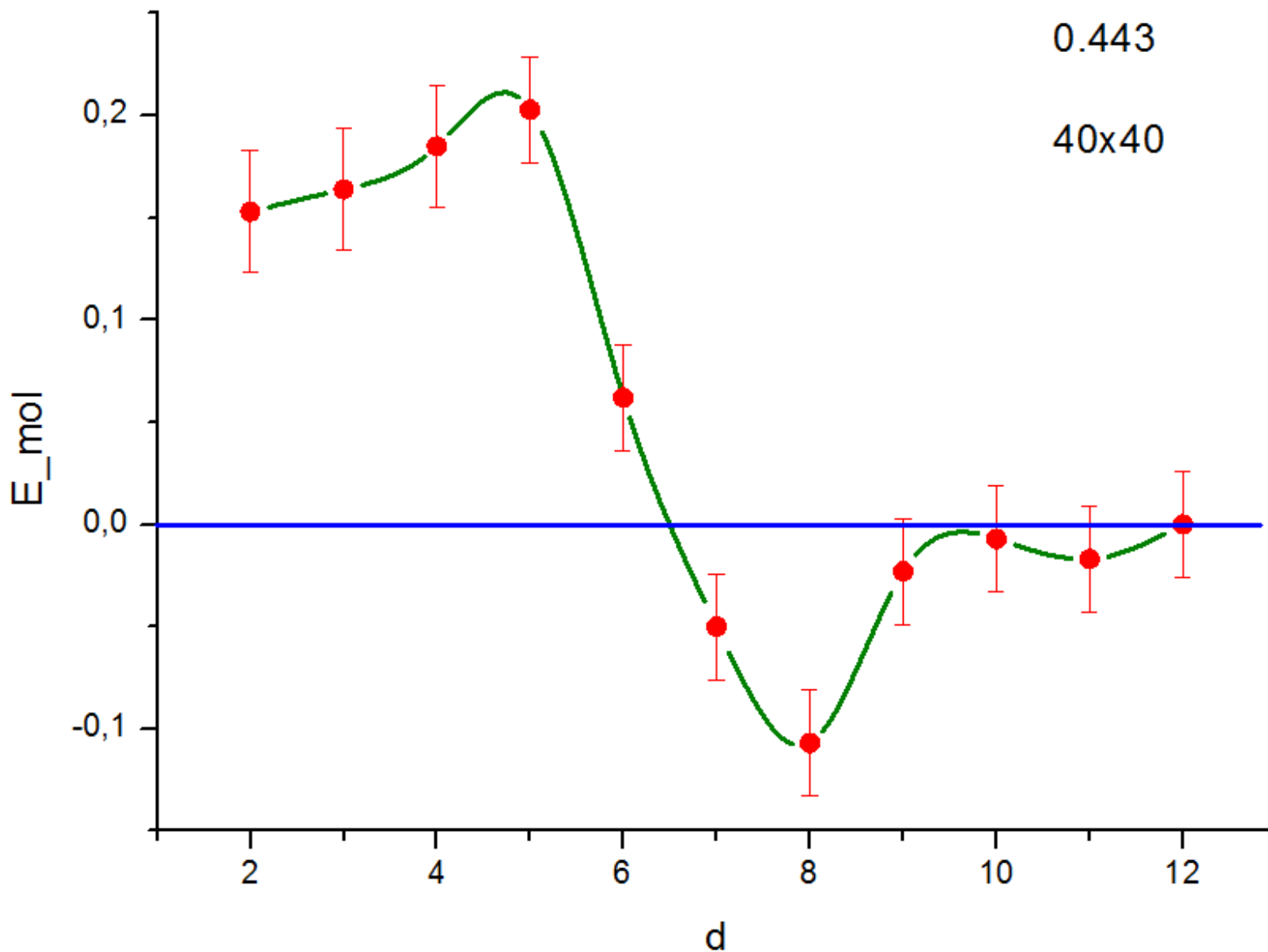
# Казимировское отталкивание и самоорганизация дефектов на дефектной линии



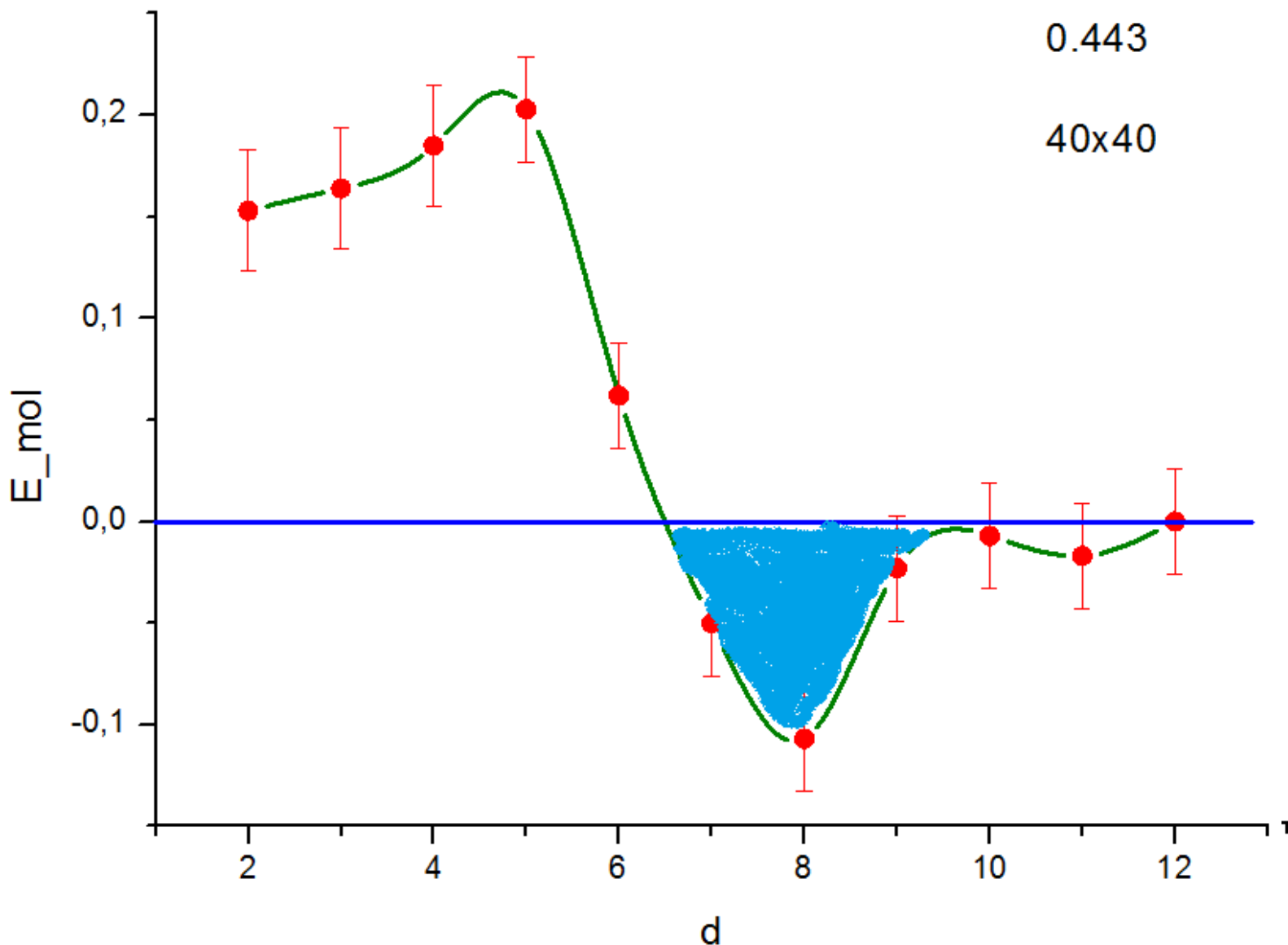
# Казимировское отталкивание и самоорганизация дефектов на дефектной линии



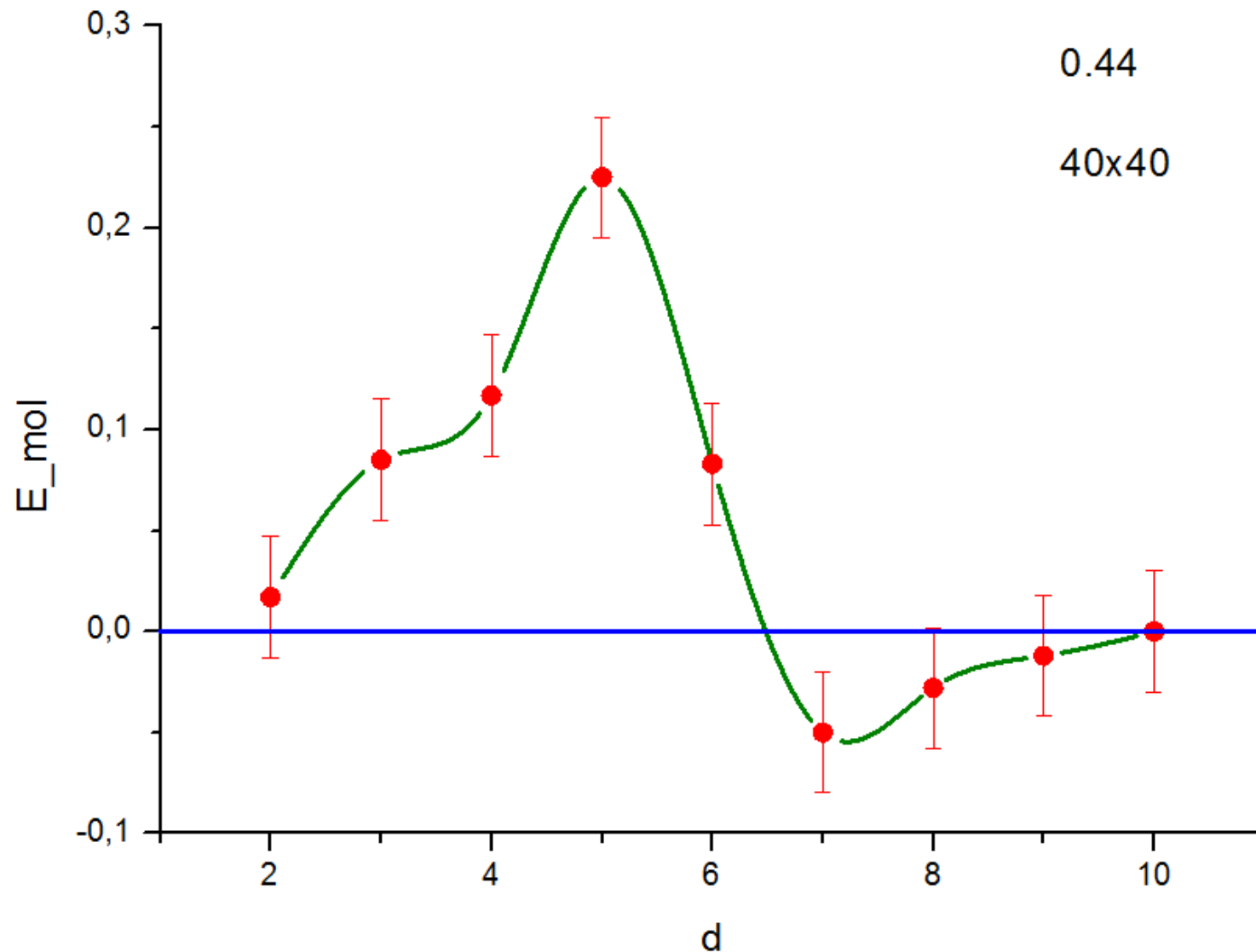
# Казимировское отталкивание и самоорганизация дефектов на дефектной линии



# Казимировское отталкивание и самоорганизация дефектов на дефектной линии



# Казимировское отталкивание и самоорганизация дефектов на дефектной линии



# Темы исследований

**Искусственные нейронные сети на  
основе двойных квантовых точек**

# Programmers / Biologists

Two point of view on neural networks

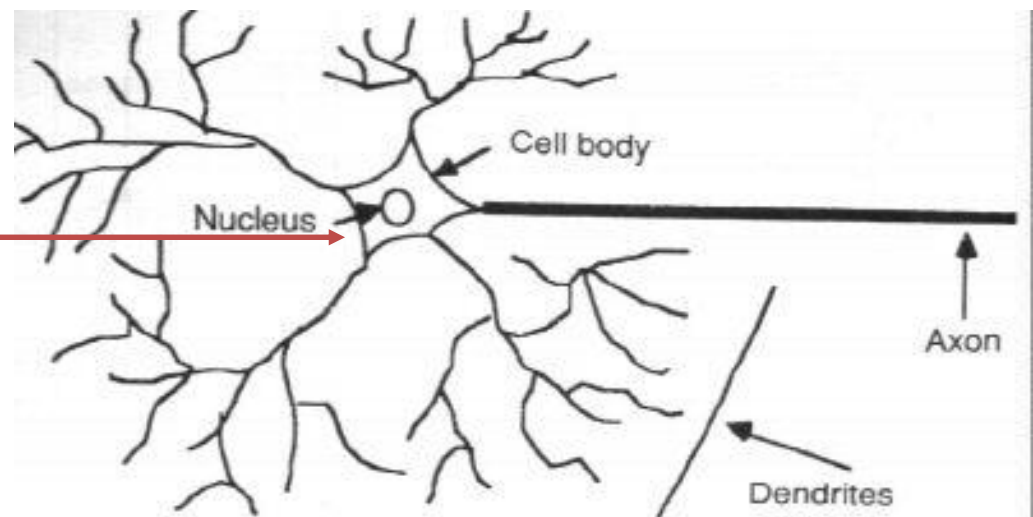
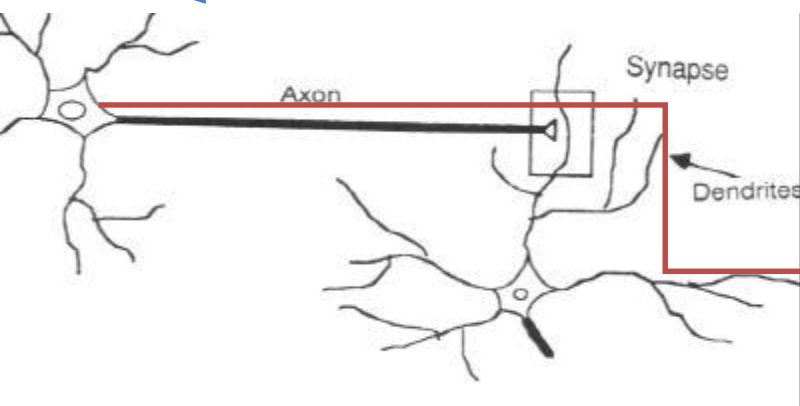
Programmers



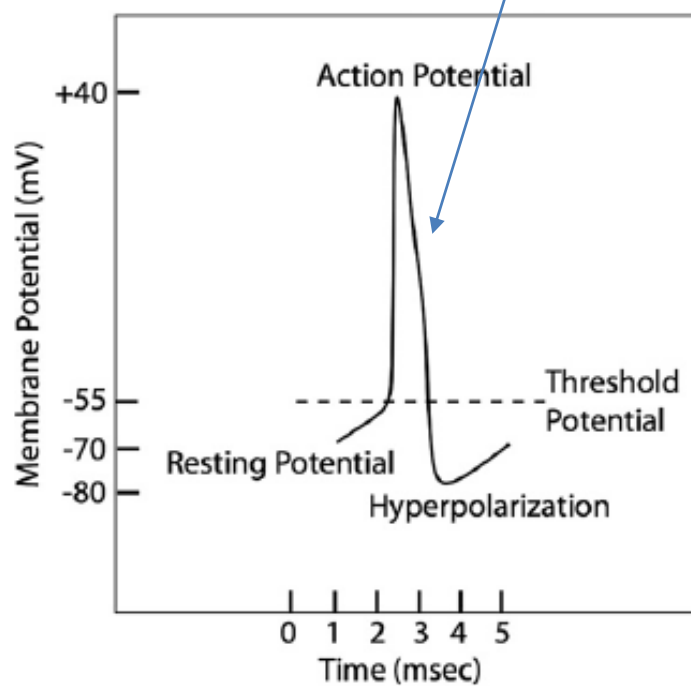
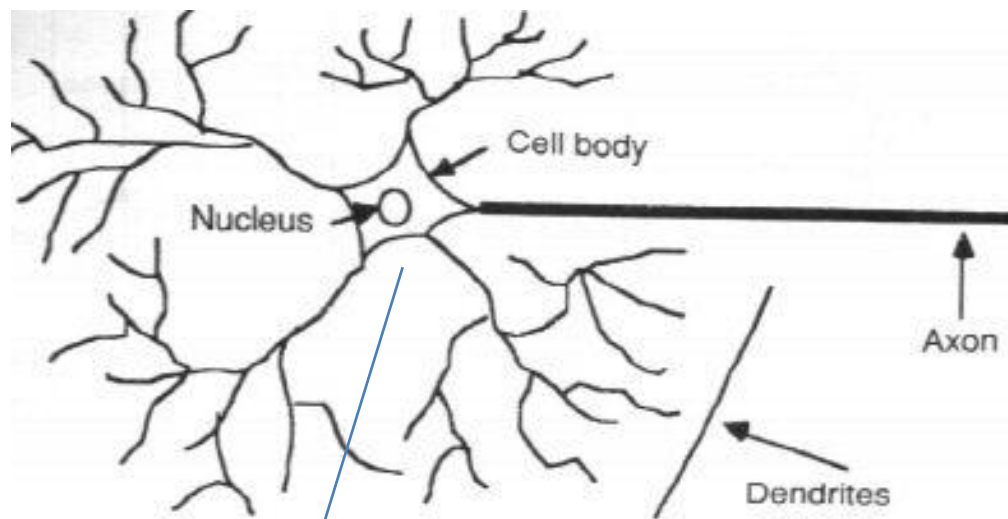
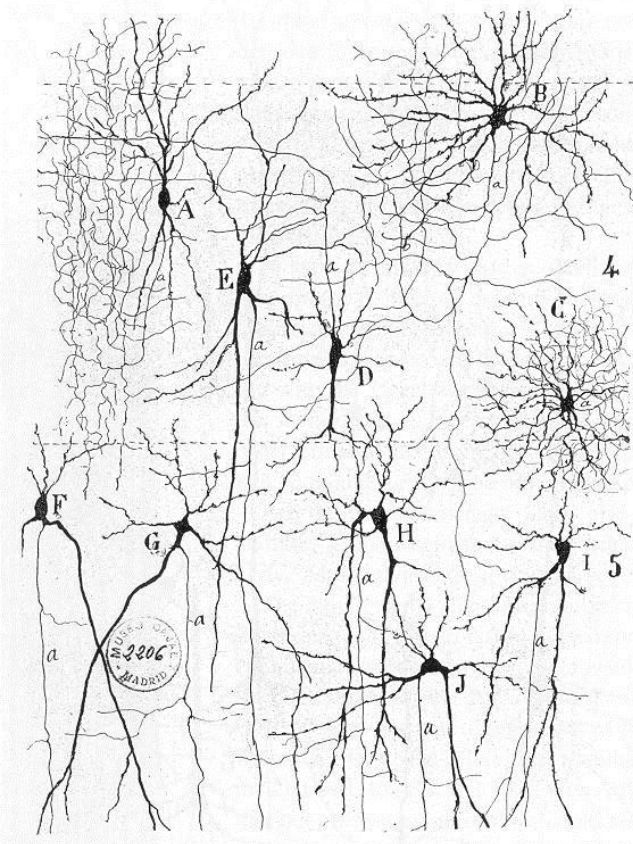
Biologists



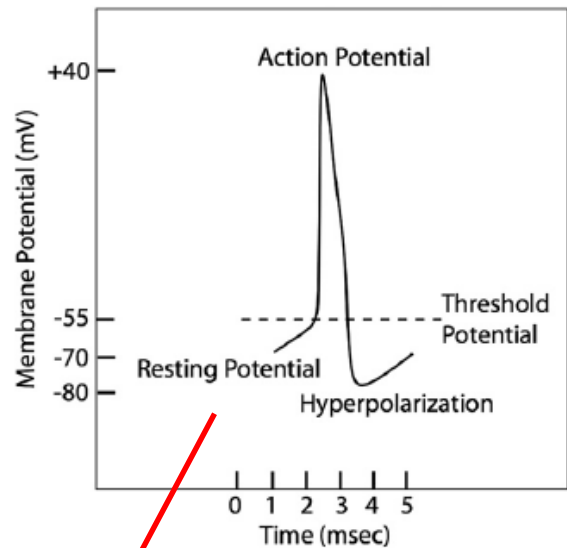
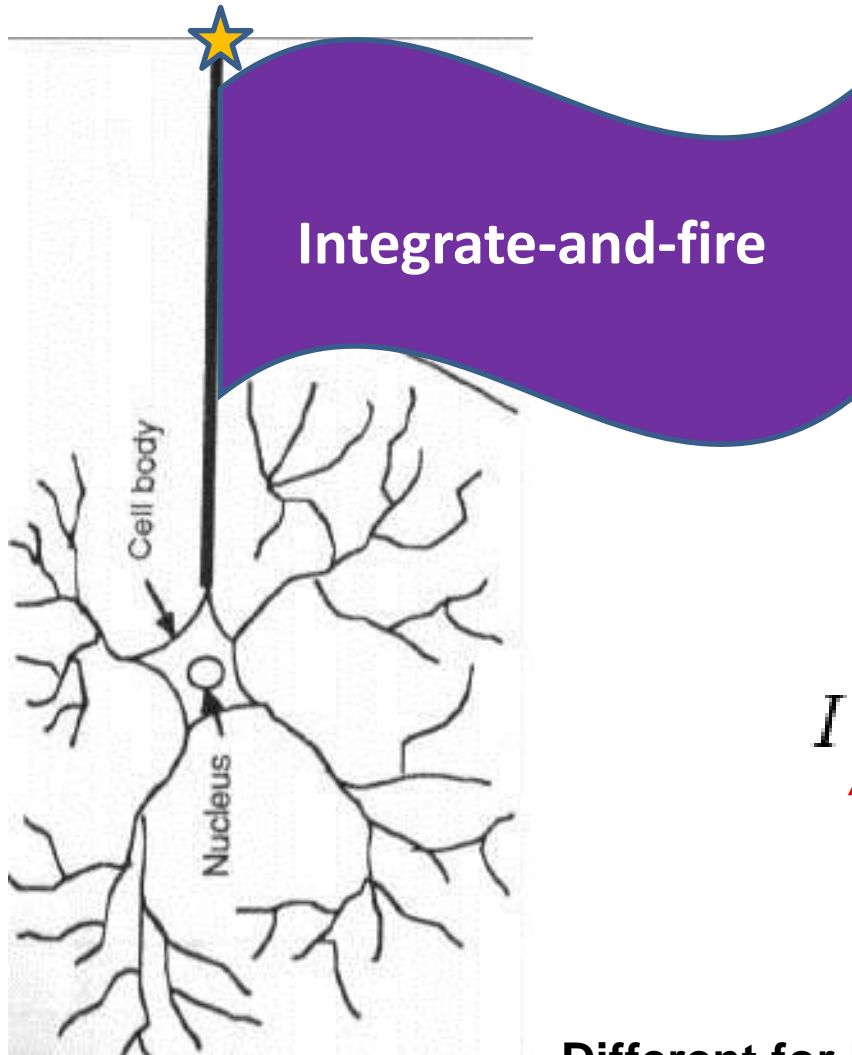
# Neural network: Biology



# How Neuron Works: Biology



# The models of Biological Neuron



$$I(t) = C_m \frac{dV_m}{dt}$$

Different for Different Models



# Artificial Neural Network: main idea

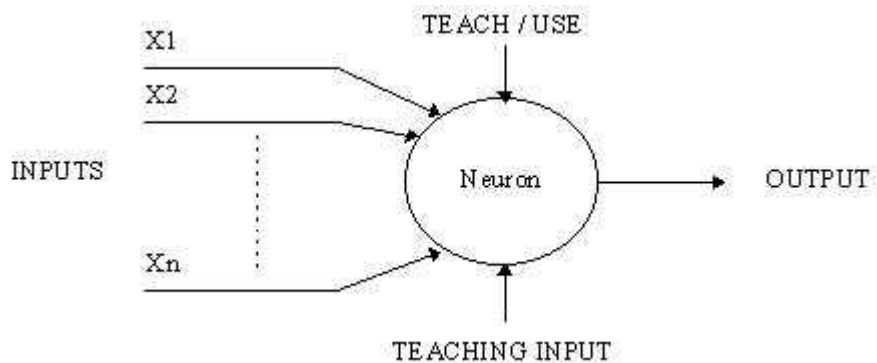
## Main idea of Artificial Neural Network:

**Artificial Neural Network (ANN) is an information system that is inspired by the biological nervous systems, such as the brain.**

**The key element of ANN is a large number of highly interconnected processing elements (neurones) working in unison to solve specific problems.**

**ANN, like brain, learn by examples or patterns.**

**Typical ANN problems: pattern recognition, data classification and so on.**



# New era in biological neural networks

Biological (real) neural networks are  
VERY complicated systems.

Models of neuron – stochastic diff. equations.

So...

Only qualitative analysis is possible now.

Statistical mechanics approach can be used

Idea of the universality classes: biological details may be not so essential in contrast with Symmetries and Topology of the Network.

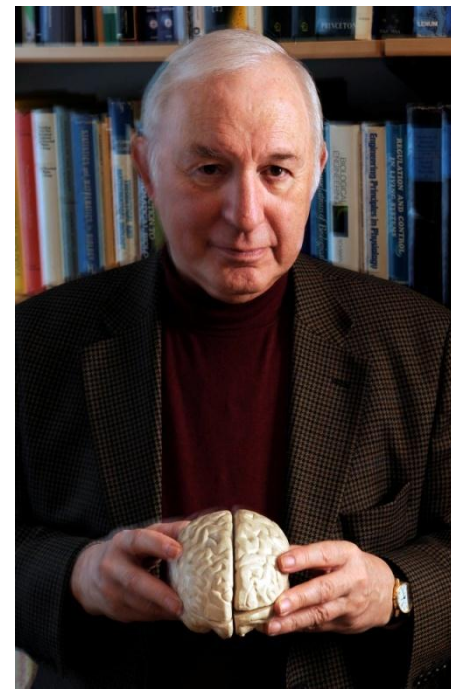


# Conformity in neural networks

Main question is:

What is the mechanism of the big correlation on the neural network?

Statistical mechanics gives the possible answer: Conformity near the phase transition. (Michael A. Buice and Jack D. Cowan, 2008-2009)



# Conformity in neural networks

Jack D. Cowan: “Strange and interesting things happen  
in the neighborhood of a phase transition”

Statistical mechanics gives the possible answer: Conformity near the phase transition. (Michael A. Buice and Jack D. Cowan, 2008-2009)

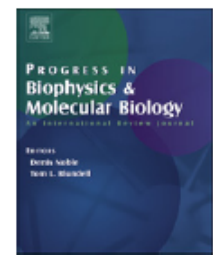
Progress in Biophysics and Molecular Biology 99 (2009) 53–86



Contents lists available at [ScienceDirect](#)

Progress in Biophysics and Molecular Biology

journal homepage: [www.elsevier.com/locate/pbiomolbio](http://www.elsevier.com/locate/pbiomolbio)

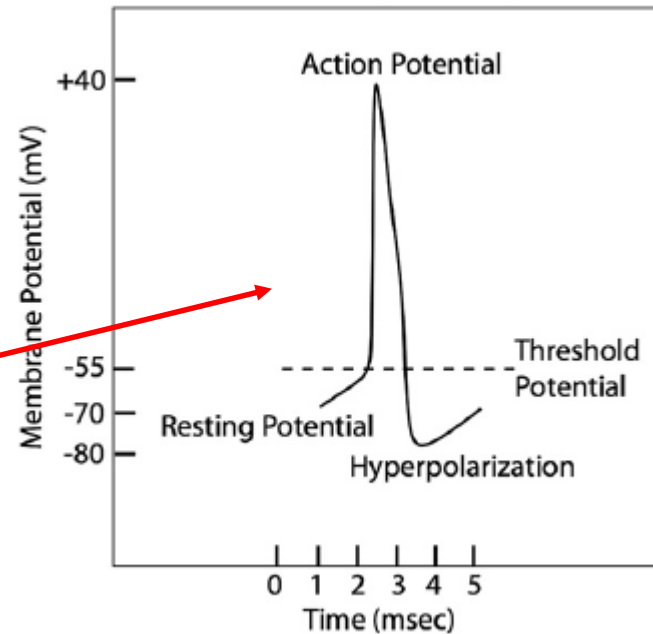
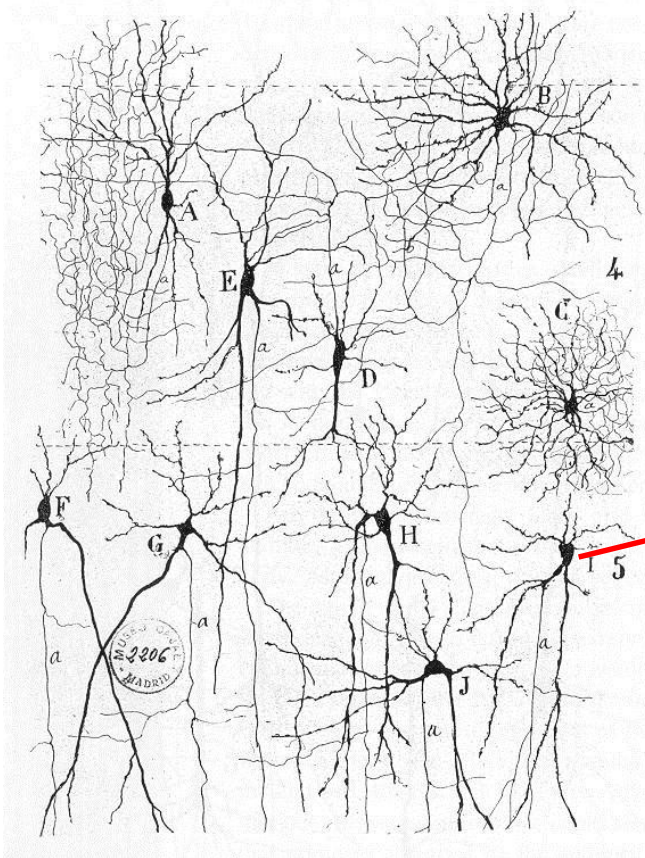


Review

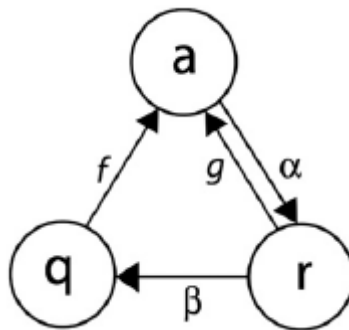
Statistical mechanics of the neocortex

Michael A. Buice <sup>a</sup>, Jack D. Cowan <sup>b,\*</sup>

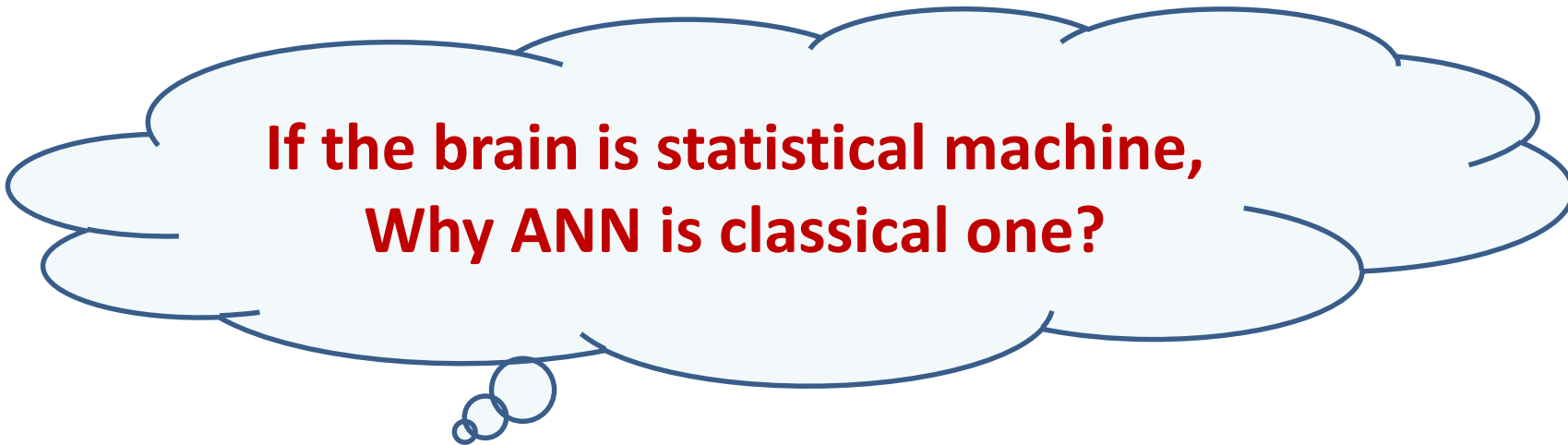
# Neural network as statistical model



3-state model of neuron



# Main idea



If the brain is statistical machine,  
Why ANN is classical one?

# Main idea

If the brain is statistical machine,  
Why ANN is classical one?

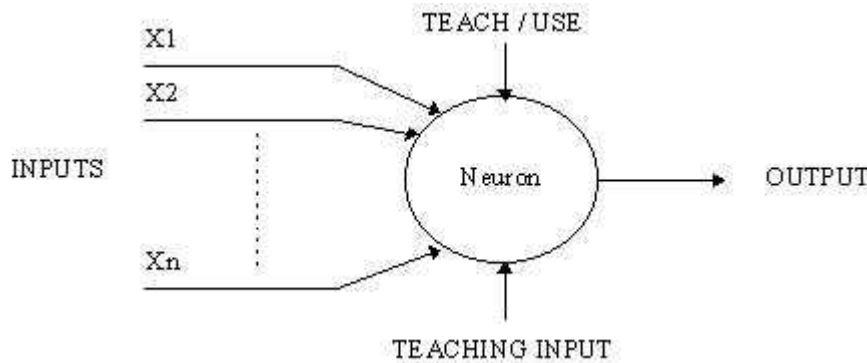
Artificial Neuron must be  
stochastic ....

# Main idea

If the brain is statistical machine,  
Why ANN is classical one?

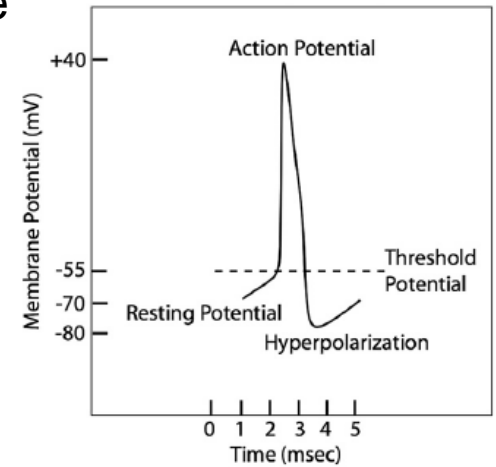
Artificial Neuron must be  
stochastic or Quantum.

# Neuron: classical VS stochastic

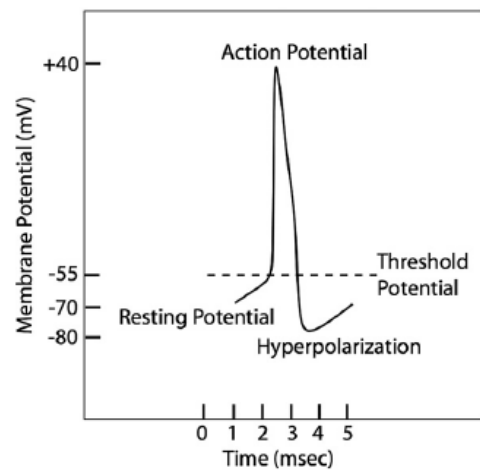


If  $\sum (W_1 X_1 + W_2 X_2 + \dots + W_n X_n) > I_{\text{threshold}}$

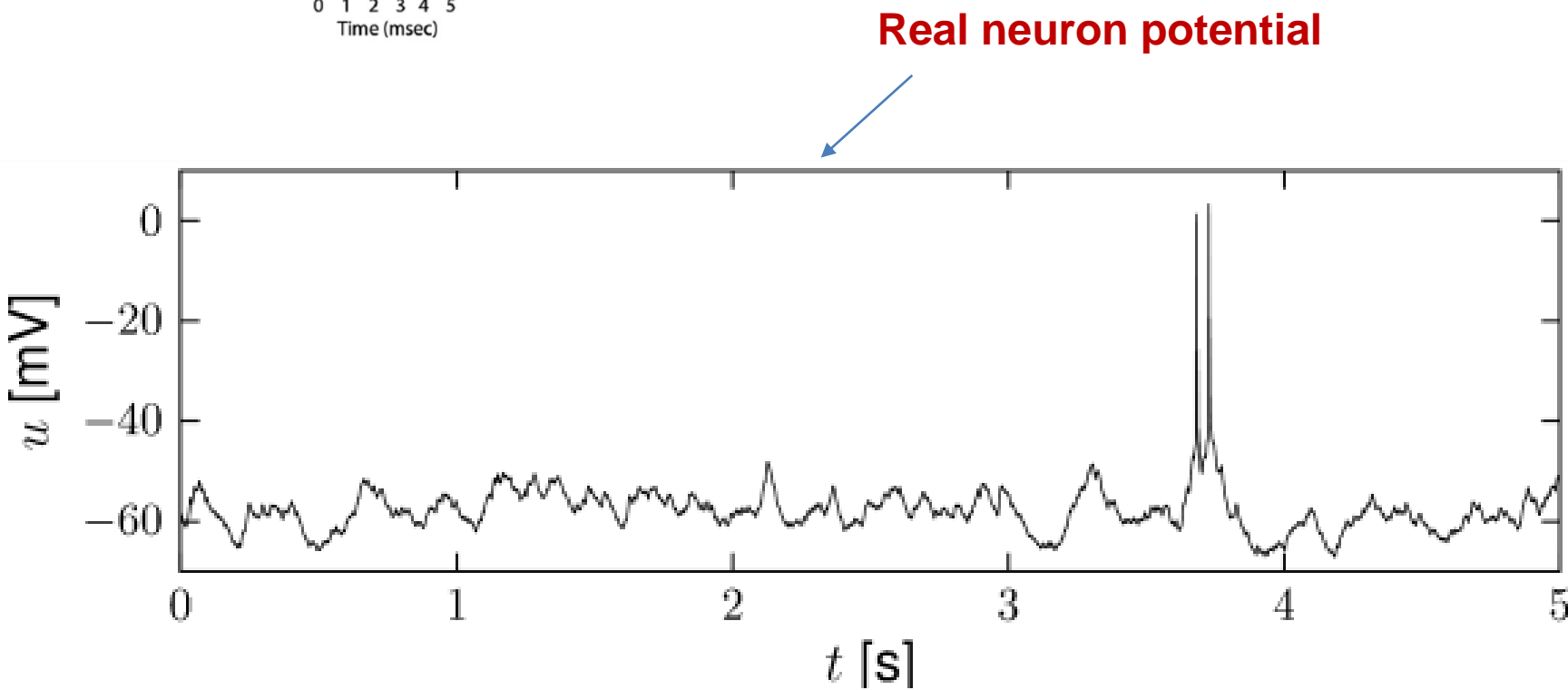
then neuron generates spike



# Neuron: classical VS stochastic

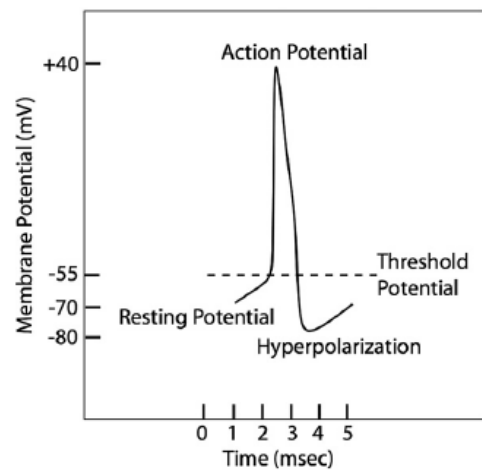


Simplification

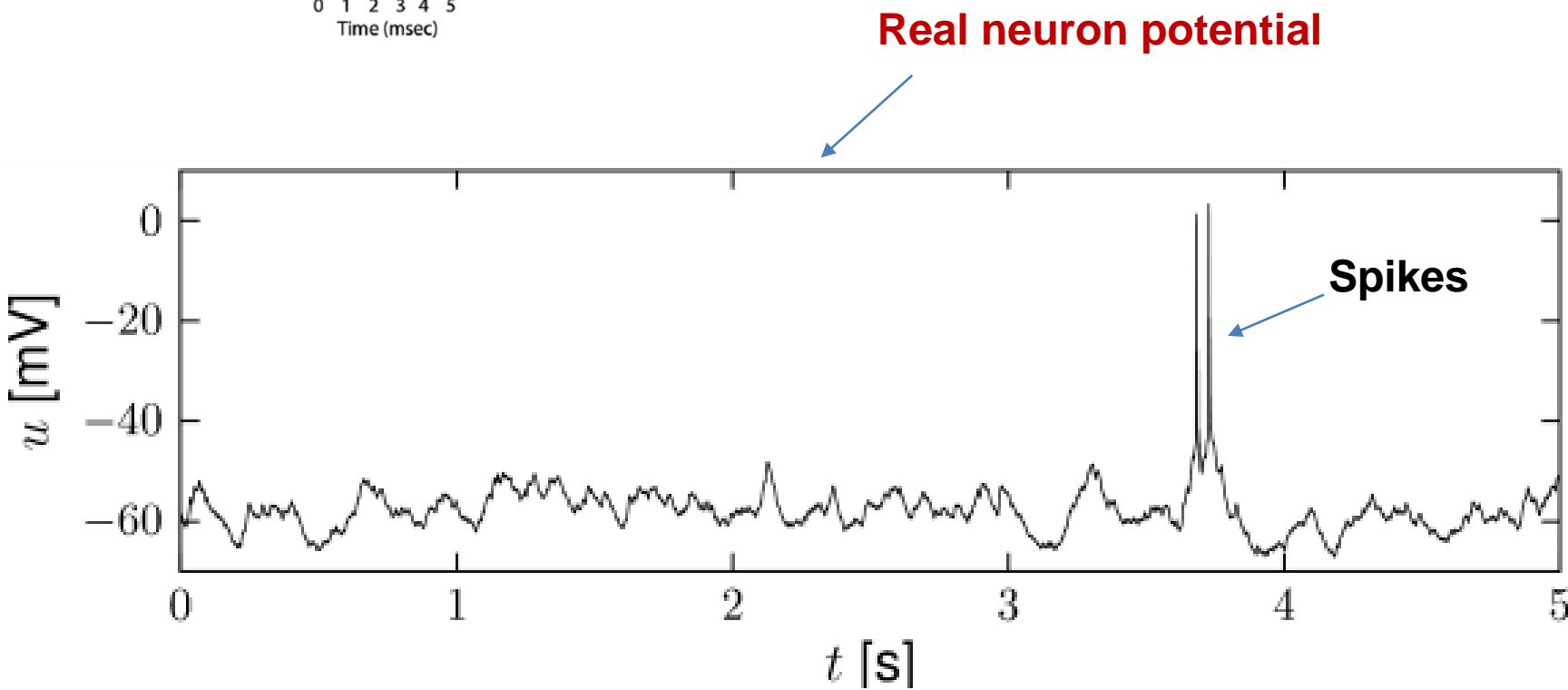


Real neuron potential

# Neuron: classical VS stochastic



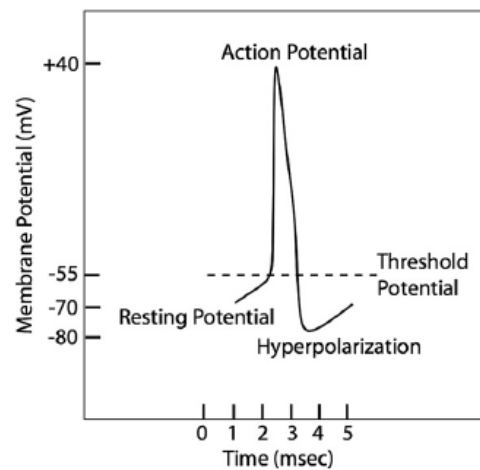
Simplification



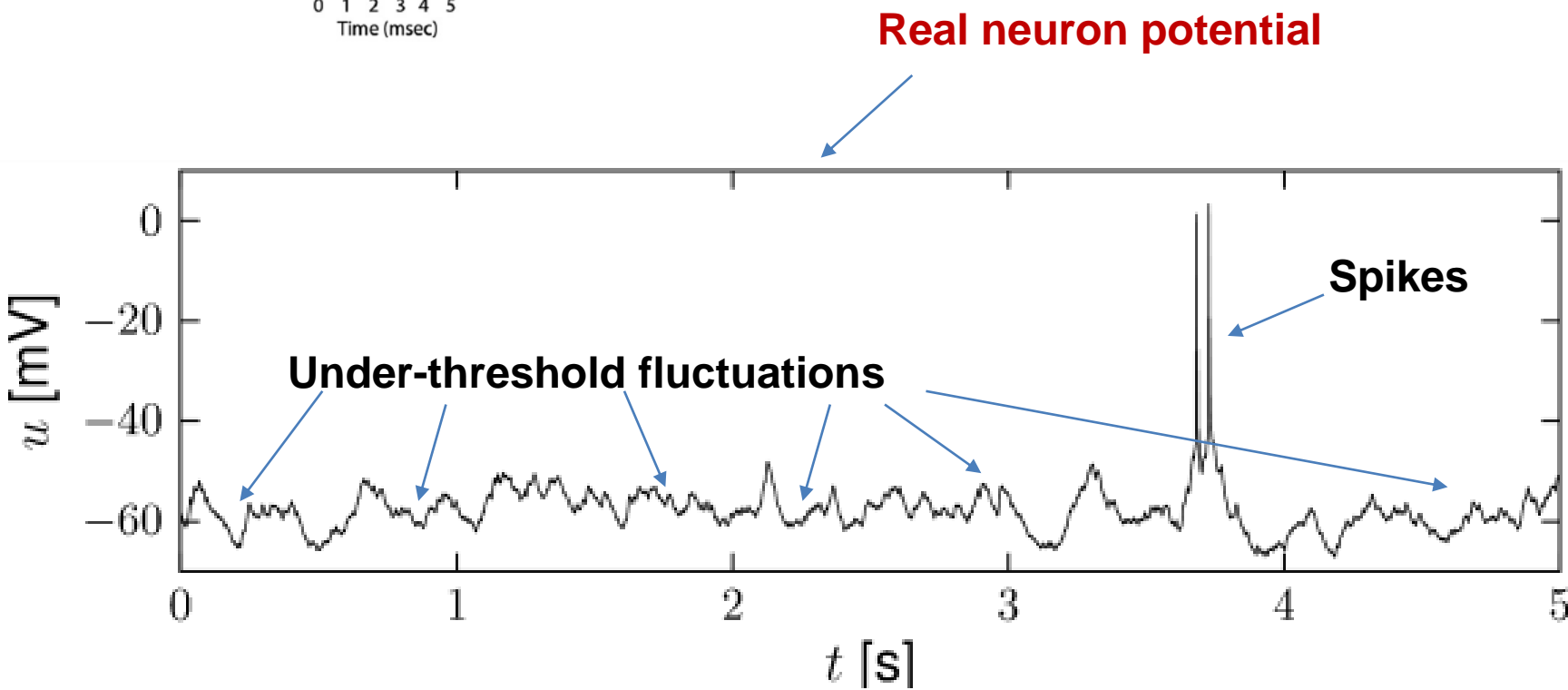
Real neuron potential

Spikes

# Neuron: classical VS stochastic



Simplification

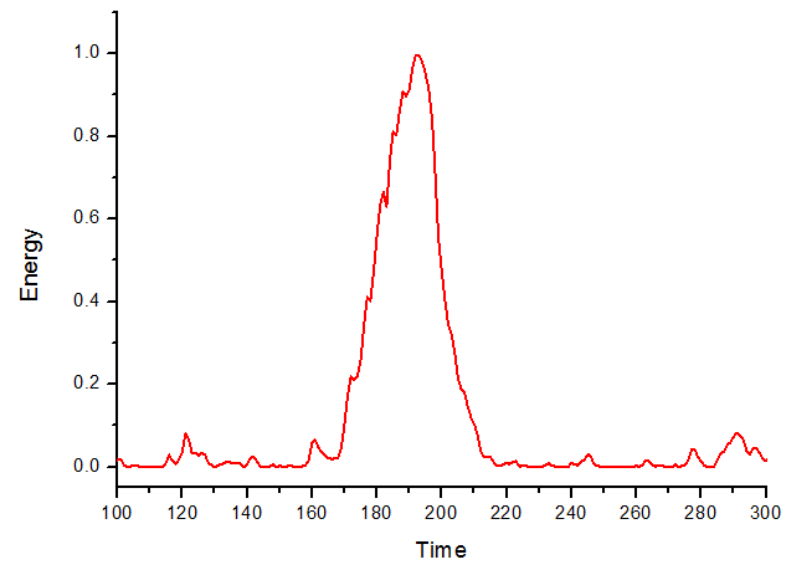
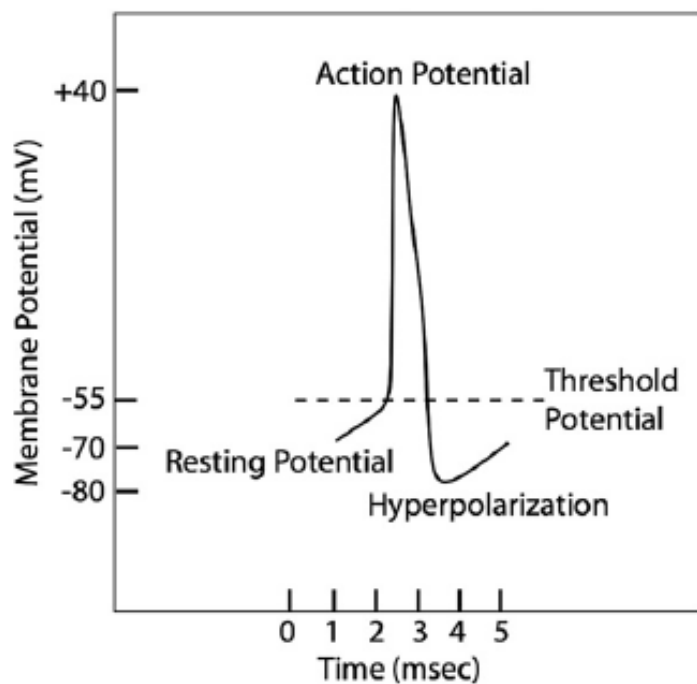
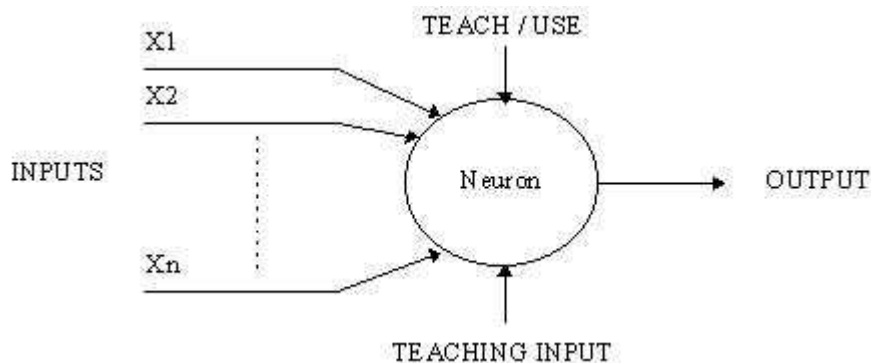


Real neuron potential

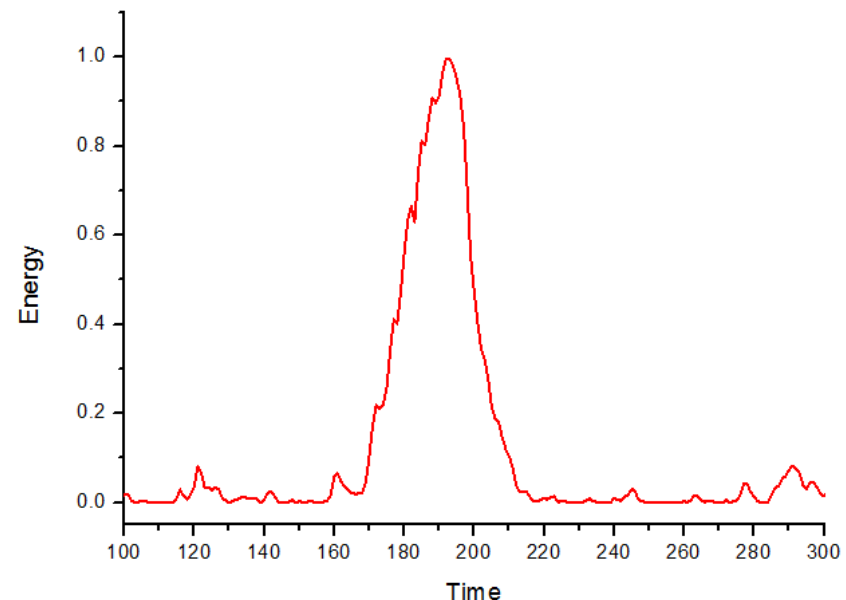
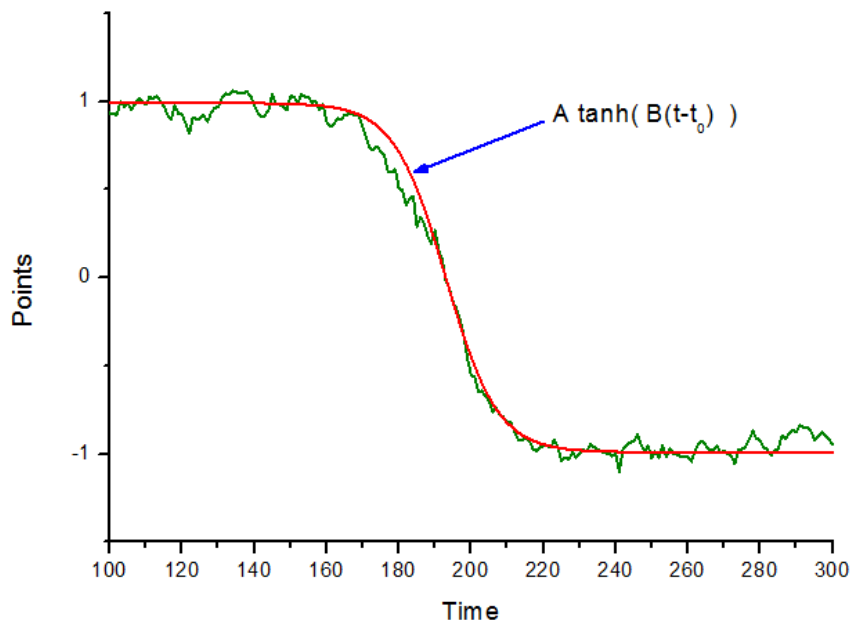
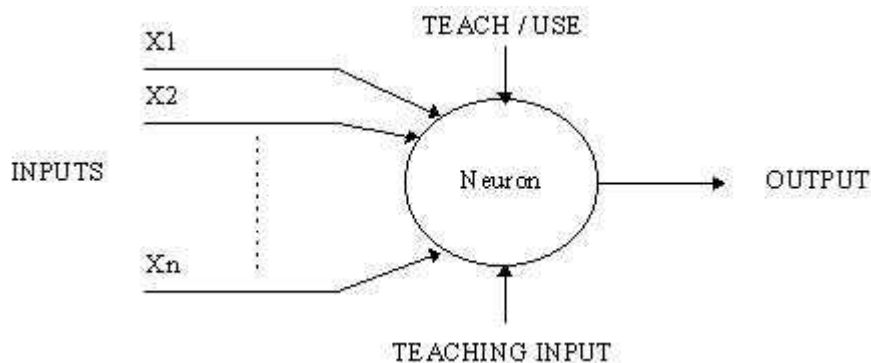
Spikes

Under-threshold fluctuations

# Quantum neuron = Q-neuron



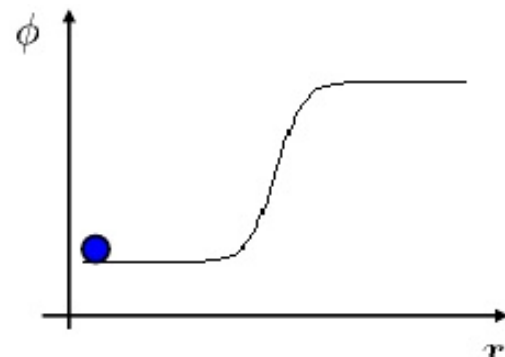
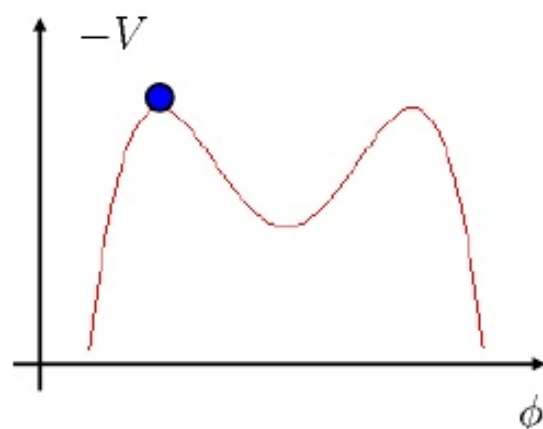
# Quantum neuron = Q-neuron



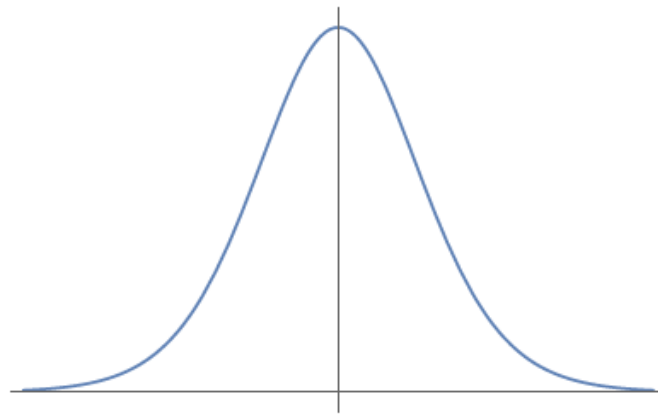
# Quantum neuron

$$\hat{H}_i = \frac{1}{2}\hat{p}_i^2 + V_0(\hat{\varphi}_i).$$

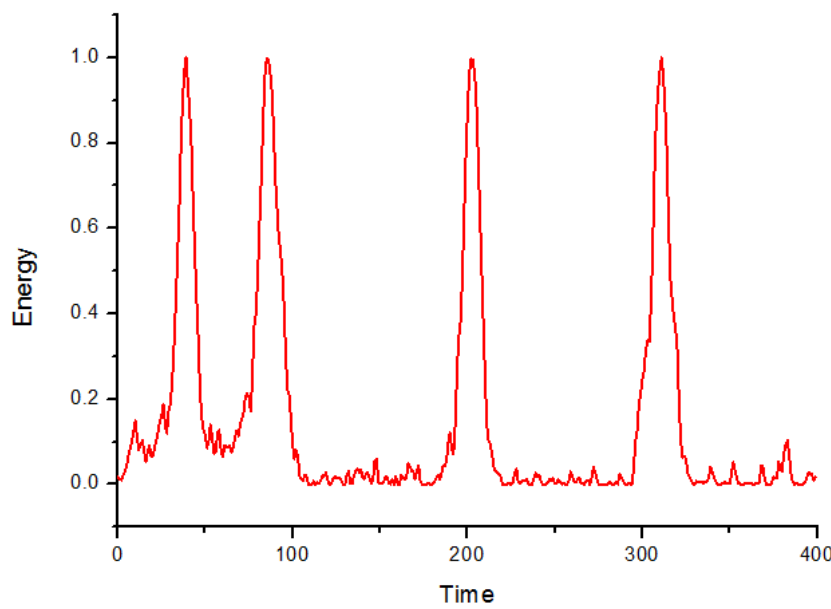
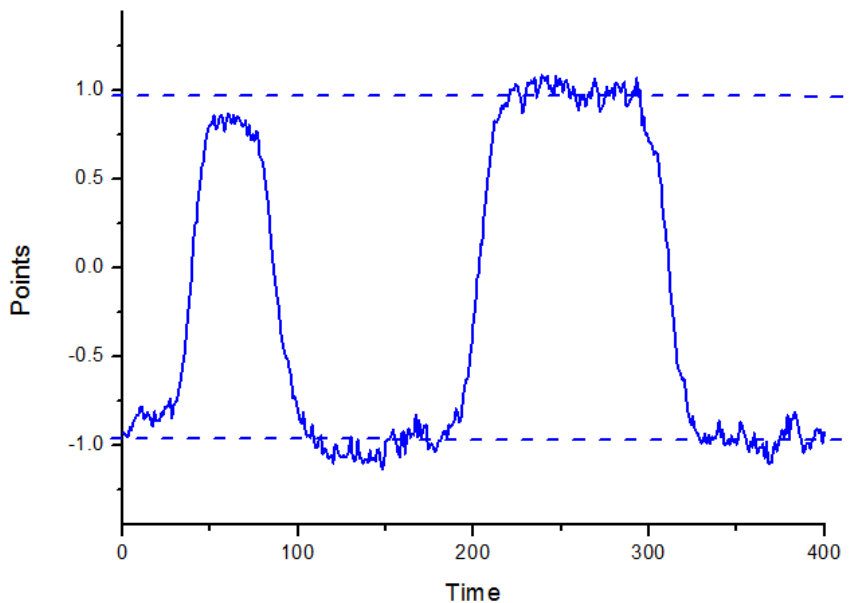
$$V_0(\varphi_i) = \frac{\Lambda}{4} \left( \varphi^2 - \frac{\mu^2}{\Lambda} \right)^2.$$



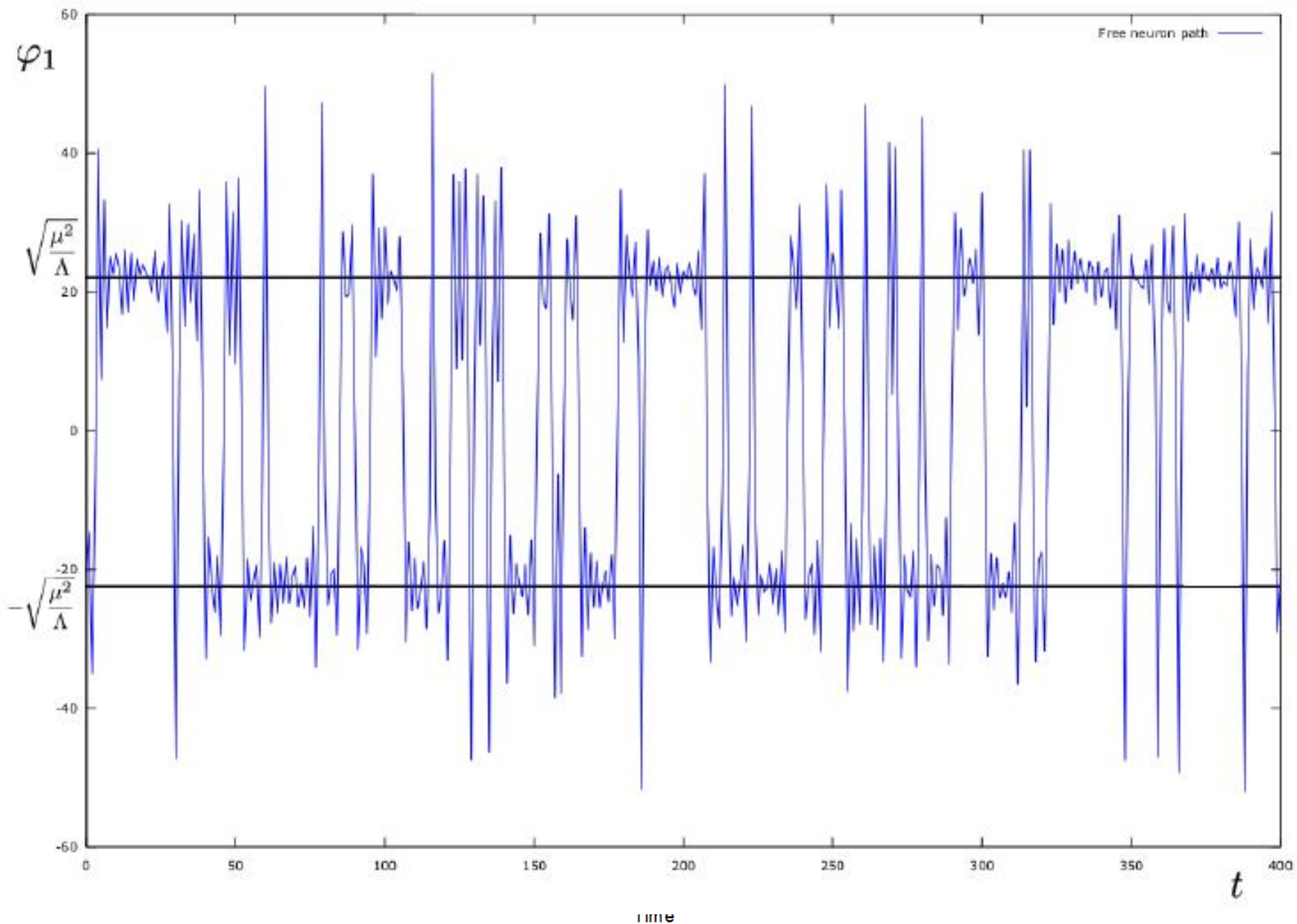
$$\phi(x, t) = \frac{m}{\sqrt{\lambda}} \tanh \left( \frac{m}{\sqrt{2}}(x - x_0) \right)$$



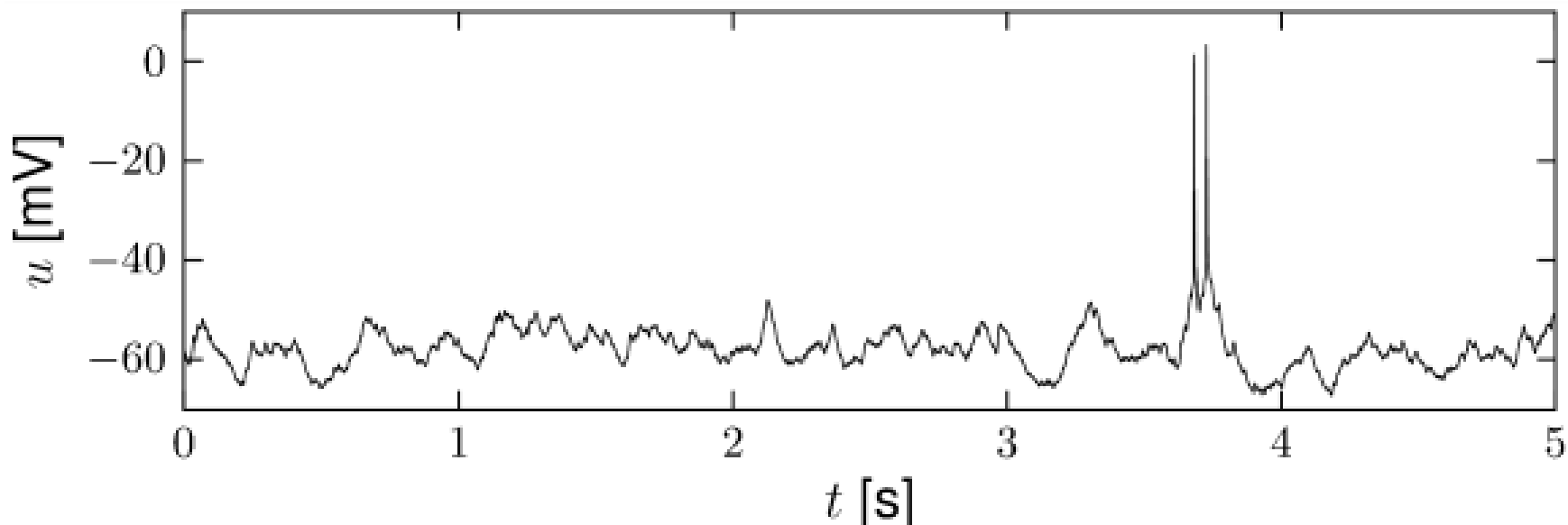
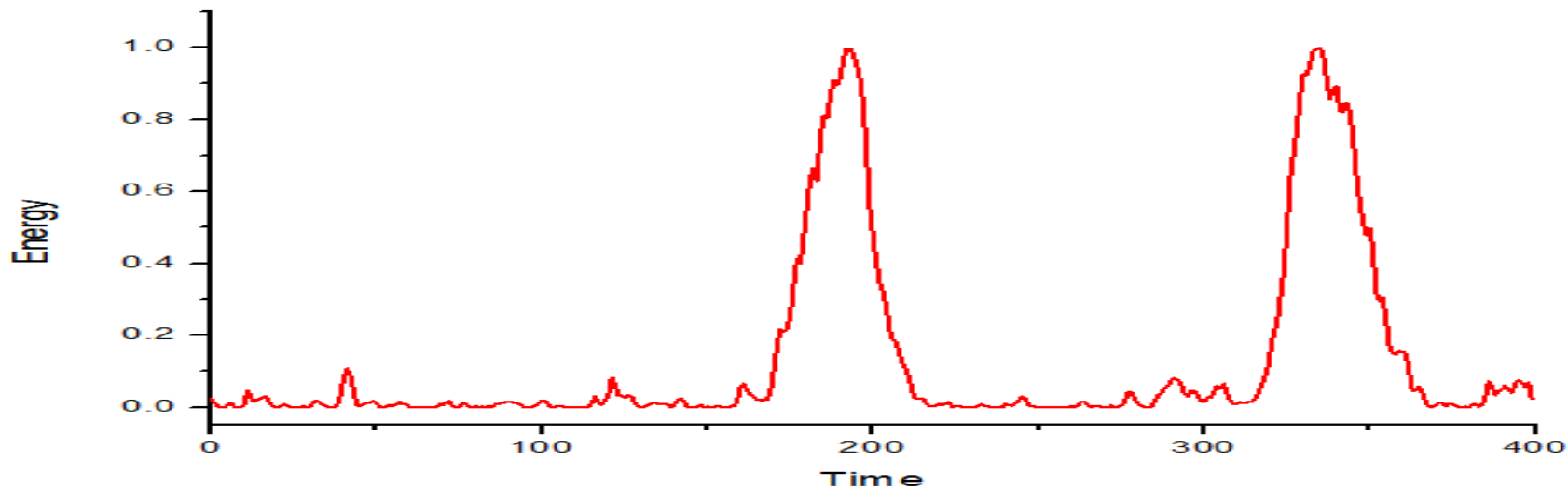
# Quantum neuron = Q-neuron



# Quantum neuron = Q-neuron



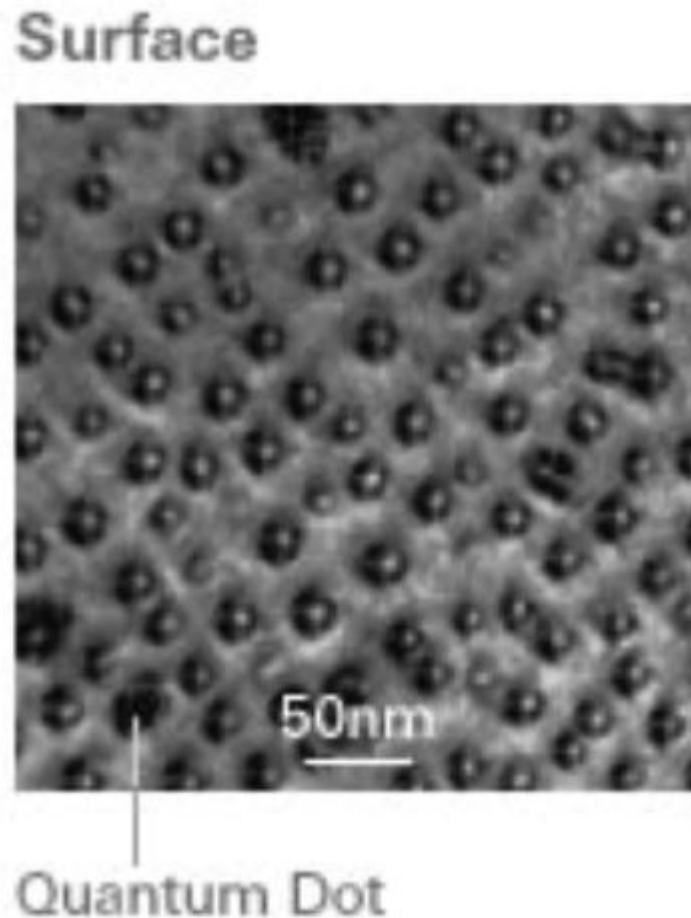
# Quantum neuron = Q-neuron



# Nano-technological realizations

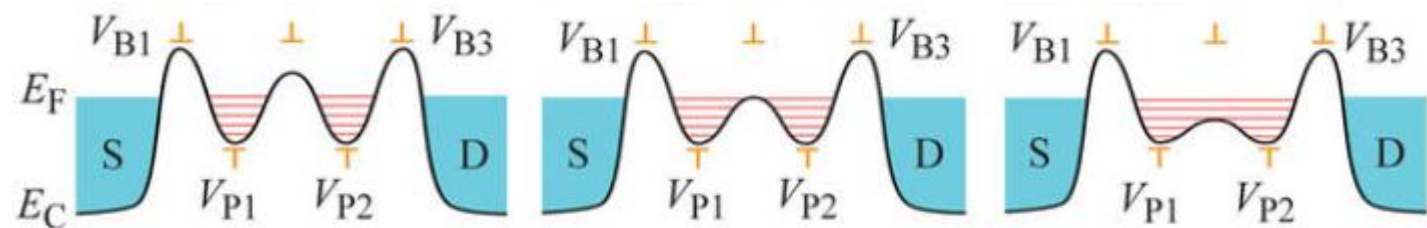
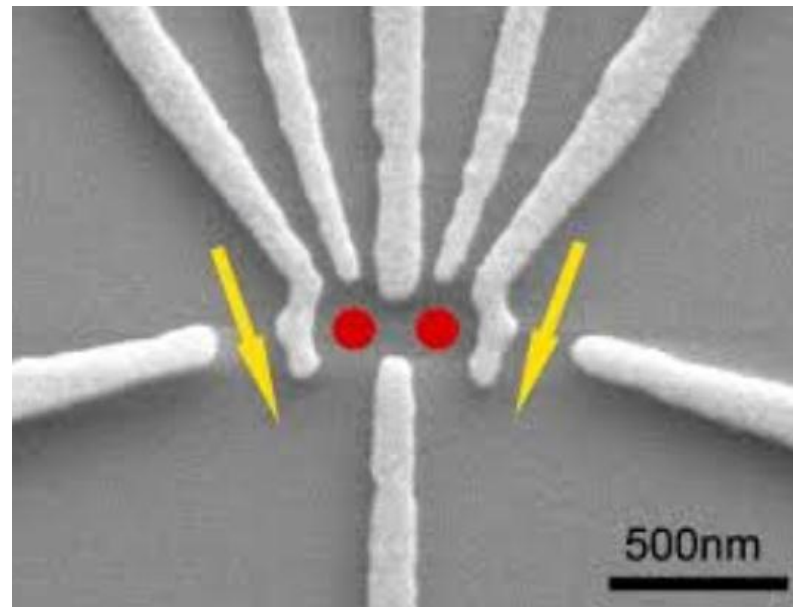
We need in Nano-technological platform for realization of QNN.

One possible way: **quantum double dots**.



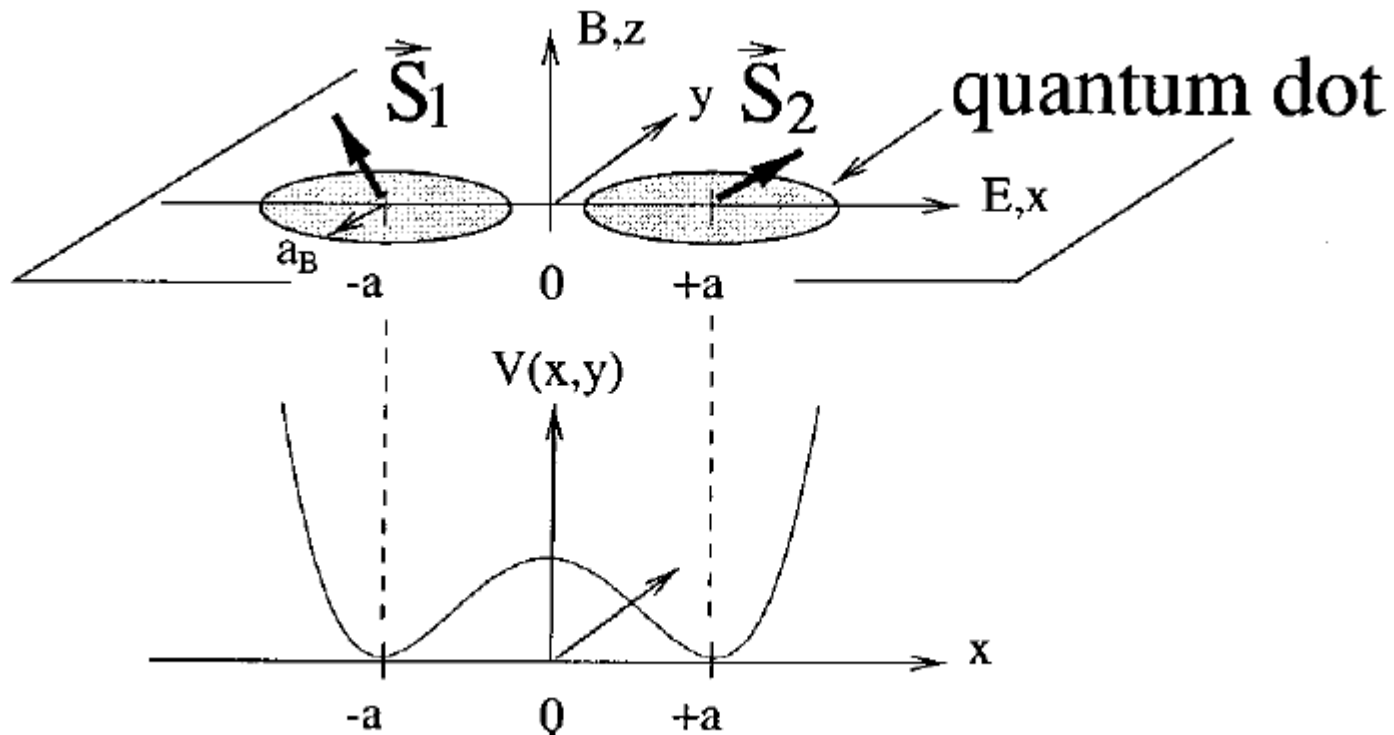
# Nano-technological realizations

Quantum double dots.



# Nano-technological realizations

Quantum double dots.



PHYSICAL REVIEW B

VOLUME 59, NUMBER 3

15 JANUARY 1999-I

## Coupled quantum dots as quantum gates

Guido Burkard\* and Daniel Loss†

*Department of Physics and Astronomy, University of Basel, Klingelbergstrasse 82, CH-4056 Basel, Switzerland*

David P. DiVincenzo‡

*IBM Research Division, Thomas J. Watson Research Center, P.O. Box 218, Yorktown Heights, New York 10598*

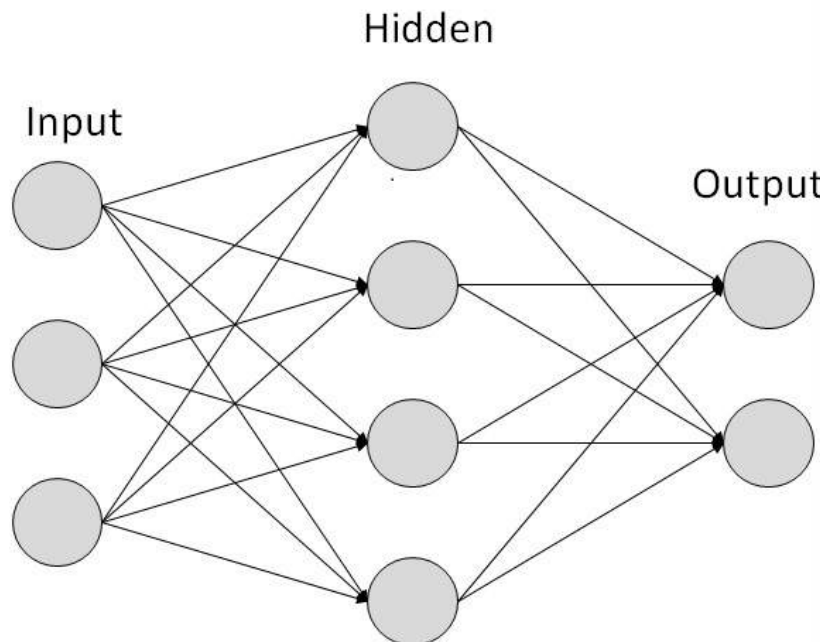
(Received 3 August 1998)

# Quantum neural network as quantum many body system

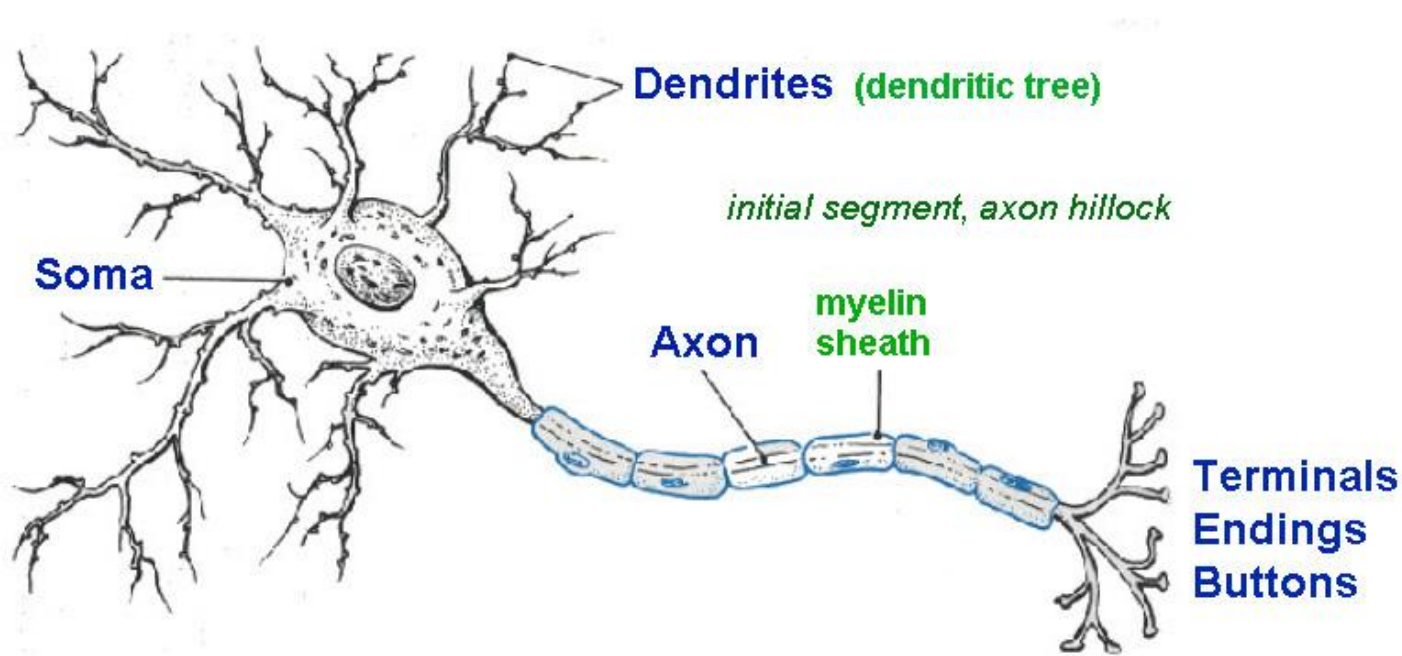
$$Z = \int \prod_i \mathcal{D}\varphi_i(\tau) \exp(-S(\varphi_i(\tau))), \varphi_i(0) = \varphi_i(T)$$

$$S = \int_0^T d\tau \left[ \sum_i \left( \frac{1}{2} \dot{\varphi}_i^2 + V_0(\varphi_i) \right) + \sum_{i>j} V_{int}(\varphi_i, \varphi_j) \right]$$

$$\langle \mathcal{O}(\varphi_1, \dots, \varphi_i) \rangle = \frac{1}{Z} \int \prod_i \mathcal{D}\varphi_i(\tau) \mathcal{O}(\varphi_1, \dots, \varphi_i) \exp(-S(\varphi_i))$$



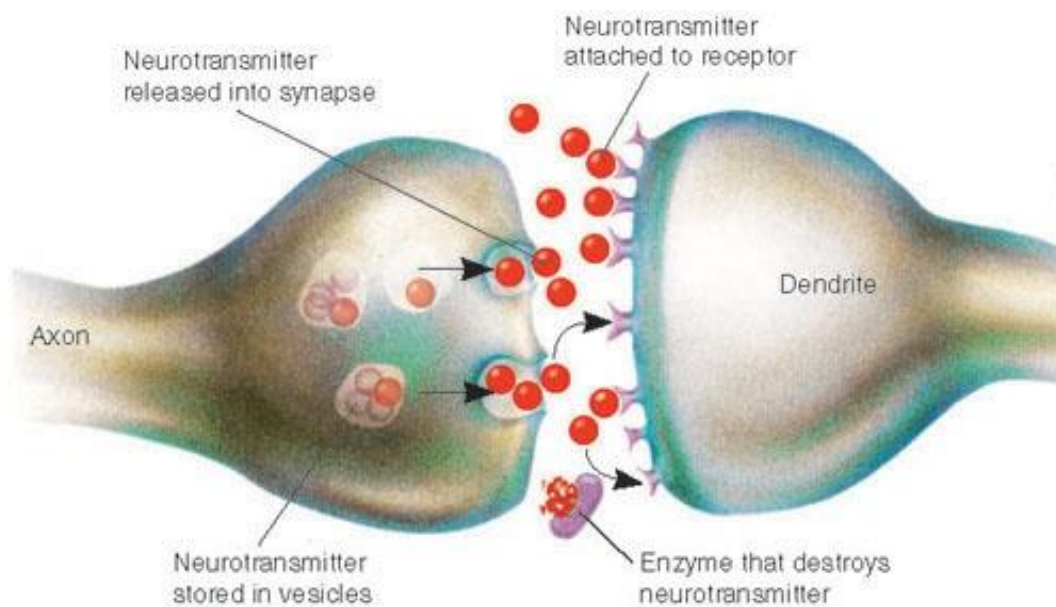
# Axons in neural net



**“Axon” is output information line from neuron.  
So neural net is very non-local system.**

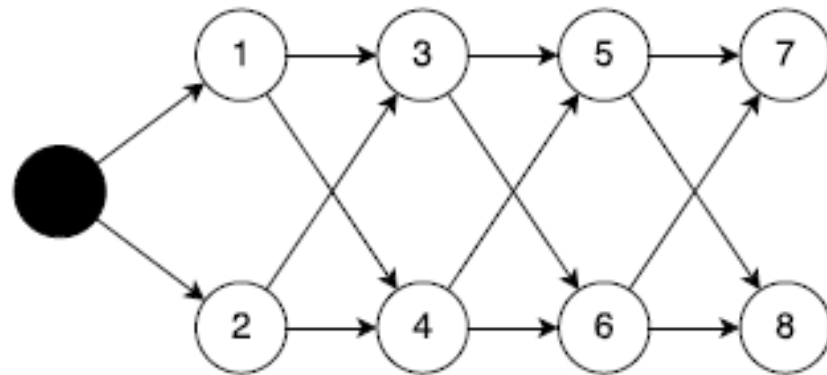
# Role of Synapse

**Role of Synapse is the contact coefficient, the measure of neuron connection.**



# Excitation connection

$$S = \int_0^T d\tau \left[ \sum_i \left( \frac{1}{2} \dot{\varphi}_i^2 + V_0(\varphi_i) \right) + \sum_{i>j} V_{int}(\varphi_i, \varphi_j) \right]$$



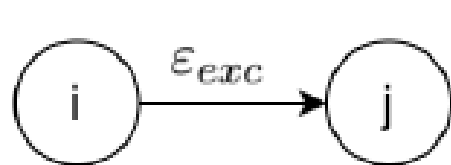
1.

$$-\mathcal{L}_0 = \frac{1}{2} \dot{\varphi}_i^2 + \frac{\Lambda}{4} \left( \varphi_i^2 - \frac{\mu^2}{\Lambda} \right)^2$$

2.

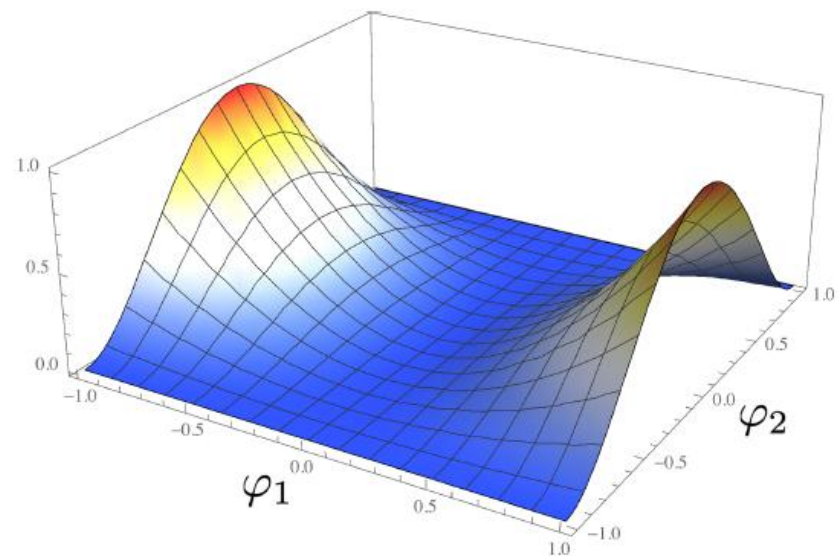
$$-\mathcal{L}_{int} = \varepsilon_{exc} \varphi_j^2 \left( \varphi_i^2 - \frac{\mu^2}{\Lambda} \right)^2$$

# Excitation connection

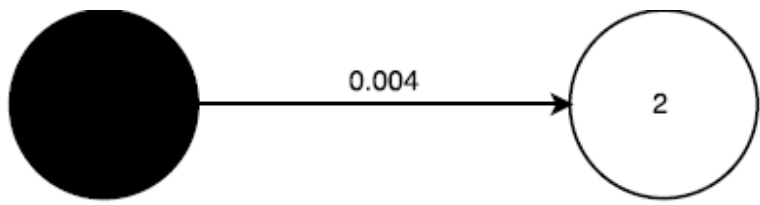


A diagram showing two circular nodes labeled 'i' and 'j'. A horizontal arrow points from node 'i' to node 'j', with the label  $\varepsilon_{exc}$  above the arrow.

$$-\mathcal{L}_{int} = \varepsilon_{exc} \varphi_j^2 \left( \varphi_i^2 - \frac{\mu^2}{\Lambda} \right)^2$$

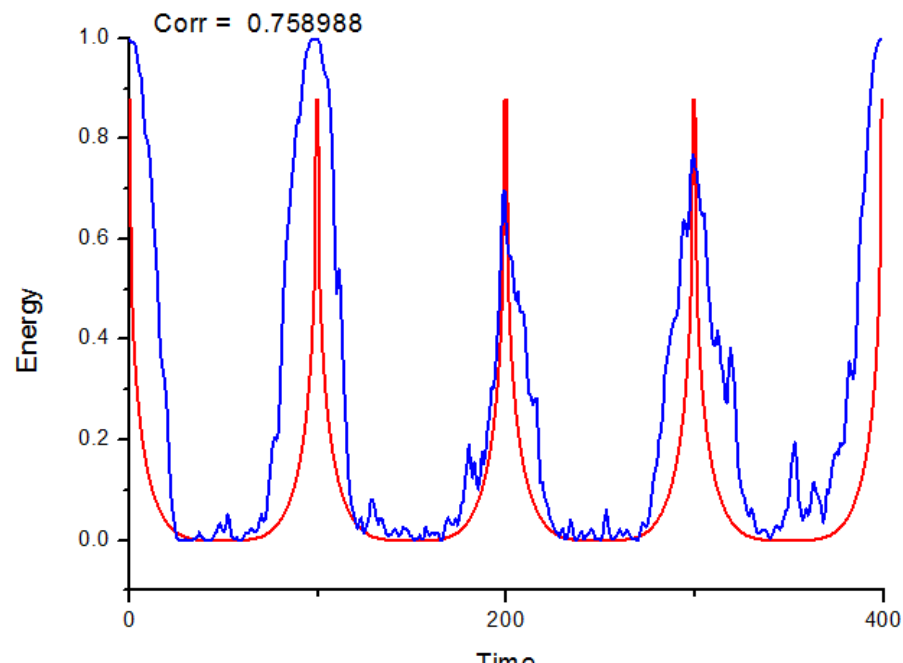
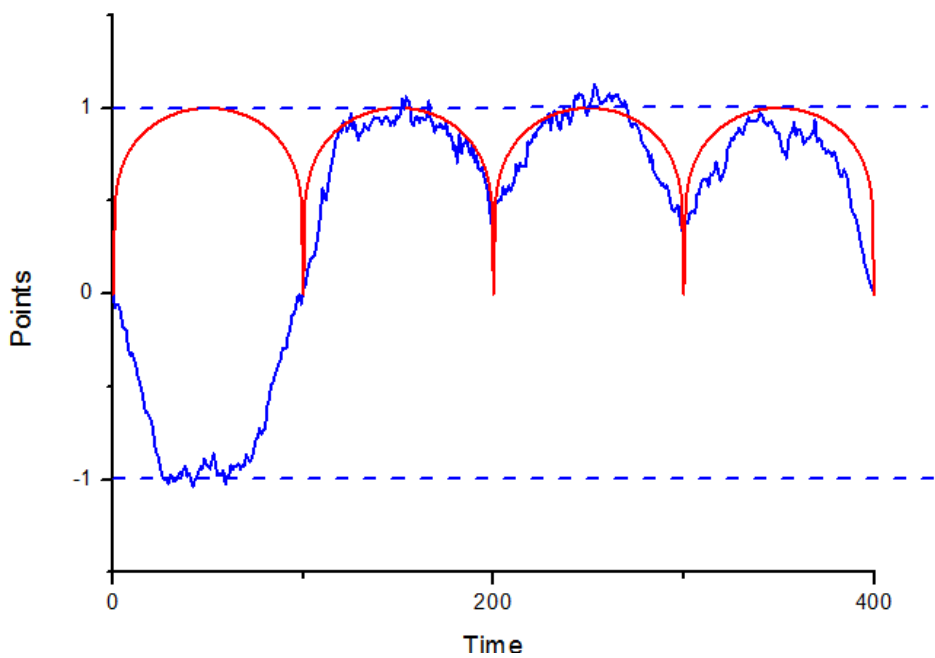


# Excitation connection: simple test

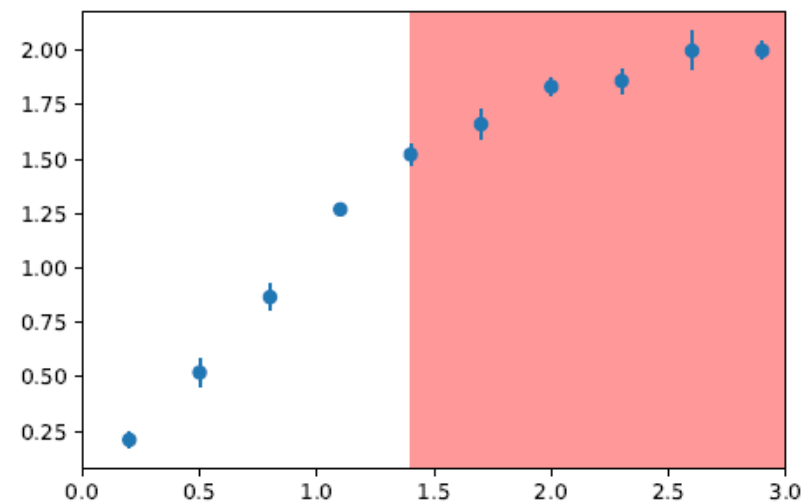
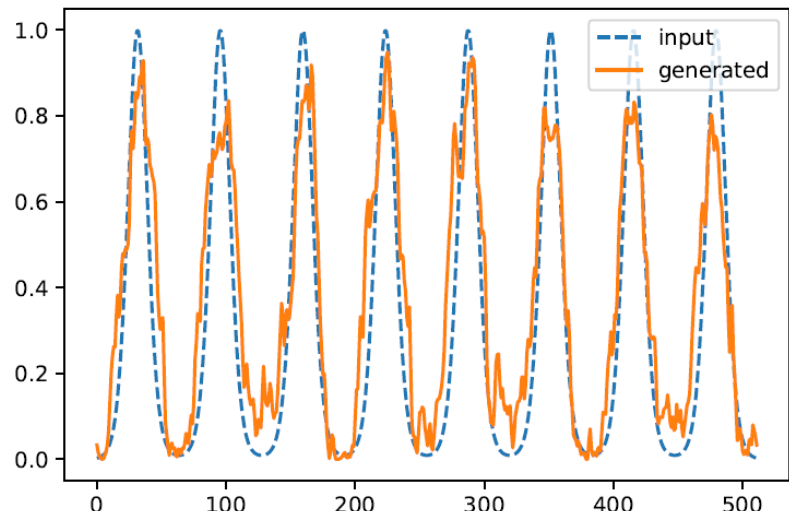
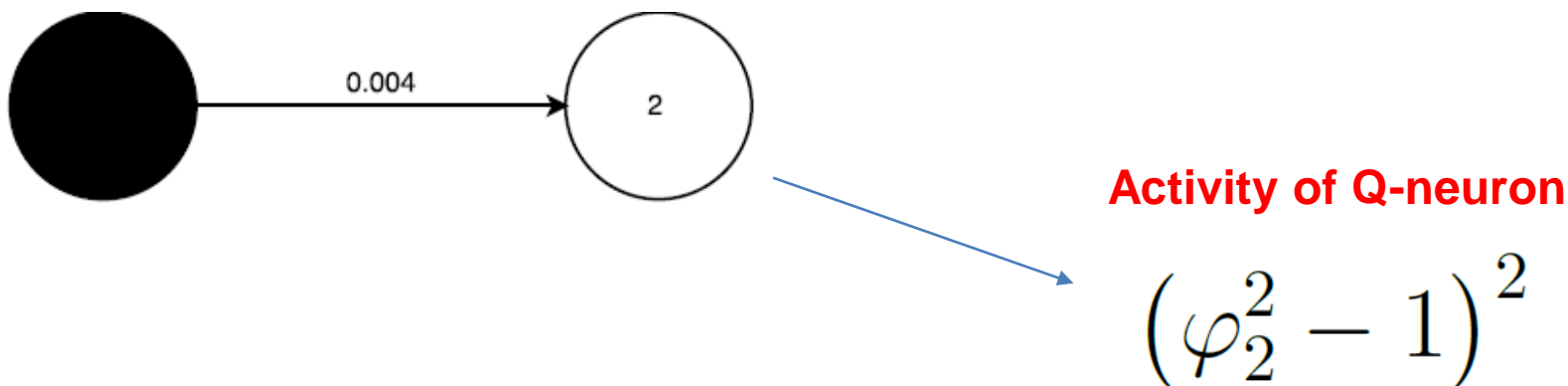


$$Z = \int \prod_i \mathcal{D}\varphi_i(\tau) \exp(-S(\varphi_i(\tau))), \varphi_i(0) = \varphi_i(T)$$

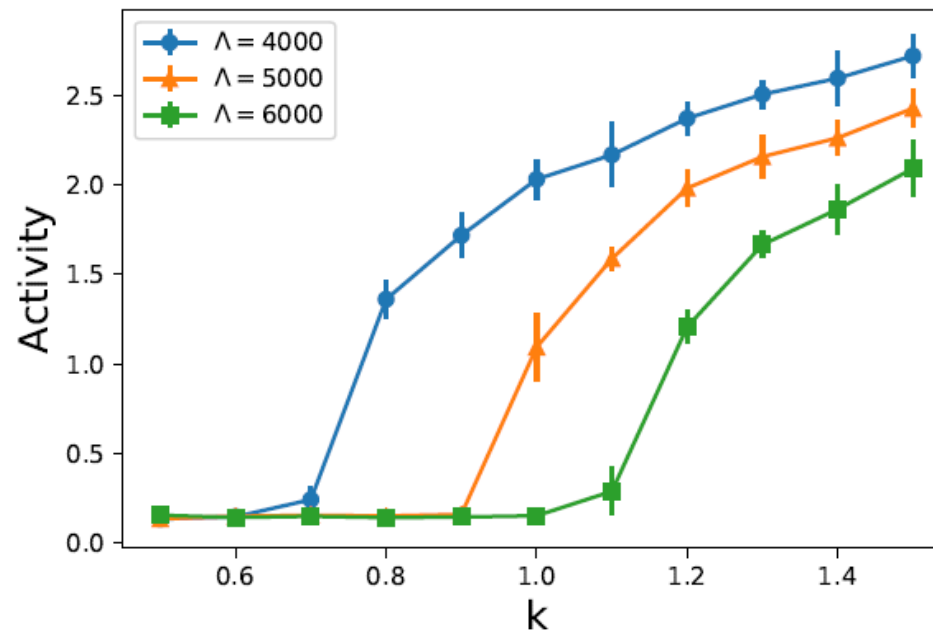
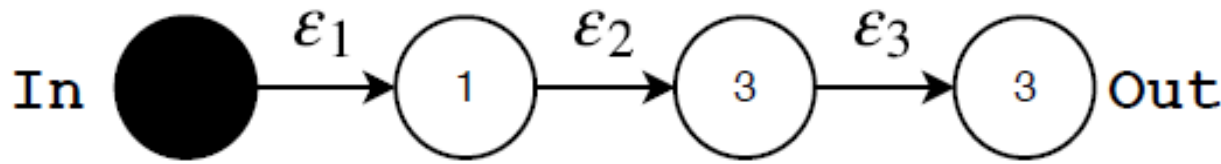
$$S = \int_0^T d\tau \left[ \sum_i \left( \frac{1}{2} \dot{\varphi}_i^2 + V_0(\varphi_i) \right) + \sum_{i>j} V_{int}(\varphi_i, \varphi_j) \right]$$



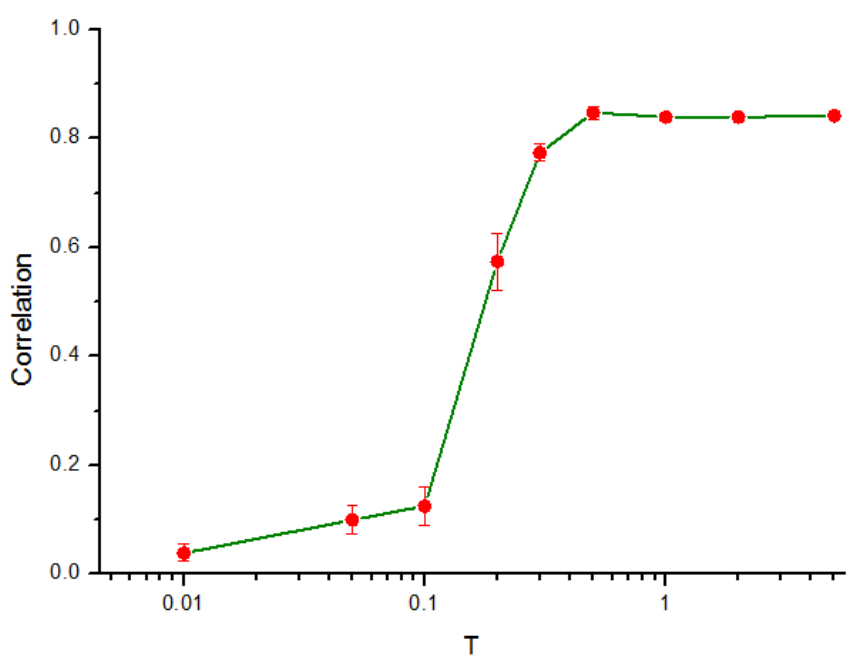
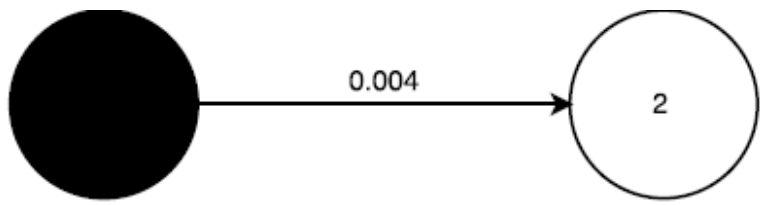
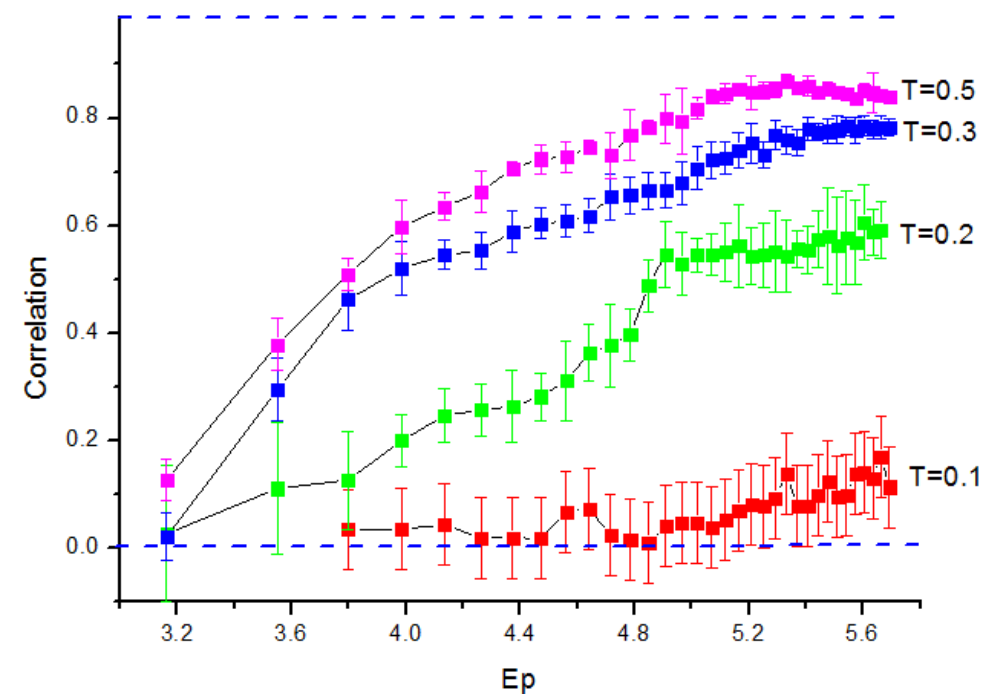
# Excitation connection: simple test



# Excitation connection: 3 Q-neurons transport

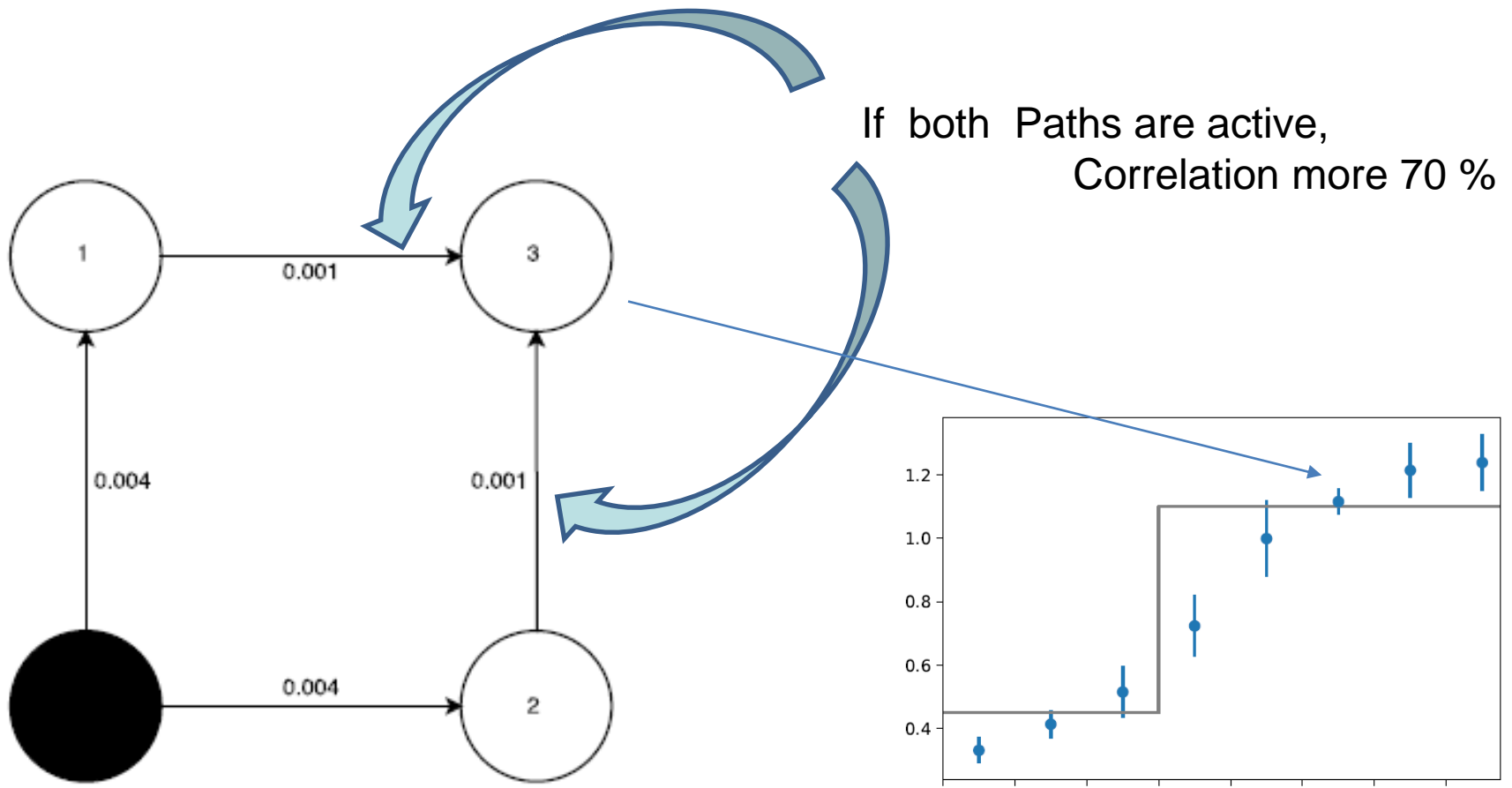


# Quantum neuron



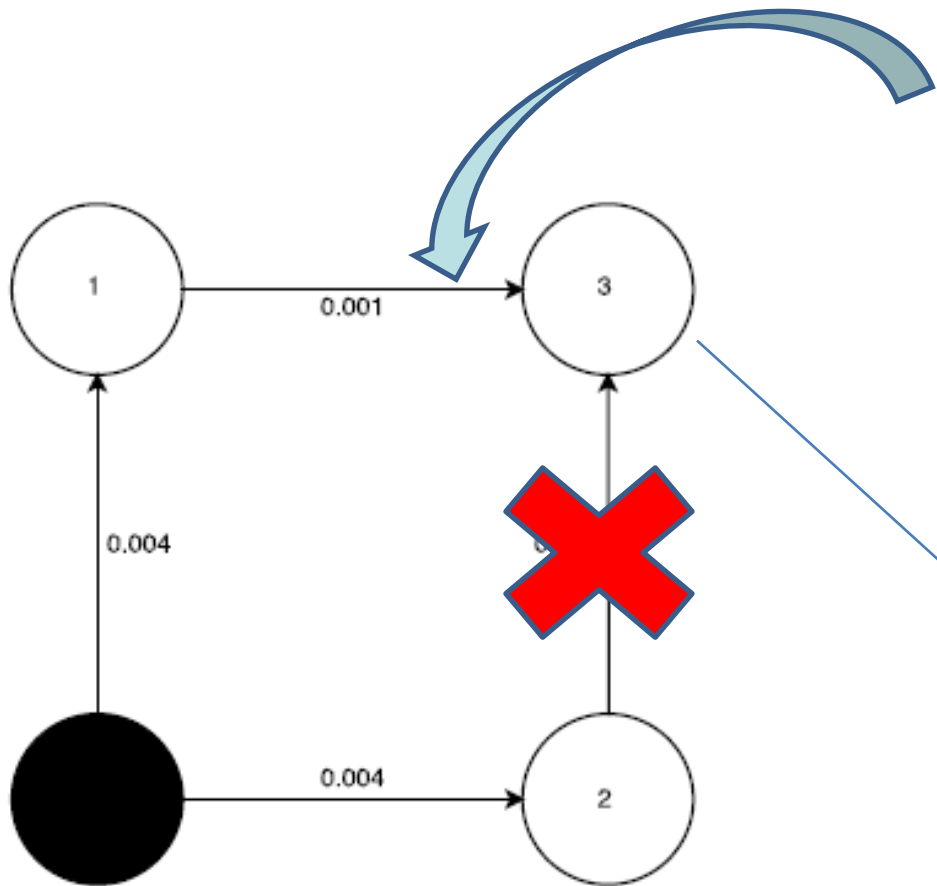
# Quantum neural network logical elements

## Logical AND

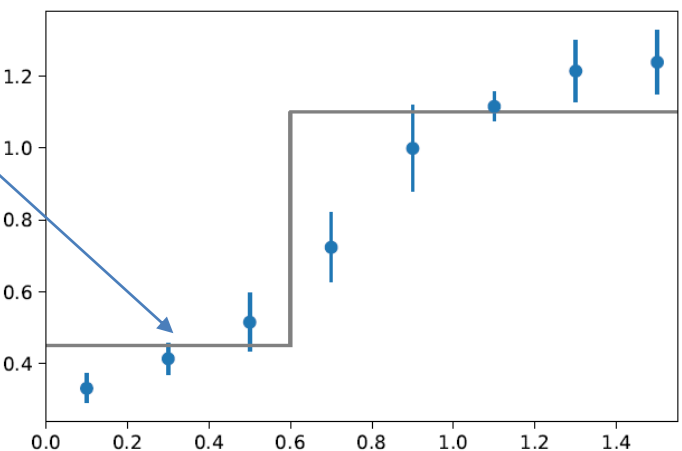


# Quantum neural network logical elements

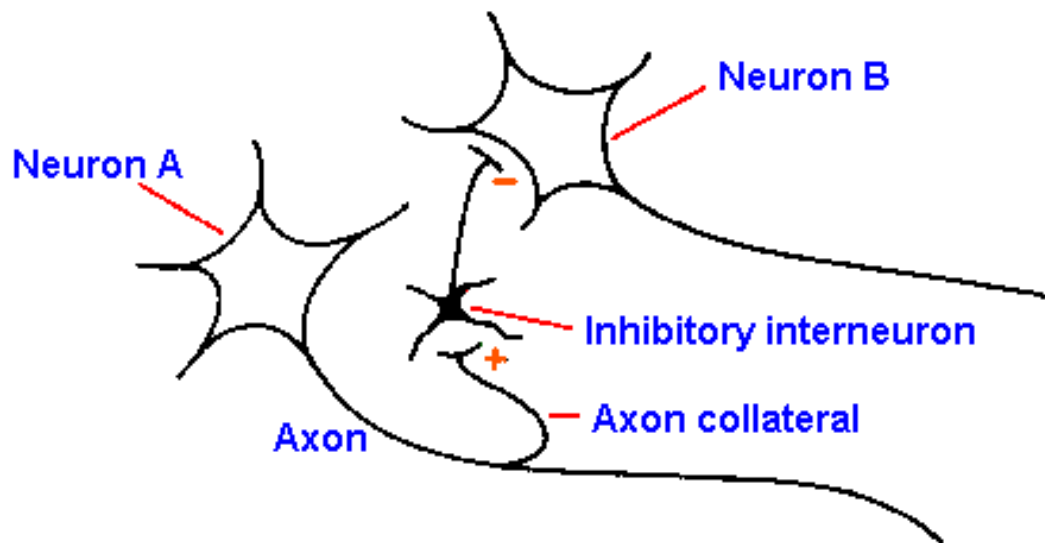
## Logical AND



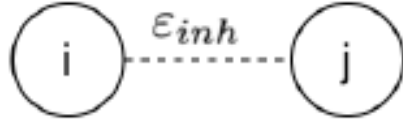
If only one Path is active,  
Correlation less 20 %

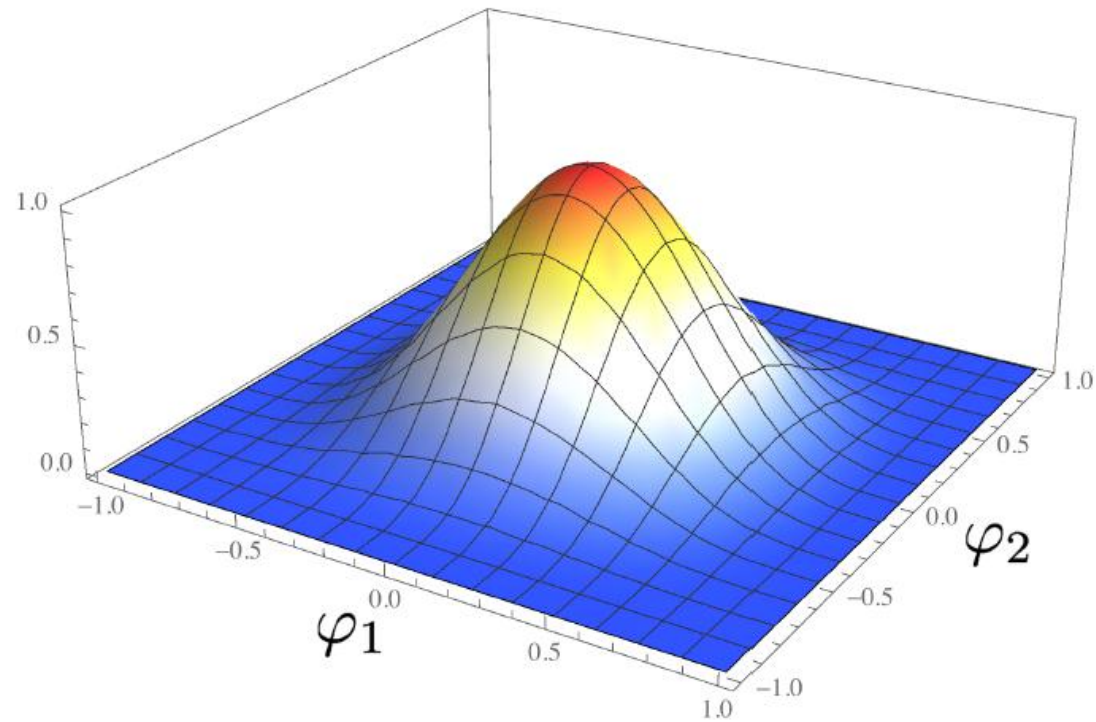


# Inhibiting potential

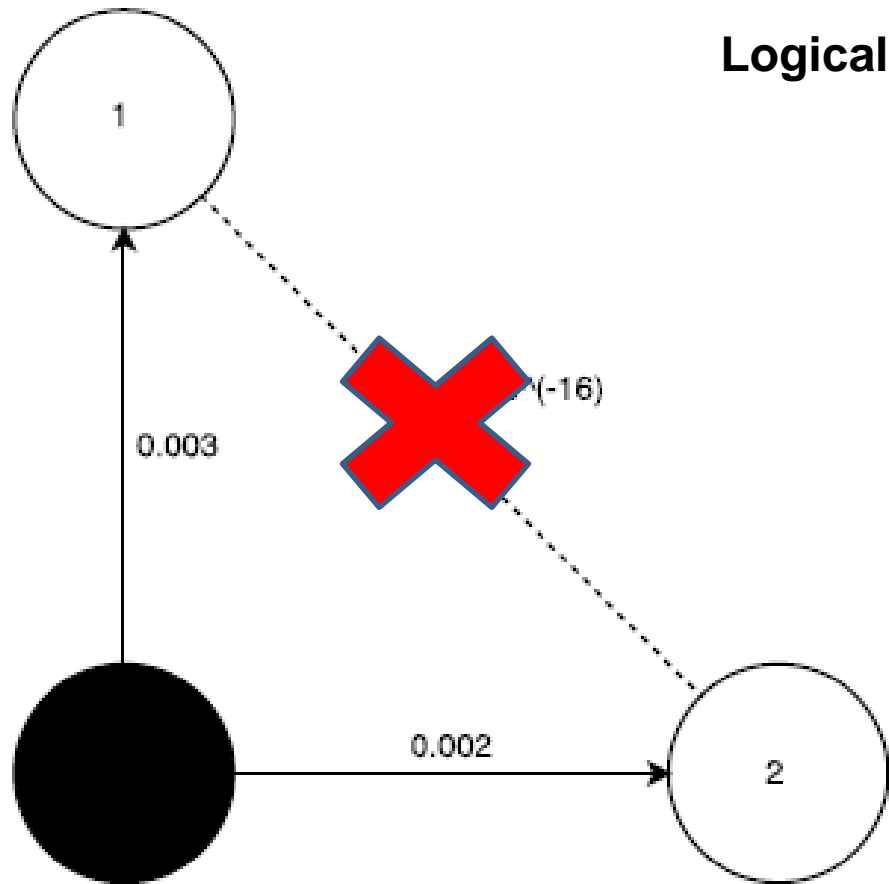


# Inhibiting potential

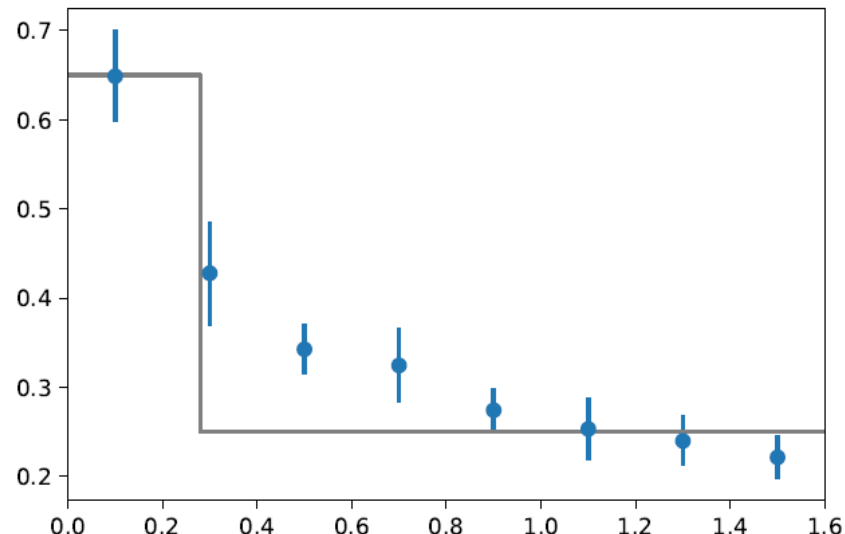

$$-\mathcal{L}_{int} = \varepsilon_{inh} \left( \varphi_i^2 - \frac{\mu^2}{\Lambda} \right)^4 \left( \varphi_j^2 - \frac{\mu^2}{\Lambda} \right)^4$$



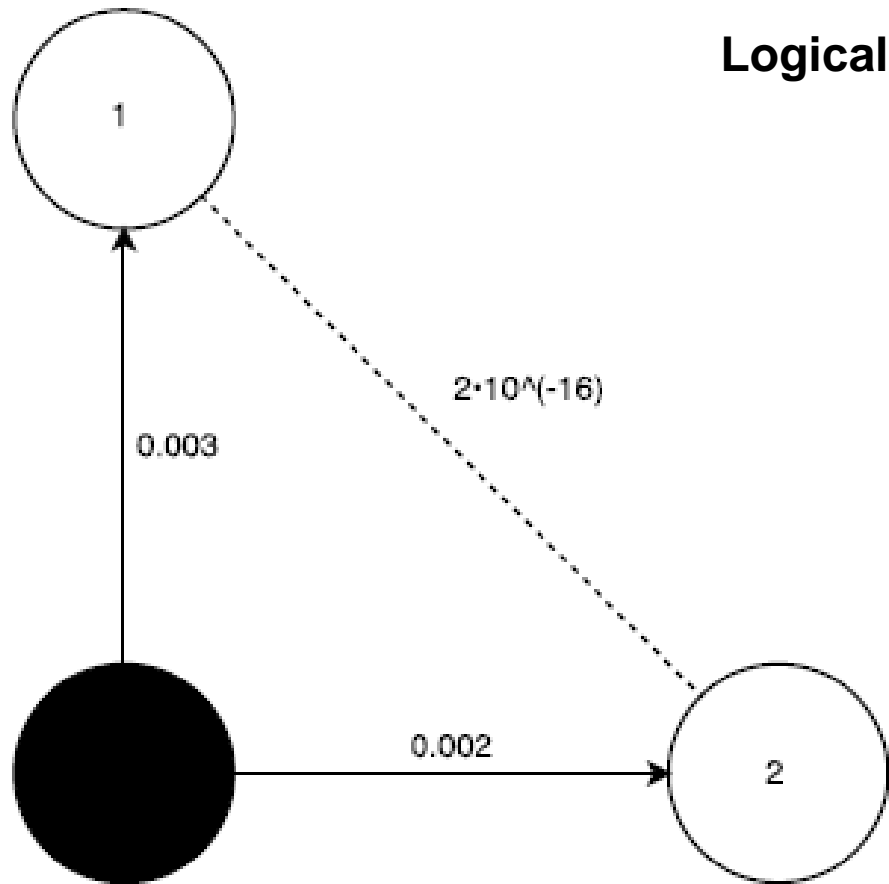
# Quantum neural network logical elements



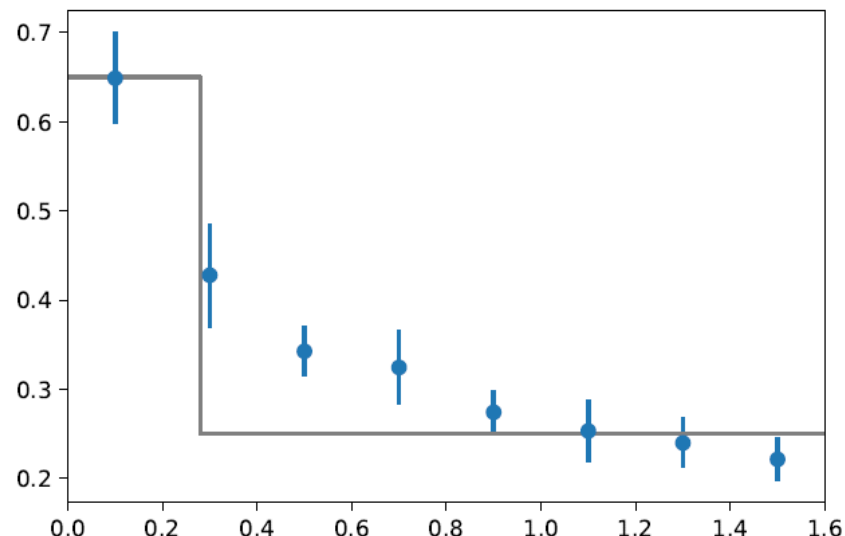
Logical NOT



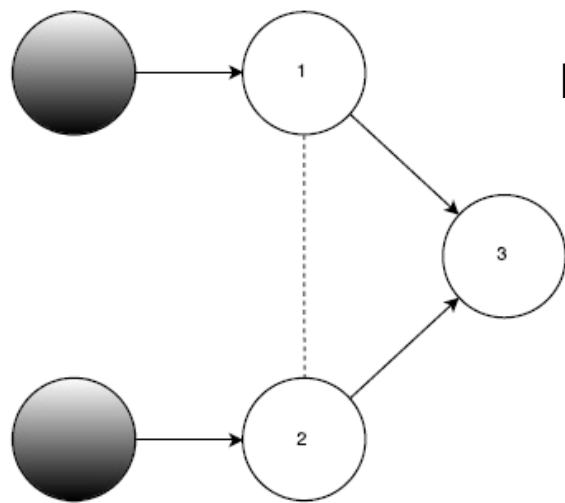
# Quantum neural network logical elements



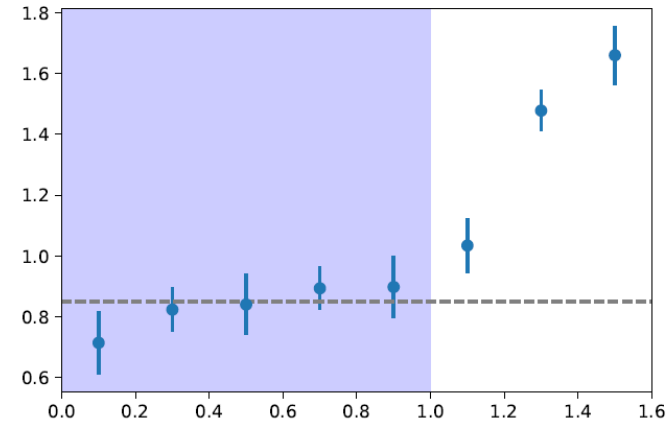
Logical NOT



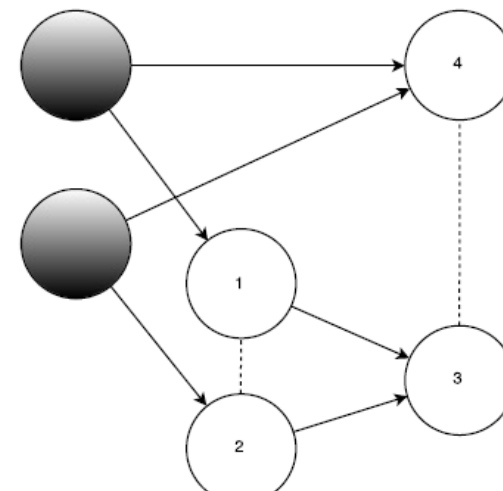
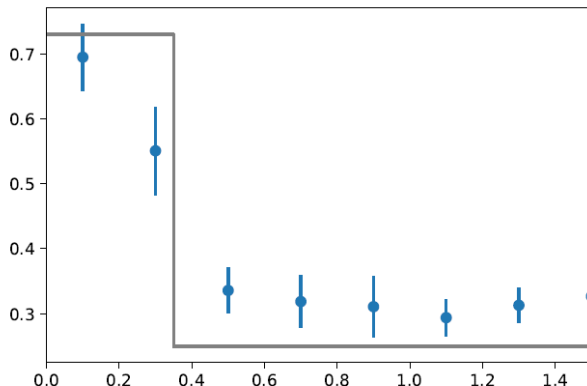
# Quantum neural network logical elements



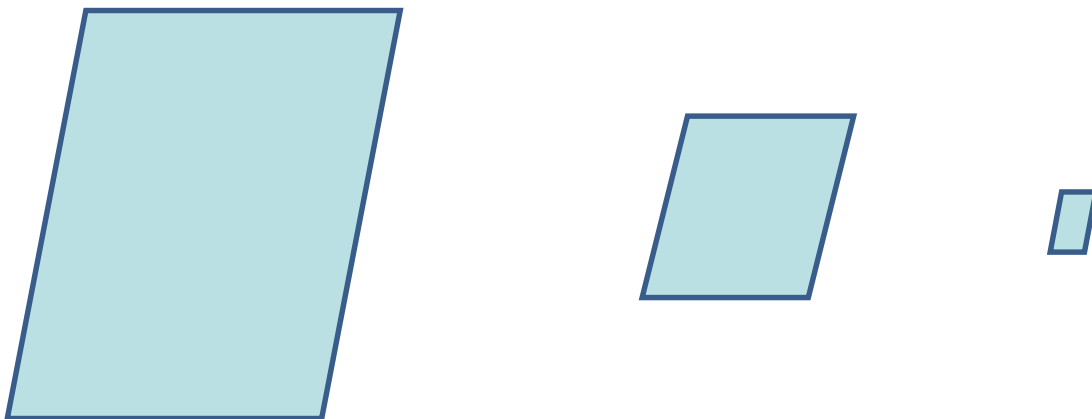
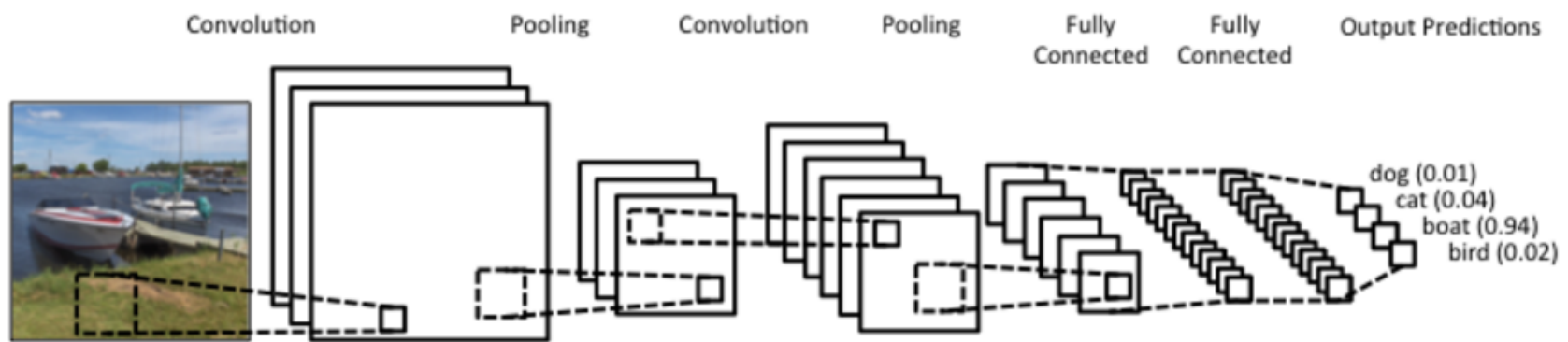
Logical OR



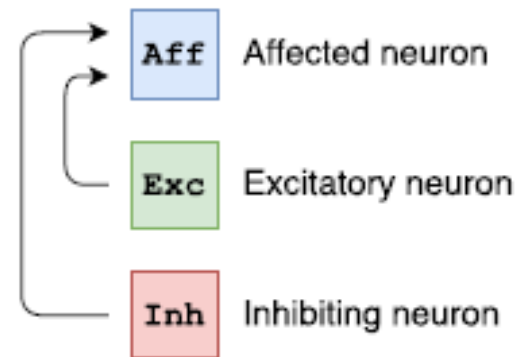
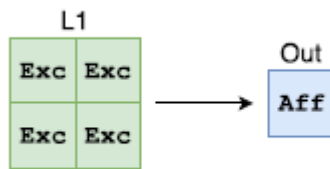
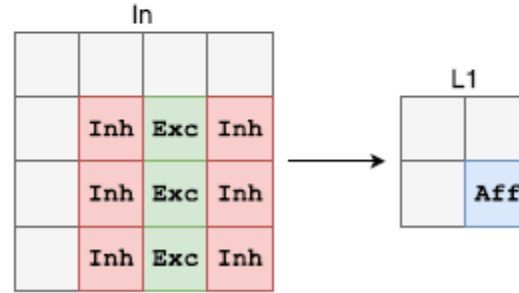
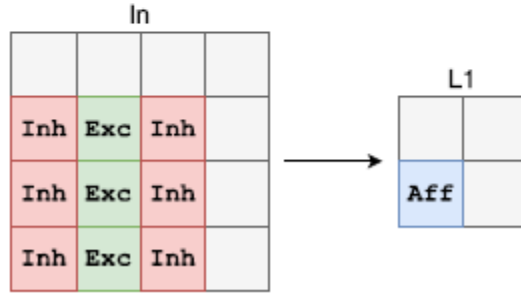
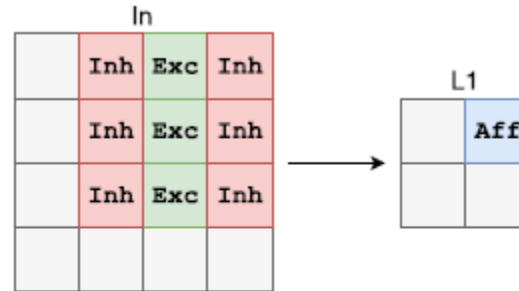
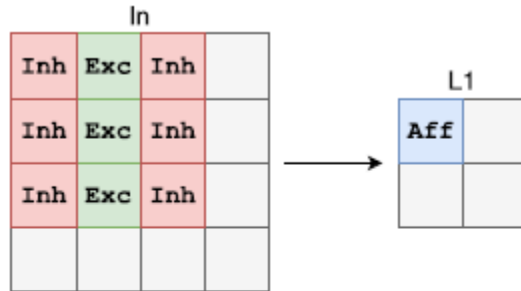
Logical exclusive OR (XOR)



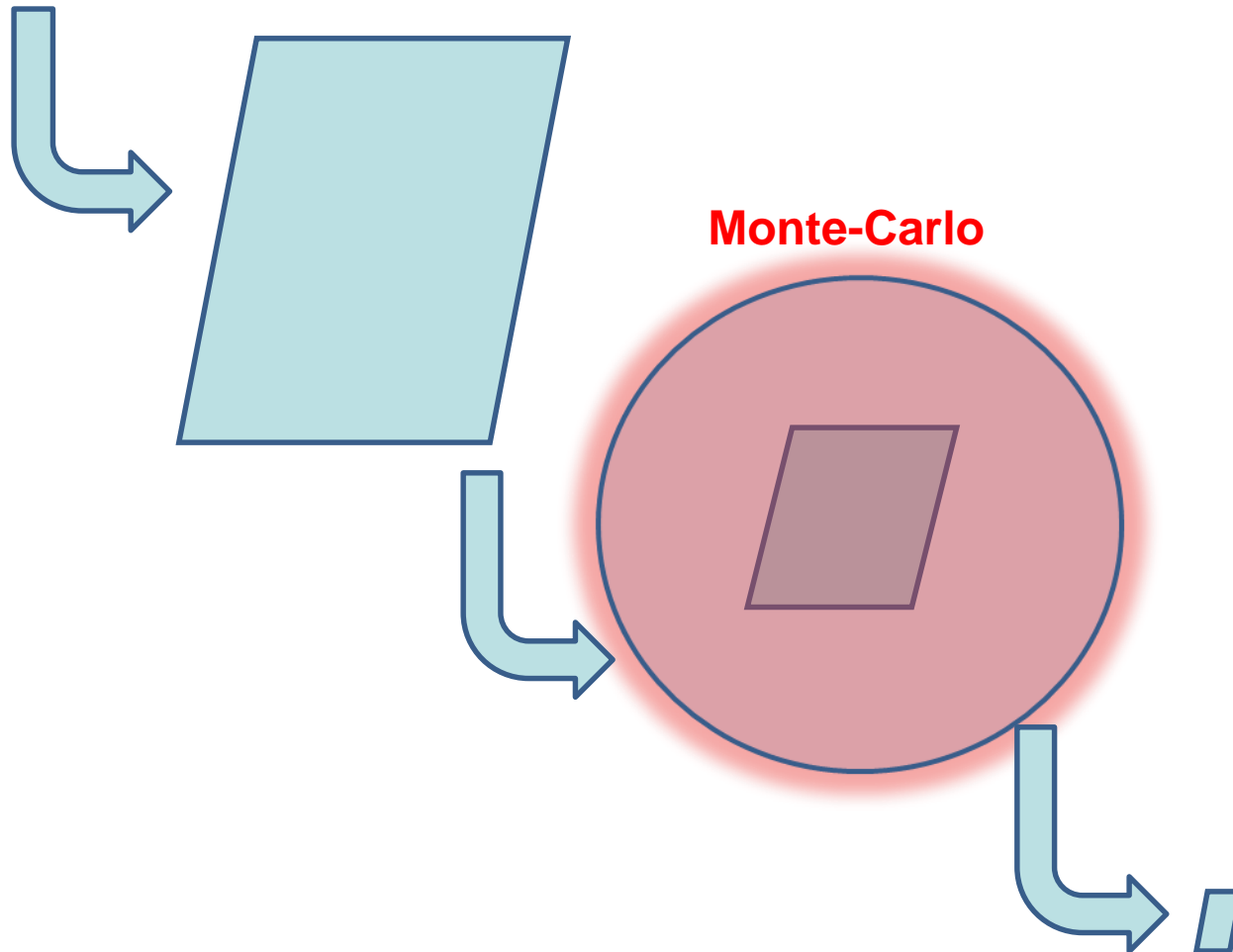
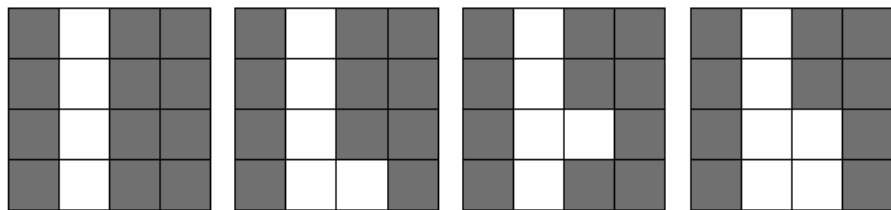
# Convolution neural network



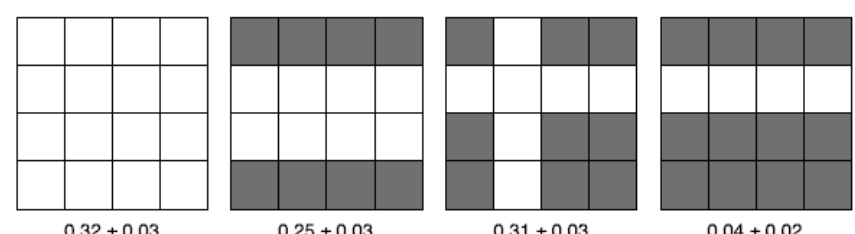
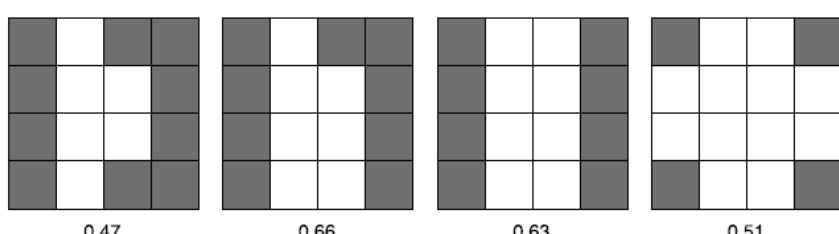
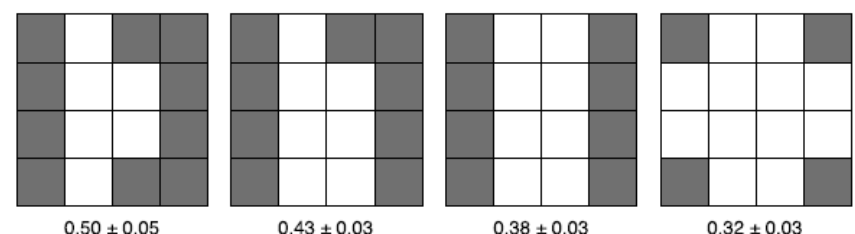
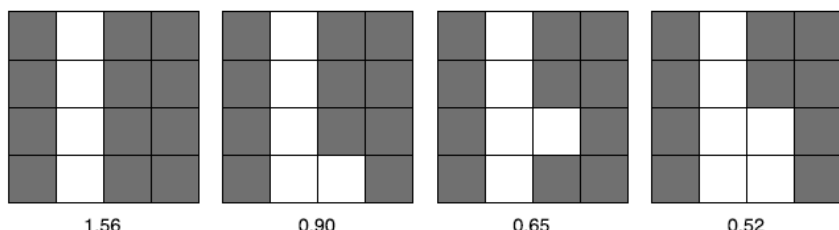
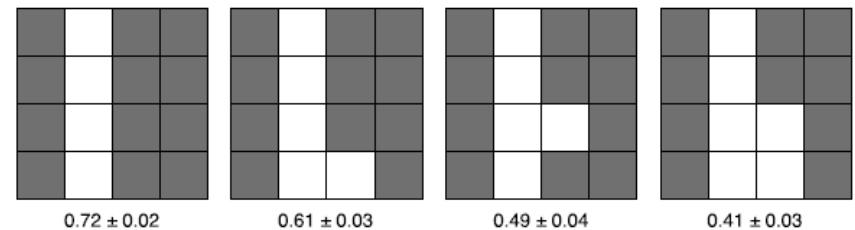
# Convolution neural network



# Convolution neural network



# Convolution neural network

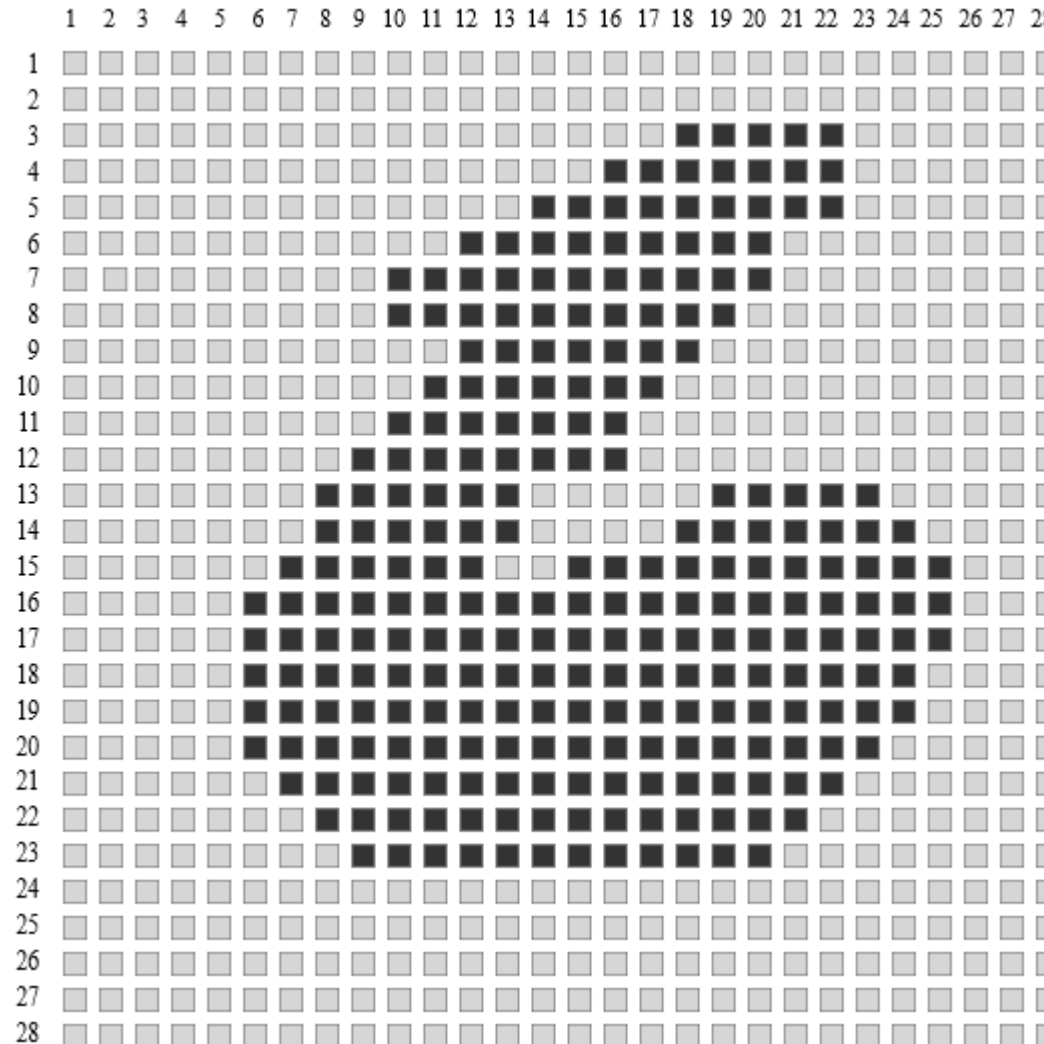


# Digit recognition



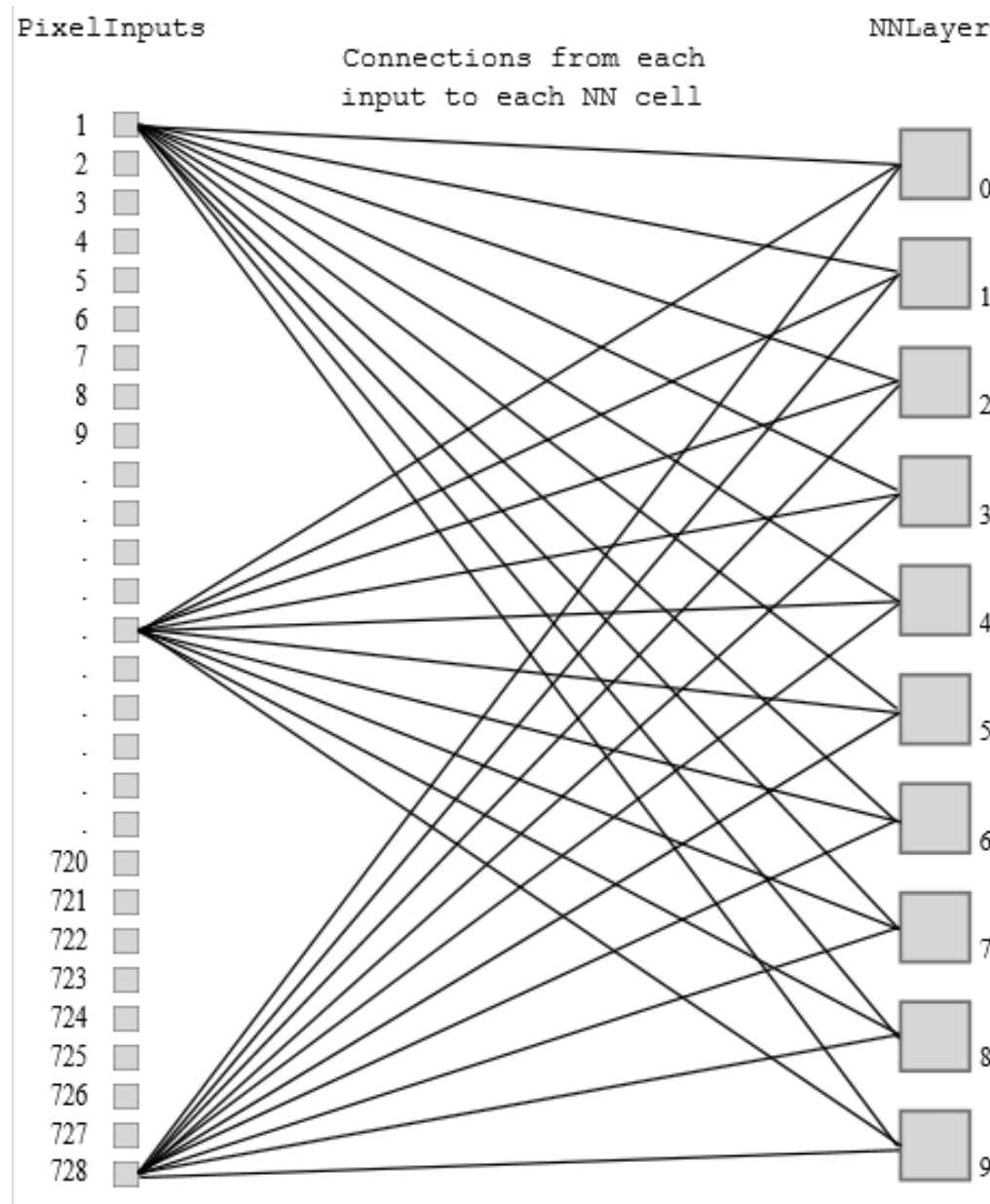
MNIST database

# Digit recognition



**MNIST database:** MNIST image has a size of  $28 \times 28 = 784$  pixels

# Digit recognition



# Digit recognition

$$\mathcal{L}_0 = \sum_{i=0}^{784} \left[ \frac{1}{2} \dot{\psi}_i^2 + \frac{\Lambda}{4} \left( \psi_i^2 - \frac{\mu^2}{\Lambda} \right)^2 \right] + \sum_{j=0}^{10} \left[ \frac{1}{2} \dot{\varphi}_j^2 + \frac{\Lambda}{4} \left( \varphi_j^2 - \frac{\mu^2}{\Lambda} \right)^2 \right]$$

$$\begin{aligned} \mathcal{L} = \mathcal{L}_0 &+ \sum_{i=0}^{784} \sum_{j=0}^{10} k (\varepsilon_{ij} - b) A_i \varphi_j^2 \left( \psi_i^2 - \frac{\mu^2}{\Lambda} \right)^2 + \\ &+ 10^{-17} \sum_{k>j}^{10} \sum_{j=0}^{10} \left( \varphi_j^2 - \frac{\mu^2}{\Lambda} \right)^4 \left( \varphi_k^2 - \frac{\mu^2}{\Lambda} \right)^4, \end{aligned}$$

$$Z = \int \prod_i \mathcal{D}\varphi_i(\tau) \exp(-S(\varphi_i(\tau))), \varphi_i(0) = \varphi_i(T)$$

# Digit recognition

$X \in \mathbb{R}^{N \times M}$  brightness of  $j$ -th pixel in  $i$ -th image.

$$S = XW$$

score of  $i$ -th image treated as  $j$ -th number.

$$p_{ij} = \frac{\exp(S_{ij})}{\sum_{j=0}^9 (\exp(S_{ij}))}.$$

$$\mathcal{L} = -\frac{1}{N} \sum_{i=0}^{N-1} \ln(p_{ij}) \delta_{correct}^i + \lambda \sum_{i=0}^{M-1} \sum_{j=0}^9 \max(-W_{ij}, 0), \lambda \rightarrow \infty$$

# Digit recognition

$$\hat{\psi}_i = \hat{\psi}(b_i) = \sqrt{\sqrt{b_i}\psi^2 - \sqrt{b_i} + 1}$$

$$\hat{\varepsilon}_{ij}\varphi_j^2 \left( \hat{\psi}_i^2 - 1 \right)^2 = \hat{\varepsilon}_{ij}b_i\varphi_j^2 \left( \psi_i^2 - 1 \right)^2 = \varepsilon_{ij}\varphi_j^2 \left( \psi_i^2 - 1 \right)^2$$

We can now use  $\tilde{W}$  as connection matrix for  $\varepsilon$  connecting input and output

# Digit recognition

0

1

2

4

7

$P(0) = 0.338608$	$P(1) = 0.655741$	$P(2) = 0.451795$	$P(4) = 0.362327$	$P(7) = 0.605863$
$P(6) = 0.13097$	$P(8) = 0.0840482$	$P(6) = 0.207845$	$P(8) = 0.16814$	$P(9) = 0.153816$
$P(7) = 0.104982$	$P(3) = 0.0834241$	$P(3) = 0.12158$	$P(2) = 0.14839$	$P(8) = 0.0527513$
$P(2) = 0.0962352$	$P(2) = 0.0605042$	$P(5) = 0.0695778$	$P(1) = 0.104967$	$P(3) = 0.0501808$
$P(5) = 0.0873339$	$P(7) = 0.0424982$	$P(0) = 0.0440336$	$P(9) = 0.0852715$	$P(1) = 0.0482902$
$P(4) = 0.0781002$	$P(0) = 0.037828$	$P(8) = 0.0399262$	$P(3) = 0.0759215$	$P(0) = 0.0334645$
$P(9) = 0.0714371$	$P(4) = 0.0180404$	$P(9) = 0.0267228$	$P(5) = 0.0338338$	$P(5) = 0.0295938$
$P(3) = 0.0662971$	$P(9) = 0.0130295$	$P(7) = 0.0263385$	$P(6) = 0.0196095$	$P(2) = 0.0167923$
$P(8) = 0.0260371$	$P(6) = 0.00488656$	$P(4) = 0.012181$	$P(0) = 0.00153889$	$P(4) = 0.00924887$
$P(1) = 0$	$P(5) = 0$	$P(1) = 0$	$P(7) = 0$	$P(6) = 0$

## Основные результаты

был построен формализм для исследования квантовых эффектов в релятивистских и нерелятивистских системах многих частиц, построены эффективные численные алгоритмы Монте-Карло моделирования таких систем, которые были протестированы на примере модельной задачи о релятивистском гармоническом осцилляторе;

с помощью разработанных численных методов Монте-Карло интегрирования была исследована актуальная задача о фазовом поведении атомарного металлического водорода, построено уравнение состояния этой системы;

построен решеточный формализм исследования вакуумных эффектов в квантовой электродинамике, разработаны алгоритмы учета влияния различных граничных условий, диэлектрических особенностей среды, температурных эффектов на величину казимировский вакуумных сил, исследована важная для наномеханики задача о тангенциальных (касательных) силах Казимира и реечной передачи механического воздействия без зацепления за счет вакуумных сил;

## Основные результаты

методы Монте-Карло моделирования эффекта Казимира в теории поля были перенесены в исследовании критических сил Казимира в классических спиновых системах, были исследованы критические силы взаимодействия двух дефектов, притяжение (конфайнмент) уединенного дефекта к дефектной линии, взаимодействие двух дефектов, притянутых к одной линии, а также дефекта и анти-дефекта (разрыва в дефектной линии), рассмотрен процесс коллапса систем дефектов в кластер, исследовано влияние искривленности дефектной линии на ее казимировскую энергию;

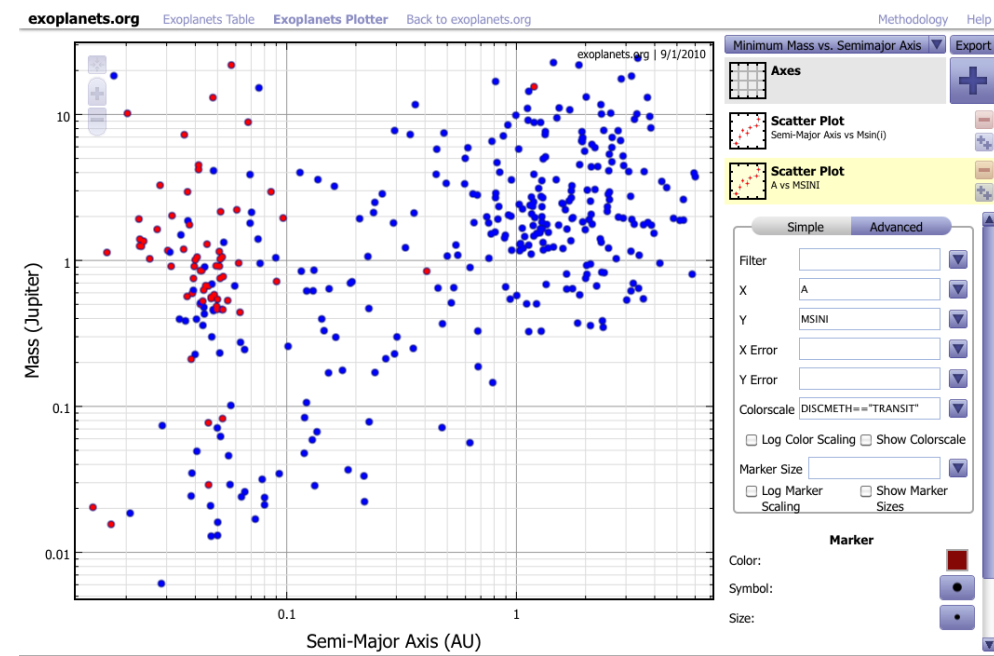
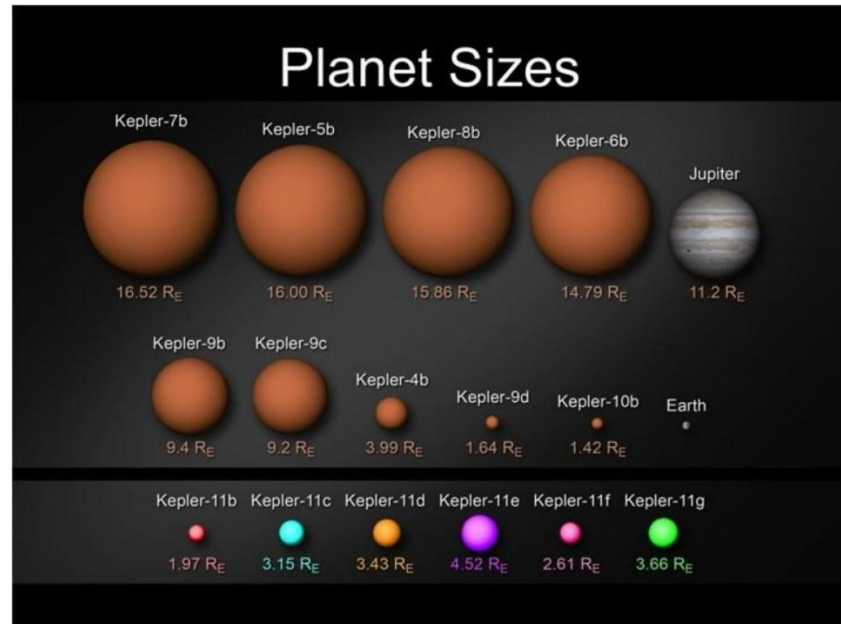
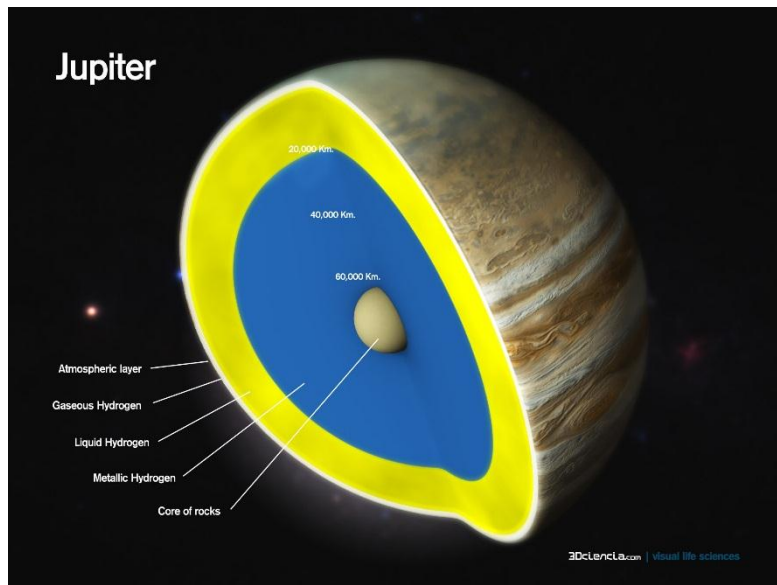
разработаны теоретико-полевые и решеточные монте-карловские методы исследования фазовых и критических явлений в графене, исследована фазовая картина перехода в состояния со спонтанным зарядовым разделением (экситонный конденсат) в графене как функция параметром системы, рассмотрен случай как листа графена, так и графеновых нанолент, теоретико-полевыми решеточными методами исследована фазовая картина перехода в разделенное по спину состояние (антиферромагнитных конденсат), исследовано влияние внешних факторов среды (диэлектрических свойств подложки, внешнего магнитного поля, концентрации дефектов) на эту фазовую картину;

предложена схема создания базовых элементов спинtronики на основе критических явлений в графене;

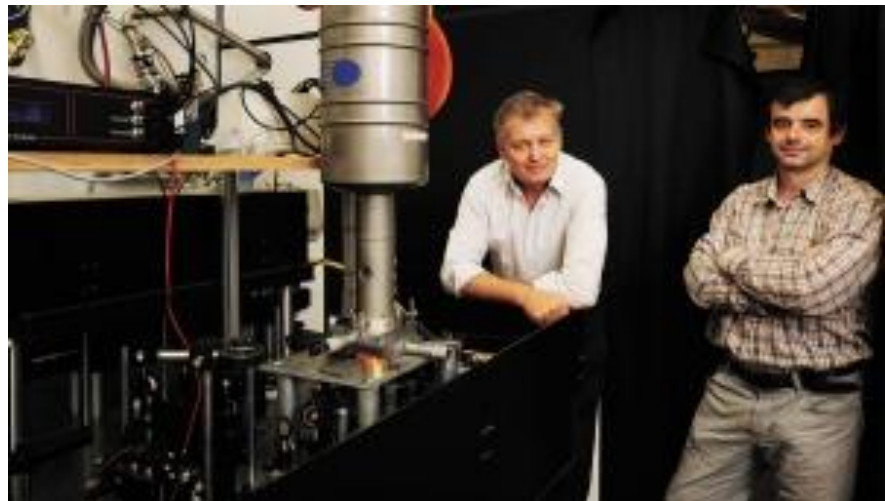
# Темы исследований

**Металлический  
водород**

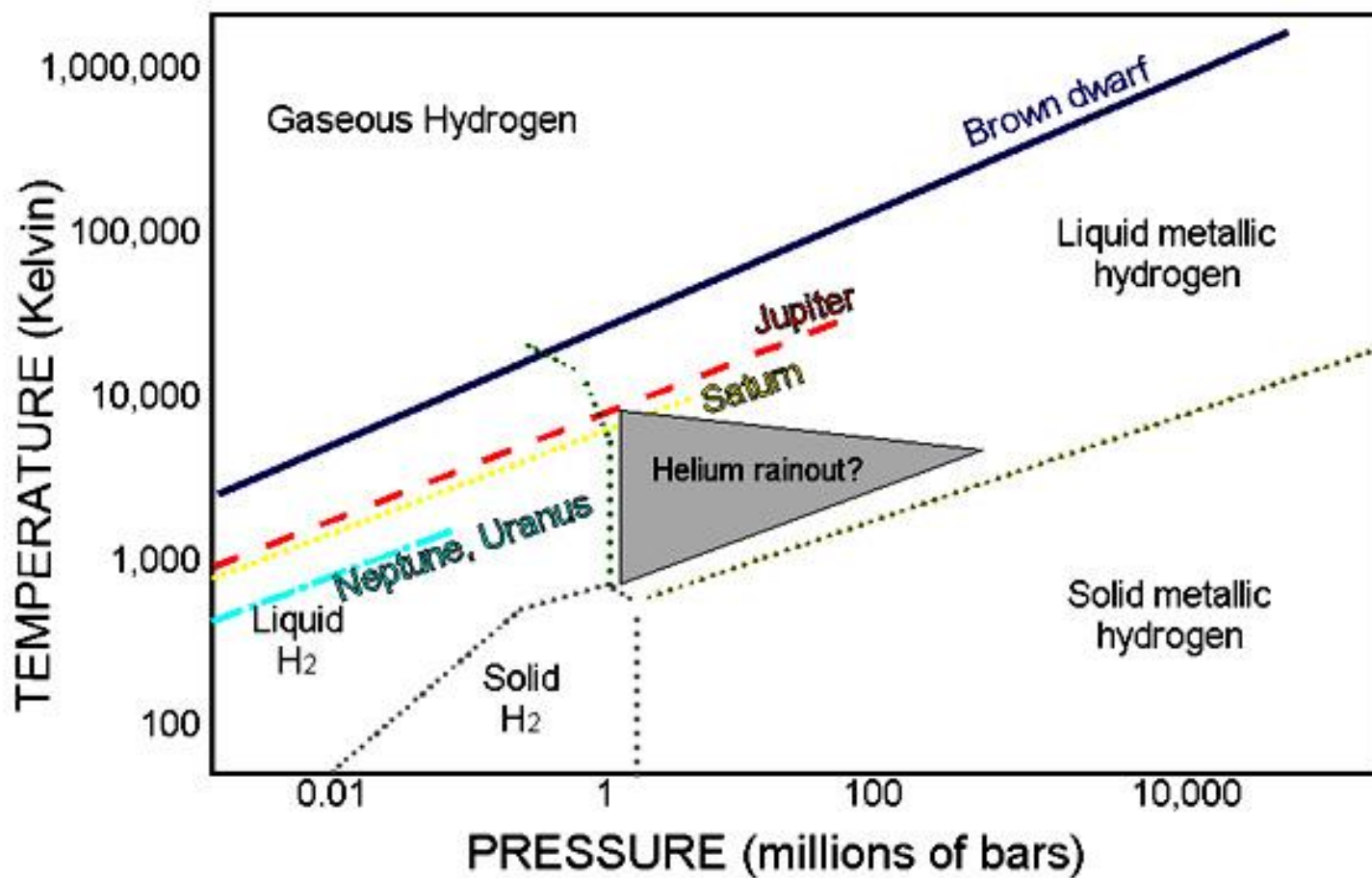
# Металлический водород



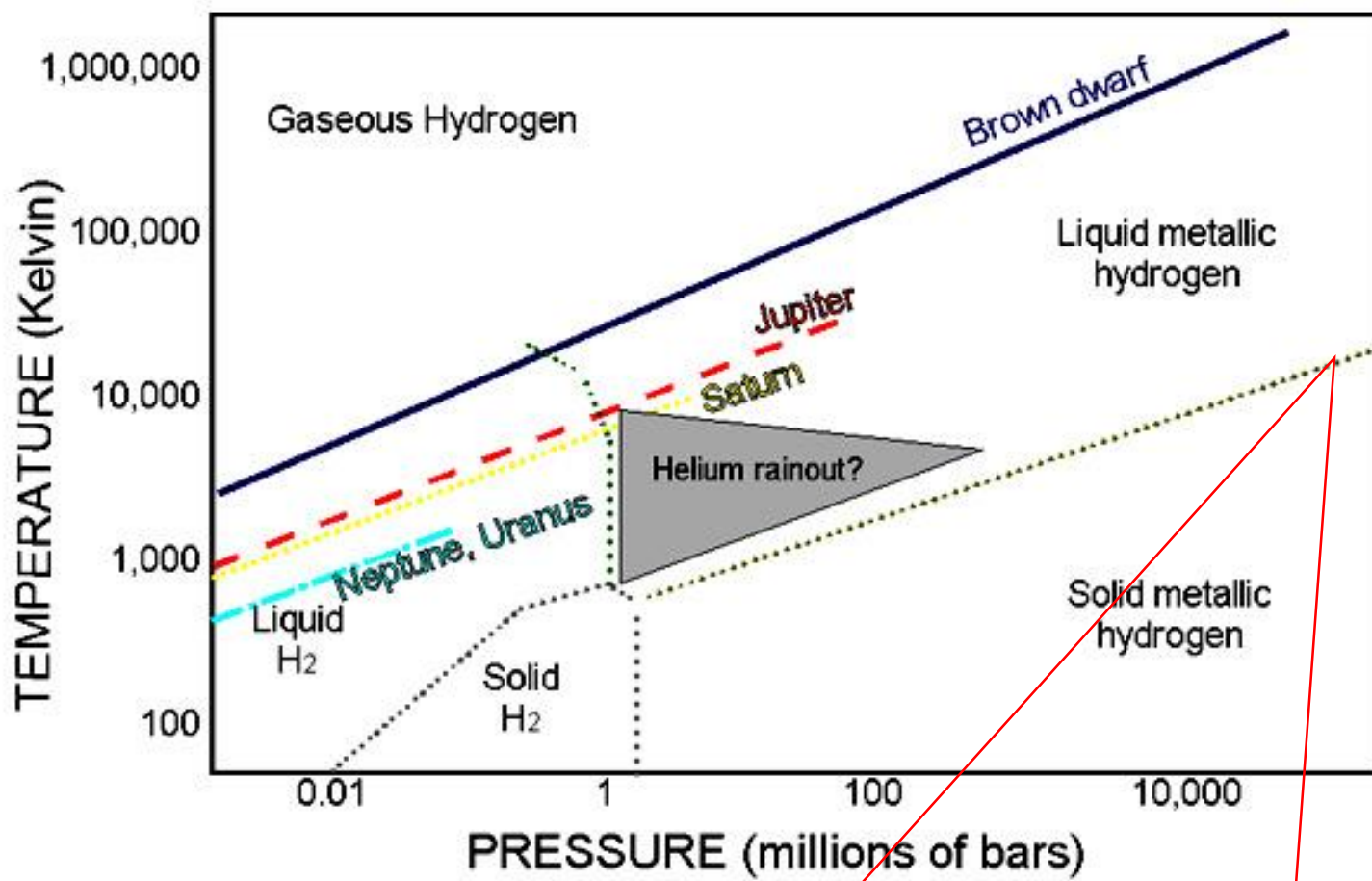
# Металлический водород на Земле



# Водород при высоких давлениях



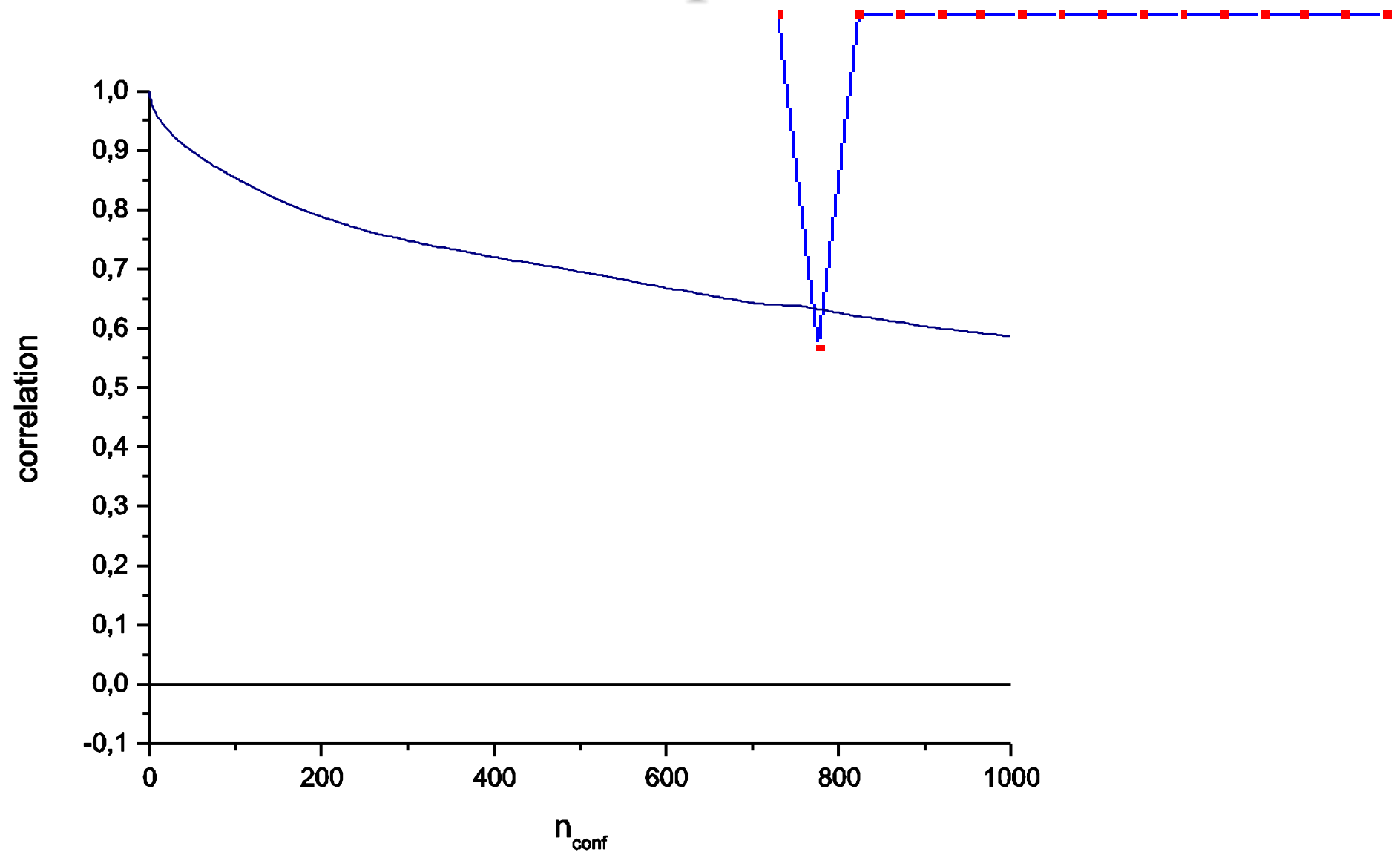
## Водород при высоких давлениях



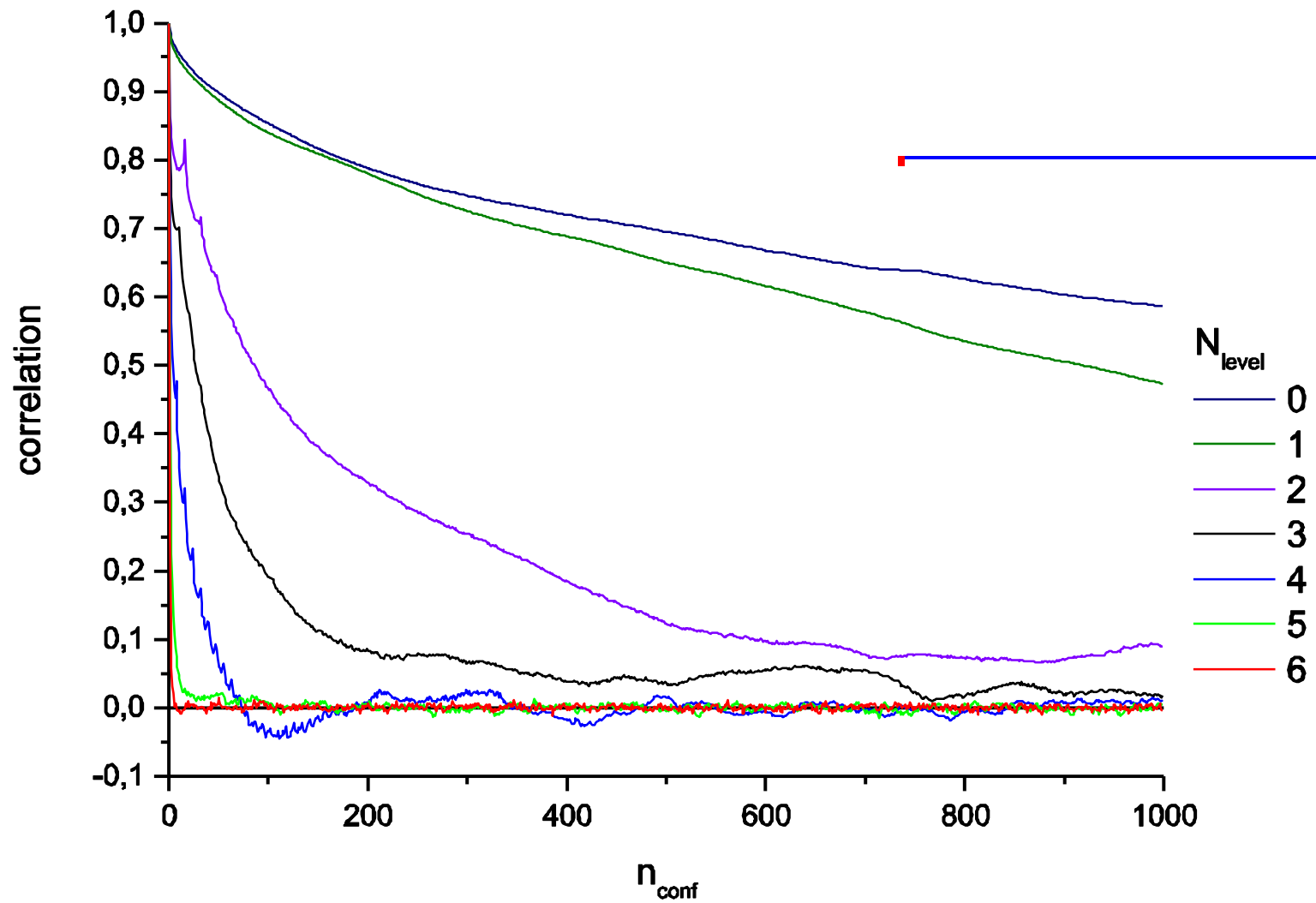
Вигнеровский кристалл протонов

$$V(r) = \frac{e^2}{r} \exp\{-r/R\}$$

# *Алгоритм*



# *Многоуровневый алгоритм*



# Вычисление наблюдаемых

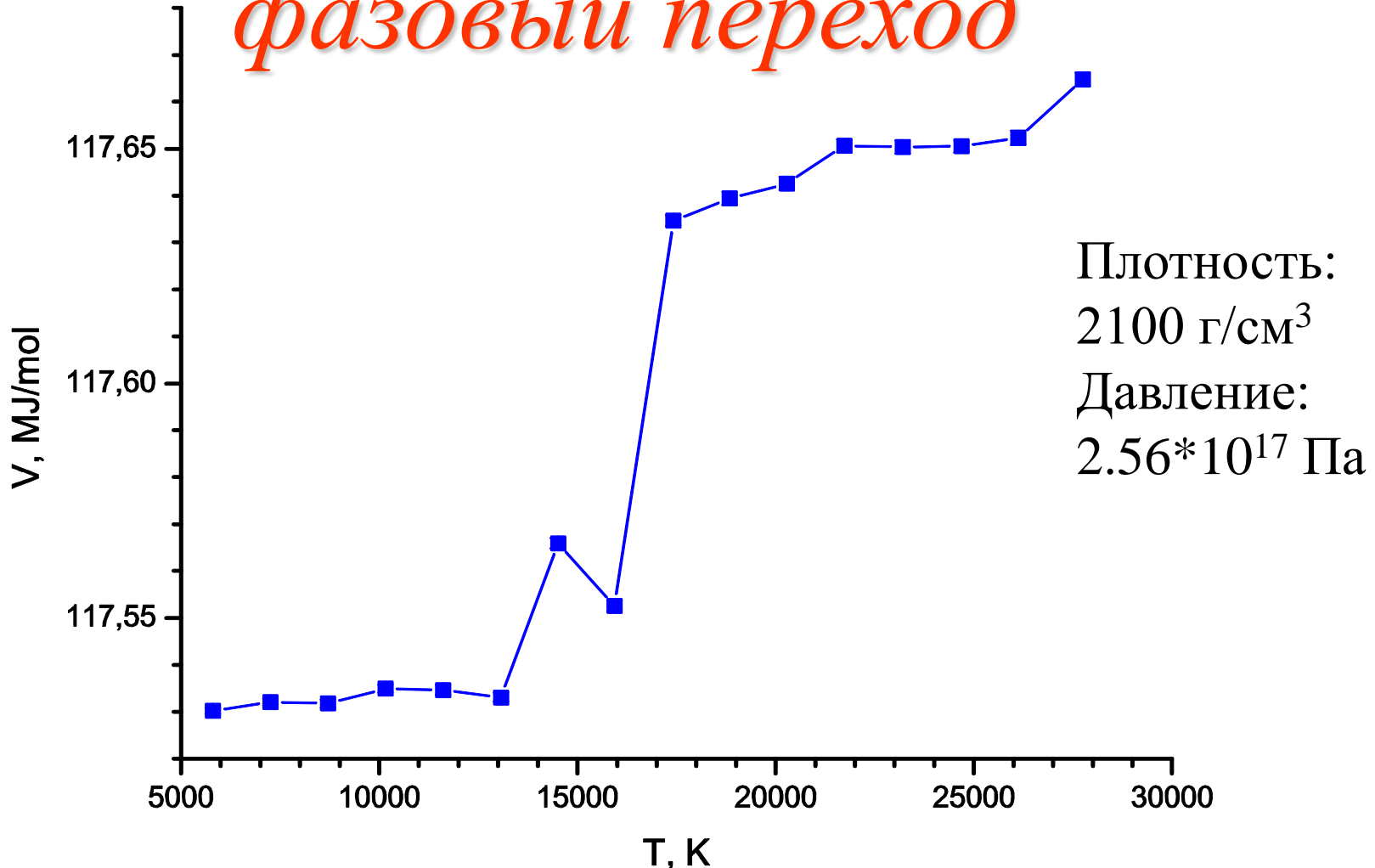
- Кинетическая энергия
- Давление
- Потенциальная энергия рассчитывалась как сумма энергий взаимодействия протонов

$$\langle K = \frac{m_1 m_2 v^2}{2} \rangle$$

$$\langle P = \frac{1}{2} \alpha \sum_{ij} \frac{q_i q_j}{r_{ij}} \rangle$$

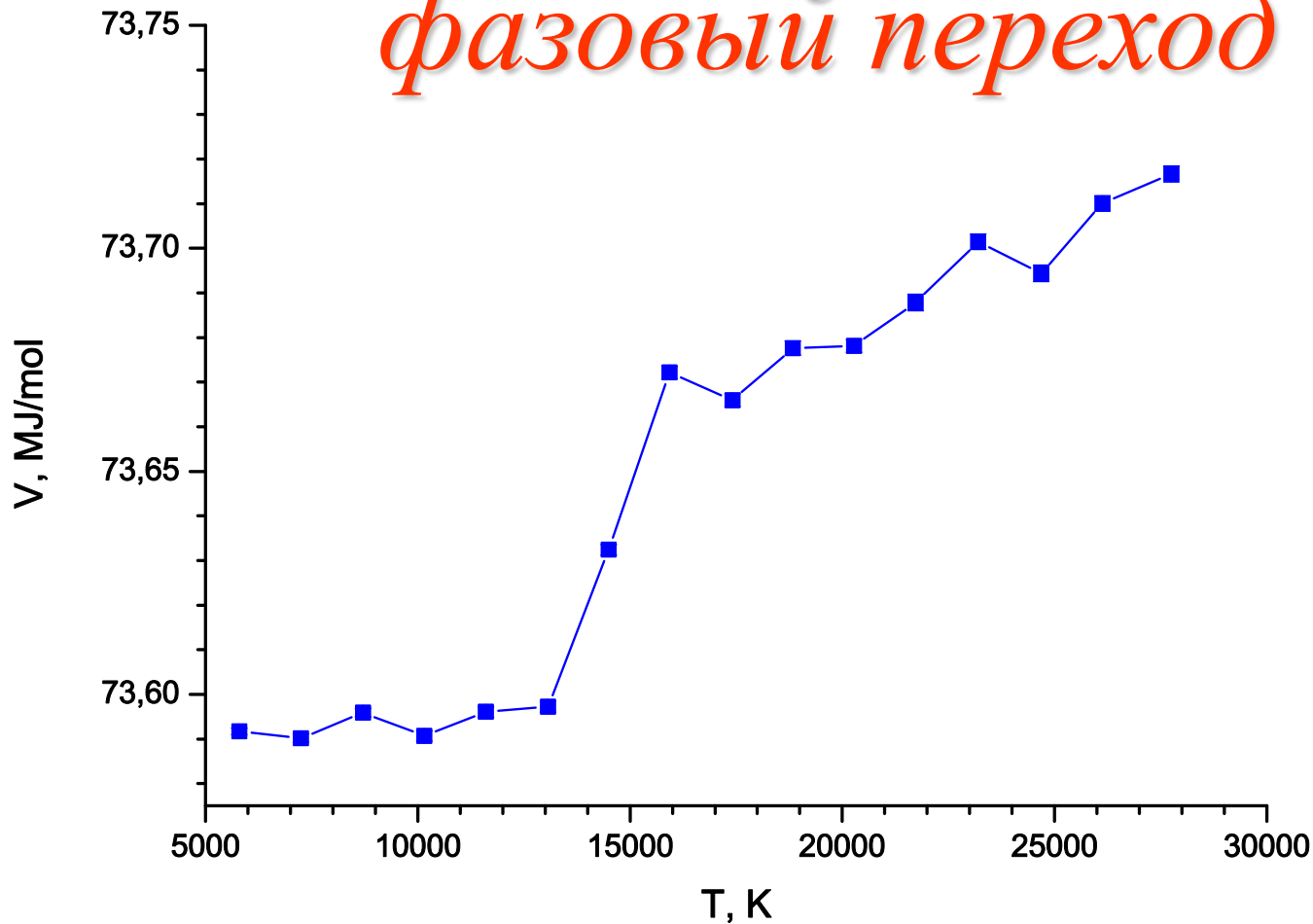
# *Атомарный металлический водород:*

*фазовый переход*



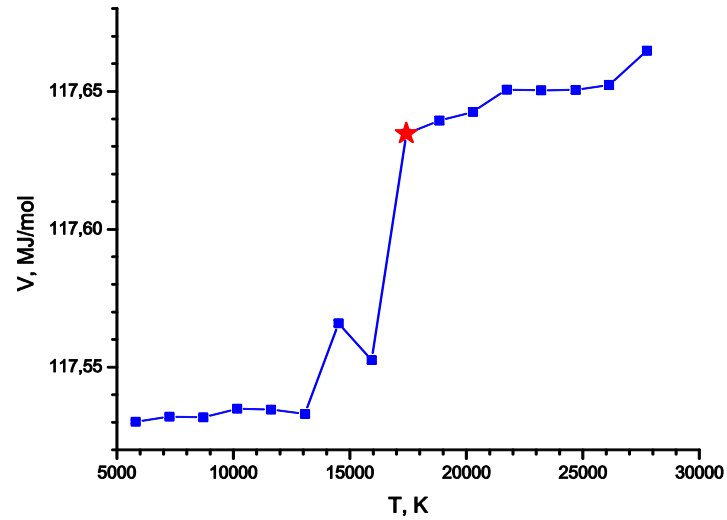
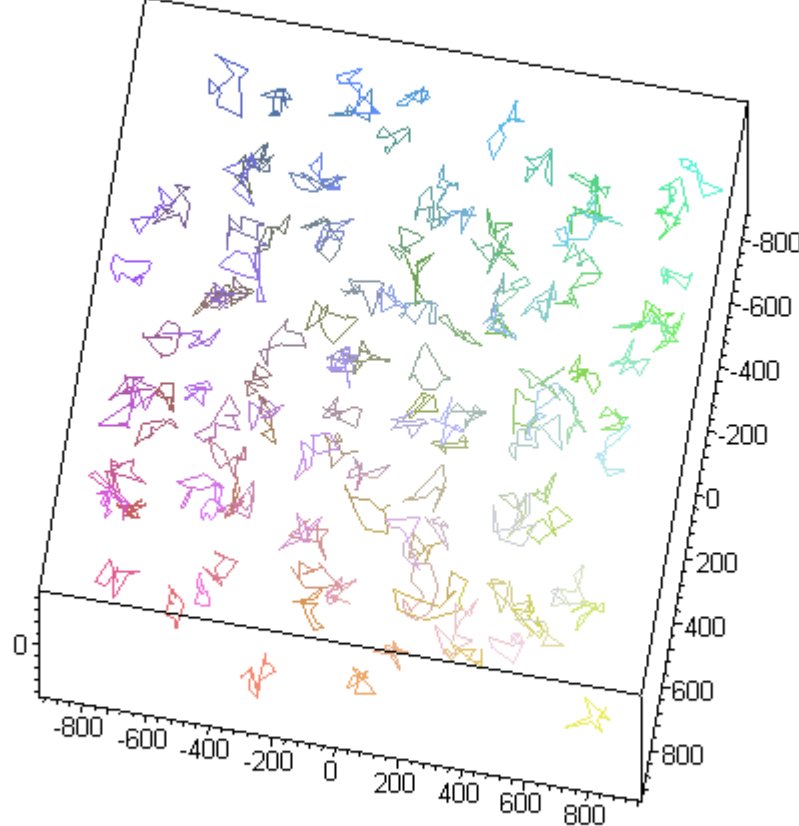
# *Атомарный металлический водород:*

*фазовый переход*



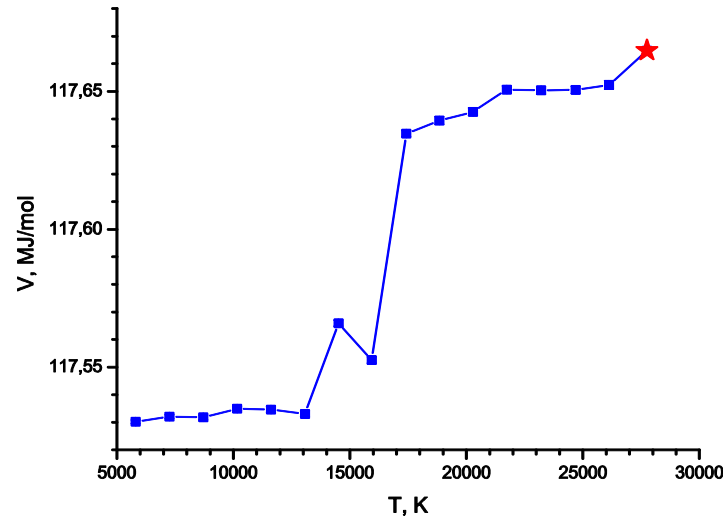
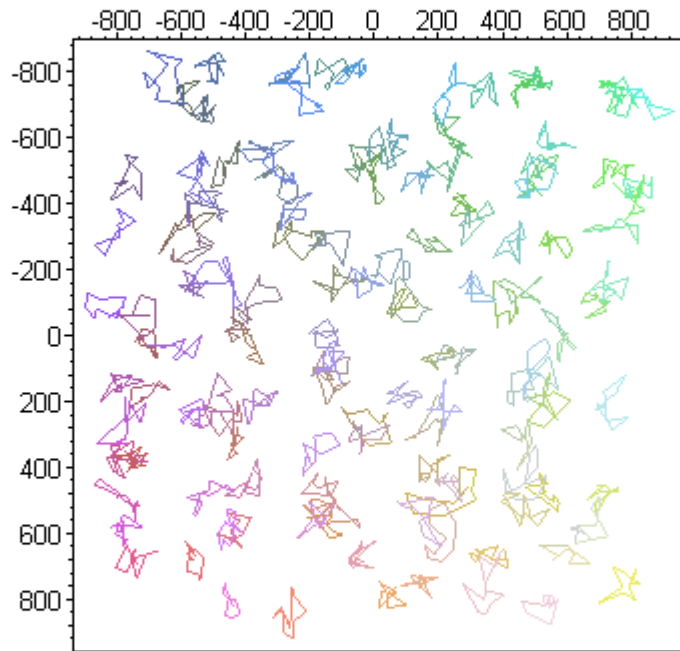
Плотность:  
 $1075 \text{ г/см}^3$   
Давление:  
 $0.84 * 10^{17} \text{ Па}$

# Атомарный металлический водород



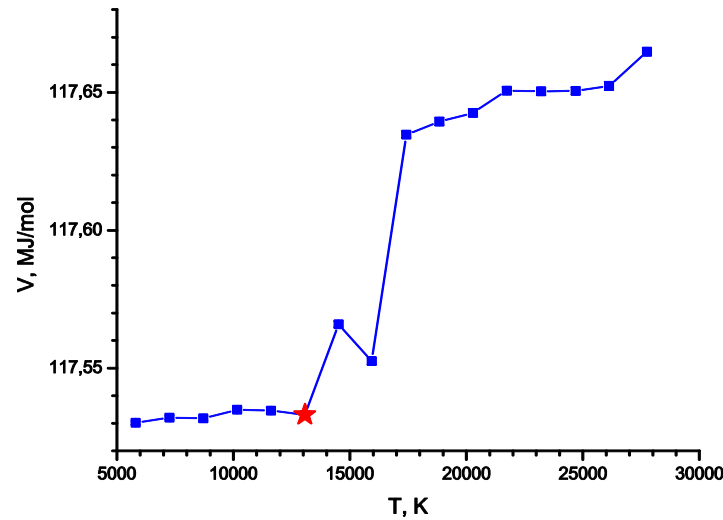
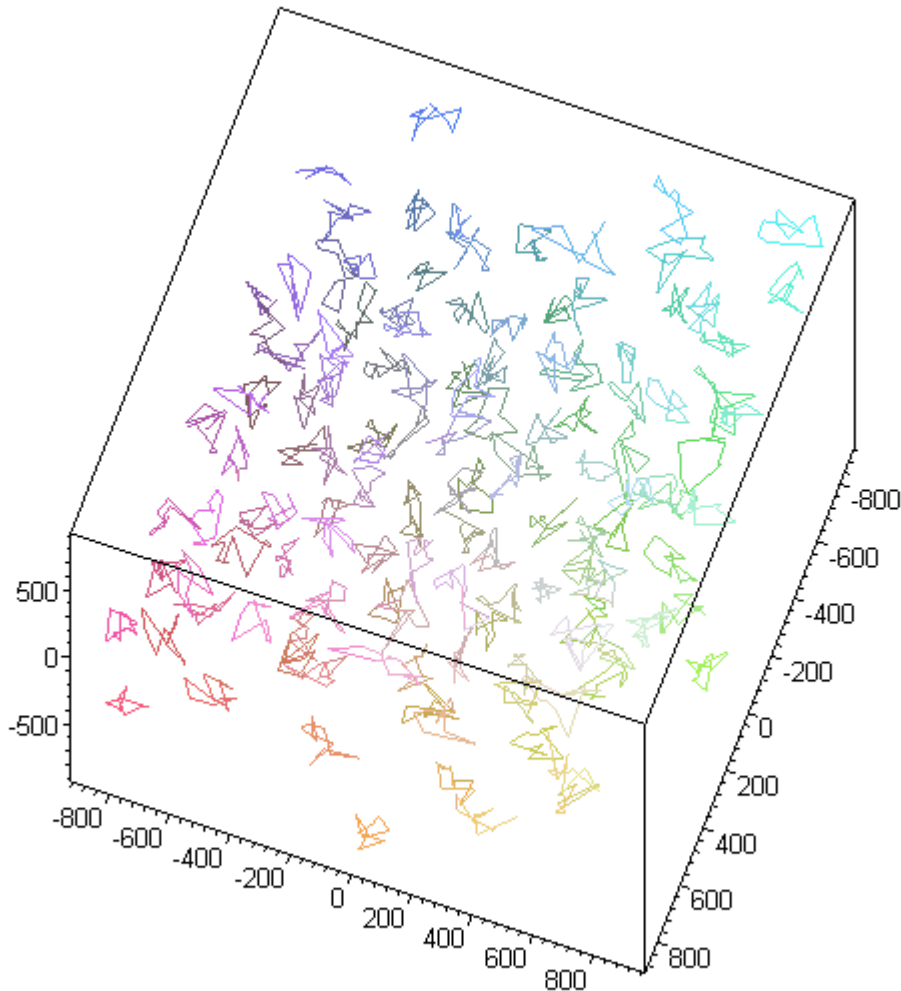
$$T = 17 \cdot 10^3 K$$

# *Атомарный металлический водород*

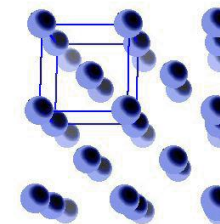


$$T = 28 \cdot 10^3 K$$

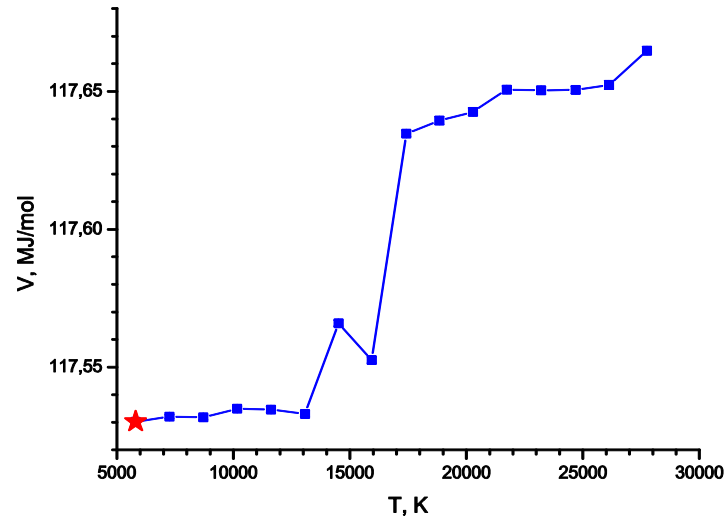
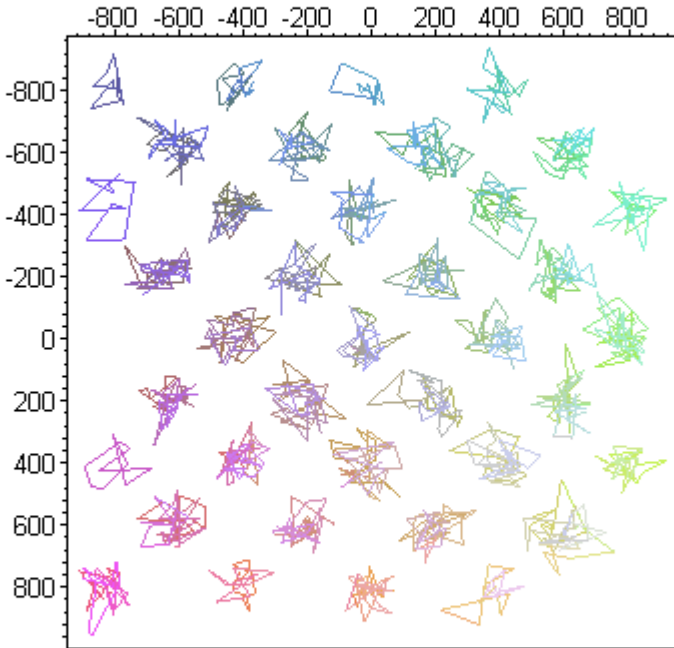
# Атомарный металлический водород



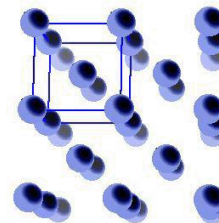
$$T = 13 \cdot 10^3 K$$



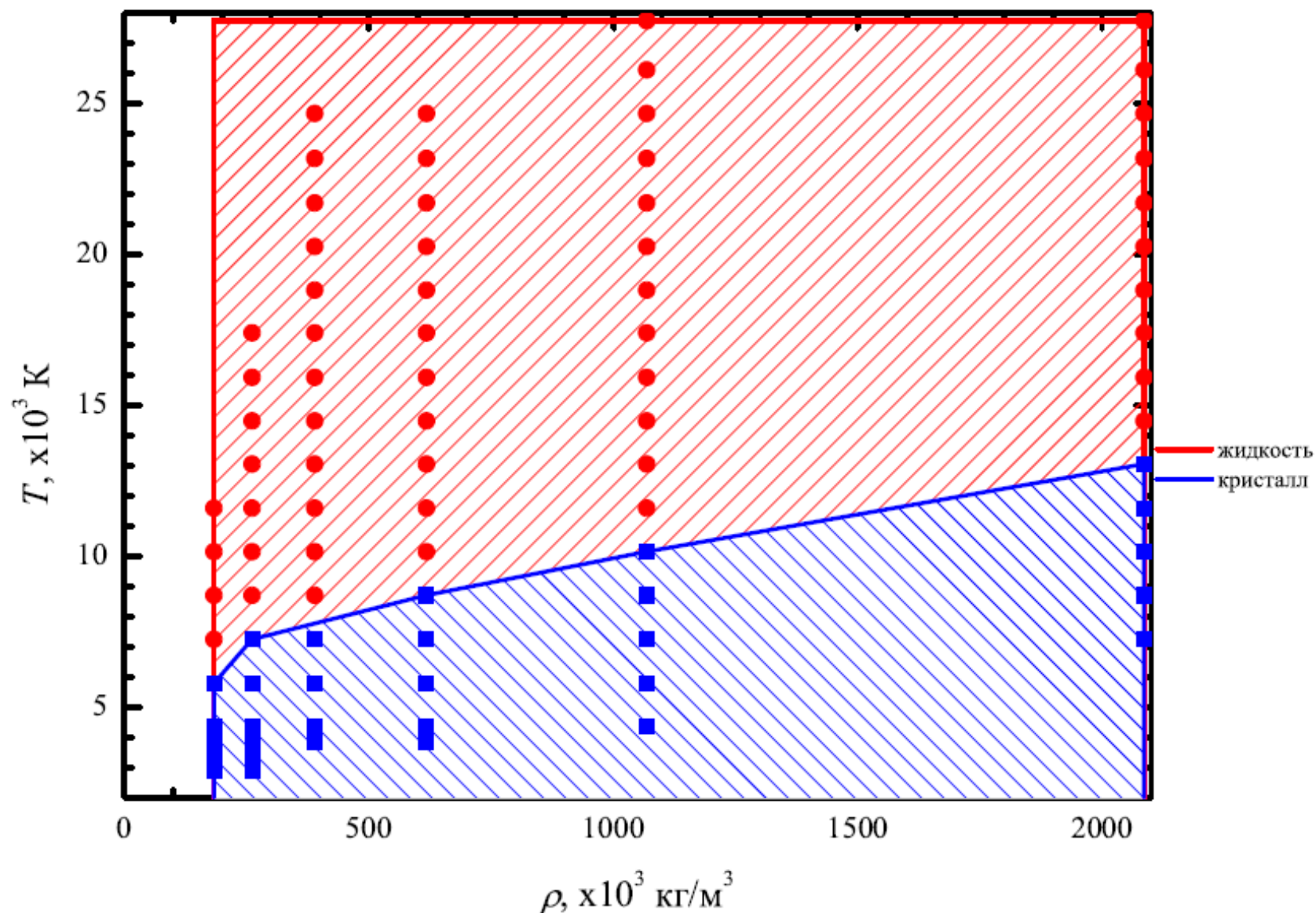
# Атомарный металлический водород



$$T = 6 \cdot 10^3 K$$

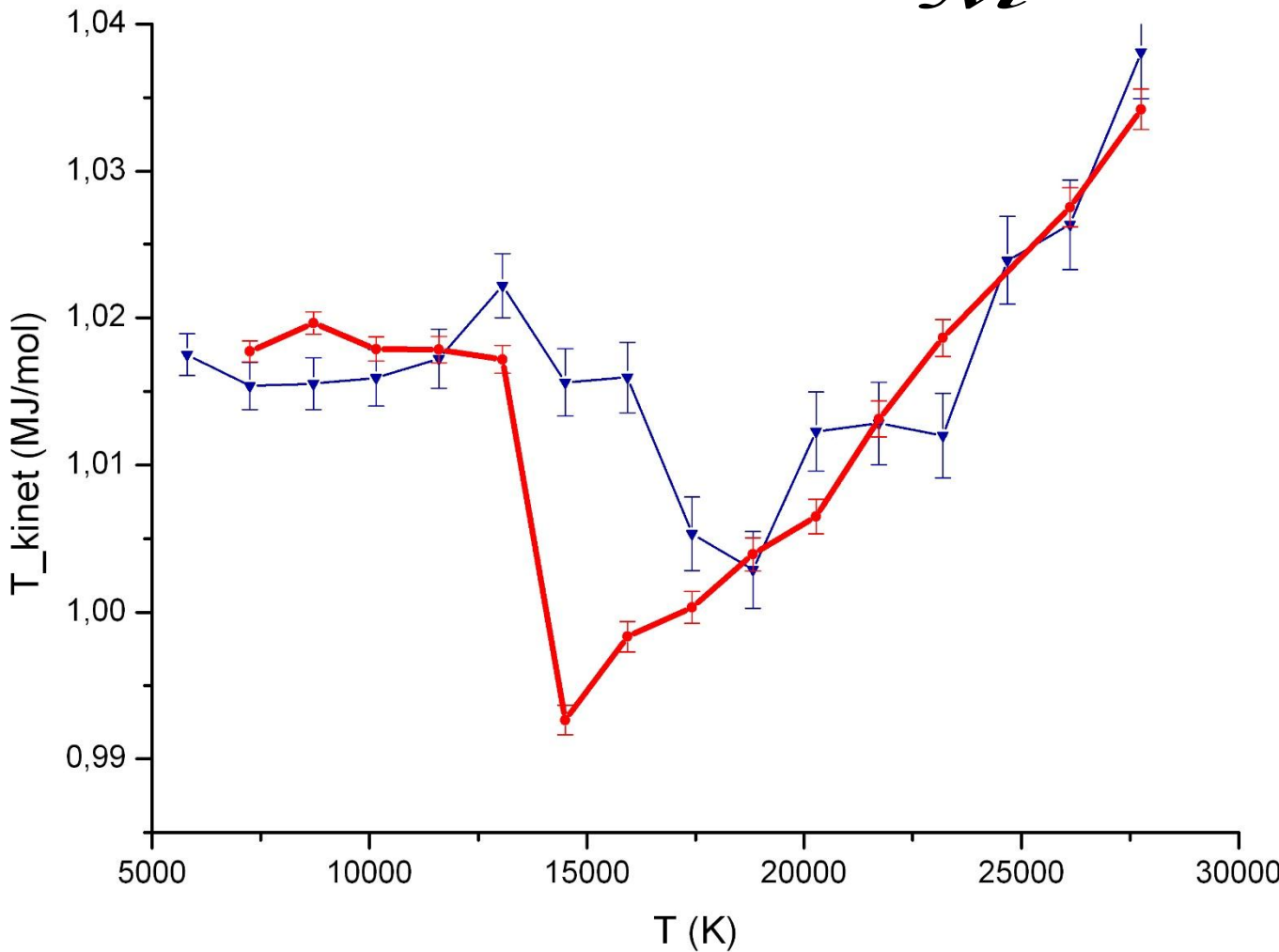


# Фазовая диаграмма



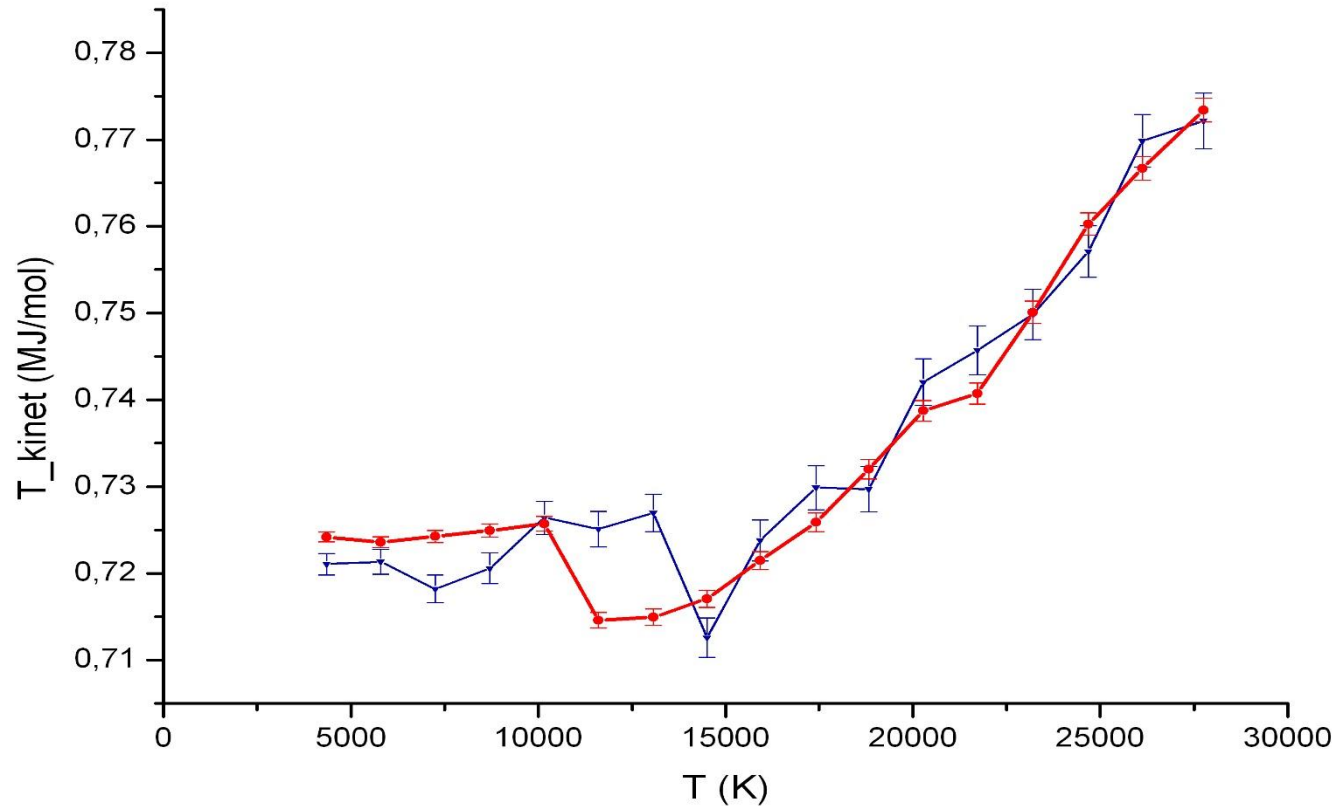
# Кинетическая энергия при $r_s=200$

$\varphi = 2, \Theta = 45^\circ$

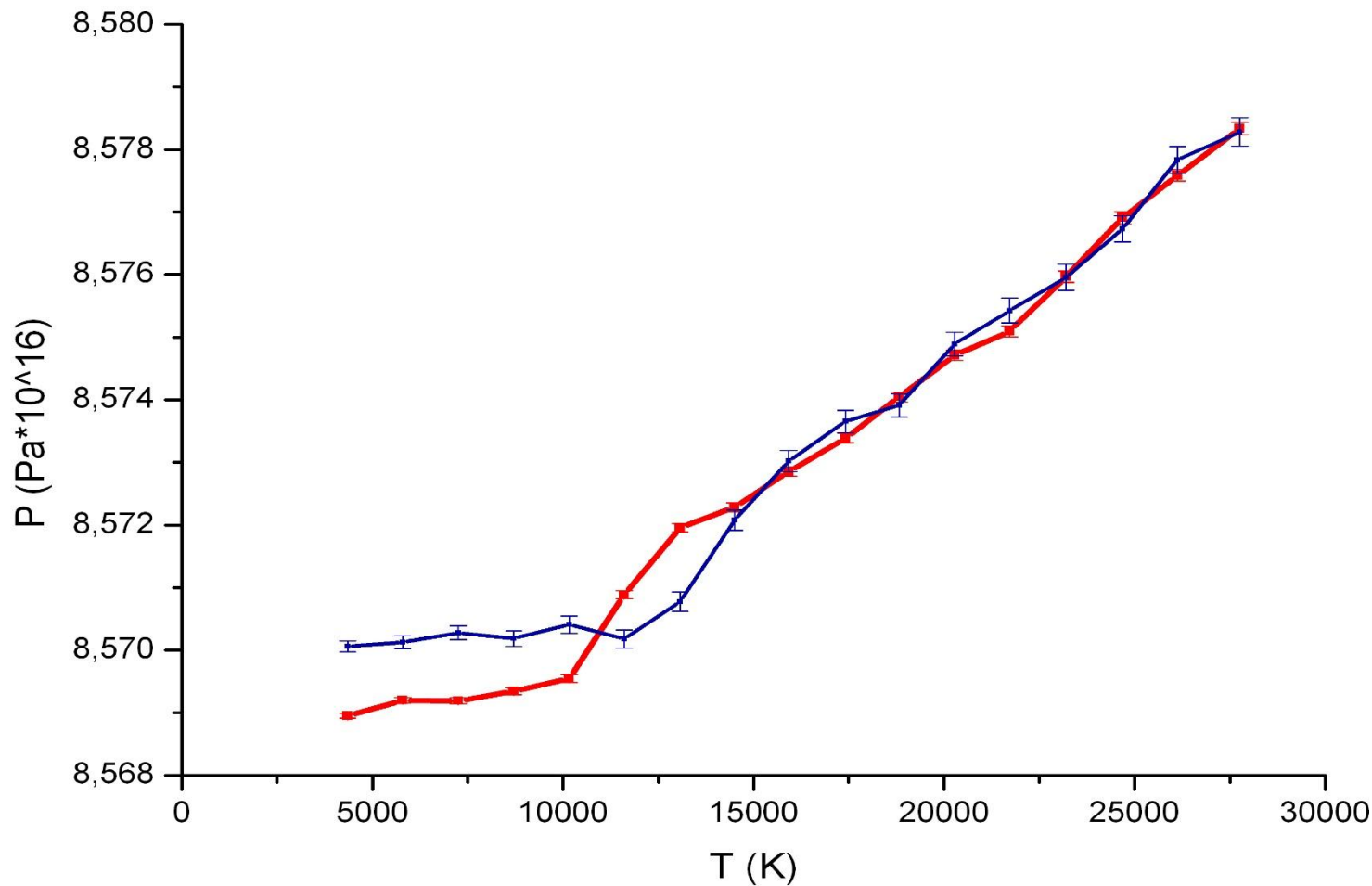


# Кинетическая энергия при $rs=250$

( $\rho=1,046 \cdot 10^6$  кг/м<sup>3</sup>)



Давление при  $r_s=250$  ( $\rho=1,046 \cdot 10^6$  кг/м<sup>3</sup>)

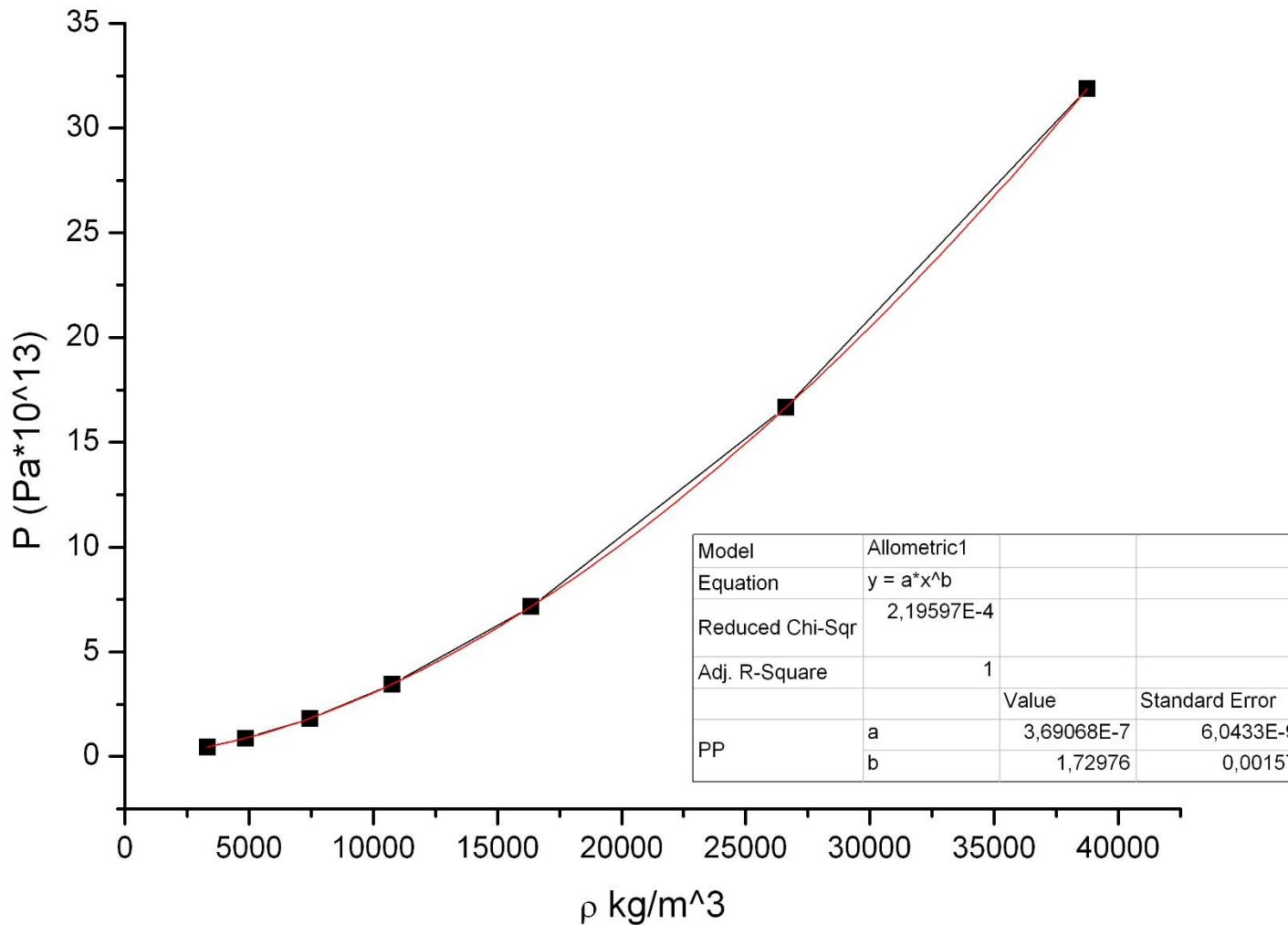


# Изотермы

- Для трёх выбранных температур зависимость давления от плотности для жидкой фазы хорошо ложится на степенной закон

$$P = k \cdot \rho^\gamma$$

# График зависимости $P(\rho)$ для $T=5800K$



## Фазовые явления в графене